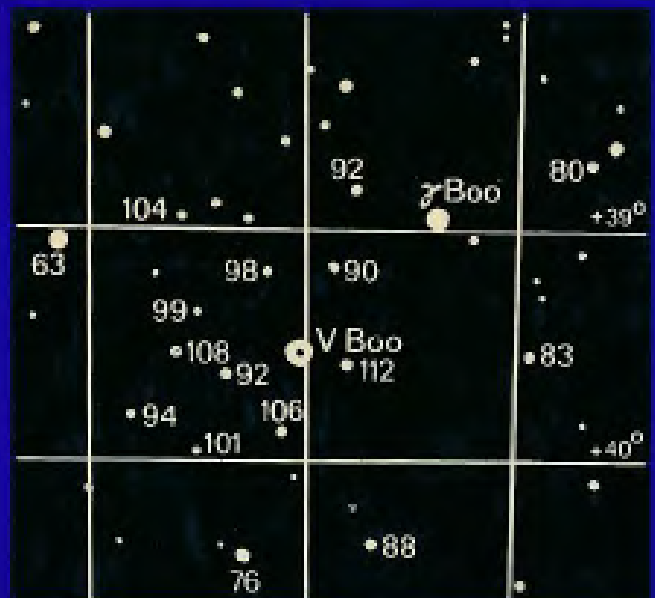
# Paul Ahnert Kleine praktische Astronomie

Stern		1950.0				Galaktische Koordinaten		Spek-
	α		δ		1 6		Größe	trum
	h	m		1	0	0	m	-
Andr	ome	da						
*a:	0	5.8	+28	49	112	-32	2.15	Al
β	1	6.9	+35	21	128	-27	2.37	MO
ry	2	0.8	+42	5	137	-18	2.13	K0+A0
8	0	36.6	+30	35	m	-32	3.49	K2
10	0	44.7	+24	0	122	-38	4.30	$\mathbf{K}0$
0	0	14.5	+38	24	116	-24	4.44	A2
	23	35.7	+42	59	109	-17	4.28	BS
×	23	37.9	+44	3	110	-17	4.33	A0
* 1	23	35.1	+46	11	110	-14	4.00	K0
11	0	54.0	+38	14	125	-24	3.94	A2
*2	0	47.0	+40	48	123	-21	4.42	B3
*0	22	59.6	+42	3	102	-16	3.63	B5+A2p
T.	0	34.2	+33	27	119	-29	4.44	B3
17	1	33.9	+41	9	132	-20	4.18	G0
* <i>\phi</i>	1	6.6	+46	59	126	-15	4.28	B8



	•	82 101	+27 <sup>c</sup>
	*88 105 R Boo 109*114 117 . 111	92 106 84	• 49
** '	.* •69	90	£Boo +28°

## J.A.Barth



### Kleine praktische Astronomie

Hilfstabellen und Beobachtungsobjekte

Von

Dr. PAUL AHNERT

Sternwarte Sonneberg

Mit 53 Abbildungen



JOHANN AMBROSIUS BARTH LEIPZIG 1974

Alle Rechte vorbehalten Copyright 1974 by Johann Ambrosius Barth, Leipzig Printed in the German Democratic Republic Verlagslizenz Nr. 285-125/5/74

Gesamtherstellung: Offizin Andersen Nexö, Graphischer Großbetrieb, Leipzig III/18/38-5

LSV 1495 · Bestell-Nr. 793 300 0

**EVP 15,6**0

#### Vorwort

Diese Sammlung von Hilfstafeln für astronomische Rechnungen und von Verzeichnissen von Objekten des Planetensystems, des Fixsternhimmels und der Metagalaxis sollen den Volks- und Schulsternwarten und allen Fernrohrbesitzern die Möglichkeit bieten, ein Beobachtungsprogramm zusammenzustellen, das ihren Neigungen und der Leistungsfähigkeit ihrer Instrumente angepaßt ist.

Nach der Einleitung, die einen kurzen Überblick über die Entwicklung und Bedeutung der Astronomie und das Verhältnis des Sternfreundes zu dieser Wissenschaft gibt, folgt eine kurzgefaßte Geschichte der astronomischen Fernrohre und eine Darstellung der optischen Eigenschaften der modernen Liebhaberfernrohre sowie eine Beschreibung nützlicher Nebenapparate. Den Textteil beschließen Anleitungen zur Messung von Mondberghöhen und Sonnenfleckenpositionen, zur pfleglichen Behandlung der Fernrohre und zur Justierung ihrer Aufstellung.

Die Hilfstafeln und die Verzeichnisse von Konstanten und Objekten liefern alle Unterlagen für die Vorbereitung und Auswertung der astronomischen Beobachtungen, die auf Volkssternwarten, im Schulunterricht und von Liebhabern ausgeführt werden können. Die Abbildungen erscheinen am Schluß des Buches.

Die Tafel der astronomischen Konstanten, das Verzeichnis der Zonenzeiten, die Angaben über die Sonne, die Erde, den Mond und die großen und kleinen Planeten sind auf den neuesten Stand gebracht worden. Für die Doppelsterne verdanke ich Herrn Dr. U. GÜNTZEL-LINGNER die neuesten Meßwerte der Distanzen und Positionswinkel; die Parallaxen, Entfernungen und absoluten Größen in den Fixsternverzeichnissen entsprechen ebenfalls dem neuesten Stand. Die Umgebungskarten hellerer Veränderlicher sollen die Einarbeitung in dieses interessante Arbeitsgebiet erleichtern und zu Versuchen anregen.

PAUL AHNERT DDR - 64 Sonneberg Sternwartestr. 25 b

#### Inhalt

	Vorwort	5
1.	Einleitung	9
2.	Fernrohr des Liebhaberastronomen	11
2.1.	Wahl des Instruments	11
2.2.	Geschichte des astronomischen Fernrohrs	13
2.3.	Optische Leistungen moderner Liebhaberfernrohre	18
2.4.	Ergänzungen und Nebenapparate	22
2.5.	Anleitungen	27
2.5.1.	Pflege des Fernrohrs	27
2.5.2.	Erste Beobachtungen	28
2.5.3.	Justierung der parallaktischen Aufstellung	29
2.5.4.	Messung von Mondberghöhen	30
2.5.5.	Messung von Sonnenfleckenpositionen	32
3.	Hilfstafeln und Verzeichnisse	35
3.1.	Erläuterungen	35
3.1.1.	Verwandlung von Sonnenzeit in Sternzeit und umgekehrt	36
3.1.2.	Verwandlung von Stunden und Minuten in Dezimalteile des Tages und umgekehrt	38
3.1.3.	Halber Tagbogen	41
3.1.4.	Julianische Tageszählung und Julianische Periode	43
3.1.5.	Verwandlung von Zeitmaß in Gradmaß	48
3.1.6.	Präzession in Rektaszension und Deklination	49
3.1.7.	Umrechnung von Größenklassendifferenzen in Intensitätsverhältnisse und umgekehrt	52
3.1.8.	Berechnung der Helligkeit von Doppelsternen	53
3.1.9.	Griechisches Alphabet	53
3.1.10.	Entfernungsmodul und zugehörige Entfernung	54
3.1.11.	Mittlere Refraktion und Extinktion	55
3.1.12.	Dreistellige numerische trigonometrische Funktionen	57
3.1.13.	Staatliche Sternwarten der deutschsprachigen Gebiete	58
3.1.14.	Geographische Längen und Breiten sowie Ortszeitdifferenzen	58
3.1.15.	Zeitzonen der Erde	61
3,1.16.	Konstanten und Daten	63
3.2.	Körper des Sonnensystems, Elemente und Dimensionen	64
3.2.1.	Sonne	64
3.2.2.	Erde	65
3.2.3.	Mond	66
3.2.4.	Große Planeten	67
3.2.5.	Monde der Planeten	70
3.2.6.	Kleine Planeten, Kometen und Meteorströme	71
3.2.7.	Mondfinsternisse 1972 bis 2000 in Mitteleuropa	<b>7</b> 3
3.2.8.	Sonnenfleckenmaxima und -minima	<b>74</b>
3.3.	Beobachtungsobjekte am Fixsternhimmel	<b>7</b> 5
3.3.1.	Verzeichnis der Sternbilder	75

8	Inhalt
3.3.2.	Galaktische (offene) Sternhaufen
3.3.3.	Diffuse und planetarische Gasnebel 79
3.3.4.	Kugelförmige Sternhaufen
3.3.5.	Veränderliche Sterne mit Umgebungskarten
3.3.6.	225 Doppelsterne 90
3.3.7.	Bahnelemente von 48 visuellen Doppelsternen
3.3.8.	53 Spektroskopische Doppelsterne 103
3.3.9.	195 extragalaktische Nebel (Galaxien) 104
3.3.10.	614 Fixsterne heller als 4 <sup>m</sup> .50
3.3.11.	88 Fixsterne heller als 3 <sup>m</sup> .80
3.3.12.	Sterne innerhalb 5 Parsek
3.3.13.	Doppelsterne innerhalb 5 Parsek
3.3.14.	Lokale Gruppe
3.3.15.	Doppelsterne (Statistik)
<b>3.3.1</b> 6.	Verteilung und Gesamtzahl der Fixsterne
3.3.17.	Eigennamen von 180 helleren Fixsternen
3.3.18.	Mondkarte
3.3.19.	Sternkarten
3.3.20.	Nomogramm der Zenitdistanzen (Gestirnshöhen)
	Anhang 151

#### 1. Einleitung

Die Astronomie ist so alt wie die Kultur der Menschheit überhaupt. Zuerst waren es praktische Bedürfnisse, die zur Beschäftigung mit den Gestirnen führten. Spätestens in der 2. Hälfte des 4. Jahrtausends v.u.Z. entstanden in Mesopotamien die ersten Stadtstaaten mit Stadtherren – Königen und reichen Familien – und Priestern, die ihre Herrschaft über die Masse der Bevölkerung in der Stadt und ihrer nahen Umgebung nur mit einer geordneten Verwaltung aufrechterhalten konnten. Dazu gehörte auch eine geregelte und vorhersehbare Ordnung des Zeitablaufs, ein Kalender, mit dessen Hilfe der Beginn der Feldarbeiten und die Steuertermine festgelegt werden konnten.

Zur Markierung praktischer Zeitabschnitte boten sich zuerst die Erscheinungen der Sonne an, die von jeher den Rhythmus des Naturgeschehens und des menschlichen Lebens bestimmt haben: Die Auf- und Untergänge, die den Tageslauf regelten, und die mit den Jahreszeiten veränderlichen Kulminationshöhen, die Wetter und Vegetation beeinflußten. Der Wechsel der Mondgestalten von seinem ersten Erscheinen als schmale Sichel, als neuer Mond am Abendhimmel, der in 14 Tagen zum Vollmond wächst und wieder abnimmt, bis er nach Ablauf eines Zyklus von 29 oder 30 Tagen wieder als "Neumond" sichtbar wird, lieferte eine willkommene Unterteilung des Jahres in gut überschaubare Zeitabschnitte.

Um den Ablauf der Jahreszeiten und den Wechsel des Mondes schon im voraus bestimmen zu können, waren fortlaufende und sorgfältige Beobachtungen und Aufzeichnungen der Himmelserscheinungen notwendig. Da wir schon zu Beginn des 3. Jahrtausends v.u.Z. sowohl in Mesopotamien als auch in Ägypten voll ausgebildete Schriftsysteme vorfinden, dürften ihre Anfänge wahrscheinlich bis in den Anfang geregelter Himmelsbeobachtungen zurückgehen. Die erstaunlich genaue Kenntnis, die die babylonischen Astronomen der letzten Jahrhunderte v.u.Z. von den Längen der Mondmonate – synodisch, siderisch, drakonitisch und anomalistisch – besaßen (im Durchschnitt auf 1,5 Sekunden = 1/1 600 000 genau) war nur mit Hilfe jahrtausendelanger Beobachtungen zu gewinnen.

Die Stadtstaaten an der Wende des 4. und 3. Jahrtausends v.u.Z. sind aber schon späte Stufen einer kulturellen Entwicklung, die noch mehrere Jahrtausende weiter zurückreicht und deren Reste in ganz Vorderasien erst kürzlich aufgedeckt werden konnten. Sicher haben auch diese frühen Ackerbauer und Viehzüchter schon eine primitive Zeiteinteilung am Himmel abgelesen und die fünf hellen Planeten erkannt. Aber da aus jener Vorzeit keine schriftlichen Überlieferungen existieren, entzieht sich der Stand ihres astronomischen Wissens unserer Kenntnis.

Sehr früh wird man auch erkannt haben, daß die Kenntnis des Standes der Gestirne auf dem Meer und in unwegsamen Wüsten eine Orientierung ermöglichte, also für Handelsreisen unentbehrlich war, wie sie schon aus der Zeit vor der Gründung der Stadtstaaten nachweisbar sind.

Neben dieser praktischen Anwendung der Astronomie für das Kalenderwesen und die Nautik wurden die Himmelserscheinungen auch durch ihre Unzugänglichkeit und Unbeeinflußbarkeit über die irdischen Vorgänge herausgehoben, die für die Menschen zugänglich und wenigstens zum Teil beeinflußbar waren. Zusammen mit den zwar unmittelbar fühlbaren, aber ebenfalls dem menschlichen Eingriff entzogenen Wettererscheinungen wurden die Bewegungen der Gestirne als Ausdruck göttlichen Wirkens empfunden. Die Hoffnung, aus diesen Bewegungen den Willen der Götter erfahren zu können, bot einen weiteren Anreiz zu aufmerksamer Beobachtung. Die daraus abgeleiteten astrologischen Spekulationen waren zwar für den menschlichen Fortschritt und eine echte Naturerkenntnis wertlos, aber auch die zu diesem Zweck gemachten gewissenhaften Aufzeichnungen der Himmelserscheinungen haben in den Jahrhunderten um die Zeitenwende der wissenschaftlichen Astronomie der Griechen unschätzbares Beobachtungsmaterial geboten.

Inzwischen haben Wissenschaft und Technik die Schranken durchbrochen, die den Menschen des Altertums und des Mittelalters durch ihre begrenzten Beobachtungsmöglichkeiten gesetzt waren. Das Fernrohr in seiner visuellen und photographischen Anwendung mit seinen spektrographischen und photoelektrischen Hilfseinrichtungen, die Erfassung der Radio- und der extrem ultravioletten und Röntgenstrahlen durch die Radioastronomie und die Astronautik haben den Bereich der beobachtbaren Natur nicht nur quantitativ, sondern auch qualitativ in einem Maße erweitert, wie es noch in den ersten Jahrzehnten unseres Jahrhundert unvorstellbar war. Auch der Theorie ist es gelungen, einen Großteil der neuen Entdeckungen in unser physikalisches Weltbild einzuordnen.

Unsere Instrumente können heute viele Milliarden von Lichtjahren überbrücken. Wir begreifen das Werden und Vergehen der Sterne und versuchen, die Entstehung und Entwicklung des gesamten uns zugänglichen Universums zu verstehen.

Manche Erscheinungen wie die erst im vergangenen Jahrzehnt entdeckten quasistellaren Radioquellen (Quasars) sind vorerst trotz vieler Erklärungsversuche noch voller Rätsel. Aber auch diese werden durch eine Vertiefung unserer Vorstellungen von der Materie und durch neue verfeinerte Beobachtungen gelöst werden.

Der Sternfreund kann diese Pionierarbeit an den heutigen Grenzen unserer Erkenntnis freilich meist nur literarisch, in allgemeinverständlichen Veröffentlichungen, verfolgen. Seine Instrumente reichen nicht bis zu den eben erwähnten Tiefen des Raumes, sie zeigen ihm auch nicht die Kraterlandschaft des Mars, und wenn er nicht über eine sehr gründliche Ausbildung in Mathematik und Physik verfügt, kann er auch kaum Wege zur theoretischen Lösung ungeklärter Probleme zeigen.

Aber der Sternhimmel ist ihm trotzdem zugänglich. Relativ kleine und preiswerte Fernrohre von höchster optischer und mechanischer Qualität leisten heute mehr als die ungefügen und nur für wenige erschwinglichen Teleskope der frühen Fernrohrzeit. Sie befähigen den Sternfreund durchaus, sich mit den so überaus interessanten und reizvollen Erscheinungen der Himmelskörper vertraut zu machen. Darüber hinaus stehen für den, der die nötige Liebe und Ausdauer aufbringt, noch Forschungsgebiete offen, auf denen er auch mit seinen bescheidenen Instrumenten zur Vertiefung unserer astronomischen Kenntnisse beitragen kann.

Dieses Buch soll ihm dazu das nötige Rüstzeug an die Hand geben.

#### 2. Fernrohr des Liebhaberastronomen

#### 2.1. Wahl des Instruments

Der VEB Carl Zeiss hat die Produktion einer sehr großen Serie von Schulfernrohren aufgenommen, die ab 1975 auch an Privatbezieher abgegeben werden können. Diese Fernrohre von 63 mm Öffnung und 840 mm Breite sind transportabel auf einem stabilen hölzernen Dreibeinstativ montiert und besitzen schöne große Einstellkreise und sehr sanft arbeitende Feinbewegungen sowie ein Achssystem, das mit einem Handgriff von parallaktisch auf azimutal und umgekehrt umgestellt und fixiert werden kann. Zum Vergleich möchte ich das vor rund 60 Jahren angebotene Schulfernrohr der Firma Merz in München (Nachfolger des Fraunhofer-Instituts) heranziehen. Es hatte nur 54 mm Öffnung und 650 mm Brennweite und war ohne Änderungsmöglichkeit der Polhöhe (feste Einstellung auf etwa 50°) und ohne Feinbewegungen auf einem ziemlich roh wirkenden, niedrigen, gußeisernen Tischstativ montiert. Die Einstellkreise waren sehr klein. Das neue Zeiss-Schulfernrohr hat dagegen neben der größeren Optik eine ganz wesentlich bessere, saubere und zu azimutalen und äquatorialen Messungen geeignete Mechanik.

Die Montierung des "Telementor" – so hat der VEB Carl Zeiss sein neuestes Erzeugnis getauft – kann auch noch eine etwas stärkere Optik tragen.

Auch auf den billigen Bastelsatz: achromatisches Objektiv,  $D=50\,\mathrm{mm}$ ,  $F=540\,\mathrm{mm}$  in Fassung mit Linsen für 2 Okulare, wird hingewiesen. Dieses kleine Objektiv ist von bester Qualität.

Neben den Linsenfernrohren, die ich wegen der größeren Stabilität ihrer Optik gegen mechanische Beanspruchung und thermische Einflüsse sowie ihrer höheren Belastbarkeit durch stärkere Vergrößerungen vorziehe, bieten die Spiegelteleskope eine Möglichkeit, erheblich billiger zu einem guten astronomischen Fernrohr zu kommen.

Viele Liebhaber in der DDR besitzen Spiegel, die von der Meisterhand Alfred Wilkes geschliffen wurden, der auch für die Sternwarten Potsdam und Sonneberg Teleskopspiegel bis zu 700 mm Durchmesser gefertigt hat. Auch nach seinem Tode 1972 wird die Produktion im bisherigen Umfang fortgesetzt. Diese Spiegel, deren Öffnungen von 100 bis 200 mm reichen (mit Fassung, Hilfsspiegel und Aluminisierung) und die auch von dem Zeiss-Laden in Berlin bezogen werden können, haben die theoretisch geforderte Qualität. In der üblichen Bauart nach Newton oder Cassegrain wird die von der Größe der Optik her zu erwartende Qualität allerdings unvermeidbar etwas beeinträchtigt, weil der in den Strahlengang eingeschaltete Hilfsspiegel das Beugungsbild vergrößert. Die optische Definition an Mond und Planeten ist daher etwas geringer als bei einem Linsenobjektiv gleicher Öffnung. Am einfachsten kann man diesem Nachteil ausweichen, wenn man einen entsprechend

größeren Spiegeldurchmesser wählt. So wird ein 100- oder 120-mm-Spiegel auch an diesen Objekten mindestens die gleiche Bildgüte zeigen wie ein 63- bzw. 80-mm-Linsenobjektiv. Darüber hinaus ist die Flächenhelligkeit im Spiegel bei gleicher Vergrößerung wegen der größeren Öffnung höher. Und da Spiegelteleskope eine geringere Baulänge erfordern als Refraktoren gleicher Öffnung, bleiben auch die Abmessungen des größeren Spiegelteleskops in erträglichen Grenzen.

Natürlich kommen beim Spiegel neben der relativ preiswerten Optik noch die Kosten für das Rohr, das Achsensystem und das Stativ hinzu. Den Tubus kann man, wenn man nicht auf besondere Eleganz versessen ist, als quadratischen Sperrholzkasten bauen, der oben und unten – auch zur Erhöhung der Stabilität – von je einem kreisförmig ausgeschnittenen Brett abgeschlossen ist. Die untere Öffnung muß die für die Befestigung der Spiegelfassung richtige Größe haben, der Durchmesser der oberen Öffnung sollte bei einem Öffnungsverhältnis 1:8 etwa 15% größer als der Spiegeldurchmesser sein (für ein Gesichtsfeld von reichlich 1°). Eine größere rechteckige Öffnung in einer Längswand erleichtert sowohl den Zugang zum Spiegel als auch den Ausgleich zwischen der am Anfang der Beobachtung verschieden warmen Außen- und Innenluft. An den ebenen Kastenwänden lassen sich der Okularauszug und die Hilfsspiegelhalterung sowie ein kleines Sucherfernrohr leicht anbringen.

Komplizierter ist der Bau eines stabilen Achsensystems. Hier werden die meisten Liebhaber, soweit sie nicht selbst Mechaniker sind, kaum ohne Hilfe einer feinmechanischen oder mindestens metallverarbeitenden Werkstatt auskommen, und das kann unter Umständen recht teuer werden.

Man sollte sich deshalb vor der Anschaffung eines Fernrohrs wohl überlegen, ob man mit den zur Verfügung stehenden Mitteln lieber ein kleines, aber solid montiertes gebrauchsfertiges Instrument beschafft oder ob man genügend eigenes Bastelgeschick oder hilfsbereite Freunde hat, um für eine stärkere Optik die unbedingt nötige stabile Montierung im Selbstbau herstellen zu können.

Die Wahl der Größe hängt auch noch von den Aufstellungsmöglichkeiten ab. Am günstigsten ist ein Garten unmittelbar bei der Wohnung mit freiem Ausblick auf den Himmel. Dort kann am geeignetsten Platz eine eiserne Säule aufgestellt und belassen werden, auf die auch die schwereren Ausführungen des transportablen Achsensystems und des Fernrohrs leicht zur Beobachtung aufgesetzt werden können. Die leichteren Instrumente (Telementor mit dem 63-mm- und hoffentlich bald auch mit dem kurzen 80-mm-Fernrohr) besitzen ein stabiles hölzernes Feldstativ und sind deshalb noch universeller einsetzbar. Ist in unmittelbarer Nähe der Wohnung der freie Blick zum Himmel durch Gebäude oder Bäume behindert, so kann man sie leicht an einen weiter entfernten freien Platz bringen. Die Gesamtmasse des Telementor mit Stativ beträgt nur 15 kg.

Sehr vorteilhaft, aber leider nicht allzuoft zu verwirklichen, ist die Aufstellung des Fernrohrs auf einem nach Süden gelegenen Balkon oder einer ebensolchen Terasse. Notfalls – und von einigen mir bekannten Liebhaberastronomen mit Erfolg praktiziert – bietet auch eine Dachluke die Möglichkeit, vom Hausboden aus zu beobachten.

Lassen sich bei größeren Instrumenten, z.B. bei Spiegelteleskopen mit Öffnungen von mehr als 200 mm, Achsensystem und Tubus aus Stabilitätsgründen nicht mehr durch wenige Handgriffe trennen, kann der Transport zu schwierig werden. Ein solches Instrument bleibt besser am Beobachtungsort außerhalb des Wohnhauses stehen.

Das hat besonders bei Spiegelteleskopen noch den Vorteil, daß man bei Beobachtungsbeginn nicht erst auf den Temperaturausgleich zwischen Objektiv und Außenluft zu warten braucht. Ein aus einem warmen Aufenthaltsraum ins Freie verbrachter Teleskopspiegel erleidet während seiner Abkühlung auf die niedrige Außentemperatur Formänderungen, die die Bildqualität erheblich verschlechtern, bis der Temperaturausgleich vollendet ist.

Natürlich muß das Instrument gegen die Witterung geschützt werden. Hier reichen die Möglichkeiten vom Bau einer kleinen Kuppel über die Schutzhütte mit abfahrbarem Dach bis zu einem so klein als möglich gehaltenen Schutzkasten, der, auf Rollen und Schienen stehend, nach dem Aufklappen der Südwand in der Richtung nach Norden abgefahren wird. Ein Amateur fand noch eine Lösung: Er setzte das ganze Instrument auf Schienen und fuhr es aus der ebenfalls so klein als möglich gehaltenen Schutzhütte heraus.

Leider können in diesem Buch, das sich vor allem mit den optischen Leistungen und der Pflege von Liebhaberinstrumenten und ihren vielfachen Anwendungsmöglichkeiten befassen soll, keine detaillierten Anleitungen zum Selbstbau von Fernrohren und Schutzbauten gegeben werden. Sie würden allein ein Buch füllen. Hier kann man nur den Rat geben, sich bei anderen schon auf diesem Gebiet erfolgreichen Liebhabern oder bei astronomischen Vereinigungen, in der DDR bei den Fachgruppen für Astronomie des Deutschen Kulturbundes, Anregungen zu verschaffen und deren Erfahrungen zu nutzen.

Wir werden aber im folgenden sehen, daß auch ein kleiner transportabler Refraktor von 63 bis 80 mm Öffnung, bei dem die Aufstellungssorgen zum größten Teil entfallen, schon ein sehr leistungsfähiges Instrument ist, das uns viel tiefer in den Raum eindringen läßt, als man zunächst anzunehmen geneigt ist.

#### 2.2. Geschichte des astronomischen Fernrohrs

Bevor wir auf die Eigenschaften und Leistungen der kleineren Liebhaberfernrohre näher eingehen, wollen wir noch eine Charakteristik der beiden Haupttypen von Objektiven, der Linsenobjektive und der Hohlspiegel, mit der zugleich einige Fachausdrücke eingeführt werden sollen, und einen kurzen geschichtlichen Überblick geben. Bei Linsenobjektiven durchdringt das Licht eine von sphärischen Flächen begrenzte Glasscheibe (dioptrische Objektive). Dabei wird das durchfallende Licht in der Weise gebrochen (daher Refraktoren), daß die von einem entfernten Punkt ausgehenden Strahlen hinter dem Objektiv in oder nahe der Brennebene wieder zu einem Punkt vereinigt werden. Bei einfachen Linsen, wie sie im 17. und in der ersten Hälfte des 18. Jahrhunderts im Gebrauch waren, treten dabei zwei Fehler auf. Beim Durchgang durch eine von sphärischen Flächen begrenzte Linse werden die Randstrahlen stärker gebrochen als die achsennahen Strahlen, so daß ein Objektpunkt keinen scharf definierten Bildpunkt erzeugen kann. Dieser sog. Kugelgestaltsfehler oder die sphärische Aberration läßt sich vermindern, wenn man die Krümmung der Linsenflächen sehr klein und damit die Brennweite im Verhältnis zum Objektivdurchmesser sehr groß macht.

Der zweite Fehler der einfachen Linsen ist noch störender. Sie lenken das Licht

nicht nur ab, sondern zerlegen es auch in seine Spektralfarben. Das kurzwellige blauviolette Licht wird stärker gebrochen als das langwellige gelbe und rote Licht. Infolgedessen liegt der Brennpunkt der kurzwelligen Strahlen näher am Objektiv als der Vereinigungspunkt der langwelligen Strahlen. Man wird daher auch bei der Einstellung des Okulars auf den Brennpunkt der hellsten gelbgrünen Strahlen einen intensiven blauroten Saum um das Zentralbild eines Fixsterns sehen, der von den näher oder entfernter vom Objektiv vereinigten blauvioletten und roten Strahlen herrührt. Auch dieser Farbfehler oder die ehromatische Aberration läßt sich bei einfachen Linsen nur verringern, wenn man entweder bei größeren Objektiven die Brennweiten sehr lang und das Instrument dadurch sehr unhandlich oder bei bequemen Brennweiten – z. B. für Meßinstrumente – das Objektiv sehr klein und damit das Fernrohr sehr lichtschwach macht. Zwei Beispiele sollen das demonstrieren (Abb. 1 und 2 s. Anhang).

Wären wir heute noch auf die Verwendung einfacher Linsen für unsere Refraktoren angewiesen, so müßten unsere kleinen Liebhaberinstrumente zur Erzielung brauchbarer Bildqualitäten Abmessungen haben, wie sie aus Tabelle 1 ersichtlich sind.

<u>ბო</u>	Einfache Li	nsenfernrohre	Zeiss-Halbapochromate (AS)			
Öffnung	Brennweite	Höchstvergr.	Brennweite	Höchstvergr.	Okularbrennw.	
63 mm	6.2 m	96×	84 cm	140×	6 mm	
80 mm	10.2 m	108×	84 cm	210× 250×	4 mm	

Tabelle 1. Vergleich von einfachen Linsenfernrohren mit Zeiss-Halbapochromaten

Die Werte auf der linken Seite sind nach der Theorie von Chr. HUYGENS (1608 bis 1695) gerechnet, einem holländischen Physiker und Astronomen, dem Entdecker der wahren Gestalt Saturns und seines hellsten Mondes, der auch erstmals die Rotation des Mars bestimmte und die ersten astronomisch brauchbaren Pendeluhren konstruierte. Man sieht, welche Last heute selbst ein bescheidener Amateur hätte, wenn er solche ungefügen Refraktoren handhaben müßte. Trotzdem sind mit solchen unbequemen Instrumenten, deren Längen bei Öffnungen von etwa 15 cm schon bis über 30 m gingen, viele Entdeckungen gemacht worden.

Seit dem Ende des 17. Jahrhunderts kamen allmählich neben den unhandlichen Refraktoren die Spiegelteleskope in Gebrauch. Da bei ihnen das Licht nur reflektiert (Reflektoren, katoptische Fernrohre) und nicht gebrochen und in seine Farben aufgefächert wird, tritt keine chromatische Aberration auf. Sie konnten daher bei gleichem Objektivdurchmesser viel kürzer gehalten werden als die dioptrischen Fernrohre. Da aber das Bild mitten im einfallenden Strahlengang entsteht, muß es durch einen zweiten Spiegel entweder seitlich oder hinter den Hauptspiegel abgelenkt werden. So entstanden drei Formen, die nach den Entwürfen von Gregory (1663), Newton (1671) und Cassegrain (1672) gebaut wurden. Bei dem Newton-Teleskop werden die Strahlen vor der Vereinigung von einem Planspiegel seitlich abgelenkt, beim Gregory-Teleskop wirft ein kleiner Hohlspiegel die Strahlen nach ihrer Vereinigung durch eine Öffnung im Hauptspiegel in das Okular, während beim Casse-

GRAIN-Spiegel ein erhabener Spiegel die Strahlen bereits vor Erreichung des Brennpunkts durch eine Öffnung des Hauptspiegels im Okular lenkt (Abb. 3 bis 5).

Der andere Fehler der einfachen Linsen, die sphärische Aberration, tritt allerdings auch bei den sphärisch geschliffenen Hohlspiegeln auf: Die Brennweite der randnah einfallenden Strahlen ist kürzer als die Vereinigungsweite der von den mittleren Partien reflektierten Strahlen. Bei kleineren Spiegeln – etwa von 100 mm Durchmesser und 1000 mm Brennweite – beeinträchtigt dieser Fehler die Bildgüte nur wenig, wird aber bei relativ kürzeren Brennweiten und bei absolut größeren Durchmessern sehr störend. Für achsenparallele Strahlen läßt sich die sphärische Aberration vollständig beheben, wenn man dem Spiegel die Form der Scheitelfläche eines

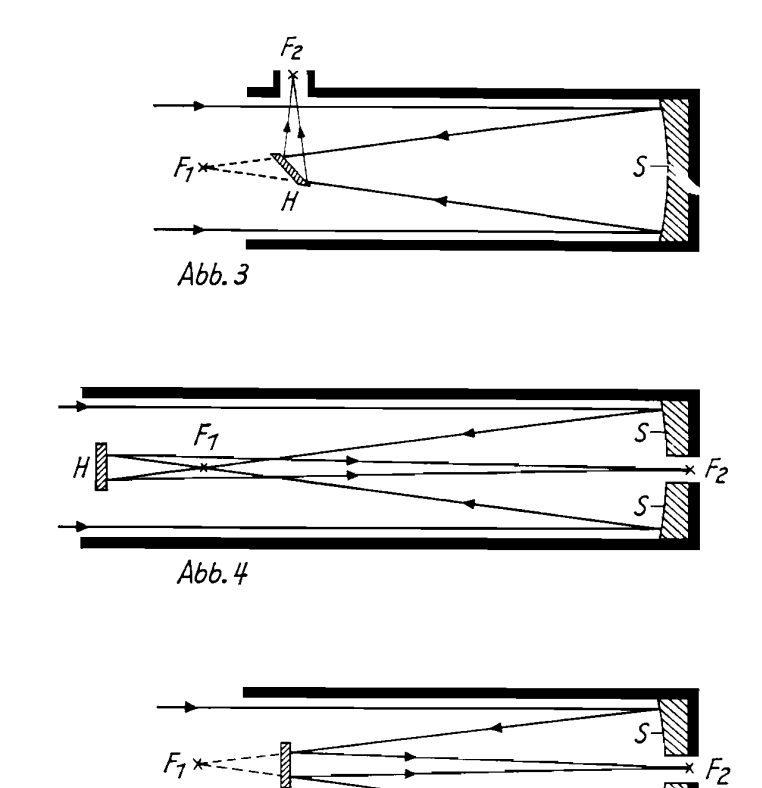


Abb. 3 bis 5. Strahlengang in den Spiegelteleskopen nach Newton (Abb. 3), Gregory (Abb. 4) nach Cassegrain (Abb. 5). S Teleskopspiegel, H Hilfsspiegel (Abb. 3 eben, Abb. 4 konkav, Abb. 5 konvex),  $F_1$  Primärfokus,  $F_2$  Ort des Bildes vor dem Okular

Paraboloids gibt, was bei kleinen und mittleren Abmessungen nur eine geringfügige Deformation der Kugelfläche erfordert.

Abb. 5

Ein zweiter Fehler der Spiegel, die komaförmige Verzeichnung der Bildpunkte aller nicht achsenparallel, also schief einfallenden Lichtstrahlen, fällt bei visuellen Beobachtungen mit Okularen von relativ kleinem Gesichtsfeld nicht auf, wird aber bei der photographischen Beobachtung, die ein größeres Bildfeld erfaßt, sehr unangenehm. Er läßt sich nur durch die Einführung dioptrischer Bauglieder (Schmidt-Korrektionsplatte, Maksutow-Meniskus, Ross-Linse) oder durch eine technisch sehr schwierige Deformierung der Spiegel nach Schwarzschild oder Chrétien für ein größeres Feld beseitigen.

Das Spiegelmaterial war bis vor rund 100 Jahren eine Legierung von 40 bis 47 Teilen Zinn auf 100 Teile Kupfer. Diese Metallspiegel wurden dann durch Glasspiegel abgelöst, deren Oberfläche versilbert und seit einigen Jahrzehnten mit einer aufgedampften Aluminiumschicht versehen wird. Wegen der Empfindlichkeit des Glases gegen Temperaturänderungen stellt man neuerdings große Spiegel aus Quarz oder einem völlig temperaturunempfindlichen keramischen Werkstoff her.

Völlig befriedigten aber auch die Spiegelteleskope nicht, da die Metallspiegel nur etwa 4/8 bis 5/8 des einfallenden Lichts reflektierten, so daß nach zweimaliger Reflexion nur noch 2/8 bis 3/8 der Lichtmenge ins Okular fiel, die ein Linsenfernrohr gleicher Öffnung durchgelassen hätte. Es lag also nahe, nach Mitteln zu suchen, um den störenden Farbfehler der Linsenobjektive zu beheben. Der erste, dem es gelang, war der englische Jurist Chester Moor Hall (geb. 1704), der auch naturwissenschaftlich sehr interessiert war. Vermutlich durch Versuche mit Prismen aus verschiedenen Glassorten fand er, daß normales Glas (Kronglas) etwa die gleiche Brechkraft hatte wie das bleihaltige Flintglas, daß aber die Farbzerstreuung des Flintglases ungefähr anderthalbmal so stark war wie die des Kronglases. Durch die Kombination einer Sammellinse aus Kronglas mit einer Zerstreuungslinse aus Flintglas, die so bemessen war, daß sie die Farbzerstreuung ganz, aber die durch die Kronglaslinse verursachte Konvergenz der Strahlen nur zu 2/3 aufhob, konnte er 1733 ein erstes achromatisches Fernrohr herstellen, bei dem die roten und blauen Strahlen in einem Punkt vereinigt waren und die dazwischenliegenden gelbgrünen Strahlen nicht

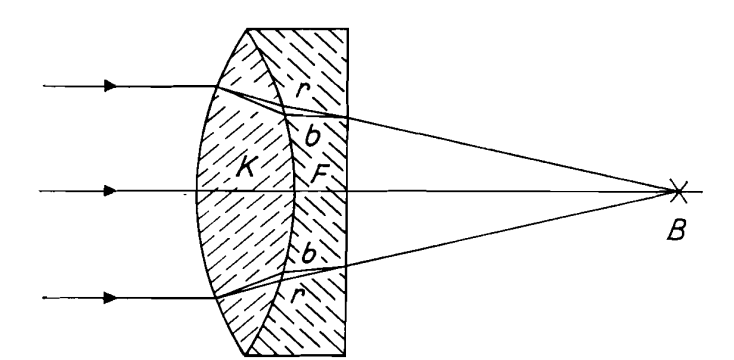


Abb. 6. Lichtbrechung in einem achromatischen Objektiv. K Kronglas, F Flintglas, b blaue Strahlen, r rote Strahlen, B gemeinsamer Brennpunkt

mehr störend abwichen (Abb. 6). Seltsamerweise hat er diese hochwichtige Erfindung nicht veröffentlicht. Sie wurde trotzdem einem kleinen Kreis bekannt, und John Dollond (1706–1761), der allgemein als Erfinder des achromatischen Fernrohrs genannt wird, hat selbst in vertraulichen Gesprächen zugegeben, daß er von Halls Erfindung gewußt hat. Dollonds Verdienst ist, daß er durch zahlreiche Versuche aus den wenigen damals greifbaren Glassorten die herausfand, die für die Hebung des Farbfehlers am geeignetsten waren, und daß er durch sein hohes handwerkliches Können auch wirklich gute achromatische Fernrohre in großer Zahl herstellte. Er und sein Sohn Peter (1730–1820) behaupteten ihre führende Rolle trotz zahlreicher Konkurrenten viele Jahrzehnte hindurch durch die hohe Qualität ihrer Instrumente.

Allerdings war ihr Verfahren noch sehr mühevoll. Es gab noch keine Methoden, um die Brechkraft und die Dispersion der verwendeten Gläser wirklich exakt zu bestimmen. Infolgedessen konnten auch die Krümmungsradien der Objektivlinsen

nur genähert berechnet werden, und man mußte den Linsenflächen nachträglich durch wiederholte Retuschen und Zwischenkontrollen, dem sog. Pröbeln, die bestmögliche Form geben.

Diese umständliche und zeitraubende Methode, die zudem nur bei handwerklich hochtalentierten Spezialisten wirklich zum Erfolg führen konnte, ersetzte der Münchner Optiker Josef Fraunhofer (1787–1826) durch mathematisch und physikalisch fundierte Meß- und Fertigungsverfahren, die den damit vertrauten Optiker in den Stand setzten, die Abmessungen eines Objektivs vor Beginn der Arbeit exakt zu berechnen und ihre Einhaltung während des gesamten Arbeitsprozesses laufend genau zu überwachen.

Neben der Konstruktion von Schleif- und Poliermaschinen war es vor allem die Wiederentdeckung der einige Jahre vorher von Wollaston (1766–1828) gefundenen dunklen Absorptionslinien im Sonnenspektrum, die ihn befähigte, mit ihrer Hilfe die genauen Brechungskoeffizienten von Licht mit exakt definierten Wellenlängen für die benutzten Glasarten zu ermitteln. Noch heute werden die kräftigsten Linien des Sonnenspektrums, deren Wellenlängen er mit großer Genauigkeit gemessen hat, mit den von ihm eingeführten Buchstaben bezeichnet; mit Recht spricht man noch immer von den Fraunhoferschen Linien. Die Kenntnis der exakten Brechzahlen für bestimmte Farben und Glassorten bildete die Voraussetzung für die erfolgreiche Anwendung der ebenfalls von ihm entwickelten trigonometrischen Durchrechnung, mit der die Krümmungsradien und Dicken der Linsen für ein Objektiv von vorgegebener Öffnung und Brennweite von vornherein festgelegt werden konnten. Seine technischen Einrichtungen sorgten dann dafür, daß die berechneten Werte ohne nachträgliches Pröbeln auch wirklich erreicht wurden.

Sein größtes Instrument war der nach Dorpat, dem heutigen Tartu, gelieferte Refraktor von 24.4 cm Öffnung und 434 cm Brennweite (1:17.8), mit dem Wilhelm Struve (1793–1864) seine berühmten Doppelsternmessungen ausführte. Diese Grenze war nicht durch seine bis heute nur wenig verbesserten Rechen- und Schleifmethoden bestimmt, sondern durch die Schwierigkeit, hinreichend große schlierenfreie Flintglasscheiben zu erschmelzen. Diese Schwierigkeit wurde erst im Verlauf des 19. Jahrhunderts allmählich überwunden.

Bei den im vorigen Jahrhundert zur Verfügung stehenden optischen Gläsern konnte man die Vereinigung der farbigen Strahlen in einem Brennpunkt nur für zwei Farben genau verwirklichen, da die Verhältnisse der Farbbereiche in den Spektren des Kronglases andere waren als im Flintglas. Vergleicht man die von einem Kronglas- und einem Flintglasprisma entworfenen Spektren gleicher Länge (wobei das Kronglasprisma einen etwa anderthalbmal so großen brechenden Winkel hat wie das Flintglasprisma), so findet man den rotgelben Bereich des Kronglasspektrums länger und den blauvioletten kürzer als die entsprechenden Bereiche im Flintglasspektrum. In der Regel vereinigt man die roten Strahlen der Fraunhoferschen C-Linie ( $H_x$ ) und die blauen seiner F-Linie ( $H_{\beta}$ ). Die Abweichung der dazwischenliegenden gelbgrünen hellsten Strahlen bleibt dann unmerklich, aber das blauviolette Licht jenseits der F-Linie weicht stärker ab und bildet um helle Objekte einen schwachen blauen Saum, das sog. sekundäre Spektrum, Es kann besonders bei großen Refraktoren die Erkennung schwacher Kontraste auf Planetenoberflächen erschweren. Seine Verminderung – bis zu praktisch völliger Beseitigung – gelang erst, als nach langwierigen Versuchen

<sup>2</sup> Ahnert, Prakt. Astronomie

neue auch gegen atmosphärische Einflüsse (Feuchtigkeit, Gasspuren) widerstandsfähige Gläser erschmolzen wurden, wobei die Schottschen Glaswerke in Jena eine führende Rolle spielten. Diese neuen Glassorten zeigen bei verschieden großer Dispersion sehr ähnliche Verhältnisse der einzelnen Farbbereiche, die Abweichung der nicht streng vereinigten Restfarben wird bei zweilinsigen Objektiven auf fast die Hälfte (Halbapochromate), bei dreilinsigen Objektiven bis nahe zum Verschwinden reduziert (Apochromate).

Der Einfluß des sekundären Spektrums wächst mit zunehmendem Objektivdurchmesser, kann aber durch Verlängerung der Brennweite in erträglichen Grenzen gehalten werden. So gab man dem 60-cm-Refraktor für Paris (jetzt auf dem Pic du Midi) 1889 eine Brennweite von 18 m (1:30). Bei kleineren Objektiven kann man die relativen Brennweiten ohne Bedenken kürzer halten. So zeigt das (nur achromatische) 63-mm-Objektiv des "Telementor" noch keine Störung durch das schwache sekundäre Spektrum. Bei den AS-Halbapochromaten von Carl Zeiss, Jena, stört bei Öffnungen von 80 und 100 mm und Brennweiten von nur 840 bzw. 1000 mm (1:10.5 und 1:10) das kaum merkliche Restspektrum überhaupt nicht mehr.

#### 2.3. Optische Leistungen moderner Liebhaberfernrohre

Nach diesem geschichtlichen Rückblick möchte ich jetzt auf die optischen Eigenschaften, die Leistungen und die Anwendungsmöglichkeiten moderner Liebhaberfernrohre näher eingehen. Für die dabei auftretenden Begriffe, die wohl nicht erklärt werden müssen, werden die folgenden Abkürzungen gebraucht:

 $F \ (\mathrm{mm}) = \mathrm{Objektivbrennweite}$   $\sigma \ ('') = \mathrm{Durchmesser} \ \mathrm{des} \ \mathrm{Beugungs-scheibchens}$   $V = \mathrm{Vergr\"{o}Berung}$   $\rho \ ('') = \mathrm{Durchmesser} \ \mathrm{des} \ \mathrm{Beugungs-scheibchens}$   $\rho \ ('') = \mathrm{Durchmesser} \ \mathrm{des} \ \mathrm{I.} \ \mathrm{Beugungs-scheibchens}$   $\rho \ ('') = \mathrm{Durchmesser} \ \mathrm{des} \ \mathrm{I.} \ \mathrm{Beugungs-scheibchens}$   $\rho \ ('') = \mathrm{Durchmesser} \ \mathrm{des} \ \mathrm{I.} \ \mathrm{Beugungs-scheibchens}$   $\rho \ ('') = \mathrm{Durchmesser} \ \mathrm{des} \ \mathrm{I.} \ \mathrm{Beugungs-scheibchens}$   $\rho \ ('') = \mathrm{Durchmesser} \ \mathrm{des} \ \mathrm{I.} \ \mathrm{Beugungs-scheibchens}$   $\rho \ ('') = \mathrm{Durchmesser} \ \mathrm{des} \ \mathrm{I.} \ \mathrm{Beugungs-scheibchens}$   $\rho \ ('') = \mathrm{Durchmesser} \ \mathrm{des} \ \mathrm{I.} \ \mathrm{Beugungs-scheibchens}$   $\rho \ ('') = \mathrm{Durchmesser} \ \mathrm{I.} \ \mathrm{Beugungs-scheibchens}$   $\rho \ ('') = \mathrm{Durchmesser} \ \mathrm{I.} \ \mathrm{Beugungs-scheibchens}$   $\rho \ ('') = \mathrm{Durchmesser} \ \mathrm{I.} \ \mathrm{Beugungs-scheibchens}$   $\rho \ ('') = \mathrm{Durchmesser} \ \mathrm{I.} \ \mathrm{Beugungs-scheibchens}$   $\rho \ ('') = \mathrm{Durchmesser} \ \mathrm{I.} \ \mathrm{Imposition}$   $\rho \ ('') = \mathrm{Imposition}$   $\rho \ ($ 

Diese Werte sind durch eine Reihe von Beziehungen verknüpft, die über die verschiedenartigen Leistungen der Objektive Auskunft geben.

Das Fernrohr soll entfernte Gegenstände größer, heller und scharf definiert abbilden.

Die Vergrößerung wird bestimmt vom Verhältnis von Objektiv- zu Okularbrennweite:  $V=\frac{F}{f}$ , die Gesamthelligkeit eines Objekts gegenüber der Betrachtung mit dem bloßen Auge wird definiert durch

$$H=rac{D^2}{p^2}\,,$$

die Flächenhelligkeit eines ausgedehnten Objekts (Planet) ist proportional dem Verhältnis der 2. Potenzen von Austrittspupille und Augenpupille:

$$h=rac{d^2}{p^2}$$
 ,

wobei d durch die Objektivöffnung und die Vergrößerung bestimmt wird:  $d = \frac{D}{V}$ . Die letzte Beziehung gibt übrigens eine bequeme Möglichkeit, die Vergrößerung eines Fernrohrs zu messen:  $V = \frac{D}{d}$ . D ist bekannt bzw. leicht zu messen. Bringt man an den Ort der Austrittspupille, die dicht hinter der Augenlinse des auf unendlich eingestellten Okulars als scharfbegrenztes helles Scheibehen (verkleinertes Abbild des Objektivs) erscheint, eine feingeteilte Glasskala, etwa das Mikrometerplättehen eines Mikroskopokulars, so läßt sich der Durchmesser d der Austrittspupille mit einer Lupe leicht ablesen.

Die Definition – Schärfe der Abbildung – hängt im wesentlichen nur von der Öffnung des Objektivs ab. Wegen seiner Wellennatur erfährt das Licht an der Begrenzung des Objektivs eine Beugung. Dadurch wird ein Lichtpunkt – ein Fixstern – in der Brennebene nicht als Punkt, sondern als Scheibchen abgebildet. Dieses Beugungsscheibchen ist von mehreren Beugungsringen umgeben, von denen aber nur der erste, der innere, noch eine merkliche Intensität besitzt. Seine Maximalintensität beträgt bei einem Refraktorobjektiv nur 1.7 % der Mittenintensität des Beugungsscheibchens. Für den Beobachter ist der Durchmesser des Beugungsscheibchens in Bogensekunden von Bedeutung. Er kennzeichnet die Minimaldistanz, bis zu der zwei an Helligkeit wenig verschiedene Doppelsternkomponenten noch getrennt werden können. Auf Planetenoberflächen und dem Mond kann von Objekten, die kleiner als das Beugungsscheibchen sind, bei genügend starkem Helligkeitskontrast zwar noch ihr Vorhandensein, aber nicht mehr ihre wahre Gestalt wahrgenommen werden. Scharfe Grenzlinien (Mondbergschatten) verlieren bei starker Vergrößerung etwas an Schärfe, weil von der hellen Umgebung Licht in die dunklen Partien abgebeugt wird.

Der optisch wirksame Durchmesser des Beugungsscheibehens beträgt für ein fehlerfreies Refraktorobjektiv von 100 mm Öffnung für die Wellenlänge 560 nm (für visuelle Beobachtungen)  $\sigma_0 = 1''.16$ , der Durchmesser des 1. Beugungsringes  $\varrho_0 = 1''.84$ . Beide Werte sind umgekehrt proportional der Öffnung. Für andere Öffnungen folgt daher

$$\sigma = \sigma_0 \frac{100}{D} \,, \qquad \varrho = \varrho_0 \frac{100}{D} \,.$$

Bei den konventionellen Spiegelteleskopen nach Newton und Cassegrain bildet der Hilfsspiegel eine Zentralblende. Die Öffnung ist daher keine Kreisfläche, sondern ein Kreisring mit zwei Begrenzungen. Dadurch wirC die Beugungsfigur in dem Sinne geändert, daß die Intensität des zentralen Scheibchens sinkt und die Helligkeit der Beugungsringe zunimmt. Das führt praktisch zu einer Vergrößerung der optisch wirksamen Beugungsfigur und damit zu einer Verminderung der Definition. Bei einem Newton-Spiegel von 11 cm Öffnung und 1 m Brennweite (1:9) genügt ein elliptischer Fangspiegel mit der kleinen Achse von 3 cm. Die Blende eines 25-mm-Okulars (V = 40fach) wird dann noch voll ausgeleuchtet. Der Fangspiegel wirkt als zen-

trale kreisförmige Blende, deren Durchmesser 27% des Hauptspiegeldurchmessers beträgt. Die Definition ist noch wenig geschmälert. Bei den Cassegrain- und Meniskusteleskopen von Carl Zeiss beträgt der Durchmesser des Hilfsspiegels aber etwa 40% des Objektivdurchmessers. Hier wird der Effekt bei starken Vergrößerungen schon merklich. Doch läßt sich dieser Nachteil, wie schon eingangs erwähnt, durch die Wahl eines um 30 bis 50% größeren Spiegeldurchmessers ausgleichen. Die Preise für die Optik bleiben immer noch erheblich niedriger als die Kosten eines kleineren Refraktorobjektivs gleicher Leistung.

Die Lichtverluste durch den Hilfsspiegel sind demgegenüber ohne Bedeutung. Sie betragen bei dem erwähnten Newton-Spiegel 0<sup>m</sup>.1, bei dem Cassegrain ziemlich genau 0<sup>m</sup>.2. Ein 15-cm-Cassegrain mit einem Hilfsspiegel von 6 cm Durchmesser nimmt ebensoviel Licht auf wie ein nicht abgeblendetes Objektiv von 13.8 cm Öffnung. Lichtverlust und störende Beugungseffekte werden bei dem sog. Schiefspiegler vermieden, einer cassegrainähnliche Konstruktion, bei der der Hilfsspiegel seitlich vom einfallenden Lichtweg des Hauptspiegels sitzt, diesen also mit seiner vollen Öffnung zur Wirkung kommen läßt. Dabei entstehen wegen des schrägen Lichteinfalls auf beiden Spiegeln Astigmatismus und Koma von beträchtlicher Größe. A. Kutter gibt in seinem Buche "Der Schiefspiegler" (1953) Methoden zur Beseitigung dieser Fehler an. Die Koma soll durch eine Änderung der Neigung des Fangspiegels und der Astigmatismus durch Einschaltung einer Zylinderlinse behoben werden. Leider habe ich selbst noch keine Erfahrungen mit diesem Instrumententyp sammeln können. Ich erhielt aber vor einiger Zeit von einem Sternfreund Aufnahmen des Mondes, die mit einem Schiefspiegler gemacht worden waren, deren Qualität an diejenige heranreicht, die mit einem gleichgroßen Refraktor erzielt wurde.

Bei der photographischen Verwendung der großen Spiegel am Fixsternhimmel spielt die Gestalt der Beugungsfigur keine Rolle, da das Beugungsbild eines Sterns stets bedeutend kleiner ist als das photographische Bild, das durch die Struktur der Plattenemulsion und die atmosphärische Szintillation vergrößert wird.

Ein Vorteil der Spiegel, der aber bei den Abmessungen der Liebhaberfernrohre von untergeordneter Bedeutung bleibt, ist seine vollkommene Achromasie. Bei einem aus zwei Linsen bestehenden Refraktorobjektiv können, wie bereits gesagt wurde, nur zwei Farben streng in einem Brennpunkt vereinigt werden. Aber bei dem Achromaten des 63-mm-Schulfernrohrs und noch mehr bei den AS-Objektiven von 63 mm bis 150 mm Öffnung ist die Abweichung der hellen Restfarben (Gelbgrün) so gering und die Helligkeit des stärker abweichenden Violett so schwach, daß die Bilder ebenfalls praktisch farbenfrei sind. Die Erfahrung lehrt, daß die Bildverschlechterung durch die Beugungswirkung der Zentralblende beim Spiegelteleskop besonders bei starken Vergrößerungen schädlicher ist als das kaum merkliche lichtschwache sekundäre Spektrum eines AS- oder kleinen E-Objektivs.

Die Beugung und die zunehmende Lichtschwäche begrenzen die Vergrößerungsmöglichkeiten. Für Detailbeobachtungen auf Mond und Planeten sind Vergrößerungen angebracht, die zwischen der Millimeterzahl der Öffnung bis zum Doppelten (bei Spiegeln bis zum Anderthalbfachen) dieses Wertes liegen (Austrittspupillen 1 bis 0.5 mm). Darunter wird nicht mehr alles Detail sichtbar, darüber ist wegen der durch die Beugung hervorgerufenen Unschärfe und wegen der abnehmenden Flächenhelligkeit kein Gewinn mehr zu erzielen. Für ausgedehnte, aber relativ lichtschwache Ob-

jekte (Kometen, Sternhaufen und Nebel) geben Vergrößerungen zwischen einem Drittel und der Hälfte der Millimeterzahl der Öffnung die besten Bilder; Austrittspupillen von 3 bis 2 mm. Für enge Doppelsterne kann man die Vergrößerung bis zum Dreifachen der Millimeterzahl der Öffnung steigern. Ein fehlerfreies Objektiv zeigt dann bei ruhiger Luft sehr schön die völlig runden und bei genügender Helligkeit von feinen Ringen umgebenen Beugungsscheibehen.

Die Abnahme der Flächenhelligkeit, die die Wirkung starker Vergrößerungen beeinträchtigt, bringt bei mittleren Vergrößerungen einen sehr erfreulichen Vorteil. Die Reichweite des bloßen Auges liegt für eine Pupillenöffnung von 5 mm bei etwa  $6^{\rm m}.0$ . Man sollte dann mit einem 63-mm-Fernrohr wegen der Lichtverluste durch Absorption und Reflexion (mindestens 8 Flächen gegen Luft) nur etwa  $11^{\rm m}.0$  erreichen. Tatsächlich kommt aber ein durchschnittliches, gut dunkelangepaßtes Auge bei etwa 50- bis 80facher Vergrößerung, Austrittspupille etwa 1 mm, bei guter Luft bis  $11^{\rm m}.5$ . Während das Auge beim freien Anblick des Sternhimmels wegen dessen Helligkeit überhaupt nicht voll dunkelangepaßt ist, wird bei einer Austrittspupille von 1 mm die Flächenhelligkeit des Hintergrundes auf  $1^2/5^2 = 1/25$  herabgesetzt. Die Begrenzung des scheinbaren Gesichtsfelds durch die schwarze Blende hilft weiter zur Erholung der Netzhaut, so daß tatsächlich schwächere Lichteindrücke wahrgenommen werden können, als wenn das Auge ungeschützt der Nachthimmelhelligkeit ausgesetzt ist.

Die wichtigsten optischen Daten einiger Liebhaberinstrumente des VEB Carl Zeiss sind aus Tabelle 2 ersichtlich.

Objektiv Art	D (mm)	F (mm)	D: F Öffnungs- verhältnis	Grenzgröße  m_	Auf- lösung ''	Zweck- mäßige Okulare f (mm)	Ver- größerung V
Achromat	50	<b>54</b> 0	1:10.8	11.0	2.3	25 bis 6	22 bis 90
Achromat1)	63	840	1:13.3	11.5	1.8	25 bis 6	<b>34</b> bis <b>140</b>
AS	63	840	1:13.3	11.5	1.8	25 bis 6	<b>34</b> bis 140
AS	80	840	1:10.4	12.0	1.5	25 bis 4	<b>34</b> bis 210
AS	80	1200	1:15	12.0	1.5	40 bis 6	30 bis 200
AS	100	1000	1:10	12.5	1.2	25 bis 4	40 bis 250
Cassegrain							
und Meniskas	150	2250	1:15	13.2	(0.8)	40 bis 10	56 bis 225

Tabelle 2. Wichtigste optische Daten einiger Liebhaberfernrohre von VEB Carl Zeiss

Die älteren kurzbrennweitigen 63- und 80-mm-Fernrohre wurden mit einfacher parallaktischer Montierung (ohne Teilkreise und elektrischen Antrieb) und kräftigem Holzstativ geliefert. Diese Ausführung hat – bei voller Stabilität – den Vorteil der Leichtigkeit. Die Gesamtmasse beträgt 16 kg, leicht genug für den Transport und doch sehwer genug für gute Standfestigkeit. Zu dem langbrennweitigen 80-mm- und

<sup>1)</sup> Objektiv des "Telementor"

dem 100-mm-Fernrohr wurden eine schwere eiserne Säule (Masse 73 kg) und ein Achsensystem Ib mit eingebautem Synchronmeter (Masse 23 kg) geliefert. Die Säule kann am Beobachtungsplatz stehenbleiben und ihr Oberteil durch eine Gummi- oder Metallkappe (Konservenbüchse) geschützt werden. Zum Beobachten bringt man nacheinander das Achsensystem und das Fernrohr, das mit einer Prismenführung sicher angeklemmt wird, auf die Säule. Die beiden 15-cm-Spiegelteleskope (herkömmlicher Cassegrain und Meniskas) besitzen die gleiche Montierung. Der Cassegrain läßt sich noch bequem aufsetzen, während bei dem bedeutend schwereren Meniskus die Grenze der Transportierbarkeit und auch der Tragfähigkeit der Ib-Montierung nahezu erreicht ist. Dieses Instrument sollte besser in einer Kuppel oder Schutzhütte als Ganzes stehenbleiben.

Die Teilkreise der Ib-Montierung weisen noch eine interessante Neuerung auf: Am Stundenkreis kann man nicht nur die Stundenwinkel, sondern auch die Rektaszension direkt ablesen, so daß die Umrechnung über die Sternzeit unnötig wird.

Die Montierung des neuen 63-mm-Schulfernrohrs "Telementor" wurde bereits beschrieben. Abbildung 7 zeigt dieses Instrument, Abbildung 8 ein 100-mm-AS-Fernrohr auf der schweren Säule (Abb. 7 und 8, s. Anhang).

#### 2.4. Ergänzungen und Nebenapparate

Jedes Fernrohr ist noch ausbaufähig. Eine zunächst einfache Montierung ohne Antrieb kann später durch eine selbstgebaute oder gekaufte stärkere Montierung mit elektrischem Antrieb ersetzt werden. Ein Sucher, der zwar nicht unbedingt nötig ist, erleichtert das Auffinden lichtschwacher oder wenig ausgedehnter Objekte (Planeten), besonders bei stärkeren Vergrößerungen. Zur gefahrlosen Beobachtung der Sonne lieferte Zeiss Chromfilter, die vor das Objektiv gesetzt werden und die schädliche Wärme vom Innern des Instruments abhalten. Sie lassen nur noch 0.01 % der auffallenden Energie durch. Ein Satz von fünf verschieden dichten, auf die Okulare aufsteckbaren Graugläsern erlaubt es, für jede Vergrößerung und jede Sonnenhöhe die günstigste Helligkeit des Sonnenbildes zu wählen.

Besitzt man kein solches Objektivfilter, kann man auch ein dunkles Neutralglasfilter, wie sie für die Feldstecher zur Sonnenbeobachtung geliefert werden, auf das Okular aufstecken. Dann muß aber unbedingt das Objektiv auf höchstens 50 mm Ø abgeblendet werden. Eine größere Öffnung sammelt zuviel Wärme, die verkittete Okulare beschädigen und das dunkle Dämpfglas zum Platzen bringen kann, was schwere Augenschäden zur Folge haben könnte.

Es gibt noch zwei weitere gefahrlosere Methoden der Sonnenbeobachtung, die außerdem den Vorteil haben, daß man die volle Öffnung des Fernrohrs benutzen kann. Die eine ist die Projektionsmethode, bei der das vergrößerte Sonnenbild auf einer weißen Papierfläche aufgefangen wird. Das Papier kann etwa 25 bis 30 cm hinter dem Okular auf einer einfachen Haltevorrichtung (Projektionsschirm) befestigt werden, die am Fernrohr angebracht wird. Dies Verfahren ist besonders für Schülerbeobachtungen geeignet.

Für direkte Okularbeobachtungen ist es aber auch möglich, das Sonnenlicht durch Reflexion an einer unbelegten ebenen Glasfläche vor dem Eintritt in das Okular auf 5% seiner ursprünglichen Intensität abschwächen. Man kann dazu ein rechtwinkliges Prisma nehmen, muß natürlich darauf achten, daß das Licht von außen auf die Hypotenuse fällt. Sonst hätte man an dieser Fläche Totalreflexion und bekäme das volle Licht ins Okular, was man ja gerade vermeiden will. Natürlich ist jetzt ein Feldstecherfilter zu dicht. Für ein 16-mm-Okular (Vgr. 52fach bei 840 mm Brw.) kommt man mit einem Filter aus, das 330- bis 400mal soviel Licht durchläßt wie ein Feldstecherfilter und das man sich aus einem passenden Probeglas des VEB Schott in Jena zurechtschneiden kann. Die Eigenschaften der Filtergläser findet man in dem Katalog des VEB Jenaer Glaswerk Schott: Farb- und Filterglas für Wissenschaft und Technik.

Schwierigkeiten können bei Beobachtungen in größeren Höhen (kleinen Zenitdistanzen) entstehen. Bei den Spiegelteleskopen Newtonscher Bauart wird das Licht in ein seitlich am oberen Rohrende sitzendes Okular abgelenkt. Hier ist selbst bei Zenitstellung noch ein bequemer Einblick möglich. Anders bei Refraktoren und Casse-GRAIN-Spiegeln. Bei ihnen kommt in zenitnahen Stellungen das Okular ziemlich tief zu liegen, und eine Beobachtung ist nur mit besonders hergerichteten Sitzgelegenheiten oder unter kräfteverzehrenden Gliederverrenkungen möglich. Hier hilft ein sog. Zenitprisma, das zwischen Okularauszug und Okular eingesetzt wird und bei allen Vergrößerungen eine Beobachtung in ungezwungener Körperhaltung gestattet. Leider haben die handelsüblichen rechtwinklig-gleichseitigen Zenitprismen einen häßlichen Nachteil: Sie geben spiegelverkehrte Bilder. Das erschwert das Aufsuchen schwächerer Sterne nach einer Sternkarte sehr und ist höchst lästig beim Zeichnen von Planeten oder Mondlandschaften, bei denen dann Ost und West vertauscht erscheinen. Diesem Übelstand ließe sich durch die nur wenig kostspieligeren Pentagonprismen mit zwei reflektierenden Flächen abhelfen, wie sie schon vor 50 Jahren die ehemalige Firma Goerz herausbrachte. Hier ist die Bildorientierung genau die gleiche wie bei Beobachtung ohne Prisma.

Ein sog. Okularspektroskop, ein auf das Okular aufschraubbares geradsichtiges Prisma, ist dagegen für Öffnungen unter 200 mm nur von geringem Wert. Man wird damit nur bei wenigen hellen Fixsternen mit kräftigen Wasserstofflinien etwas erkennen können. Dagegen kann man sehr schöne linienreiche Spektren schon mit einem kleinen, vor dem Objektiv einer Kamera befestigten Prisma mit 45° brechendem Winkel erhalten.

Die Photographie ist heute so sehr Allgemeingut, daß es keinem Liebhaber Schwierigkeiten machen dürfte, sich auch in der Astrophotographie zu versuchen. Am leichtesten sind Aufnahmen des Fixsternhimmels zu gewinnen. Eine Kleinbildkamera, mit irgend einer Vorrichtung am Rohr oder auf der Deklinationsachse befestigt, bildet auf empfindlichem Film in 10 Minuten die Sterne bis zur 11. Größe ab. Abbildung 9 (s. Anhang) zeigt eine einfache Haltevorrichtung. In einen kurzen Metallzylinder ist ein Spalt eingefräst, mit der er auf die Deklinationsachse aufgeschoben und mit der seitlichen Schraube festgeklemmt wird. Oben trägt er eine kurze Spindel mit einem Photogewinde zur Aufnahme eines kräftigen Kugelgelenks oder eines Panoramakopfs. Auf Abbildung 10 ist die Vorrichtung mit einer "Werra" auf einer Zeiss-I-Montierung zu sehen. Natürlich muß das Fernrohr parallaktisch montiert sein. Ein elektrischer Antrieb ist bei der kurzen Kamerabrennweite nicht nötig. Es genügt, einen etwas extrafokal eingestellten Stern im Fernrohr, das so als sog. Leitfernrohr dient, auf

dem Schnittpunkt eines im Okular angebrachten Fadenkreuzes zu halten, was mit der Feinbewegung oder bei schwach angezogener Klemmung der Stundenachse ruckweise alle 3 bis 4 Sekunden geschehen kann. Das Fadenkreuz kann aus den eigenen Haaren hergestellt und auf die Okularblende aufgeklebt werden (erprobt in meiner eigenen Frühzeit).

Der VEB Carl Zeiss, Jena, bot auch regelrechte Astrokameras mit Tessaren von 56 mm Öffnung und 250 mm Brennweite an, die an der Deklinationsachse der schweren parallaktischen Ib-Montierung mit eingebautem elektrischem Antrieb angesetzt werden. Diese Kameras erfassen bei halbstündiger Belichtungszeit schon die Sterne bis zur Größe 13<sup>m</sup>.5, mehr als visuell mit den oben beschriebenen Liebhaberfernrohren zu erreichen ist. Das Fernrohr mit Fadenkreuz im Okular dient wieder als Leitrohr. Abbildung 11 wurde mit einer solchen Kamera aufgenommen. Aber auch jede andere ältere Plattenkamera ist für solche Aufnahmen geeignet, wenn sie nur parallel zum Leitrohr stabil befestigt werden kann (Abb. 12) (Abb. 10 bis 12 s. Anhang).

Für Spektralaufnahmen ist schon ein rechtwinkliges Reflexionsprisma (ausgebautes Zenitprisma) geeignet. Es muß so vor dem Objektiv angebracht werden, daß die parallel zur optischen Achse in das Objektiv einfallenden Strahlen das Prisma in Mini-

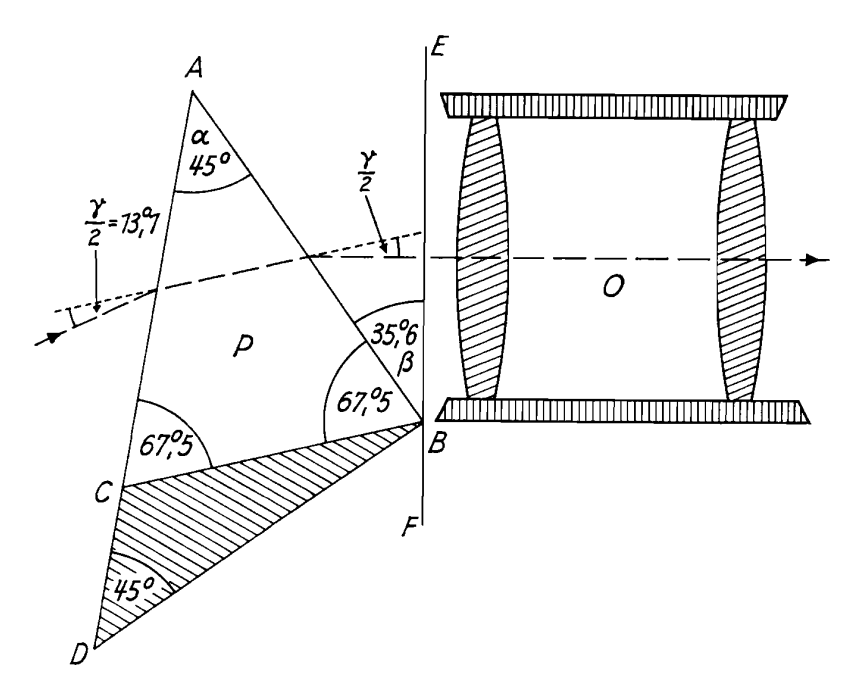


Abb. 13. Ablenkung eines Lichtstrahls in einem Objektivprisma. P Prisma, O Objektiv ( $d=45^{\circ}$ , n=1.52,  $\lambda=436$  nm)

mum der Ablenkung, d.h. parallel zur Basisfläche (BC in Abb. 13) durchlaufen. In Abbildung 13 ist ABC der gleichschenklige optisch wirksame Teil des Reflexionsprismas ABD. Der Teil BCD (schraffiert) bleibt außerhalb des vom Objektiv L aufgenommenen Strahlenbündels.  $\alpha$  ist der brechende Winkel von  $45^{\circ}$ . Für Kronglas mit einem Brechungsindex 1.52 für violettes Licht ( $\lambda = 436$  nm) wird der Winkel  $\beta$  zwischen der Ebene der Objektfassung EF und der dem Objektiv zugekehrten Seite AB des Prismas =  $35^{\circ}$ .6, der halbe Ablenkungswinkel  $\gamma/2 = 13^{\circ}$ .1 und die Gesamt-

ablenkung 26°.2. Um diesen Winkel muß die Kamera gegen das Leitrohr geneigt werden, damit das Spektrum eines im Fernrohr eingestellten Sterns in der Mitte des Kamerafeldes abgebildet wird.

Für Prismen aus Glas mit anderen Brechzahlen n (Flintglas) und anderem brechenden Winkel  $\alpha$  erhält man den für die Anbringung des Prismas wichtigen Winkel  $\beta$  aus der Formel  $\sin \alpha/2 \cdot n = \sin \beta$ . Der Ablenkungswinkel wird  $\gamma = 2\beta - \alpha$ .

Das Prisma wird so gedreht, daß die brechende Kante parallel zur täglichen Bewegung steht. Bei genauer Nachführung würde man ein fadenförmiges Spektrum erhalten, in dem keine Linien zu erkennen sind. Man läßt am einfachsten bei ruhendem Fernrohr den Stern vom Schnittpunkt des Fadenkreuzes mehrere Sekunden weglaufen, holt ihn dann (evtl. mit der Feinbewegung) wieder zum Schnittpunkt zurück und wiederholt dieses Verfahren. Die günstigste Breite des Spektrums und die Dauer der Belichtung müssen durch Versuche ermittelt werden (Beispiele Abb. 14).

Für die Aufnahmen von Sonne, Mond und Planeten wird das Fernrohr selbst als Kamera benutzt. Mit den beiden 15-cm-Spiegelinstrumenten (Cassegrain und Meniskus) kann der Mond auf feinkörnigem Film mittlerer Empfindlichkeit im direkten Fokus aufgenommen werden. Zweckmäßig ist wegen der genauen Scharfeinstellung die Verwendung einer Spiegelreflexkamera, die mit einem Zwischenring (ohne Kamera-objektiv) am Auszug befestigt wird. Bei der großen Brennweite von 225 cm wird das Bild des Mondes je nach seinem Abstand 19 bis 22 mm groß, paßt also noch in das Kleinbildformat von  $24 \times 36$  cm. Die Belichtungszeiten liegen je nach der Phase und der Filmempfindlichkeit zwischen 1/10 und 1/100 Sekunde.

Die Brennweiten der Liebhaberrefraktoren (54 bis 120 cm) sind für Fokalaufnahmen zu kurz. Hier muß ein optisches Zwischenglied eingeschaltet werden, das ein bereits vergrößertes Bild auf die Platte oder den Film bringt. Dieses Zwischenglied kann eine Barlow-Linse oder ein (möglichst orthoskopisches) Okular sein. Die Kamera – ohne ihr Objektiv – muß wieder durch Zwischenringe oder bei Plattenkameras mit einer besonderen Haltevorrichtung am Okularauszug befestigt werden. Der VEB Carl Zeiss, Jena, hat speziell für die Serie seiner Amateurfernrohre eine sehr gut durchkonstruierte Mond- und Planetenkamera entwickelt, die auch für Sonnenaufnahmen geeignet ist. Sie kann mit einer dazugehörigen Plattenkamera oder einer beliebigen Kleinbildkamera benutzt werden. Die Plattenkamera hat Verschlußzeiten von 1 bis 1/125 Sekunde. Ein Kontrollokular, in das 20 % des einfallenden Lichts abgelenkt werden, gestattet eine genaue Einstellung auf das Objekt auch mit Kleinbildkameras ohne Spiegel.

Als Vergrößerungssystem dient ein sog. Projektiv (4fach), die Optik der zugehörigen Plattenkamera vergrößert zusätzlich 2fach, so daß die Brennweite 8fach verlängert wird. Die Belichtungszeiten sind 50- bis 100fach so lang wie bei Aufnahmen im Primärfokus. Wählt man hochempfindliches Material, kann man am Mond je nach der Phase mit 1/10 bis 3 Sekunden auskommen (Abb. 15, s. Anhang).

Bei Sonnenaufnahmen ist Vorsicht geboten. Während des Einstellens muß unbedingt ein Sonnenschutzfilter vor das Objektiv gesetzt werden, das so viel Licht und Wärme abhält, daß man im Kontrollokular die Sonne ohne Belästigung beobachten kann Nur unmittelbar vor der Betätigung des Auslösers hebt man das Schutzfilter kurz ab und setzt es nach der Belichtung sofort wieder auf. Ohne diese Vorsichtsmaßregel würde der Kameraverschluß unfehlbar verschmoren. Als Auf-

nahmematerial dienten (Abb. 17) Diapositivplatten mit Gelbfilter. Belichtungszeit 1/125 Sekunde).

Die Abbildungen 16 und 17 sind mit der sog. Basteloptik vom VEB Carl Zeiss, Jena (50-mm-E-Objektiv), aufgenommen. Die Negativbilder von Sonne und Mond sind nur etwa 40 mm groß. Größere Objektive erfassen natürlich mehr Details. Was man mit den 63- und 80-mm-AS-Objektiven erreichen kann, zeigen die Abbildungen 18 und 19 (Abb. 16 bis 19 s. Anhang).

Sehr reizvoll können Mikrometermessungen am Fernrohr sein, und mancher Amateur würde sich wenigstens gelegentlich gern damit befassen. Das ideale Instrument dafür ist das Fadenmikrometer, dessen Preis allerings schon in der einfachsten Ausführung mit einfachem Positionskreis und Beleuchtungseinrichtung die 1000-Mark-Grenze übersteigt. Außerdem setzt sein Gebrauch ein sehr stabil und exakt parallaktisch aufgestelltes Fernrohr mit sauber arbeitendem Triebwerk voraus und lohnt die Anschaffung nur für größere Instrumente, als sie den meisten Liebhabern zur Verfügung stehen.

Einfache Mikrometer, von denen das erste nicht einmal eine parallaktische Aufstellung erfordert und die alle bei ruhendem Fernrohr und ohne Beleuchtung benutzt werden, sind das Ringmikrometer und das Lamellenmikrometer, das auch mit zwei sich rechtwinklig kreuzenden Lamellen als sog. Kreuzstabmikrometer ausgebildet sein kann. Beim Ringmikrometer ist ein Stahlring auf eine in der Blendenebene des Okulars befindliche planparallele Glasplatte aufgekittet, während die Stahllamellen frei über die Okularblende gespannt sind. Diese Mikrometer – die beiden letzteren meist in Verbindung mit einem Positionskreis – wurden früher, ehe man zu der genaueren Messung auf photographischen Aufnahmen überging, zur Messung von Kometen- und Planetoidenörtern benutzt, wobei die Zeiten der Durchgänge der Gestirne durch die Kanten der Lamellen oder des Stahlrings nach den Pendelschlägen einer Sternzeituhr bestimmt wurden. Die Auswertung erfordert einen zwar durchsichtigen, aber ziemlich zeitaufwendigen Formelapparat. Außerdem sind sie, ganz abgesehen von der Sternzeituhr, für viele Liebhaber schwierig zu beschaffen.

Leicht zu erreichen und billig sind dagegen die zum Einlegen in Mikroskopokulare bestimmten Glasplättchen mit eingeritzten oder eingeätzten Teilungen. Man kann sie vom VEB Carl Zeiss (Verkaufsabt. f. Mikroskope) als rechtwinkliges Strichkreuz oder als Skala – 1 cm in 100 Teile geteilt – beziehen. Sie werden mit 4 Tröpfchen Kanadabalsam oder notfalls auch mit vorsichtig aufgetragenem handelsüblichen Klebstoff auf der Blende eines orthoskopischen oder Kellnerschen Okulars befestigt. Zweckmäßig bringt man das Plättchen so an, daß die Seite mit der Teilung den Okularlinsen zugekehrt ist. Man kann die Teilung dann bequem durch Herausschrauben der Linsenfassung um etwa einen Schraubengang für sein Auge scharf einstellen. Noch besser sind dafür die allerdings teureren Okulare mit Dioptrieneinstellung geeignet.

Die Länge der Skala s im Winkelmaß ( $\omega$ ) ergibt sich aus der Formel tg  $\omega = s/F$ . Für F = 840 mm und s = 10 mm findet man tg  $\omega = 0.011905$ ;  $\omega = 40'55''$  (ein Teilungsintervall = 1 p = 24".55). Zur Kontrolle kann man den Skalenwert auch empirisch bestimmen, wenn man die Skala parallel zur täglichen Bewegung einstellt und den Durchgang eines äquatornahen Sterns ( $\delta$  Ori 2<sup>m</sup>.5,  $\zeta$  Vir 3<sup>m</sup>.4,  $\alpha$  Aqr 3<sup>m</sup>.2) bei stillstehendem Fernrohr mit einer Stoppuhr mißt. Ist die Durchgangszeit t Sekunden, dann beträgt die Skalenlänge  $\omega'' = (15 \text{ t})''$ .

Anleitungen 27

In einem Okular von 16 mm Brennweite lassen sich Sonne und Mond ganz überblicken. Eine Skala in einem solchen Okular ermöglicht die fortlaufende Messung der veränderlichen scheinbaren Durchmesser dieser Gestirne, der Ausdehnung von Sonnenfleckengruppen oder von Distanzen auf dem Mond. Dabei muß man noch die Zehntel der Skalenintervalle schätzen.

Noch genauere Resultate erhält man, wenn man bei stillstehendem Fernrohr Durchgangszeiten mit einer 0.1-Sekunden-Stoppuhr mißt. Dazu genügt ein Glasplättchen mit Strichkreuz, dessen einer Strich parallel zur täglichen Bewegung gestellt wird, indem man einen Stern in niedriger Deklination an ihm entlanglaufen läßt. Auf diese Weise lassen sich Reaktionsdifferenzen zweier Objekte (Ost- und Westrand einer Mondformation, Ost- und Westende einer Sonnenfleckengruppe) direkt messen und ihre Ausdehnung in Bogensekunden mit Berücksichtigung der Verlangsamung der Bewegung in höheren Deklinationen mit der Formel  $\Delta'' = 15D \cdot \cos \delta$  bestimmen ( $\Delta'' = \text{Distanz}$  in Bogensekunden, D = Durchgangszeit in Sternzeitsekunden). Unsere Stoppuhr gibt Sonnenzeitsekunden. Bei kurzen Durchgangszeiten spielt dieser Unterschied keine Rolle, bei längeren (Sonnendurchmesser) genügt die Multiplikation der gestoppten Sekundenzahl mit 1.00274 gemäß der Beziehung 366 Sternzeitsekunden = 365 Sonnenzeitsekunden.

#### 2.5. Anleitungen

#### 2.5.1. Pflege des Fernrohrs

Auch das einfachste Fernrohr ist ein Präzisionsinstrument, das behutsam behandelt und vor Staub und Nässe geschützt werden muß. Hat man einen Behälter, so bewahre man es darin auf. Kann man es am Beobachtungsplatz stehenlassen (Dachboden), so schützt man es am besten mit einem sog. Mottensack. Trotz des Objektivdeckels kann sich mit der Zeit ein leichter Belag oder etwas Staub auf dem Objektiv absetzen. Staub sollte man nur mit einem verschlossen aufbewahrten weichen Pinsel entfernen, einen Belag, der zuweilen Fettspuren enthält, mit einem in reinen Alkohol getauchten Wattebausch oder einem alten, oft ausgewaschenen und ebenfalls alkoholgetränkten baumwollenen Taschentuch abwischen. Fasern können nach dem Trocknen mit dem Staubpinsel beseitigt werden. Auf keinen Fall darf man Staub mit einem trockenen Tuch abreiben. Im angeflogenen Staub sind winzige Quarzkörner, die dann feine oder gröbere Kratzer in der empfindlichen Politur hinterlassen.

Hat sich ein störender Belag zwischen den Linsen gebildet, was aber nur in Ausnahmefällen geschehen wird, so sende man das Objektiv zum Reinigen an den Herstellerbetrieb. Es ist dringend abzuraten, die Fassung selbst aufzuschrauben und die Linsen herauszunehmen. Wer nicht die notwendige Erfahrung mit Präzisionsoptik hat, wird die Linsen kaum wieder genauso in die Fassung zurückbringen, wie sie vorher lagen. Spiegel und Linsen sind außerordentlich empfindlich gegen Druck und Verspannung. Linsen außerdem noch gegen gegenseitige Verdrehung.

Bei den Spiegeln wird sich vielleicht nach Jahren eine Neubelegung notwendig machen. Dazu ist der Spiegel an den Herstellerbetrieb einzusenden, die die notwendigen Einrichtungen zum Beseitigen der alten und zum Aufdampfen der neuen Aluminiumschicht besitzt. Ein gutgepflegtes Linsenfernrohr aber kann ein ganzes Menschenleben lang ohne Generalreparatur Dienst tun.

In klaren Nächten kommt es oft zu starker Taubildung. Das Objektiv kann man mit einer an der Innenwand der Taukappe anliegenden Löschpapierrolle gegen das Beschlagen schützen. Die Außenwand des Rohrs und die Montierung werden aber in sehr feuchten Nächten triefnaß. Sie können nach der Beobachtung mit einem Wisch- oder Handtuch trockengerieben werden. Wenn in kalten Winternächten das Instrument draußen weit unter Null abgekühlt ist, überzieht es sich nach dem Zurückbringen ins warme Zimmer mit einer Reifschicht, die man mit Geduld auftauen lassen und dann abtrocknen muß. In beiden Fällen sollte man das Fernrohr aber bis zum Morgen offen stehen- oder liegenlassen, auch den Objektivdeckel nicht aufsetzen, damit alle Feuchtigkeitsreste verdunsten können.

#### 2.5.2. Erste Beobachtungen

Die Luft ist in den meisten Nächten im Freien kühler als im Zimmer. Bei großen Temperaturdifferenzen wird man zunächst überhaupt kein befriedigendes Bild bekommen. Die Ursache liegt darin, daß alle Teile des Fernrohrs, auch das Glas des Objektivs, kontrahieren, was zu vorübergehenden Deformationen des Objektivs führen kann. Es handelt sich um äußerst geringe Formänderungen, die aber doch zu merklichen Bildverschlechterungen führen. Ein Spiegel ist dabei viel empfindlicher als ein Linsenobjektiv, weil ein gebrochener Strahl weit weniger auf eine Formänderung der Oberfläche reagiert als ein reflektierter Strahl. Während ein Refraktorobjektiv ziemlich rasch wieder brauchbare Bilder gibt, ist das beim Spiegel erst der Fall, wenn seine ganze Masse auf die Lufttemperatur abgekühlt ist. Das kann wegen seiner Lage am Grunde eines nur oben offenen Rohrs ziemlich lange dauern. Man darf sich also nicht durch die anfangs unscharfen Bilder entmutigen lassen, sondern muß Geduld üben – oder das Fernrohr schon etwa <sup>1</sup>/<sub>2</sub> Stunde vor dem Beginn der geplanten Beobachtung ins Freie bringen.

Die ersten Beobachtungen stelle man mit einer möglichst schwachen Vergrößerung an. Das Auffinden der gesuchten Objekte ist wegen des großen Gesichtsfelds viel leichter, als wenn man gleich mit einer stärkeren Vergrößerung sucht. Das zeigt die folgende Übersicht. Sie gilt für Okulare mit  $40^{\circ}$  scheinbarem Gesichtsfelddurchmesser.  $\delta$  ist der Durchmesser des wahren Gesichtsfeldes, d.h. des am Himmel überschaubaren kreisförmigen Ausschnitts, und t ist die Zeit, in der bei unbewegtem Fernrohr ein in die Gesichtsfeldmitte gebrachter Äquatorstern am Gesichtsfeldrand (Blende) verschwindet.

V	$\delta$	t	V	$\boldsymbol{\delta}$	t	V	$\boldsymbol{\delta}$	t
20	$2^{\circ}$	4 min	100	24'	48 s	300	8'	16 s
<b>40</b>	$1^{\circ}$	$2 \min$	150	16'	$32 \mathrm{\ s}$	400	6'	$12 \mathrm{s}$
60	$0^{\circ}.67$	$1.3 \min$	200	12 <b>′</b>	$24 \mathrm{s}$	500	4'.8	$10 \mathrm{\ s}$

Anleitungen 29

Die Vergrößerungen der 1. Spalte lassen sich leicht handhaben. Bei denen der 2. Spalte genügt schon eine unvorsichtige Bewegung des Okularendes, um das mühsam eingefangene Objekt wieder entschlüpfen zu lassen, und die der letzten Spalte kann nur ein erfahrener Beobachter an einem Fernrohr mit Triebwerk ausnützen. Außerdem wird ein Anfänger die relativ große Austrittspupille der schwachen Vergrößerung leicht in seine Augenpupille bekommen, während es anfangs Schwierigkeiten bereiten kann, eine weniger als 1 mm große Austrittspupille im Dunkeln zu finden. Indessen wird die für den Gebrauch der stärkeren Vergrößerungen – ohne die man an Planeten und engen Doppelsternen nicht auskommt – notwendige Erfahrung sehr rasch erworben.

#### 2.5.3. Justierung der parallaktischen Aufstellung (Scheinersche Methode)

Für ein Fernrohr mit parallaktischer Montierung und transportablem Dreibeinstativ erreicht man eine annähernd richtige Aufstellung, wenn man über die Stundenachse hinweg den Polarstern anvisiert. Für visuelle Beobachtungen genügt die so erreichte Nachführungsgenauigkeit.

Wenn man aber eine schwerere Montierung mit Einstellkreisen auf einer ortsfesten Säule aufstellen und damit photographieren und schwache Objekte mittels der Kreise aufsuchen will, muß die Stundenachse möglichst genau auf den Himmelspol gerichtet sein.

Das läßt sich mit der Scheinerschen Methode leicht erreichen. Wir benötigen dazu ein Okular mit Faden- oder Strichkreuz, stellen einen äquatornahen Stern kurz vor seinem Meridiandurchgang auf den Schnittpunkt des Kreuzes ein und folgen ihm mit dem Uhrwerk oder der Feinbewegung. Bei einer nur genähert richtigen Aufstellung kann das Südende der Stundenachse etwas nach Osten oder nach Westen abweichen. Im ersten Fall wird das Fernrohr schon vor, im zweiten Fall erst nach der Kulmination des Sterns seine größte Höhe erreichen. Im umkehrenden Fernrohr weicht der Stern in Meridiannähe im ersten Fall nach unten, im zweiten Fall nach oben vom waagerechten Faden ab. Im ersten Fall muß das Achsensystem etwas nach Westen, im zweiten etwas nach Osten gedreht werden. Das Verfahren wird solange wiederholt, bis der Stern auf dem Faden bleibt. Läuft der Stern dabei zu weit aus dem Meridian, muß man für die Wiederholungen einen neuen meridiannahen Stern benutzen.

Damit ist die genaue Südausrichtung erreicht. Nun kann aber noch die Polhöhe falsch eingestellt sein. Zu ihrer Berichtigung stellen wir einen Stern in 25° bis 30° Höhe über dem Osthorizont ein. Ist die eingestellte Polhöhe zu gering, liegt also die Polachse zu flach, so werden die Kreise, die das Fernrohr beschreibt, zu steil sein. Der Stern wird im Okular des umkehrenden Fernrohrs nach oben abweichen, die Polachse muß steiler gestellt werden. Entfernt sich der Stern nach unten vom Faden, so liegt der entgegengesetzte Fehler vor, und man muß die Polachse flacher einstellen. Auch dieses Verfahren muß eventuell einige Male wiederholt werden. Doch sollte man die einzelnen Versuche nicht über 2 Minuten ausdehnen, da der Stern auch bei richtig eingestellter Polhöhe infolge der mit wachsender Höhe abnehmenden Refraktion in 25° Höhe pro Minute 1" nach oben vom Faden abweicht.

Ist der Ausblick auf den Osthimmel versperrt, kann man ebenso einen Weststern benutzen. Nur weicht jetzt der Stern bei zu flacher Lage der Polachse nach Norden (unten), bei zu steiler Lage nach Süden (oben) ab.

#### 2.5.4. Messung von Mondberghöhen

Ein interessantes Anwendungsgebiet, dessen Formelapparat hier der Kürze wegen ohne Ableitung gegeben werden soll, ist die Messung von Mondberghöhen. Julius Schmidt, der Verfertiger der berühmten, fast 2 m großen Mondkarte, hatte rund 3000 solche Messungen mit dieser Methode ausgeführt.

P = Positions winkel der Mondachse aus den Ephemeriden zu entnehmen

 $\mu =$ tägliche Bewegung des Mondes pro Zeitsekunde

D = Durchgangszeit des Bergschattens in Zeitsekunden

S =Schattenlänge in Bogensekunden

 $\mu = \frac{24^{\rm h}.00 - (\alpha_1 - \alpha_0)}{24^{\rm h}.00} \cdot 15'', \text{worin } \alpha_0 \text{ die auf Dezimalteile der Stunde umgerechnete}$ 

Rektaszension des Mondes in der vorhergehenden,  $\alpha_1$  die<br/>jenige in der folgenden Mitternacht (0<sup>h</sup> U.T. =  $1^h$  MEZ) ist.

In den meisten Fällen genügt der Mittelwert  $\mu = 14''.46$  (Extremwerte 14''.30 und 14".56, äußerste Fehlermöglichkeit = 1 %).

$$S = \mu \frac{D \cdot \cos \delta}{\cos P} \tag{I}$$

= selenographische Breite der Sonne

 $\lambda, \beta =$  selenographische Länge und Breite des Objekts (nach einer guten Mondscheibe).

Mit den folgenden Formeln (II) bis (V) werden daraus abgeleitet:

 $\lambda', \beta' =$  wegen der Libration korrigierte Länge und Breite des Objekts auf der scheinbaren Mondseite

= topozentrischer (für den Beobachtungsort gültiger) Mondradius

= die wegen B korrigierte selenographische Länge der Lichtgrenze in höheren selenographischen Breiten

$$\lambda' = \lambda - l \tag{II}$$

$$\beta' = \beta - b \cdot \cos \lambda \tag{III}$$

$$\varrho' = \frac{60.3 \cdot \varrho}{60.3 - \sin h} \tag{IV}$$

Anleitungen 31

h= Höhe des Mondes über dem Horizont (direkte Messung oder Entnahme aus dem Höhennomogramm S. 150). Fehler wegen Benutzung der mittleren Mondentfernung von 60.3 Erdradien statt der veränderlichen wahren Entfernung maximal  $\pm 0.1$ %.

$$L' = L \pm C \tag{V}$$

C= Korrektur wegen der zwischen  $+1^{\circ}.6$  und  $-1^{\circ}.6$  veränderlichen Neigung des Mondäquators gegen die Ekliptik.  $C=B\cdot n$ ; B ist den Ephemeriden, n Tabelle 3 zu entnehmen.

Das Vorzeichen von C folgt aus Tabelle 4.

Tabelle 3. Selenographische Breite des Objekt	s
---	---

Selenogr. Breite $\beta$	n	Selenogr. Breite $\beta$	n
00	0.00	50°	0.77
10°	0.17	60°	0.87
$20^{\circ}$	0.34	70°	0.94
· 30°	0.50	80°	0.98
<b>4</b> 0°	0.64	90°	1.00

Tabelle 4. Vorzeichen von B (selenographische Breite der Sonne) und C (Korrektur der Neigung des Mondäquators vor die Ekliptik)

	Vorzeiche	en von C	Vorzeiche	en von C	
Vorzeichen von $B$	Nordhal zun. Mond	lbkugel abn. Mond	Südhalbkugel zun. Mond abn. Mond		
+	+	_	_	+	
		+	+	_	

Damit haben wir alle Werte für die abschließende Rechnung (Formeln VI bis X).

- $\alpha$  = Längendifferenz zwischen Objekt und korrigierter Lichtgrenze L'
- s = Schattenlänge linear in Teilen des Mondhalbmessers
- $\eta$  = Höhe der Sonne am Objekt
- $\zeta$  = Winkel im Zentrum der Mondkugel zwischen Berg- und Schattenspitze (Zentriwinkel der Schattenlänge)
- $H={
  m H\ddot{o}he}$  des Berggipfels oder Kraterwalls über dem Gelände an der Schattenspitze (relative H\ddot{o}he) in Metern

$$\alpha = L' \pm \lambda'$$
  $\alpha$  stets positiv (VI)

$$\sin \eta = \sin \alpha \cdot \cos \beta' \tag{VII}$$

$$\sin s = \frac{S}{\varrho' \cdot \cos \lambda'} \tag{VIII}$$

Bis hierher genügt 4stellige Rechnung. Die beiden letzten Formeln, in denen die Kosinus kleiner Winkel vorkommen, werden besser 6stellig durchgerechnet.

$$\sin \zeta = s \cdot \cos \eta \tag{IX}$$

$$H = \left[\frac{\cos(\eta - \zeta)}{\cos \eta} - 1\right] \cdot 1738000 \,\mathrm{m} \tag{X}$$

Die Ephemeridenwerte können dem Kleinen astronomischen Jahrbuch (Kalender für Sternfreunde) des Verfassers entnommen werden.

Sternfreunde, die gern einmal messen und rechnen, werden sicher Vergnügen an der Sache finden. Wenn auch keine Bereicherung der Wissenschaft dabei herauskommen wird, so können saubere Messungen dieser Art doch einen Einblick in die exakte Arbeit der messenden Astronomie und eine hohe persönliche Befriedigung gewähren.

#### 2.5.5. Messung von Sonnenfleckenpositionen

Mit einer Stoppuhr und einem speziellen Mikrometerplättchen (bezogen von der Abteilung für Mikroskope beim VEB Carl Zeiss, Jena) lassen sich auch ohne großen Zeitaufwand Positionsmessungen von Sonnenflecken ausführen. Das auf die Blende eines 16-mm-Okulars aufgekitteten Plättchen trägt ein Strichkreuz, dessen einer Strich eine Teilung (1 cm in  $100\times0.1$  mm) aufweist (Abb. 20). Zur Justierung dreht man das Okular in seiner Steckhülse bei feststehendem parallaktisch aufgestelltem Fernrohr so, daß ein Sonnenfleck auf dem waagerechten, nicht geteilten Strich entlang läuft. Dann dreht man das Fernrohr ein kleines Stück nach Westen, läßt die Sonne durch das Gesichtsfeld laufen und mißt die Zeit  $T_1$  zwischen den Durchgängen des vorangehenden Sonnenrands und des Flecks mit einer Stoppuhr. Das wiederholt man mit den Durchgängen des Flecks und dem nachfolgenden Sonnenrand und er-

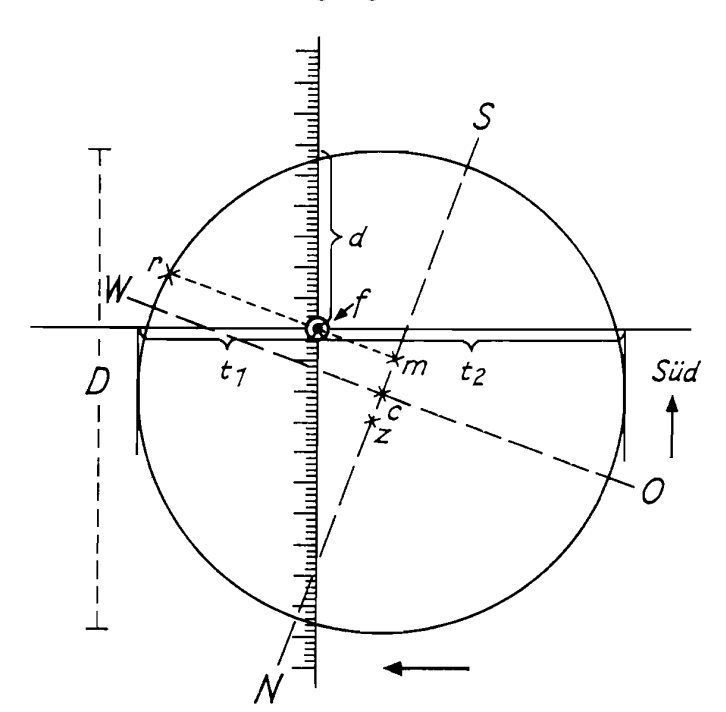


Abb. 20. Positionsmessung von Sonnenflecken

Anleitungen 33

hält die Zwischenzeit  $T_2$ . Beim Durchgang der Sonnenmitte durch den senkrechten Strich erhält man den Durchmesser (D) durch Beobachtung des oberen und unteren Randes auf der Skala. D ist bei einer Brennweite von 840 mm im mittleren Sonnenabstand = 7.8 mm. Die Ablesung ergibt zugleich den Abstand des Mittelfadens und damit des Flecks vom näheren (nördlichen oder südlichen) Rand (d). Sollte der Fleck zu nahe dem oberen oder unteren Rand stehen, so daß ein Rand nicht mehr auf die Skala fällt, so wird nur der Randabstand des Flecks notiert und die Durchmesserbestimmung gesondert ausgeführt.

Die Beobachtungsgrößen sind zunächst  $T_1$  und  $T_2$  sowie D und d. Da  $T_1$  und  $T_2$  ebenfalls einen Durchmesserwert (in Sekunden) geben, können wir aus ihnen die Teilstrecken  $t_1$  und  $t_2$  in den gleichen Skalenwerten wie D finden:

$$t_1=rac{T_1\cdot D}{T_1+T_2}$$
 ,  $t_2=rac{T_2\cdot D}{T_1+T_2}$  .

Damit erhalten wir  $t_1$  und  $t_2$  in den gleichen Einheiten (0.1 mm) wie D und d und vermeiden die Durchmesserbestimmung aus den Durchgangszeiten, bei der die Deklination der Sonne berücksichtigt werden müßte.

Verfügt man über Feinbewegungen, kann man  $t_1$  und  $t_2$  auch unmittelbar an der Skala ablesen. Dazu wird die Skala in die Richtung der täglichen Bewegung gestellt und dann der Sonnenfleck mit der Deklinationsfeinbewegung auf den waagerechten und der westliche bzw. östliche Sonnenrand mit der Rektaszensionsfeinbewegung an den senkrechten Strich gebracht und dort gehalten.  $t_1$  und  $t_2$  sind jetzt unmittelbar auf der Skala abzulesen. Diese bequeme Art der Messung wird erleichtert, wenn das Fernrohr eine elektrische Nachführung besitzt.

Zur Berechnung der heliographischen Koordinaten des Flecks muß die augenblickliche Stellung der Sonne zum Beobachter in Betracht gezogen werden. Sie wird bestimmt durch den Positionswinkel P ihrer Rotationsachse und die heliographische Breite (B) und Länge (L) des scheinbaren Sonnenmittelpunkts, die wieder dem schon erwähnten Kalender für Sternfreunde entnommen werden können.

Ein einfaches graphisches Verfahren, das bei sorgfältiger Handhabung eine hinreichende Genauigkeit verbürgt, läßt sich aus Abbildung 20 ablesen. Man zeichnet auf Millimeterpapier einen Kreis mit dem gemessenen Durchmesser D. Der Radius D/2 sei R. Durch den Mittelpunkt des Kreises c zieht man mit dem Positionswinkel gegen die senkrechten Linien des Papiers die Sonnenachse N-S und die Senkrechte dazu W-O (gestrichelte Linien). Die Länge l des Flecks folgt aus sin l = fm/rm (fm und rm sind die punktierten Strecken, parallel zu W-O). Der Winkelabstand von f bis W-O sei b, sin b = mc/R. Der Sonnenäquator geht aber im allgemeinen nicht durch c, sondern durch einen Punkt z, der um die "Breite des Sonnenmittelpunktes" B bei -B nach S aus der Mitte verschoben ist. Die heliographische Breite des Flecks wird dadurch  $\beta = b + (B \cdot \cos l)$ .

Als Rechenbeispiel sollen die Texte der Zeichnung dienen:

$$P = -20^{\circ}.1$$
,  $B = -7^{\circ}.1$ ,  $L = 355^{\circ}.5$  (1972 Febr. 24, 11<sup>h</sup> MEZ).

$$\sin l = \frac{f\,m}{r\,m} = \frac{13.3}{38.5} = 0.346; \ \ l = +\,20^{\circ}.2; \ \ \lambda = L + l = 355.^{\circ}5 + 20.^{\circ}2 = 15^{\circ}.7 \ .$$

$$\sin b = \frac{mc}{R} = \frac{6}{39} = 0.154; \ \ b = -8^{\circ}.9; \ \ \beta = b + (B \cdot \cos l) = -8^{\circ}.9 - 6^{\circ}.6 = -15^{\circ}.5.$$

Die Vorzeichen: Alle l-Werte westlich von N–S sind positiv, östlich von N–S negativ. Alle b-Werte nördlich von W–O sind positiv, südlich von W–O negativ. +P bedeutet Drehung von N–S aus der Senkrechten gegen den Uhrzeigersinn, -P im Uhrzeigersinn.

Für die Rechnung sind 3stellige trigonometrische Funktionen (s. 3.1.13.) ausreichend.

#### 3. Hilfstafeln und Verzeichnisse

#### 3.1 Erläuterungen

Die Hilfstafeln des ersten Teils sind meist mit Rechenbeispielen versehen und zum größeren Teil auch in den früheren Jahrgängen des Kalenders für Sternfreunde erklärt worden, so daß sich hier eine nähere Erläuterung erübrigt. Nur zu den Präzessionstafeln sind einige Bemerkungen nötig: Zwischen den Deklinationen + 66°.5 und  $-66^{\circ}.5$  ist die Präzession immer positiv, d.h., die Rektaszension nimmt mit der Zeit zu. Nur in Polnähe kann die Rektaszension in bestimmten Bereichen abnehmen, was in den Tafeln durch ein Minuszeichen ausgedrückt wird. Will man einen neueren, einem Katalog entnommenen Rektaszensionswert in einen solchen verwandeln, der für eine frühere Epoche gilt (will man beispielsweise einen Planetenort von 1960 in eine Sternkarte mit dem Äquinoktium 1900.0 einzeichnen), so sind die Vorzeichen der Präzession zu vertauschen, da ja die frühere Rektaszension bis auf die erwähnten polnahen Gebiete niedriger ist. Der gleiche Vorzeichentausch ist beim Rückwärtsrechnen auch bei der Deklination vorzunehmen. Beim Vorwärtsrechnen, wenn z.B. ein für 1900.0 gegebener Sternort in einen solchen für 1950.0 verwandelt werden soll, sind die Vorzeichen so zu benutzen, wie sie in den Tafeln gegeben sind (Präzession in Rektaszension positiv bis auf die mit – versehenen Werte).

Zwischen den Deklinationen 60° und 80° ändern sich besonders in den Rektaszensionen 6<sup>h</sup> und 18<sup>h</sup> trotz der relativ kleinen Intervalle von 30<sup>m</sup> und 5° die Werte sehr stark. Aber auch hier reicht für die Praxis die einfache lineare Interpolation aus. Selbst an den kritischsten Stellen (RA 6<sup>h</sup>,  $\delta \pm 78^{\circ}$ ) kann dadurch nur ein Fehler in RA von 0<sup>s</sup>.25 im Jahr entstehen, der in dieser hohen Deklination erst nach 75 Jahren auf eine Bogenminute anwächst. Bei den Deklinationen 68° und 58° bleibt der Interpolationsfehler für 250 bzw. 540 Jahre unter einer Bogenminute.

Für eine genäherte Rechnung genügt es, die Präzession für den Ausgangsort zu nehmen und mit der Zahl der Zwischenjahre zu multiplizieren. Das ist zwar nicht korrekt, da sich ja im Laufe der Zwischenzeit der Sternort und damit auch der strenge Präzessionswert ändern, aber auch bei der Überbrückung von 100 Jahren bleibt dieser Fehler noch unter einer halben Bogenminute.

Der halbe Tagbogen ist gleich der Zeit, die ein Gestirn in einer bestimmten Deklination auf einer bestimmten geographischen Breite vom Aufgang bis zur Kulmination bzw. von der Kulmination bis zum Untergang braucht. Kennt man die Deklination und (aus RA und Sternzeit) die Kulminationszeit eines Sterns, kann man mit dieser Tafel die Auf- und Untergangszeiten finden.  $\varphi = \text{geogr.}$  Breite.

Bei der Benutzung der Tafeln der Julianischen Tagezählung ist nur zu beachten, daß sie erst von 1600 an dem Gregorianischen Kalender entsprechen. Dieser Kalender wurde in einigen Ländern aber bereits mit dem 15. 10. 1582 eingeführt. Gregorianische Daten zwischen diesem Zeitpunkt und dem Jahre 1600 sind deshalb erst durch Subtraktion von 10<sup>d</sup> in das Datum des alten Julianischen Kalenders zu verwandeln, ehe man in die Tabellen in 3.1.4. eingeht.

Teilt man das Julianische Datum durch 7, so ergibt der verbleibende Rest den Wochentag. Rest  $\theta = \text{Montag}$ , I = Dienstag, 2 = Mittwoch, 3 = Donnerstag, I = Dienstag,  $I = \text{Diensta$ 

#### 3.1.1. Verwandlung von Sonnenzeit in Sternzeit und umgekehrt

Verwandlung von	mittlerer	Sonnenzeit	in	mittlere	Sternzeit
-----------------	-----------	------------	----	----------	-----------

Stunden		Minuten				Sekunden			
⊙ Zeit	Mittlere Sternzeit	⊙ Zeit	Mittlere Sternzeit	⊙ Zeit	Mittlere Sternzeit	⊙ Zeit	Mittlere Sternzeit	⊙ Zeit	Mittlere Sternzeit
h	h min s	min	min s	min	min s	s	s	s	s
1	1 0 9.86	1	1 0.16	31	31 5.09	1	1.00	31	31.09
$\overset{ a}{2}$	2 0 19.71	2	2 0.33	32	32 5.26	2	2.01	32	32.09
3	3 0 29.57	3	3 0.49	33	33 5.42	3	3.01	33	33.09
4	4 0 39.43	4	4 0.66	34	34 5.59	4	4.01	34	34.09
5	5 0 49.28	5	5 0.82	35	35 5.75	5	5.01	35	<b>35.1</b> 0
6	6 0 59.14	6	6 0.99	36	36 5.91	6	6.02	36	<b>36.1</b> 0
7	7 1 9.00	7	7 1.15	37	37 6.08	7	7.02	37	37.10
8	8 1 18.85	8	8 1.31	38	38 6.24	8	8.02	38	38.10
9	9 1 28.71	9	9 1.48	39	39 6.41	9	9.03	39	39.11
10	10 1 38.57	10	10 1.64	40	40 6.57	10	10.03	40	40.11
11	11 1 48.42	11	11 1.81	41	41 6.74	11	11.03	41	41.11
12	12 1 58.28	12	12 1.97	42	42 6.90	12	12.03	<b>42</b>	42.12
13	13 2 8.13	13	13 2.14	43	43 7.06	13	13.04	43	43.12
14	14 2 17.99	14	14 2.30	44	44 7.23	14	14.04	44	44.12
15	15 2 27.85	15	15 2.46	45	45 7.39	15	15.04	45	45.12
16	16 2 37.70	16	16 2.63	46	46 7.56	16	16.04	46	46.13
17	17 2 47.56	17	17 2.79	47	47 7.72	17	17.05	47	47.13
18	18 2 57.42	18	18 2.96	48	48 7.89	18	18.05	48	48.13
19	19 3 7.27	19	19 3.12	49	49 8.05	19	19.05	49	49.13
20	20 3 17.13	20	20 3.29	<b>5</b> 0	50 8.21	20	20.06	<b>5</b> 0	50.14
21	21 3 26.99	21	21 3.45	51	51 8.38	21	21.06	51	51.14
22	22 3 36.84	22	$22\ 3.61$	52	52 8.54	22	22.06	52	<b>52.14</b>
23	<b>23 3 46.7</b> 0	23	23 3.78	53	53 8.71	23	23.06	<b>53</b>	<b>53.</b> 15
		24	24 3.94	54	54 8.87	24	24.07	<b>54</b>	54.15
		25	25 4.11	55	55 9.04	25	25.07	55	55.15
			26 4.27	56	56 9.20	26	26.07	56	56.15
		27	27 4.44	57	57 9.36	27	27.07	57	57.16
Zu einer bestimmten		28	28 4.60	58	58 9.53	28	28.08	<b>5</b> 8	58.16
Sternzeit in Greenwich		29	29 4.76	59	59 9.69	29	29.08	59	59.16
ist an einem anderen Ort A die Sternzeit = Stern-		<b>3</b> 0	30 4.93	60	60 9.86	<b>3</b> 0	30.08	<b>6</b> 0	60.16

Zu einer bestimmten Sternzeit in Greenwich ist an einem anderen Ort A die Sternzeit = Sternzeit in Greenwich + Zeitdifferenz (A – Gr.). Diese Zeitdifferenz ist gleich 4 Minuten, multipliziert mit der östlichen Länge von A (in Grad).

Beispiel: Sonneberg,

östl. Länge 11° 11′ 32″.8.

1° = 4<sup>min</sup>; 11° = 44<sup>min</sup> 0<sup>s</sup>

1′ = 4<sup>s</sup>; 11′ = 0 44

1″ = 0<sup>s</sup>.0667;

32″.8 = 0 2.19

Zeitdifferenz Sbg.-Gr. = 44<sup>min</sup> 46<sup>s</sup>.19 Gesucht die Sternzeit am 21. Febr. 1961  $9^h$   $35^{min}$   $27^s$  MEZ in Sonneberg.  $9^h$   $35^{min}$   $27^s$  MEZ =  $8^h$   $35^{min}$   $27^s$  WZ.

Scheinbare Sternzeit in Greenwich Febr. 21,  $0^{\rm h}$  WZ  $10^{\rm h}$   $2^{\rm min}$   $41^{\rm s}.5$  Zeitdifferenz für Sonneberg +  $44^{\rm min}$   $46^{\rm s}.19$  Äquivalent der Sternzeit für  $8^{\rm h}$  Sonnenzeit +  $8^{\rm h}$   $1^{\rm min}$   $18^{\rm s}.85$   $35^{\rm min}$  Sonnenzeit +  $35^{\rm min}$   $5^{\rm s}.75$   $27^{\rm s}$  Sonnenzeit +  $27^{\rm s}.07$ 

Sternzeit in Sonneberg Febr. 21, 9h 35<sup>min</sup> 25<sup>s</sup> MEZ =

19h 24min 19s.4

Verwandlung von mittlerer Sternzeit in mittlere Sonnenzeit

Stunden		Minuten				Sekunden				
* Zeit	Mittlere Sonnenzeit	* Zeit	Mittlere Sonnen- zeit	* Zeit	Mittlere Sonnen- zeit	* Zeit	Mittlere Sonnen- zeit	* Zeit	Mittlere Sonnen- zeit	
h	h min s	min	min s	min	min s	s	s	s	s	
1	0 59 50.17	1	0 59.84	31	30 54.92	1	1.00	<b>3</b> 1	30.92	
<b>2</b>	1 59 40.34	2	1 59.67	32	31 54.76	<b>2</b>	1.99	32	31.91	
3	2 59 30.51	3	2 59.51	33	32 54.59	3	2.99	33	32.91	
4	3 59 20.68	4	3 59.35	34	33 54.43	4	3.99	34	33.91	
5	4 59 10.85	5	4 59.18	35	34 54.27	5	4.99	35	34.90	
6	5 59 1.02	6	5 59.02	36	<b>35 54.1</b> 0	6	5.98	36	35.90	
7	6 58 51.19	7	6 58.85	37	36 53.94	7	6.98	37	36.90	
8	7 58 41.36	8	7 58.69	38	37 53.78	8	7.98	38	37.90	
9	8 58 31.53	9	8 58.53	39	38 53.61	9	8.98	39	38.89	
10	9 58 21.70	10	9 58.36	40	39 53.45	10	9.97	40	39.89	
11	10 58 11.87	11	10 58.20	41	40 53.28	11	10.97	41	40.89	
12	11 58 2.05	12	11 58.03	42	41 53.12	12	11.97	<b>42</b>	41.89	
13	12 57 52.22	13	12 57.87	43	42 52.96	13	12.97	43	42.88	
14	13 57 42.39	14	13 57.71	44	43 52.79	14	13.96	44	43.88	
15	14 57 32.56	15	14 57.54	45	44 52.63	15	14.96	<b>4</b> 5	44.88	
16	15 57 22.73	16	15 57.38	46	45 52.46	16	15.96	46	45.87	
17	16 57 12.90	17	16 57.22	47	46 52.30	17	16.95	47	46.87	
18	17 57 3.07	18	17 57.05	48	47 52.14	18	17.95	48	47.87	
19	18 56 53.24	19	18 56.89	49	48 51.97	19	18.95	49	48.87	
20	19 56 43.41	20	19 56.72	50	49 51.81	20	19.95	<b>5</b> 0	49.86	
21	20 56 33.58	21	20 56.56	51	50 51.65	21	20.94	51	50.86	
22	21 56 23.75	22	21 56.40	52	51 51.48	22	21.94	<b>52</b>	51.86	
23	22 56 13.92	23	22 56.23	53	52 51.32	23	22.94	<b>53</b>	52.86	
	•	24	23 56.07	54	53 51.15	24	23.93	<b>54</b>	53.85	
	eviel Uhr MEZ	25	24 55.90	55	54 50.99	25	24.93	55	54.85	
,	wenn in Pots-				_				_	
	m 1. Juli 1961	26	25 55.75	56	55 50.83	26	25.93	56	55.85	
die Ste		27	26 55.58	57	56 50.66	27	26.93	<b>57</b>	56.84	
4h 48min		28	27 55.41	58	57 50.50	28	27.92	58	57.84	
$= 28^{n}4$	48 <sup>min</sup> 36 <sup>s</sup> ist? 1)	29	28 55.25	59	58 50.33	29	28.92	59	58.84	
		<b>3</b> 0	29 55.09	60	59 50.17	<b>3</b> 0	29.92	<b>6</b> 0	59.84	
	Sternzeit in			Gegebene Sternzeit in Potsdam				28h 48min 36s		
Greenwich um				Sternzeit in Potsdam um 0h WZ				-19h 27 <sup>min</sup> 29s.46		
$0^{\rm h}  {\rm WZ} = 18^{\rm h}  35^{\rm min}  13^{\rm s}.6$			Seit 0 <sup>h</sup> WZ verflossene Sternzeit				9h 2]	min 6s.54		
Zeitdifferenz Pots- dam-Greenwich + 52 <sup>min</sup> 15 <sup>s</sup> .86				Äquivalent in Sonnenzeit				Oh Momin elle Me		
Sternzeit in Pots-				9h Olmin				8h 58min 31s.53		
dam um $0^{\text{h}}$ WZ = $19^{\text{h}}$ $27^{\text{min}}$ $29^{\text{s}}$ .46				21 <sup>min</sup>				$20^{ m min}~56^{ m s}.56 \ 5^{ m s}.98$		
				$6^{\mathrm{s}}$ Rest $0.54$				0s.54		
								9h 19 <sup>min</sup> 34 <sup>s</sup> .6		
					Weltzeit MEZ			10h 19 <sup>min</sup> 34s.6		
				MTFZ				10 15	04°.U	

<sup>1)</sup> Ist die gegebene Sternzeit < Sternzeit um 0h, so sind 24h zu addieren.

3.1.2. Verwandlung von Stunden und Minuten in Dezimalteile des Tages und umgekehrt

Verwandlung von Stunden und Minuten in Dezimalteile des Tages

min	0н	1h	2 <sup>h</sup>	3h	<b>4</b> h	5 <sup>h</sup>	min
	d	d	d	d	d	d	
U	0.0000	0.0417	0.0833	0.1250	0.1667	0.2083	0
2	.0014	.0431	.0847	.1264	.1681	.2097	2
4	.0028	0.444	.0861	.1278	.1694	.2111	4
6	.0042	.0458	.0875	.1292	.1708	.2125	6
8	.0056	.0472	.0889	.1306	.1722	.2139	8
10	0.0069	0.0486	0.0903	0.1319	0.1736	0.2153	10
12	.0083	.0500	.0917	.1333	.1750	.2167	12
14	.0097	.0514	.0931	.1347	.1764	.2181	14
16	.0111	.0528	.0944	.1361	.1778	.2194	16
18	.0125	.0542	.0958	.1375	.1792	.2208	18
20	0.0139	0.0556	0.0972	0.1389	0.1806	0.2222	20
$\frac{1}{22}$	.0153	.0569	.0986	.1403	.1819	.2236	22
$\frac{24}{24}$	.0167	.0583	.1000	.1417	.1833	.2250	24
26	.0181	.0597	.1014	.1431	.1847	.2264	26
28	.0194	.0611	.1028	.1444	.1861	.2278	28
<b>3</b> 0	0.0208	0.0625	0.1042	0.1458	0.1875	0.2292	30
32	.0222	.0639	.1056	.1472	.1889	.2306	32
34	.0236	.0653	.1069	.1486	.1903	.2319	34
36	.0250	.0667	.1083	.1500	.1917	.2333	36
38	.0264	.0681	.1097	.1514	.1931	.2347	38
40	0.0278	0.0694	0.1111	0.1528	0.1944	0.2361	40
42	.0292	.0708	.1125	.1452	.1958	.2375	42
44	.0306	.0722	.1139	.1556	.1972	.2389	44
46	.0319	.0736	.1153	.1569	.1986	.2403	46
48	.0333	.0750	.1167	.1583	.2000	.2417	48
<b>5</b> 0	0.0347	0.0764	0.1181	0.1597	0.2014	0.2431	50
52	.0361	.0778	.1194	.1611	.2028	.2444	52
54	.0375	.0792	.1208	.1625	.2042	.2458	54
56	.0389	.0806	.1222	.1639	.2056	.2472	56
58	.0403	.0819	.1219	.1653	.2069	.2486	58
<b>6</b> 0	0.0417	0.0833	0.1250	0.1667	0.2083	0.2500	60

Differenz für 1 Minute =  $0^{d}$ .0007. Für die Stunden 12 bis 23 gelten die Werte der Stunden 0 bis 11, vermehrt um  $0^{d}$ .500.

Bei der Umwandlung von MEZ-Stunden in Bruchteile des Julianischen Datums ist zu beachten, daß der Julianische Tag um 12<sup>h</sup> Weltzeit beginnt. Deshalb sind zunächst von der MEZ 13<sup>h</sup> zu subtrahieren (Beispiele s. 3.1.4.).

	<u> </u>	<u> </u>					
min ———	6h	7h	8h	9h	10h	11h	min
	d	d	d	d	d	d	
0	0.2500	0.2917	0.3333	0.3750	0.4167	0.4583	0
<b>2</b>	.2514	.2931	.3347	.3764	.4181	.4597	2
4	.2528	.2944	.3361	.3778	.4194	.4611	4
6	.2542	.2958	.3375	.3792	.4208	.4625	6
8	.2556	.2972	.3389	.3806	.4222	.4639	8
10	0.2569	0.2986	0.3403	0.3819	0.4236	0.4653	10
12	.2583	.3000	.3417	.3833	.4250	.4667	12
14	.2597	.3014	.3431	.3847	.4264	.4681	14
16	.2611	.3028	.3444	.3861	.4278	.4694	16
18	.2625	.3042	.3458	.3875	.4292	.4708	18
			}				
20	0.2639	0.3056	0.3472	0.3889	0.4306	0.4722	20
22	.2653	.3069	.3486	.3903	.4319	.4736	22
<b>24</b>	.2667	.3083	.3500	.3917	.4333	.4750	24
26	.2681	.3097	.3514	.3931	.4347	.4764	26
28	.2694	.3111	.3528	.3944	.4361	.4778	28
			ĺ			ļ	
<b>3</b> 0	0.2708	0.3125	0.3542	0.3958	0.4375	0.4792	30
32	.2722	.3139	.3556	.3972	.4389	.4806	32
34	.2736	.3153	.3569	.3986	.4403	.4819	34
<b>3</b> 6	.2750	.3167	.3583	.4000	.4417	.4833	36
<b>3</b> 8	.2764	.3181	.3597	.4014	.4431	.4847	38
40	0.2778	0.3194	0.3611	0.4028	0.4444	0.4861	40
<b>42</b>	.2792	.3208	.3625	.4042	.4458	.4875	42
44	.2806	.3222	.3639	.4056	.4472	.4889	44
46	.2819	.3236	.3653	.4069	.4486	.4903	46
48	.2833	.3250	.3667	.4083	.4500	.4917	48
	Ì			1		ļ	
50	0.2847	0.3264	0.3681	0.4097	0.4514	0.4931	50
52	.2861	.3278	.3694	.4111	.4528	.4944	52
54	.2875	.3292	.3708	.4125	.4542	.4958	54
<b>5</b> 6	.2889	.3306	.3722	.4139	.4556	.4972	56
<b>5</b> 8	.2903	.3319	.3736	.4153	.4569	.4986	58
				}			]
60	0.2917	0.3333	0.3750	0.4167	0.4583	0.5000	60

Differenz für 1 Minute =  $0^{d}$ .0007. Für die Stunden 12 bis 23 gelten die Werte der Stunden 0 bis 11, vermehrt um  $0^{d}$ .5000.

 $Ge sucht \ wird \ das \ Julianische \ Datum \ mit \ Tagesbruchteil:$ 

```
1974 Okt. 16, 21^{\rm h} \, 8^{\rm min} \, \, \text{MEZ}

21^{\rm h} \, 8^{\rm min} - 13^{\rm h} = 8^{\rm h} \, 8^{\rm min}; \, \text{J. D. } 2442 \, 3337. \, 3389

1974 Okt. 17, 3^{\rm h} \, 46^{\rm min} = \, \text{Okt. } 16, \, 27^{\rm h} \, 46^{\rm min} \, \, \text{MEZ}

27^{\rm h} \, 46^{\rm min} - 13^{\rm h} = 14^{\rm h} \, 46^{\rm min}; \, \text{J. D. } 2442 \, 337. \, 6153
```

40 Hilfstafeln und Verzeichnisse

Umwandlung von Dezimalteilen des Tages in Stunden und Minuten

	0d.00	0d.01	0d.02	0d.03	0d.04	0d.05	0d.06	0d.07	0d.08	0d.09	
	h min	h min	h min	h min	h min	h min	h min	h min	h min	h min	
0d.00	0 0	0 14	0 29	0 43	0 58	1 12	1 26	1 41	1 55	2 10	0d.00
0d.10	2 24	2 38	2 53	3 7	3 22	3 36	3 50	4 5	4 19	4 34	0d.10
0d.20	4 48	5 2	5 17	5 31	5 46	6 0	6 14	6 29	6 43	6 58	0h.20
0d.30	7 12	7 26	7 41	7 55	8 10	8 24	8 38	8 53	9 7	9 22	0d.30
0d.40	9 36	9 50	10 5	10 19	10 34	10 48	11 2	11 17	11 31	11 46	()d.4()
0d.50	12 0	12 14	12 29	12 43	12 58	13 12	13 26	13 41	13 55	14 10	0d.50
0d.60	14 24	14 38	14 53	15 <b>7</b>	15 22	15 36	15 50	16 5	16 19	16 34	0d.60
0d.70	16 48	17 2	17 17	17 31	17 46	18 0	18 14	18 29	18 43	18 58	0d.70
0d.80	19 12	19 26	19 41	19 55	20 10	20 24	20 38	20 53	21 7	21 22	0d.80
0 <b>q</b> .90	21 36	21 50	22 5	22 19	22 34	22 48	23 2	23 17	23 31	23 46	0 <b>q</b> .90
	0d.00	0d.01	0d.02	0d.03	0d.04	0d.05	0d.06	0d.07	0d.08	0d.09	

3.1.3. Halber Tagbogen (Erläuterung s. 3.1.)

Nördliche Deklinationen

$\frac{\delta}{\downarrow} \varphi \rightarrow$	+47°	+48°	+49°	+50°	+51°	+52°	+53°	+54°	+55°	$\leftarrow \varphi \downarrow \delta$
0	h min	h min	h min	h min	h min	h min	h min	h min	h min	0
0	6 3	6 4	6 4	6 4	6 4	6 4	6 4	6 4	6 4	0
<u>+</u> 1	6 8	6 8	6 8	6 8	6 9	6 9	6 10	6 10	6 10	+ 1
2	6 12	6 12	6 13	6 13	6 14	6 14	6 15	6 15	6 16	2
3	6 16	6 17	6 17	6 18	6 19	6 19	6 20	6 21	6 21	3
$egin{array}{c} 4 \\ 5 \end{array}$	$\begin{array}{ c c c }\hline 6 & 21 \\ 6 & 25 \\ \hline \end{array}$	$\begin{bmatrix} 6 & 21 \\ 6 & 26 \end{bmatrix}$	$\begin{array}{c c} 6 & 22 \\ 6 & 27 \end{array}$	$\begin{array}{c} 6 & 23 \\ 6 & 28 \end{array}$	$\begin{array}{c c} 6 & 24 \\ 6 & 29 \end{array}$	6 24 6 30	$\begin{array}{c c} 6 & 25 \\ 6 & 31 \end{array}$	$\begin{array}{c c} 6 & 26 \\ 6 & 32 \end{array}$	$\begin{array}{c c} 6 & 27 \\ 6 & 33 \end{array}$	$egin{array}{c} 4 \\ 5 \end{array}$
J	0 25	0 20	0 27	0 20	0 28	0.30	0 31	0 32	0 99	3
+ 6	6 29	<b>6 3</b> 0	6 31	6 33	6 34	6 35	6 36	6 37	6 39	+ 6
7	6 34	6 35	6 36	6 37	6 39	6 40	6 42	6 43	6 45	7
8	6 38	6 40	6 41	6 42	6 44	6 45	6 47	6 49	6 51	8
9	6 43	6 44	6 46	6 47	6 49	6 51	6 53	6 55	6 57	9
10	6 47	6 49	6 51	$\begin{array}{ c c c c c c }\hline 6 & 52 \\ \hline \end{array}$	6 54	6 56	6 58	7 0	$\begin{array}{ c c c c c c c c c c c c c c c c c c c$	10
+11	6 52	6 54	6 55	6 57	6 59	7 2	7 4	7 6	7 9	$\pm 11$
12	6 56	6 58	7 0	7 3	7 5	7 7	7 10	7 12	7 15	12
13	7 1	7 3	7 5	7 8	7 10	7 13	7 16	7 18	7 21	13
14	7 6	7 8	7 11	7 13	7 16	7 19	7 22	7 25	7 28	14
15	7 11	7 13	7 16	7 19	7 21	7 24	7 28	7 31	7 35	15
+16	7 15	7 18	7 21	7 24	7 27	7 30	7 34	7 38	7 41	-16
17	7 20	7 23	7 26	<b>7 3</b> 0	7 33	7 36	7 40	7 44	7 48	17
18	7 25	7 29	7 32	7 35	7 39	7 43	7 47	7 51	7 55	18
19	7 31	7 34	7 38	7 41	7 45	7 49	7 53	7 58	8 3	19
20	7 36	7 39	7 43	7 47	7 51	7 56	8 0	8 5	8 10	20
$\pm 21$	7 41	7 45	7 49	7 53	7 58	8 2	8 7	8 13	8 18	+21
22	7 47	7 51	7 55	8 0	8 4	8 9	8 15	8 20	8 26	22
23	7 53	7 57	8 1	8 6	8 11	8 17	8 22	8 28	8 35	23
24	7 58	8 3	8 8	8 13	8 18	8 24	8 30	8 37	8 44	24
25	8 5	8 9	8 15	<b>8 2</b> 0	8 26	8 32	8 38	8 46	8 53	25
+26	8 11	8 16	8 22	8 27	8 33	8 40	8 47	8 55	9 3	+26
27	8 17	8 23	8 29	8 35	8 41	8 49	8 56	9 4	9 14	27
28	8 24	8 30	8 36	8 43	8 50	8 58	9 6	9 15	9 25	28
29	8 31	8 37	8 44	8 51	8 59	9 7	9 16	9 26	9 37	29
<b>3</b> 0	8 38	8 45	8 52	9 0	9 8	9 17	9 27	9 38	9 51	<b>3</b> 0
+31	8 46	8 53	9 1	9 9	9 18	9 28	9 40	9 52	10 6	+31
32	8 54	$\begin{array}{c c} 0 & 00 \\ 9 & 2 \end{array}$	9 10	9 19	9 29	9 40	9 53	10 7	10 23	32
33	9 2	9 11	9 19	9 30	9 40	9 53	10 7	10 24	10 46	33
34	9 11	9 20	9 30	9 41	9 54	10 8	10 25	10 47	11 37	34
35	9 21	9 31	9 42	9 55	10 8	10 25	10 47	11 37		<b>3</b> 5
+36	9 32	9 43	9 55	10 9	10 25	10 47	11 37			+36
+ 30 37	9 43	9 55	10 10	10 3	10 48	11 38	11 0,			37
38	9 56	10 10	10 26	10 48	11 38	00				38
39	10 10	10 26	10 48	11 38						39
40	10 27	10 49	11 38							<b>4</b> 0

Südliche Deklinationen

$\begin{array}{ c c c }\hline \delta & \varphi \to \\ \downarrow & \end{array}$	+ <b>47</b> °	+48°	+ <b>49</b> °	+50°	+51°	+52°	+5 <b>3</b> °	+5 <b>4</b> °	+55°	$\leftarrow \varphi \downarrow \delta$
$egin{array}{c} \circ & & & & & & \\ -40 & & & & & & \\ 39 & & & & & \\ 38 & & & & & \\ 37 & & & & & \\ 36 & & & & & \\ \end{array}$	h min 1 53 2 8 2 20 2 31 2 42	h min   1 38   1 54   2 8   2 20   2 32	h min 1 16 1 38 1 54 2 8 2 21	h min 1 17 1 38 1 55 2 9	h min 1 17 1 38 1 55	h min 1 17 1 39	h min	h min	h min	$egin{array}{c} \circ \\ -40 \\ 39 \\ 38 \\ 37 \\ 36 \\ \end{array}$
$-35 \\ 34 \\ 33 \\ 32 \\ 31$	2 52 3 1 3 9 3 17 3 25	2 43 2 53 3 2 3 10 3 18	2 32 2 43 2 53 3 2 3 11	2 22 2 33 2 44 2 54 3 4	2 10 2 22 2 34 2 44 2 54	1 56 2 10 2 23 2 35 2 46	$\begin{array}{c} 1 \ 40 \\ 1 \ 56 \\ 2 \ 11 \\ 2 \ 24 \\ 2 \ 36 \end{array}$	1 18 1 40 1 57 2 12 2 25	1 18 1 41 1 58 2 13	$egin{array}{c} -35 \\ 34 \\ 33 \\ 32 \\ 31 \\ \end{array}$
-30 29 28 27 26	3 32 3 39 3 46 3 52 3 58	3 26 3 33 3 40 3 47 3 53	3 19 3 27 3 34 3 41 3 48	3 12 3 20 3 28 3 36 3 43	3 4 3 13 3 21 3 29 3 37	2 56 3 5 3 14 3 23 3 31	2 47 2 57 3 7 3 16 3 24	2 37 2 48 2 58 3 8 3 17	2 26 2 38 2 49 3 0 3 10	$ \begin{array}{c c} -30 \\ 29 \\ 28 \\ 27 \\ 26 \end{array} $
$-25 \\ 24 \\ 23 \\ 22 \\ 21$	4 4 4 4 10 4 16 4 21 4 27	4 0 4 6 4 12 4 18 4 23	3 55 4 1 4 7 4 13 4 19	3 50 3 57 4 3 4 9 4 15	3 44 3 51 3 58 4 5 4 11	3 39 3 46 3 53 4 0 4 7	3 32 3 40 3 48 3 55 4 2	3 26 3 34 3 42 3 50 3 57	3 19 3 28 3 36 3 44 3 52	$     \begin{array}{r}     -25 \\     24 \\     23 \\     22 \\     21   \end{array} $
-20 19 18 17 16	4 32 4 37 4 42 4 47 4 52	4 29 4 34 4 39 4 45 4 50	4 25 4 31 4 36 4 42 4 47	4 21 4 27 4 33 4 39 4 44	4 18 4 24 4 30 4 35 4 41	4 14 4 20 4 26 4 32 4 38	4 9 4 16 4 22 4 29 4 35	4 5 4 12 4 18 4 25 4 32	4 0 4 7 4 14 4 21 4 28	$     \begin{array}{r}       -20 \\       19 \\       18 \\       17 \\       16     \end{array} $
-15 14 13 12 11	4 57 5 2 5 6 5 11 5 15	4 55 5 0 5 4 5 9 5 14	4 52 4 57 5 2 5 7 5 12	4 50 4 55 5 0 5 5 5 10	4 47 4 52 4 58 5 3 5 8	4 44 4 50 4 55 5 1 5 6	4 41 4 47 4 53 4 59 5 4	4 38 4 44 4 50 4 56 5 2	4 35 4 41 4 47 4 54 5 0	-15 14 13 12 11
$   \begin{array}{c}     -10 \\     9 \\     8 \\     7 \\     6   \end{array} $	5 20 5 24 5 29 5 33 5 38	5 18 5 23 5 28 5 32 5 37	5 17 5 22 5 26 5 31 5 36	5 15 5 20 5 25 5 30 5 35	5 14 5 19 5 24 5 29 5 34	5 12 5 17 5 22 5 28 5 33	5 10 5 16 5 21 5 26 5 32	5 8 5 14 5 20 5 25 5 31	5 6 5 12 5 18 5 24 5 30	$egin{array}{c} -10 \\ 9 \\ 8 \\ 7 \\ 6 \\ \end{array}$
$egin{array}{ccc} - & 5 & & & & & & & & & & & & & & & & &$	5 42 5 46 5 51 5 55 5 59	5 41 5 46 5 50 5 55 5 59	5 40 5 45 5 50 5 54 5 59	5 40 5 45 5 49 5 54 5 59	5 39 5 44 5 49 5 54 5 59	5 38 5 43 5 48 5 54 5 59	5 37 5 43 5 48 5 53 5 59	5 36 5 42 5 47 5 53 5 58	5 35 5 41 5 47 5 53 5 58	$egin{array}{cccc} -5 & & & & & & & & & & & & & & & & & & $
0	6 3	6 4	6 4	6 4	6 4	6 4	6 4	6 4	6 4	0

# 3.1.4. Julianische Tageszählung und Julianische Periode

I. Anzahl der am 0. Januar  $12^{\rm h}$  WZ =  $13^{\rm h}$  MEZ der hier gegebenen Jahre seit Beginn der Julianischen Periode verflossenen Tage (= Julianisches Datum)

Jahr	Julianisches Datum	Jahr	Julianisches Datum	Jahr	Julianisches Datum	Jahr	Julianisches Datum
-1600	11 36 657	-800	14 28 857	0	17 21 057	800	20 13 257
1580	43 962	780	36 162	20	28 362	820	20 562
1560	51 267	<b>76</b> 0	43 467	40	35 667	840	27 867
1540	58 572	<b>74</b> 0	50 772	60	42 972	860	35 172
1520	65 877	720	58 077	80	50 277	880	42 477
-1500	11 73 182	-700	14 65 382	100	17 57 582	900	20 49 782
1480	80 487	680	72 687	120	64 887	920	57 087
1460	87 792	660	79 992	140	72 192	940	64 392
1440	95 097	<b>64</b> 0	87 297	160	79 497	960	71 697
1420	12 02 402	<b>62</b> 0	94 602	180	86 802	980	79 002
1400	12 09 707	-600	15 01 907	200	17 94 107	1000	20 86 307
1380	17 012	580	09 212	220	18 01 412	1020	93 612
1 <b>36</b> 0	24 317	<b>56</b> 0	16 517	240	08 717	1040	21 00 917
<b>134</b> 0	31 622	<b>54</b> 0	23 822	<b>26</b> 0	16 022	1060	08 222
1320	38 927	<b>52</b> 0	31 127	280	23 327	1080	15 527
-1300	12 46 232	-500	15 38 432	<b>3</b> 00	18 30 632	1100	21 22 832
1280	53 537	480	45 737	<b>32</b> 0	37 937	1120	30 137
1260	60 842	<b>46</b> 0	53 042	<b>34</b> 0	45 242	1140	37 442
1240	68 147	<b>44</b> 0	60 347	<b>35</b> 0	52 $547$	1160	44 747
1220	75 452	420	67 652	<b>3</b> 80	59 852	1180	52 052
-1200	12 82 757	<b>-4</b> 00	15 74 957	400	18 67 157	1200	21 59 357
1180	90 062	<b>3</b> 80	82 262	<b>42</b> 0	74 462	1220	66 662
1160	97 367	<b>36</b> 0	89 567	<b>44</b> 0	81 767	1240	73 967
1140	13 04 672	<b>34</b> 0	96 872	<b>46</b> 0	89 072	1260	81 272
1120	11 977	<b>32</b> 0	16 04 177	<b>4</b> 80	96 377	1280	88 577
-1100	13 19 282	<b>-3</b> 00	16 11 482	500	19 03 682	1300	21 95 882
1080	26 587	280	18 787	<b>52</b> 0	10 987	1320	22 03 187
1060	33 892	260	26 092	<b>54</b> 0	18 292	<b>134</b> 0	10 492
1040	41 197	240	33 397	<b>56</b> 0	25 597	1360	17 797
1020	48 502	<b>22</b> 0	40 702	<b>5</b> 80	32 902	1380	25 102
-1000	13 55 807	-200	16 48 007	600	19 40 207	1400	22 32 407
980	63 112	180	55 312	<b>62</b> 0	47 512	1420	39 712
960	70 417	160	62 617	<b>64</b> 0	54 817	<b>144</b> 0	47 017
<b>94</b> 0	77 722	140	69 922	660	62 122	<b>146</b> 0	54 322
920	85 027	120	77 227	680	69 427	1480	61 627
<b>– 9</b> 00	13 92 332	100	16 84 532	700	19 76 732	1500	22 68 932
880	99 637	80	91 837	<b>72</b> 0	84 037	1520	76 237
860	14 06 942	60	99 142	<b>74</b> 0	91 342	<b>154</b> 0	83 542
840	14 247	40	17 06 447	760	98 647	1560	90 847
820	21 552	20	13 752	780	20 05 952	1580	98 152

Julianische Tageszählung

II. Anzahl der am 0. jeden Monats in den 20 Jahren nach jedem der in I gegebenen Julianischen Daten verflossenen Tage

Jahr	Jan. 0	Febr. 0	März 0	April 0	Mai 0	Juni 0	Juli 0	Auge 0	Sept. 0	Okt. 0	Nov. 0	Dez. 0
	<u> </u>		=		F	ا ت	'3	4	J 32		~	<u> </u>
00	0	31	60	91	121	152	182	213	244	274	305	335
01	366	397	425	456	486	517	547	578	609	639	670	700
02	<b>73</b> 1	762	790	821	851	882	912	943	<b>974</b>	1004	1035	1065
03	1096	1127	1155	1186	1216	1247	1277	1308	1339	1369	1400	1430
Ů												
04	1461	1492	1521	1552	1582	1613	1643	1674	1705	1735	1766	1796
05	1827	1859	1886	1917	1947	1778	2008	2039	2070	2100	2131	2161
06	2192	2223	2251	2282	2312	2343	2373	2404	2435	2465	2496	2526
07	2557	2588	2616	2647	2677	2708	2738	2769	2800	<b>283</b> 0	2861	2891
								· '				
08	2922	2953	2982	<b>3</b> 01 <b>3</b>	3043	3074	3104	3135	3166	3196	3227	3257
09	3288	3319	3347	3378	<b>34</b> 08	3439	3469	<b>35</b> 00	3531	3561	3592	3622
10	3653	3684	3712	3743	3773	<b>3</b> 80 <b>4</b>	3834	3865	2896	3926	3957	3987
11	4018	4049	4077	4108	4138	4169	4199	<b>423</b> 0	4261	4291	4322	4352
12	4383	4414	4443	4474	<b>4</b> 50 <b>4</b>	4535	4565	4596	<b>4627</b>	4657	4688	4718
13	4749	<b>47</b> 80	4808	4839	<b>4869</b>	<b>49</b> 00	<b>493</b> 0	4961	4992	5022	5053	5083
14	5114	5145	5173	<b>5204</b>	5234	5265	5295	5326	5357	5387	5418	<b>544</b> 8
15	5479	5510	5538	5569	5599	<b>563</b> 0	<b>566</b> 0	5691	5722	5752	5783	5813
16	5844	5875	5904	5935	5965	5996	6026	6057	6088	6118	6149	6179
17	6210	6241	6269	6300	<b>633</b> 0	6361	6391	6422	6453	6483	6514	6544
18	6575	6606	6634	6665	6695	6726	6756	6787	6818	6848	6879	6909
19	6940	6971	6999	7030	7060	7091	7121	7152	7183	7213	7244	7274

Das Julianische Datum eines beliebigen Tages zwischen den Jahren -1600 und +1599 kann aus den Tabellen I und II gefunden werden, wie es die beiden Beispiele zeigen. Dabei ist nur zu beachten, daß das Jahr 1 v.u.Z. der historischen Zählung in der astronomischen Zeitrechnung als Jahr 0 bezeichnet wird, so daß die Relation besteht:

```
Jahr 1 n.u.Z. = Jahr 1 (astron.)
               Jahr 1 v.u.Z. = Jahr 0 (astron.)
               Jahr 2 v.u.Z. = Jahr - 1 (astron.)
  allgemein:
               Jahr n v.u.Z. = Jahr - (n - 1) (astron.)
Beispiel: 4. Aug. 485 v.u.Z.
                                                 12. Okt. 1492 (1492 = 1480 + 12)
= -484 \text{ Aug. } 4 (-484 = -500 + 16)
                                                 Tab. I Jahr 1480
                                                                           = J. D. 22 61 627
Tab. I Jahr -500
                         = J. D. 15 38 432
                                                                                       4 657
                                                 Tab. II Jahr 12 Okt. 0
Tab. II Jahr 16, Aug. 0
                                      6 057
                                                 Monatsdatum
                                                                                          12
Monatsdatum
                                                                           = J. D. 22 66 296
                                                 12. Okt. 1492
-484 Aug. 4
                          = J. D. 15 44 493
```

Für die Jahre 1600 bis 2299 sind die Tabellen III und IV in gleicher Weise zu benutzen. Für die gegenwartsnahen Jahre 1920 bis 1999 sind die Daten für den 0. Tag jedes Monats gegeben, so daß nur noch das Monatsdatum zu addieren ist.

Julianische Tageszählung

III. Anzahl der am 0. Januar, 12<sup>h</sup> Weltzeit, seit Anfang der Periode verflossenen Tage

Jahr	1600	1700	1800	1900	2000	2100	2200
0	23 05 447	23 41 971	23 78 495	24 15 019	24 51 544	24 88 068	25 24 592
4	06 908	43 432	79 956	16 480	53 005	89 529	26 053
8	08 369	44 893	81 417	17 941	54 466	90 990	27 514
12	09 830	46 354	82 878	19 402	55 927	92 451	28 975
16	11 291	47 815	84 339	20 863	57 388	93 912	30 436
20	23 12 752	23 49 276	23 85 800	24 22 324	24 58 849	24 95 373	25 31 897
<b>24</b>	14 213	50 737	87 261	23 785	60 310	96 834	33 358
28	15 674	52 198	88 722	25 246	61 771	98 295	34 819
${\bf 32}$	17 135	53 659	90 183	26 707	63 232	99 756	36 280
<b>3</b> 6	18 596	55 120	91 644	28 168	64 693	25 01 217	37 741
40	23 20 057	23 56 581	23 93 105	24 29 629	24 66 154	25 02 678	25 39 202
44	21 518	58 042	94 566	31 090	67 615	04 139	40 663
48	22 979	59 503	96 027	32 551	69 076	05 600	42 124
52	24 440	60 964	97 488	<b>34</b> 012	70 537	07 061	43 585
56	25 901	62 425	98 949	35 473	71 998	08 522	45 046
60	23 27 362	23 63 886	24 00 410	24 36 934	24 73 459	25 09 983	25 46 507
<b>64</b>	28 823	65 347	01 871	38 395	74 920	11 444	47 968
68	30 284	66 808	03 332	39 856	<b>76 38</b> 1	12 905	$49\ 429$
72	31 745	68 269	04 793	41 317	77 842	14 366	50 890
<b>76</b>	33 206	69 730	06 254	42 778	79 303	15 827	52 351
80	23 34 667	23 71 191	24 07 715	24 44 239	24 80 764	25 17 288	25 53 812
84	36 128	72 652	09 176	45 700	82 225	18 749	55 273
88	37 589	74 113	10 637	47 161	83 686	20 210	56 734
92	39 050	75 574	12 098	48 622	85 147	21 671	58 195
96	40 511	77 035	13 559	50 083	86 608	23 132	59 656
100	23 41 971	12 78 495	24 15 019	24 51 544	24 88 068	25 24 592	25 61 116

IV. Anzahl der am 0. eines jeden Monats, 12<sup>h</sup> Weltzeit, seit Beginn der in III gegebenen Schaltperioden verflossenen Tage

Jahr	Jan. 0	Febr. 0	März 0	April 0	Mai 0	Juni 0	Juli 0	Aug. 0	Sept. 0	Okt. 0	Nov. 0	
0 1 2 3	$egin{array}{c} 0^1) \\ 366 \\ 731 \\ 1096 \\ \end{array}$	$31^{1}$ ) $397$ $762$ $1127$	60 425 790 1155	91 456 821 1186	121 486 851 1216	152 517 882 1247	182 547 912 1277	213 578 943 1308	244 609 974 1339	274 639 1004 1369	305 670 1035 1400	335 700 1065 1430

<sup>1)</sup> In den Jahren 1700, 1800, 1900, 2100, 2200 und 2300 um 1 zu vergrößern

Julianische Periode

V. Anzahl der am 0. eines jeden Monats, 12<sup>h</sup> Weltzeit, seit Beginn der Periode verflossenen Tage

	1 -	Τ 0	1 0	0	1		1	0	0	Ι _	0	
r p	n. 0	Febr. 0	Į.Z.	April (	0	ni 0	] i	<u> </u>	) t	t. 0	>	z. 0
Jahr	Jan. 0	Fel	März	Ap	Mai	Juni	Juli	Aug.	Sept.	Okt.	Nov.	Dez.
	<u> </u>		<u>'</u>	<u> </u>			i	'	•	i	•	<u> </u>
1920	2422 324	355	384	415	445	476	506	537	568	598	629	659
1921	690	721	749	780	810	841	871	902	933	963	994	*024
1922	2423 055	086	114	145	175	206	236	267	298	328	359	389
1923	420	451	479	510	<b>54</b> 0	571	601	632	663	693	724	754
1924	785	816	845	876	906	937	967	998	*029	*059	*090	*120
1925	2424 151	182	210	241	271	<b>3</b> 02	332	363	394	424	455	485
1926	516	547	575	606	636	667	697	728	<b>759</b>	789	820	850
1927	881	912	940	971	*001	*032	*062	*093	*124	*154	*185	*215
1928	2425 246	277	306	337	<b>367</b>	398	428	<b>459</b>	<b>490</b>	520	551	<b>581</b>
1929	612	643	671	702	732	763	793	$\bf 824$	855	885	916	946
1930	977	*008	*036	*067	*097	*128	*158	*189	*220	*250	*281	*311
1931	2426 342	373	401	432	462	493	523	554	585	615	646	676
1932	707	738	767	798	828	859	889	920	951	981	*012	*042
1933	2427 073	104	132	163	193	224	254	$\frac{320}{285}$	316	346	377	407
1934	438	469	497	528	558	589	619	650	681	711	742	772
1001	100	100	10.	020	000	000	010	000	001		.12	••-
1935	803	834	862	893	923	<b>954</b>	984	*015	*046	*076	*107	*137
1936	2428 168	199	228	259	289	<b>32</b> 0	<b>3</b> 50	<b>3</b> 81	412	442	473	503
1937	534	565	<b>593</b>	624	654	685	715	<b>746</b>	777	807	838	868
1938	899	<b>93</b> 0	958	989	*019	*050	*080	*111	*142	*172	*203	*233
1939	2429 264	295	323	354	384	415	445	476	507	537	<b>568</b>	598
1940	629	660	689	720	<b>7</b> 50	781	811	842	873	903	934	964
1941	995	*026	*054	*085	*115	*146	*176	*207	*238	*268	*299	*329
1942	<b>243</b> 0 <b>36</b> 0	<b>39</b> 1	419	450	480	511	541	572	603	633	<b>664</b>	694
1943	725	756	<b>784</b>	815	845	876	906	937	968	998	*029	*059
1944	2431 090	121	150	181	211	<b>242</b>	272	<b>3</b> 0 <b>3</b>	334	364	395	<b>425</b>
1945	456	487	515	546	576	607	637	668	699	729	760	<b>79</b> 0
1946	821	852	880	911	941	$\frac{972}{972}$	*002	*033	*064	*094	*125	*155
1947	2432 186	$\frac{332}{217}$	245	$\frac{311}{276}$	306	337	367	398	429	459	490	520
1948	551	582	611	$\begin{array}{c c} 210 \\ 642 \end{array}$	672	703	733	764	$\frac{425}{795}$	825	856	886
1949	917	948	976	*007	*037	*068	*098	*129	*160	*190	*221	*251
1950	2433 282	313	<b>34</b> 1	372	<b>402</b>	433	463	494	525	555	586	616
1951	647	678	706	737	<b>767</b>	<b>798</b>	828	859	890	920	951	981
1952	<b>2434</b> 012	<b>043</b>	072	103	133	164	194	225	256	286	317	347
1953	378	409	437	468	498	529	559	590	621	651	682	712
1954	743	774	802	833	86 <b>3</b>	894	924	955	986	*016	*047	*077
1955	2435 108	139	167	198	228	259	289	<b>32</b> 0	351	381	412	442
1956	473	504	533	$\bf 564$	<b>594</b>	625	655	686	717	747	778	808
1957	839	870	898	929	959	990	*020	*051	*082	*112	*143	*173
1958	<b>2436 204</b>	235	263	294	<b>324</b>	<b>3</b> 55	<b>3</b> 85	416	447	477	508	<b>53</b> 8
1959	569	600	628	659	689	720	<b>75</b> 0	781	812	842	873	903

Der Julianische Tag beginnt um  $12^{\rm h}$  Weltzeit. Die Vormittagsstunden gehören zum Julianischen Datum des vorhergehenden Tages.

Julianische Periode

V. Anzahl der am 0. eines jeden Monats, 12<sup>h</sup> Weltzeit, seit Beginn der Periode verflossenen Tage

	0	1 0	0	0	0	0	0	0	0	0	0	0
l br	n.	pr	irz	i <u>r</u> i		<u>.</u> E	) :=	<b>ti</b> o	<del>  ;</del>			, i
Jahr	Jan.	Febr. 0	März	April	Mai	Juni	Juli	Aug.	Sept. 0	Okt.	Nov.	Dez.
		<del></del>		' '			<u> </u>		02	<u> </u>		
1960	0496 094	065	004	¥00~	*0==	*000						
	2436 934		994	*025	*055	*086	*116	*147	*178	*208	*239	*269
1961	<b>2437 3</b> 00		359	<b>39</b> 0	<b>42</b> 0	451	481	512	543	573	604	634
1962	665	696	<b>724</b>	755	785	816	846	877	908	938	969	999
1963	<b>2438</b> 0 <b>3</b> 0	061	089	120	150	181	211	242	273	303	334	364
1964	395	426	<b>455</b>	486	516	<b>547</b>	577	608	639	669	700	
			200	100	010	01.	""	000	000	009	100	<b>73</b> 0
1965	761	792	820	851	881	912	1 040	079	*004	***		
1966	2439 126						942	973	*004	*034	*065	*095
	r e		185	216	246	277	307	338	369	399	<b>43</b> 0	460
1967	491		550	581	611	642	672	703	734	764	795	825
1968	856		916	947	<b>977</b>	*008	*038	*069	*100	*130	*161	*191
1969	2440 222	253	281	312	342	373	403	434	465	495	526	556
											0_0	000
1970	<b>587</b>	618	646	677	707	738	768	799	830	860	891	921
1971	952	983	*011	*042	*072	*103	*133	*164	*195	*225	*256	*286
1972	2441 317		377	408	438	469	499	530				
1973	683		742	773	803	834			561	591	622	652
1974	2442 048						864	895	926	956	987	*017
1974	2442 048	079	107	138	168	199	229	<b>26</b> 0	291	321	352	382
1055	410		4=0			~0.4						
1975	413		472	503	533	564	594	625	656	686	717	747
1976	778		838	869	899	<b>930</b>	960	991	*022	*052	*083	*113
1977	2443 144		203	234	264	295	325	356	387	417	<b>44</b> 8	<b>47</b> 8
1978	509	<b>54</b> 0	<b>568</b>	599	629	660	690	721	<b>752</b>	782	813	843
1979	874	905	933	964	<b>994</b>	*025	*055	*086	*117	*147	*178	*208
							***				1.0	200
1980	2444 2	239 27	0 299	339	360	391	421	452	483	513	544	= 7.4
1981	1						1 '				544	574
-	1		-	695		756	786	817	848	878	909	939
1982	9	70 *00	*029	*060	*090	*121	*151	*182	*213	*243	*274	<b>*</b> 304
1983	2445 3	35 36	6 394	425	455	486	516	547	578	6о8	639	669
1984	1 2	00 73		791	821	852	882	913	944	074	*005	-
•	<b>'</b>	75	,,,,	"		- 3-	1	7-3	244	9/4	005	933
1985	2446 C	66 09	7 125	156	186	217	247	278	309	339	370	400
1986	1	31 46:	-	521		582	612	643	674			765
1987		•	• -	- 1	-	-	l .			704	735	
	li .	96 82		886			977	<b>*</b> 0 <b>0</b> 8	<b>*</b> 039	<b>₹0</b> 69	*100	<b>*</b> 130
1988	2447 1	61 19:	2 221	252	282	313	343	374	405	435	466	496
1989	1 5	27 55	3 586	617	647	678	708	739	770	800	831	861
			_								·	
1990	1 8	92 92	3 951	982	*012	<b>*</b> 043	*073	*104	*135	<b>*</b> 165	<b>*</b> 196 <sup>3</sup>	<b>*</b> 226
1991	2448 2	57 288	316	347	377	408	438	469	500	530	561	591
1992	1	22 65	_	713		774	804		866	896	927	
							1		1	-		957
1993	9	88 <b>*</b> org			*108		i i	<b>*</b> 200	_		*292	
1994	2449 3	53 384	412	443	473	504	534	565	596	626	657	687
1005		- 0		0.0	0-0	06=	0'==				<b>.</b> .	
1995	7	18 749		808	•	869	899	930	961		*022	
1996	i	83 112		174	-	235	265	296	327	357	388	418
1997		.49 480	508	539	569	600	630	66 <b>r</b>	692	722	753	783
1998	8	14 845	873	904		965	995	<b>*</b> 026	1	-	*118 *	
1999		79 210		269		330	360	391				•
222	1 - 10	,,,	- 3	1 ~09	~ ~yy	220	1 300	291	422	452	483	513

A. a. Ort hat sich für 1983 Okt. ein Schreibfehler eingeschlichen, der sich bei der Art der Aufstellung der Tafel — fortlaufende Addition — bis 1999 Dez. fortgepflanzt hat. Die Besitzer des Buches können den hier stehenden richtiggestellten Teil der Tafel ausschneiden und über den fehlerhaften Teil kleben.

**4**8

# 3.1.5. Verwandlung von Zeitmaß in Gradmaß

h	min	0	h	min	o	min ° ′	s	"	s	″
0	0	0	12	0	180	0 0 0	0.00	0	2.00	<b>3</b> 0
	20	5		20	185	1 0 15	0.07	1	2.07	31
	<b>4</b> 0	10		<b>4</b> 0	190	2 0 30	0.13	2	2.13	32
1	0	15	13	0	195	3 0 45	0.20	3	2.20	33
	20	20		20	200	4 1 0				
	<b>4</b> 0	25		40	205		0.27	4	2.27	34
2	0	30	14	0	210	5 1 15	0.33	5	2.33	35
	20	<b>3</b> 5	~~	20	215	6 1 30	0.40	6	2.40	<b>3</b> 6
	<b>4</b> 0	40	}	40	220	7 1 45				
	•					8 2 0	0.47	7	2.47	37
3	0	<b>4</b> 5	15	0	225	9 2 15	0.53	8	2.53	38
	$\overset{\circ}{20}$	<b>5</b> 0		20	<b>23</b> 0		0.60	9	2.60	39
	<b>4</b> 0	55		40	235	10 2 30	0.00	U		00
4	0	<b>60</b>	16	0	240	11 2 45	0.67	10	2.67	<b>4</b> 0
			10	20	245	12 3 0	0.73	11	2.73	41
	20	$\begin{array}{c} 65 \\ 70 \end{array}$	1		245 250	13 3 15	0.73	$\frac{11}{12}$	$\begin{bmatrix} 2.73 \\ 2.80 \end{bmatrix}$	42
	40	70 75	1 -	40		14 3 30	0.80	14	2.80	44
5	0	<b>75</b>	17	0	255 260	14 3 30	0.04	19	9.07	43
	20	80	1	20	260	15 9 45	0.87	13	2.87	43 44
	<b>4</b> 0	85	1	<b>4</b> 0	265	15 3 45	0.93	14 15	2.93	
c	•	00	10	Δ	970	16 4 0 17 4 15	1.00	15	3.00	<b>45</b>
6	0	90	18	0	270		1.0=	1.0	9.05	4.0
	20	95		20	275	18 4 30	1.07	16	3.07	46
	<b>4</b> 0	100		<b>4</b> 0	280	19 4 45	1.13	17	3.13	47
7	0	105	19	0	285		1.20	18	3.20	<b>4</b> 8
	20	110		20	290	20 5 0				
	<b>4</b> 0	115		<b>4</b> 0	295		1.27	19	3.27	49
8	0	120	20	0	<b>3</b> 00	s /	1.33	20	3.33	<b>5</b> 0
	<b>2</b> 0	125	1	<b>2</b> 0	305	0 0	1.40	21	3.40	51
	<b>4</b> 0	<b>13</b> 0		<b>4</b> 0	<b>3</b> 10	4 1				
						8 2	1.47	22	3.47	52
9	0	135	21	0	315	12 3	1.53	23	3.53	53
	20	140	1	<b>2</b> 0	<b>32</b> 0	16 4	1.60	24	3.60	54
	<b>4</b> 0	145		<b>4</b> 0	325					
10	0	<b>15</b> 0	22	0	<b>33</b> 0	20 5	1.67	25	3.67	55
	20	155		20	335	24 6	1.73	26	3.73	56
	<b>4</b> 0	160	1	<b>4</b> 0	<b>34</b> 0	28 7	1.80	27	3.80	<b>57</b>
11	0	165	23	0	345	32 8				
	20	170	1	<b>2</b> 0	<b>35</b> 0	36 9	1.87	28	3.87	<b>58</b>
	<b>4</b> 0	175		<b>4</b> 0	355		1.93	29	3.93	59
						40 10	2.00	<b>3</b> 0	4.00	<b>6</b> 0
12	0	180	24	0	<b>36</b> 0	44 11	<u> </u>		<u> </u>	
	-			-		$\frac{1}{48}$ $\frac{1}{12}$				
						52 13		Rechan	beispiel:	
						56 14			-	
							$RA 8^{1}$	27min	15 <sup>s</sup> .3	_
						60 15	81	20min	$= 125^{\circ}$ (	_ )′
								7min		
			1			1		•	$\frac{1}{2^{\mathbf{s}}} = 3$	
									$3^{\mathbf{s}} \cdot 3 = 3$	49
										4;
							RA 8 <sup>1</sup>	27min		
									$= 126^{\circ} 48$	3′ 49

3.1.6. Präzession in Rektaszension und Deklination Jährliche Präzession in Rektaszension (Erläuterung s. 3.1.)

$\begin{bmatrix} \alpha \\ \downarrow \\ \end{bmatrix}$	0°	-10°	-20°	-30°	-40°	-50°	$-55^{\circ}$	-60°	$-65^{\circ}$	-70°	-75°	-80°
h min	s	s	s	s	s	s	s	s	S	s	s	     s
0 0	3.07	3.07	3.07	3.07	3.07	3.07	3.07	3.07	3.07	3.07	3.07	3.07
0 30	3.07	3.04	3.01	2.97	2.93	2.87	2.82	2.77	2.70	2.59	2.42	2.08
1 0	3.07	3.01	2.95	2.87	2.78	2.66	2.58	2.47	2.33	2.12	1.78	1.11
1 30	3.07	2.98	2.89	2.78	2.64	2.46	2.34	2.19	1.98	1.67	1.16	0.17
2 0	3.07	2.95	2.83	2.69	2.51	2.28	2.12	1.92	1.64	1.24	0.58	-0.72
2 30	3.07	2.93	2.78	2.60	2.39	2.10	1.91	$\overline{1.66}$	1.33	0.84	0.04	-1.54
3 0	3.07	2.91	2.73	2.53	2.28	1.95	1.72	1.44	1.05	0.48	-0.45	-2.29
3 30	3.07	2.89	2.69	2.46	2.18	1.81	1.56	1.24	0.80	0.16	-0.88	-2.94
4 0	3.07	2.87	2.65	2.41	2.10	1.69	1.42	1.07	0.59	-0.11	-1.25	-3.49
4 30	3.07_	2.86	2.62	2.36	2.04	1.60	1.31	0.93	0.43	-0.32	-1.53	-3.93
$\overline{5}$ $\overline{0}$	3.07	2.84	2.60	2.33	1.99	1.53	1.23	0.84	0.31	-0.47	-1.74	-4.25
<b>5 3</b> 0	3.07	2.84	2.59	2.31	1.96	1.49	1.18	0.78	0.23	-0.57	-1.87	-4.44
$6  ext{ } 0$	3.07	2.84	2.59	2.30	1.95	1.48	1.16	0.76	0.21	-0.60	-1.91	<b>-4.5</b> 0
6 30	3.07	2.84	2.59	2.31	1.96	1.49	1.18	0.78	0.23	-0.57	-1.87	-4.44
7 0	3.07	2.84	2.60	2.33	1.99	1.53	1.23	0.84	0.31	-0.47	-1.47	-4.25
7 30	3.07	2.86	$2.6\overline{2}$	$2.3\overline{6}$	2.04	1.60	1.31	0.93	0.43	-0.32	-1.53	$-3.9\overline{3}$
8 0	3.07	2.87	2.65	2.41	2.10	1.69	1.42	1.07	0.59	-0.11	-1.25	-3.49
8 30	3.07	2.89	2.69	2.46	2.18	1.81	1.56	1.24	0.80	0.16	-0.88	-2.94
9 0	3.07	2.91	2.73	2.53	2.28	1.95	1.72	1.44	1.05	0.48	-0.45	-2.29
9 30	3.07	2.93	2.78	2.60	2.39	2.10	1.91	1.66	1.33	0.84	0.04	-1.54
10 0	3.07	2.95	2.83	2.69	2.51	2.28	-2.12	-1.92	1.64	$\overline{1.24}$	0.58	-0.72
10 30	3.07	2.98	2.89	2.78	2.64	2.46	2.34	2.19	1.98	1.67	1.16	0.17
11 0	3.07	3.01	2.95	2.87	2.78	2.66	2.58	2.47	2.33	2.12	1.78	1.11
11 30	3.07	3.04	3.01	2.97	2.93	2.87	2.82	2.77	2.70	2.59	2.42	2.08
12 0	3.07	3.07	3.07	3.07	3.07	3.07	3.07	3.07	3.07	3.07	3.07	3.07
12 30	3.07	3.10	3.14	3.17	3.22	3.28	$\overline{3.32}$	3.38	$\overline{3.45}$	3.55	$\overline{3.72}$	4.06
<b>13</b> 0	3.07	3.13	3.20	3.27	3.36	3.48	3.57	3.67	3.82	4.02	4.36	5.03
<b>13 3</b> 0	3.07	3.16	3.26	3.37	3.50	3.68	3.80	3.96	4.17	4.48	4.98	5.97
14 0	3.07	3.19	3.32	3.46	3.63	3.87	4.03	4.23	4.51	4.91	5.57	6.86
14 30	3.07	3.22	3.37	3.54	3.76	4.04	4.24	4.48	4.82	5.31	6.11	7.69
15 0	3.07	$\overline{3.24}$	3.42	3.62	3.87	4.20	$\overline{4.42}$	4.71	5.10	5.67	6.60	8.43
15 30	3.07	3.26	3.46	3.69	3.96	4.34	4.59	4.91	5.35	5.99	7.03	9.09
16 0	3.07	3.28	3.49	3.74	4.04	4.45	4.73	5.08	5.56	6.25	7.39	9.64
16 <b>3</b> 0	3.07	3.29	3.52	3.79	4.11	4.54	4.84	5.21	5.72	6.47	7.68	10.08
<u>17 0</u>	3.07	3.30	3.54	3.82	4.16	4.61	4.92	5.31	5.84	6.62	7.89	10.39
17 30	3.07	3.31	3.56	3.84	4.19	4.65	$4.\overline{97}$	5.37	5.92	6.71	8.02	$\overline{10.59}$
18 0	3.07	3.31	3.56	3.84	4.20	4.67	4.98	5.39	5.94	6.75	8.06	10.65
18 30	3.07	3.31	3.56	3.84	4.19	4.65	4.97	5.37	5.92	6.71	8.02	10.59
19 0	3.07	3.30	3.54	3.82	4.16	4.61	4.92	5.31	5.84	6.62	7.89	10.39
19 30	3.07	3.29	3.52	3.79	4.11	4.54	4.84	5.21	5.72	$\boxed{6.47}$	7.68	10.08
$20 \ 0$	3.07	3.28	$3.4\overline{9}$	3.74	4.04	4.45	4.73	5.08	5.56	6.25	7.39	9.64
20 30	3.07	3.26	3.46	3.69	3.96	4.34	4.59	4.91	5.35	5.99	7.03	9.09
21 0	3.07	3.24	3.42	3.62	3.87	4.20	4.42	4.71	5.10	5.67	6.60	8.43
21 30	3.07	3.22	3.37	3.54	3.76	4.04	4.24	4.48	<b>4.82</b>	5.31	6.11	7.69
22  0	3.07	3.19	3.32	3.46	3.63	3.87	4.03	4.23	4.51	4.91	5.57	6.86
22 30	3.07	3.16	3.26	3.37	3.50	3.68	3.80	3.96	4.17	4.48	4.98	5.97
<b>23</b> 0	3.07	3.13	3.20	3.27	3.36	3.48	3.57	3.67	3.82	4.02	4.36	5.03
<b>23 3</b> 0	3.07	3.10	3.14	3.17	3.22	3.28	3.32	3.38	3.45	3.55	3.72	4.06
<b>24</b> 0	3.07	3.07	3.07	3.07	3.07	3.07	3.07	3.07	3.07	3.07	3.07	3.07

<sup>4</sup> Ahnert, Prakt. Astronomie

Jährliche Präzession in Rektaszension (Fortsetzung)

$\downarrow^{\alpha} \delta \rightarrow$	0°	+10°	$+20^{\circ}$	+ <b>3</b> 0°	+40°	+50°	+55°	+60°	$+65^{\circ}$	+ <b>7</b> 0°	+ <b>7</b> 5°	+80°
h min	s	s	s	s	s	s	s	s	s	s	s	s
0 0	3.07	3.07	3.07	3.07	3.07	3.07	3.07	3.07	3.07	3.07	3.07	3.07
0 30	3.07	3.10	3.14	3.17	3.22	3.28	3.32	3.38	3.45	3.55	3.72	4.06
1 0	3.07	3.13	3.20	3.27	3.36	3.48	3.57	3.67	3.82	4.02	4.36	5.03
1 30	3.07	3.16	3.26	3.37	3.50	3.68	3.80	3.96	4.17	4.48	4.98	5.97
2 0	3.07	3.19	3.32	3.46	3.63	3.87	4.03	4.23	4.51	4.91	5.57	6.86
${2} {30}$	3.07	3.22	3.37	3.54	3.76	4.04	4.24	4.48	4.82	5.31	6.11	7.69
<b>3</b> 0	3.07	3.24	3.42	3.62	3.87	4.20	4.42	4.71	<b>5.1</b> 0	5.67	6.60	8.43
<b>3 3</b> 0	3.07	3.26	3.46	3.69	3.96	4.34	4.59	4.91	5.35	5.99	7.03	9.09
<b>4</b> 0	3.07	3.28	3.49	3.74	4.04	4.45	4.73	5.08	5.56	6.25	7.39	9.64
<b>4 3</b> 0	3.07	3.29	3.52	3.79	4.11	4.54	4.84	5.21	5.72	6.47	7.68	10.08
${5}$ 0	3.07	3.30	3.54	3.82	4.16	4.61	4.92	5.31	5.84	6.62	7.89	10.39
<b>5 3</b> 0	3.07	3.31	3.56	3.84	4.19	4.65	4.97	5.37	5.92	6.71	8.02	10.59
6 0	3.07	3.31	3.56	3.84	4.20	4.67	4.98	5.39	5.94	6.75	8.06	10.65
<b>6 3</b> 0	3.07	3.31	3.56	3.84	4.19	4.65	4.97	5.37	5.92	6.71	8.02	10.59
7 0	3.07	3.30	3.54	3.82	4.16	4.61	4.92	5.31	5.84	6.62	7.89	10.39
7 30	3.07	3.29	3.52	3.79	4.11	5.54	4.84	5.21	5.72	6.47	7.68	10.08
8 0	3.07	3.28	3.49	3.74	4.04	4.45	4.73	5.08	5.56	6.25	7.39	9.64
8 30	3.07	3.26	3.46	3.69	3.96	4.34	4.59	4.91	5.35	5.99	7.03	9.09
9 0	3.07	3.24	3.42	3.62	3.87	4.20	4.42	4.71	5.10	5.67	6.60	8.43
9 30	3.07	3.22	3.37	3.54	3.76	4.04	4.24	4.48	4.82	5.31	6.11	7.69
10 0	3.07	3.19	3.32	3.46	3.63	3.87	4.03	4.23	4.51	4.91	5.57	6.86
10 30	3.07	3.16	3.26	3.37	3.50	3.68	3.80	3.96	4.17	4.48	4.98	5.97
11 0	3.07	3.13	3.20	3.27	3.36	3.48	3.57	3.67	3.82	4.02	4.36	5.03
11 30	3.07	3.10	3.14	3.17	3.22	3.28	3.32	3.38	3.45	3.55	3.72	4.06
12 0	3.07	3.07	3.07	3.07	3.07	3.07	3.07	3.07	3.07	3.07	3.07	3.07
12 30	3.07	3.04	3.01	2.97	2.93	2.87	-2.82	${2.77}$	2.70	-2.59	$\overline{2.42}$	2.08
<b>13</b> 0	3.07	3.01	2.95	2.87	2.78	2.66	2.58	2.47	2.33	2.12	1.78	1.11
<b>13 3</b> 0	3.07	2.98	2.89	2.78	2.64	2.46	2.34	2.19	1.98	1.67	1.16	0.17
<b>14</b> 0	3.07	2.95	2.83	2.69	2.51	2.28	2.12	1.92	1.64	1.24	0.58	-0.72
1 <b>4 3</b> 0	3.07	2.93	2.78	2.60	2.39	2.10	1.91	1.66	1.33	0.84	0.04	-1.54
15 0	3.07	2.91	2.73	2.53	2.28	$-{1.95}$	$\overline{1.72}$	1.44	1.05	0.48	-0.45	-2.29
<b>15 3</b> 0	3.07	2.89	2.69	2.46	2.18	1.81	1.56	1.24	0.80	0.16	-0.88	-2.94
16 0	3.07	2.87	2.65	2.41	2.10	1.69	1.42	1.07	0.59	-0.11	-1.25	-3.49
<b>16 3</b> 0	3.07	2.86	2.62	2.36	2.04	1.60	1.31	0.93	0.43	-0.32	-1.53	-3.93
17 0	3.07	2.84	2.60	2.33	1.99	1.53	1.23	0.84	0.31	-0.47	-1.74	-4.25
<del>17 30</del>	3.07	2.84	2.59	2.31	1.96	1.49	1.18	0.78	0.23	-0.57	-1.87	<del>-4.44</del>
18 0	3.07	2.84	2.59	2.30	2.95	1.48	1.16	0.76	0.21	-0.60	-1.91	<b>-4.5</b> 0
<b>18 3</b> 0	3.07	2.84	2.59	2.31	1.96	1.49	1.18	0.78	0.23	-0.57	-1.87	-4.44
<b>19</b> 0	3.07	2.84	2.60	2.33	1.99	1.53	1.23	0.84	0.31	-0.47	-1.74	-4.25
<b>19 3</b> 0	3.07	2.86	2.62	2.36	2.04	1.60	1.31	0.93	0.43	-0.32	-1.53	_3.93
20 0	3.07	2.87	2.65	2.41	2.10	1.69	1.42	1.07	0.59	-0.11	-1.25	-3.49
<b>2</b> 0 <b>3</b> 0	3.07	2.89	2.69	2.46	2.18	1.81	1.56	1.24	0.80	0.16	-0.88	-2.94
21 0	3.07	2.91	2.73	2.53	2.28	1.95	1.72	1.44	1.05	0.48	-0.45	-2.29
21 30	3.07	2.93	2.78	2.60	2.39	2.10	1.91	1.66	1.33	0.84	0.04	-1.54
22 0	3.07	2.95	2.83	2.69	2.51	2.28	2.12	1.92	1.64	1.24	0.58	-0.72
22 30	3.07	2.98	2.89	2.78	2.64	2.46	2.34	2.19	1.98	1.67	1.16	0.17
<b>23</b> 0	3.07	3.01	2.95	2.87	2.78	2.66	2.58	2.47	2.33	2.12	1.78	1.11
<b>23 3</b> 0	3.07	3.04	3.01	2.97	2.93	2.87	2.82	2.77	2.70	2.59	2.42	2.08
<b>24</b> 0	3.07	3.07	3.07	3.07	3.07	3.07	3.07	3.07	3.07	3.07	3.07	3.07

Jährliche Präzession in Deklination (Pδ)

				, ,				
	α	a	x	$P\delta$		α		×
h	min	h	min	"	h	min	h	min
0	0	24	0	+20.0 -	12	0	12	0
ŭ	10	23	<b>5</b> 0	20.0	11	<b>5</b> 0		10
	20		<b>4</b> 0	20.0		<b>4</b> 0		20
	<b>3</b> 0		<b>3</b> 0	19.9	1	<b>3</b> 0		<b>3</b> 0
	<b>4</b> 0		20	19.7		20		<b>4</b> 0
	50	ĺ	10	19.6		10		<b>5</b> 0
1	0	23	0	+19.4-	11	0	13	0
	10	22	<b>5</b> 0	19.1	10	<b>5</b> 0		10
	<b>3</b> 0		<b>4</b> 0	18.8		<b>4</b> 0		20
	<b>3</b> 0		<b>3</b> 0	18.5		<b>3</b> 0		<b>3</b> 0
	<b>4</b> 0		20	18.2	1	<b>2</b> 0		<b>4</b> 0
	<b>5</b> 0		10	17.8		10		<b>5</b> 0
							l	_
<b>2</b>	0	22	0	+17.4-	10	0	14	0
	10	21	<b>5</b> 0	16.9	9	<b>5</b> 0		10
	20		<b>4</b> 0	16.4		<b>4</b> 0		20
	30		<b>3</b> 0	15.9		30		<b>3</b> 0
	<b>4</b> 0		20	15.4		20		<b>4</b> 0
	<b>5</b> 0		10	14.8		10	ĺ	<b>5</b> 0
3	0	21	0	+14.2-	9	0	15	0
Ū	10	20	<b>5</b> 0	13.5	8	<b>5</b> 0		10
	20	-	<b>4</b> 0	12.9		<b>4</b> 0		20
	30		<b>3</b> 0	12.2		<b>3</b> 0		<b>3</b> 0
	<b>4</b> 0		20	11.5		20		<b>4</b> 0
	<b>5</b> 0		10	10.8		10		<b>5</b> 0
4	0	20	0	+10.0 -	8	0	16	0
	10	19	<b>5</b> 0	9.3	7	<b>5</b> 0		10
	20		<b>4</b> 0	8.5		<b>4</b> 0		20
	<b>3</b> 0		<b>3</b> 0	7.7		<b>3</b> 0		<b>3</b> 0
	<b>4</b> 0		20	6.9		20		<b>4</b> 0
	<b>5</b> 0		10	6.0		10		50
5	0	19	0	+5.2-	7	0	17	0
O	10	18	<b>5</b> 0	$\overset{\scriptscriptstyle +0.2}{\textbf{4.3}}$	6	50	••	10
	20	10	<b>4</b> 0	3.5		<b>4</b> 0		20
	<b>3</b> 0		<b>3</b> 0	2.6		30		<b>3</b> 0
	<b>4</b> 0		<b>2</b> 0	1.7		20		<b>4</b> 0
	<b>5</b> 0		10	0.9		10	J	<b>5</b> 0
6	0	18	0	+0.0 -	6	0	18	0

Nimm das Vorzeichen von  $P\,\delta$  von der Seite, auf der die Rektaszension  $\alpha$ steht.

3.1.7. Umrechnung von Größenklassendifferenzen in Intensitätsverhältnisse und umgekehrt

Umrechnung von Größenklassendifferenzen ( $m_2 - m_2$	) in Intensitätsverhältnisse ( $J_1:J$	$_{\circ})^{1})$
---	--	------------------

Zehntel -	$\operatorname{Gr\"{o}}$ Benklassen														
Zenntei  -	0 <b>m</b>	1 <sup>m</sup>	2 <sup>m</sup>	3 <sup>m</sup>	<b>4</b> <sup>m</sup>	5 <sup>m</sup>	- Zehntel								
m							m								
0.0	1.00	2.51	6.31	15.85	39.81	100.0	0.0								
.1	1.10	2.75	6.92	17.38	43.65	109.6	.1								
.2	1.20	3.02	7.59	19.05	47.86	120.2	.2								
.3	1.32	3.31	8.32	20.89	52.48	131.8	.3								
.4	1.45	3.63	$\boldsymbol{9.12}$	22.91	57.54	144.5	.4								
.5	1.58	3.98	10.00	25.12	63.10	158.5	.5								
.6	1.74	4.37	10.96	27.54	69.18	173.8	.6								
.7	1.91	4.79	12.02	30.20	75.86	190.5	.7								
.8	2.09	5.25	13.18	33.11	83.18	208.9	.8								
.9	2.29	5.75	14.45	36.31	91.20	229.1	.9								
1.0	2.51	6.31	15.85	39.81	100.00	251.2	1.0								

Umrechnung von Intensitätsverhältnissen  $(J_1:J_2)$  in Größenklassendifferenzen  $(m_2-m_1)$ 

$J_1$ : $J_2$	$\Delta m$	$J_1:J_2$	$\Delta m$	$oxed{J_1:J_2}$	$\Delta m$	$\boxed{J_1\!:\!J_2}$	$\Delta m$	$J_1\!:\!J_2$	$\Delta m$
	m		m		m		m		m
1.0	0.00	2.0	0.75	6	1.95	25	3.50	100	5.00
1.1	0.10	2.2	0.86	7	2.11	30	3.69	200	5.75
1.2	0.20	2.4	0.95	8	2.26	35	3.86	300	6.19
1.3	0.28	2.6	1.04	9	2.39	40	4.01	400	6.50
1.4	0.36	2.8	1.12	10	2.50	45	4.13	500	6.75
1.5	0.44	3.00	1.19	12	2.70	50	4.25	600	6.95
1.6	0.51	3.5	1.36	14	2.87	60	4.45	800	7.26
1.7	0.58	4.0	1.50	16	3.01	70	4.61	1000	7.50
1.8	0.64	4.5	1.63	18	3.14	80	4.76	10000	10.00
1.9	0.70	5.0	1.75	20	3.25	90	4.89	100 000	12.50
				1				1000000	15.00

Für größere Größenklassendifferenzen und Intensitätsverhältnisse gilt:

Addiert man zu den Größendifferenzen in der oberen Tafel 5 bzw. 10 bzw. 15 Größenklassen, so ist das entsprechende Intensitätsverhältnis mit 100 bzw. 10000 bzw. 1000000 zu multiplizieren.

Multipliziert man die Intensitätsverhältnisse der unteren Tafel mit 100 bzw. 1000 bzw. 1000000, so sind zu den Größendifferenzen (△m) 5<sup>m</sup> bzw. 10<sup>m</sup> bzw. 15<sup>m</sup> zu addieren.

Ist die Größendifferenz größer als  $5^{m}.0$ , so werden zunächst die Vielfachen von 5 (5, 10, 15...) abgezogen und das Intensitätsverhältnis für jeden vollen Fünfer mit 100 multipliziert. Beispiele: Größendifferenz =  $7^{m}.0$  bzw.  $18^{m}.8$ .

$$7^{\text{m.0}} - 5^{\text{m.0}} = 2^{\text{m.0}}$$
; Intensitätsverhältnis =  $6.31 \cdot 100 = 631$   
 $18^{\text{m.8}} - 15^{\text{m.0}} = 3^{\text{m.8}}$ ; Intensitätsverhältnis =  $33.1 \cdot 100 \cdot 100 \cdot 100$   
=  $33100000$ 

<sup>1)</sup>  $m_1$  ist die photometrische Größe und  $J_1$  die Intensität des helleren Sterns.

Ist das Intensitätsverhältnis größer als 100, so wird es durch 100, 10000, 1000000 usw. dividiert, so daß ein Intensitätsverhältnis zwischen 1 und 100 resultiert. Zu dem zugehörigen Größenklassenunterschied werden je nach dem benötigten Divisor 5, 10, 15 usw. Größenklassen addiert.

Intensitätsverhältnis 140000, 140000:10000=14

Größendifferenz  $2^{m}.87 + 10^{m} = 12^{m}.87$ 

### 3.1.8. Berechnung der Helligkeit von Doppelsternen

$\Delta m$ $d$	$\Delta m = d$	$\Delta m$ d	$\Delta m = d$	$\Delta m = d$
$egin{array}{cccccccccccccccccccccccccccccccccccc$	$\begin{array}{c ccccccccccccccccccccccccccccccccccc$	$\begin{array}{c ccccccccccccccccccccccccccccccccccc$	$\begin{array}{c ccccccccccccccccccccccccccccccccccc$	$\begin{bmatrix} & \text{m} & \text{m} \\ 3.6 & -0.04 \\ 3.8 & 0.03 \\ 4.0 & 0.03 \\ 4.5 & 0.02 \end{bmatrix}$
$egin{array}{ccc} 0.2 & -0.66 \\ 0.25 & 0.63 \\ 0.3 & 0.61 \\ 0.35 & 0.59 \\ \end{array}$	$egin{array}{ccc} 0.8 & -0.43 \ 0.9 & 0.39 \ 1.0 & 0.36 \ 1.1 & 0.34 \ \end{array}$	$\begin{array}{c cccc} 1.6 & -0.22 \\ 1.7 & 0.21 \\ 1.8 & 0.19 \\ 1.9 & 0.17 \end{array}$	$\begin{array}{c ccccccccccccccccccccccccccccccccccc$	$\begin{bmatrix} 5.0 & -0.01 \\ 5.5 & 0.01 \\ 6.0 & 0.00 \end{bmatrix}$

 $\Delta m$  Helligkeitsdifferenz der beiden Komponenten, d Helligkeitsdifferenz zwischen Gesamtlicht und hellerer Komponente. Beispiel: Doppelstern  $4^{\rm m}.85 + 5^{\rm m}.20$ ,  $\Delta m = 0^{\rm m}.35$ ; Gesamtlicht  $4^{\rm m}.85 - 0^{\rm m}.59 = 4^{\rm m}.26$ .

## 3.1.9. Griechisches Alphabet

$A$ , $\alpha$	Alpha	$H$ , $\eta$	Eta	$N, \ \nu$	Ny	T, $ au$	Tau
$B$ , $\beta$	Beta	$\Theta$ , $\theta$	Theta	$\Xi$ , $\xi$	Xi	Y, v	$\mathbf{Y}$ psilon
$\Gamma$ , $\gamma$	Gamma	$I$ , $\iota$	Iota	O, o	Omikron	<b>Φ</b> , φ	Phi
Δ, δ	Delta	$K$ , $\varkappa$	Kappa	$\Pi$ , $\pi$	Pi	$X$ , $\chi$	Chi
$\pmb{E},  \pmb{arepsilon}$	Epsilon	Λ, λ	$\mathbf{Lambda}$	$P$ , $\varrho$	Rho	$\Psi$ , $\psi$	$\mathbf{P}\mathbf{si}$
$Z$ , $\zeta$	Zeta	$M$ , $\mu$	My	$\Sigma$ , $\sigma$	Sigma	$\Omega$ , $\omega$	$\mathbf{Omega}$

**54** 

### 3.1.10. Entfernungsmodul und zugehörige Entfernung

 $Entfernungsmodul\ m\ -\ M$  (scheinbare minus absolute Größe) und die zugehörige Entfernung

m-M	$\log r$	r (Parsek)	r'(Lj.)	$\left \begin{array}{c} m-M \end{array}\right $	$\log r$ $r$	(kpc bzw. mpc	) r'(Lj.)
m				m			
-5.0	0.0	1.00 pc	3.26	+15.0	4.0	$10.0~\mathrm{kpc}$	<b>32</b> 600
4.0	0.2	1.58 pc	5.2	16.0	4.2	$15.8~\mathrm{kpc}$	$\mathbf{52000}$
3.0	0.4	$2.51 \mathrm{pc}$	8.2	17.0	4.4	$25.1~\mathrm{kpc}$	$\boldsymbol{82000}$
2.0	0.6	$3.98 \mathrm{\ pc}$	13.0	18.0	4.6	$39.8~\mathrm{kpc}$	130 000
1.0	0.8	6.31 pc	20.6	19.0	4.8	$63.1~\mathrm{kpc}$	206000
0.0	1.0	10.0 pc	33	+20.0	5.0	100 kpc	326 000
+1.0	1.2	15.8 pc	<b>52</b>	21.0	5.2	158 kpc	520000
2.0	1.4	25.1 pc	82	22.0	5.4	$251~\mathrm{kpc}$	820 000
3.0	1.6	39.8 pc	130	23.0	5.6	$398~\mathrm{kpc}$	1300000
4.0	1.8	63.1 pc	206	24.0	5.8	631~ m pkc	$\boldsymbol{2060000}$
+5.0	2.0	100 pc	326	+25.0	6.0	1.00 mpc	<b>3 26</b> 0 000
6.0	2.2	158 pc	<b>52</b> 0	26.0	6.2	$1.58~\mathrm{mpc}$	<b>52000000</b>
7.0	2.4	251 pc	820	27.0	6.4	$2.51~\mathrm{mpc}$	8200000
8.0	2.6	398 pc	1300	28.0	6.6	$3.98~\mathrm{mpc}$	13000000
9.0	2.8	631 pc	2060	29.0	6.8	$6.31 \mathrm{\ mpc}$	20600000
+10.0	3.0	$1.00~\mathrm{kpc}$	<b>3 26</b> 0	+30.0	7.0	$10.0~\mathrm{mpc}$	<b>326</b> 00000
11.0	3.2	$1.58~\mathrm{kpc}$	<b>52</b> 00	31.0	7.2	15.8 mpc	52000000
12.0	3.4	$2.51~\mathrm{kpc}$	8200	32.0	7.4	$25.1 \mathrm{\ mpc}$	82000000
13.0	3.6	$3.98~\mathrm{kpc}$	13 000	33.0	7.6	-	130000000
14.0	3.8	$6.31~\mathrm{kpc}$	20600	34.0	7.8	_	206000000

 $<sup>1 \</sup>text{ mpc}$  (Megaparsek) = 1000 kpc (Kiloparsek) = 1000000 pc (Parsek)

Eine Parsek ist die Entfernung, aus der die große Halbachse der Erdbahn unter einem Winkel von 1" erscheint. Die Entfernung in Parsek = 1"/ $\pi$ ", wenn  $\pi$ " die Parallaxe in Bogensekunden bedeutet (z. B. 1"/0".1 = 10 Parsek).

<sup>1</sup> Parsek = 206265 astron. Einheiten = 30.8 Billionen km = 3.259 Lichtjahre

<sup>1</sup> Lichtjahr = 0.3069 Parsek = 63290 astron. Einheiten = 9.46 Billionen km

## 3.1.11. Mittlere Refraktion und Extinktion

	ittlere Refr inktion de Zenit			u			nittleren Ref und Baron		d				
$\overline{z}$	$R_0$	z	$R_0$	T	A	H	B	H	B				
0	, "	0	, "	-°C		mm	ļ	mm					
0	0 0	73.0	3 14	-20	+0.083	680	-0.105	<b>73</b> 0	-0.040				
5	5	73.5	20	18	0.074	682	0.102	732	0.037				
10	11	74.0	27	16	0.065	684	0.100	734	0.034				
15	16	74.5	34	14	0.056	686	0.097	736	0.032				
20	22	75.0	41	12	0.048	688	0.094	<b>73</b> 8	0.029				
25	0 28	75.5	3 49	-10	+0.040	690	-0.092	<b>74</b> 0	-0.026				
<b>3</b> 0	35	76.0	57	8	0.032	692	0.089	742	0.024				
<b>3</b> 5	42	76.5	4 6	6	0.024	694	0.086	744	0.021				
<b>4</b> 0	50	77.0	15	4	0.016	696	0.084	746	0.018				
42	54	77.5	25	2	0.008	698	0.081	<b>74</b> 8	0.016				
44	0 58	78.0	4 36	0	0.000	700	-0.079	<b>75</b> 0	-0.013				
<b>46</b>	1 2	78.5	48	+2	-0.008	702	0.076	752	0.011				
48	7	79.0	5 1	4	0.015	704	0.073	754	0.008				
<b>50</b>	12	79.5	15	6	0.023	706	0.071	756	0.005				
52	17	80.0	30	8	0.030	708	0.068	758	0.003				
<b>54</b>	1 23	80.5	5 46	+10	-0.037	710	-0.066	760	0.000				
56	29	81.0	6 4	12	0.044	712	0.063	742	+0.003				
58	36	81.5	6 25	14	0.051	714	0.060	764	0.005				
<b>59</b>	40	82.0	6 47	16	0.058	716	0.058	766	0.008				
60	44	82.5	7 11	18	0.065	718	0.055	768	0.011				
61	1 48	83.0	7 39	+20	-0.071	720	-0.053	770	+0.013				
62	53	83.5	8 11	22	0.078	722	0.050	772	0.016				
63	57	84.0	8 46	24	0.085	724	0.047	774	0.018				
64	2 3	84.5	9 27	26	0.091	726	0.045	776	0.021				
65	8	85.0	10 13	28	0.097	728	0.042	778	0.024				
66	2 14	85.5	11 8	+ <b>3</b> 0	0.104	<b>73</b> 0	-0.040	780	+ 0.026				
67	21	86.0	12 12		<u> </u>		1		<u>L</u>				
68	28	86.5	13 28	_	_								
69	35	87.0	14 59				H = Baron	netersta	nd				
<b>7</b> 0	44	87.5	16 50	Refi	raktion $R =$	$R = R_0 (1 + A + B)$							
70.5	2 48	88.0	19 7	Beis	spiel:								
71.0	53	88.5	21 58	z =	$= 52^{\circ}.5, T$	' = +14	$^{\circ}.5$ , $H=$	715 mm					
71.5	58	89.0	25 37				053, B =						
<b>72.</b> 0	3 3	89.5	30 21	30 21 $R = 78$ ".5 $(1 - 0.053 - 0.059)$									
72.5	8	90.0	36 36										

Mittlere Extinktion

ZD	Ext.	ZD	Ext.	ZD	Ext.	ZD	Ext.	ZD	Ext.
0	m	0	m	0	m	0	m		m
15	0.00	30	0.03	45	0.09	60	0.23	75	0.65
16	0.00	31	0.03	46	0.09	61	0.25	76	$0.70^{-3}$
17	0.01	32	0.03	47	0.10	62	0.26	77	$0.76 \begin{array}{c} 6 \\ 6 \end{array}$
18	0.01	33	0.04	48	0.11	63	0.28	78	$0.82 \frac{6}{8}$
19	0.01	34	0.04	49	0.11	64	0.30	79	$0.90$ $\frac{8}{8}$
20	0.01	<b>3</b> 5	0.04	50	0.12	65	0.32	80	0.98
21	0.01	36	0.05	51	0.13	66	0.34	81	1.07
22	0.01	37	0.05	52	0.14	67	0.36	82	1 118
23	0.01	38	0.05	53	0.15	68	0.39	83	$\begin{array}{c ccccccccccccccccccccccccccccccccccc$
24	0.02	39	0.06	54	0.16	69	0.42	84	$\begin{array}{c c} 1.32 & 17 \\ 1.49 & 23 \end{array}$
									23
25	0.02	40	0.06	55	0.17	70	0.45	85	1.72
26	0.02	41	0.07	56	0.18	71	0.48	86	1 2.04
27	0.02	42	0.07	57	0.19	72	0.52	87	2.48
28	0.02	43	0.08	58	0.20	73	0.56	88	3.10 62
29	0.03	44	0.08	59	0.22	74	0.60		

ZD= wahre Zenitdistanz; die Extinktion gilt für 100 m Höhe über N. N. bei guter Durchsicht ohne Dunsttrübung für visuelle Beobachtung. Die photographische Extinktion für blauempfindliche (nichtsensibilisierte) Platten ist 2.3mal so groß.

Dreistellige numerische trigonometrische Funktionen

sin, tan		000.	600.	.017	.026	.035	.044	.052	.061	020	820.	.087 .096																				
	0	0.0	0.5	1.0	1.5	2.0	2.5	3.0	3.5	4.0	4.5	5.0									-											
		30	59	<b>28</b>	27	56	25	24	23	22	21	50	19	18	17	16	15	14	13	12	11	10	6	œ	2	9	ıΟ	4	က	2	- 0	
tan		1.73	.80	88.	96.	2.05	.14	2.25	.36	.48	.61	.75	$2.90_{-18}$		.27		.73 .28		.33			.67 .64 .64	6.31	$7.12^{-81}$	$8.14_{1.97}^{1.02}$	$9.51^{+,97}_{-0.9}$	$11.43^{1.92}_{2.9}$	14.3		28.4 38.0	×	cot
cosec		1.155	.145	.135	.125	.115	.105	1.096	880.	080	.072	.065	1.058	.052	.046	.041	.036	1.032	.028	.024	.020	.017	1.014	.011	600.	900.	.004	1.002	100.	100.	9 9	sec
sin		0.866	.875	.883	.891	899	906.	0.914	.921	.927	.934	.940	0.946	.951	.956	.961	996.	0.970	.974	826.	.982	.985	0.988	066:	.993	.995	966	0.998	666.	666	000. 000.	800
	۰	09	61	62	63	64	65	99	29	89	69	20	71	72	73	74	75	92	77	<b>28</b>	79	80	81	85	83	84	85	98	87	88	68 69 69	
	o	09	59	58	22	56	55	54	53	52	51	20	49	48	47	46	45	44	43	42	41	40	39	38	37	36	35	34	333	32	3. 3. 3.	
tan		0.577	.601	.625	.649	.675	.700	0.727	.754	.781	.810	.839	0.869	006:	.933	996.	1.000	1.036	.072	.111	.150	.192	1.235	.280	.33	.38	.43	1.48	43.	99.	.66 .73	cot
cosec		2.00	1.94	1.89	1.84	1.79	1.74	1.70	1.66	1.62	1.59	1.56	1.52	1.49	1.47	1.44	1.41	1.390	1.367	1.346	1.325	1.305	1.287	1.269	1.252	1.235	1.222	1.207	1.192	1.179	1.167	sec
sin		0.500	515	.530	.545	.559	.574	0.588	.602	919.	629	.643	0.656	699.	.682	695	707.	0.719	.731	.743	.755	.766	0.777	.788	.799	608:	.819	0.899	839	.848	.857 .866	soo
	0	30	31	32	33	34	35	36	37	38	39	40	41	42	43	44	45	46	47	48	49	50	51	52	53	54	55	56	57	58	62 93 93	
	٥	8	86	88	87	98	85	84	83	85	81	8	62	78	22	92	75	74	73	72	71	70	69	89	29	99	65	49	3 33	62	<b>5</b> 9	
tan		0.0000	.0175	.0349	.0524	6690.	.0875	0.105	.123	.141	.158	.176	0.194	.213	.231	.249	.268	0.287	306	.325	.344	.364	0.384	404	.424	.445	.466	0 488	013.	.532	.554	cot
cosec		8	57,3 88 7	N	$19.1 \frac{9.9}{1.9}$		$11.45 \begin{array}{c} 2.8 \\ 1.9 \end{array}$				$6.40^{-78}$	$5.76_{52}$			4.44		3.87 .26 .24		$3.42^{-21}$		$3.07^{-17}$	$2.92^{-1.5}$	2.79	2.68	2.56	2.46	2.37	86.6	2.20	2.13	2.06	300
sin		0.0000	.0175	.0349	.0523	8690	.0872	0.105	.122	.139	.156	.174	0.191	.208	.225	.242	.259	0.276	292	309	.326	.342	0.358	375	.391	.407	.423	0.438	454	.469	.485	800
	0	0	П	67	က	4	33	9	7	· ∞	6	10	11	12	13	14	15	91	17	18	19	20	21	22	23	24	25	96	27	87	30	3

3.1.13. Staatliche Sternwarten der deutschsprachigen Gebiete

Name	Seehöhe	Nördliche geogr. Breite	Geogr. Länge östlich – von Greenwich	Östliche geogr. Länge
Bamberg (Remeis-Sternwarte) Bergedorf (Hamburg) Berlin-Babelsberg Bern Bonn (Alte Sternwarte)	m 288 41 82 563 62	49 53 6.4 53 28 46.0 52 24 24.2 46 57 12.7 50 43 45.0	h min s -0 43 33.6 -0 40 57.7 -0 52 25.5 -0 29 42.9 -0 28 23.2	10 53 10 14 12 6 7 26 7 6
Bonn (Hoher List, Eifel) Dresden (Geodätisches Institut) Frankfurt (Main) Freiburg i. Br. (Obs. Schauinsland) Göttingen	541 168 121 1240 161	50 9 47.1 51 1 49.3 50 7 0 47 54 51 51 31 48.2	$\begin{array}{ccccc} -0 & 27 & 23.9 \\ -0 & 54 & 55.1 \\ -0 & 34 & 36.3 \\ -0 & 31 & 37.4 \\ -0 & 39 & 46.2 \end{array}$	6 51 13 44 8 39 7 54 9 57
Graz	375	47 4 37.2	$\begin{array}{ccccc} -1 & 1 & 47.7 \\ -0 & 38 & 51.3 \\ -0 & 34 & 53.1 \\ -0 & 45 & 31.4 \\ -0 & 46 & 20.2 \end{array}$	15 27
Hannover (Geodätisches Institut)	50	52 23 13		9 43
Heidelberg (Königsstuhl)	570	49 23 54.6		8 43
Innsbruck	605	47 16 6.5		11 23
Jena	164	50 55 35.6		11 35
München	529	48 8 45.5	$\begin{array}{ccccc} -0 & 46 & 26.0 \\ -0 & 30 & 29.7 \\ -0 & 52 & 15.9 \\ -0 & 52 & 16.1 \\ -0 & 44 & 46.2 \end{array}$	11 36
Münster	75	51 57 45.8		7 37
Potsdam (Astrophysikalisches Obs.)	107	52 22 56.0		13 4
Potsdam (Geodät. Institut, Turm)	109	52 22 54.8		13 4
Sonneberg (Erbisbühl)	640	50 22 41.4		11 12
Tautenburg	331	50 58 51	$     \begin{array}{rrrrr}     -0 & 46 & 51 \\     -0 & 48 & 4 \\     -1 & 5 & 21.4 \\     -0 & 34 & 12.3     \end{array} $	11 43
Wendelstein (Obs. d. Stw. München)	1838	47 42 13		12 1
Wien (Neue Sternwarte)	240	48 13 55.4		16 20
Zürich	468	47 22 38.3		8 33

3.1.14. Geographische Längen und Breiten sowie Ortszeitdifferenzen Geographische Koordinaten einiger Orte außerhalb der DDR

		Geogr.	Breite	Geogr.	Länge	$\Delta T$
		0	,	0	,	min
Österreich	Graz	+47	5	-15	27	-1.8
	Innsbruck	47	16	11	23	+14.4
	Klagenfurt	46	<b>37</b>	14	15	+ 2.7
	Wien	48	14	16	20	-5.4
Polnische VR	Kraków	+50	4	-19	58	-19.8
	Poznan	52	24	16	53	-7.5
	Warszawa	52	13	21	2	-24.1
Schweiz	Basel	+47	<b>3</b> 6	<b>- 7</b>	35	+29.7
	Bern	46	<b>57</b>	7	26	+30.2
	Zürich	47	23	8	33	+27.8
Tschechoslowakische SR	Bratislava	+48	9	-16	7	-8.5
	Brno	49	12	16	36	-6.4
	Praha	50	5	14	24	+2.4
Ungarische VR	Budapest	47	<b>3</b> 0	-18	58	-15.9

 $\Delta T$  = Ortzszeitunterschied gegen den Meridian der MEZ (geogr. Länge  $-15^{\circ}$ ).

Übersicht der geographischen Längen und Breiten ausgewählter größerer Orte der Deutschen Demokratischen Republik und der Bundesrepublik Deutschland und Abweichungen der Mitteleuropäischen Zeit von den Ortszeiten

Mittl. Ortszeit  $+ \Delta T = MEZ$ 

 $MEZ - \Delta T = mittl.$  Ortszeit

Ort	Länge	Breite	$\Delta T$	Ort	Länge	Breite	$\Delta T$
	0	0	min		0	0	min
Aachen	6.1	50.8	+35.7	Emden	7.2	53.4	+31.2
Altenburg	12.4	51.0	+10.3	Ems	7.7	50.3	+29.1
Annaberg-				Erfurt	11.0	51.0	+15.9
Buchholz	13.0	50.6	+ 8.0	Erlangen	11.0	49.6	+16.0
Ansbach	10.6	49.3	+17.7	Essen	7.0	51.5	+32.0
Apolda	11.5	51.0	+13.9	Flensburg	9.4	54.8	+22.3
Arkona	13.4	54.7	+ 6.3	Forst (Lausitz)	14.7	51.7	+ 1.4
Arnsberg	8.1	51.4	+27.7	Frankfurt (Main)	8.7	50.1	+25.3
Aschersleben	11.5	51.8	+14.2	Frankfurt (Oder)	14.6	52.3	+ 1.8
Aue	12.7	50.6	+ 9.2	Freiberg	13.3	50.9	+ 6.7
Augsburg	10.9	48.4	+16.4	Freiburg (Br.)	7.9	48.0	+28.6
Aurich	7.5	53.5	+30.1	Freital	13.7	51.0	+ 5.3
Baden-Baden	8.2	48.8	+27.0	Fulda	9.7	50.6	+21.3
Bamberg	10.9	49.9	+16.4	Fürstenwalde			
Bautzen	14.4	51.2	+ 2.3	(Spree)	14.1	52.4	+ 3.7
Bayreuth	11.6	50.0	+13.7	Gera	12.1	50.9	+11.7
Berlin	13.4	52.5	+ 6.4	Gießen	8.7	50.6	+25.3
Bernburg	11.8	51.8	+13.0	Glauchau	12.5	50.8	+ 9.8
Bielefeld	8.5	52.0	+25.9	$\operatorname{G\ddot{o}rlitz}$	15.0	51.2	+ 0.0
Bitterfeld	12.3	51.6	+10.7	$\operatorname{Gotha}$	10.7	50.9	+17.2
Bonn	7.1	50.7	+31.6	Göttingen	9.9	51.5	+20.2
Brandenburg				Greifswald	13.4	54.1	+ 6.5
(Havel)	12.6	52.4	+ 9.8	Greiz	12.2	50.7	+11.2
Braunschweig	10.5	52.3	+17.9	Güstrow	12.2	53.8	+11.3
Bremen	8.8	53.1	+24.8	${f Halberstadt}$	11.0	51.9	+15.8
Bremerhaven	8.6	53.6	+25.4	Halle (Saale)	12.0	51.5	+12.1
Celle	10.1	52.6	+19.7	Hamburg	10.0	53.6	+20.0
Coburg	11.0	50.3	+16.1	Hannover	9.7	52.4	+21.0
Cottbus	14.3	51.8	+ 2.7	${f Heidelberg}$	8.7	49.4	+25.1
Crimmitschau	12.4	50.8	+10.5	Heilbronn	9.2	49.1	+23.1
Cuxhaven	8.7	53.9	+25.2	${f Helgoland}$	7.9	54.2	+28.5
Darmstadt	8.7	49.9	+25.4	${f Hildesheim}$	9.9	52.2	+20.2
Dessau	12.2	51.8	+11.0	Hoyerswerda	14.2	51.4	+ 3.0
Döbeln	13.1	51.1	+ 7.5	Husum	9.1	54.5	+23.8
Dortmund	7.5	51.5	+30.1	${f Ingolstadt}$	11.4	48.8	+14.3
Dresden	13.7	51.1	+ 5.0	Jena	11.6	50.9	+13.6
Düsseldorf	6.8	51.2	+32.9	Kaiserslautern	7.8	49.4	+28.9
Duisburg	6.8	51.4	+33.0	${f Karl ext{-}Marx ext{-}Stadt}$	12.9	50.8	+ 8.3
Eberswalde	13.8	52.8	+ 4.7	Karlsruhe	8.4	49.0	+26.4
Eisenach	10.3	51.0	+18.7	$\mathbf{Kassel}$	9.5	51.3	+22.0
Eisenhüttenstadt	14.6	52.1	+ 1.5	$\mathbf{K}\mathbf{iel}$	10.1	54.3	+19.4
Eisleben	11.5	51.5	+13.8	Koblenz	7.6	50.4	+29.6

Übersicht der geographischen Längen und Breiten ... (Fortsetzung)

Ort	Länge	Breite	$\Delta T$	Ort	Länge	Breite	ΔΤ
	0	0	min		0	0	min
Köln	7.0	50.9	+32.2	Radebeul	13.7	51.1	+ 5.3
Köthen	12.0	51.8	+12.1	Regensburg	12.1	49.0	+11.6
Konstanz	9.2	47.7	+23.3	Reichenbach			, ====
Krefeld	6.6	51.3	+33.7	(Vogtl.)	12.3	50.6	+10.7
Kreuznach	7.9	49.8	+28.5	Rendsburg	9.7	54.3	+21.3
Lauchhammer	13.8	51.5	+ 4.8	Riesa	13.3	51.3	+6.8
Leer	7.4	53.2	+30.2	Rostock	12.1	54.1	+11.4
Leipzig	12.4	51.3	+10.5	Salzwedel	11.2	52.9	+15.4
Lübbenau	14.0	51.9	+ 4.2	$\mathbf{Schleswig}$	9.6	54.5	+21.7
Lübeck	10.7	53.9	+17.2	Schönebeck			
Luckenwalde	13.2	52.1	+ 7.3	(Elbe)	11.7	<b>52.</b> 0	+13.0
Lüneburg	10.4	53.2	+18.4	$\mathbf{Schwedt}$	14.3	53.1	+ 2.8
Magdeburg	11.6	52.1	+13.5	Schwerin (Meckl.)	11.4	53.6	+14.3
Mainz	8.3	50.0	+26.9	Sigmaringen	9.2	48.1	+23.1
Mannheim	8.5	49.5	+26.2	Sonneberg	11.2	50.4	+15.2
Marburg	8.8	50.8	+24.8	Speyer	8.4	49.3	+26.2
Meiningen	10.4	50.6	+18.3	$\operatorname{Stade}$	9.5	53.6	+22.1
Meißen	13.5	51.2	+ 6.2	Stendal	11.9	52.6	+12.5
Meppen	7.3	52.7	+30.8	Stralsund	13.1	54.3	+ 7.6
Merseburg	12.0	51.4	+12.0	Stuttgart	9.2	48.8	-23.3
Minden	8.9	52.3	+24.3	Suhl	10.7	50.6	+17.2
Mühlhausen i. Th.	10.5	51.2	+18.2	Travemünde	10.9	<b>54.</b> 0	+16.5
München	11.6	48.1	+13.7	Trier	6.6	49.8	+33.4
Münden				Tübingen	9.1	48.5	+23.8
$(\mathbf{HannovM.})$	9.7	51.4	+21.4	Ulm	10.0	48.4	+20.0
Münster (Westf.)	7.6	52.0	+29.5	Wangerooge	7.9	53.8	+28.6
Naumburg (Saale)	11.8	51.2	+12.8	Warnemünde	12.1	54.2	+11.6
Neubrandenburg	12.3	53.6	+ 7.0	Weimar	11.3	51.0	+14.7
Neuruppin	12.8	52.9	+ 8.8	Weißenfels	12.0	51.2	$\pm 12.1$
Neustrelitz	13.1	53.4	+ 7.8	Wernigerode	10.8	51.8	+16.8
Neuwied	7.5	<b>50.4</b>	+30.2	Wesel	6.6	51.7	+33.6
Norderney	7.1	53.7	+31.4	Wetzlar	8.5	50.6	+26.0
Nordhausen	10.8	51.5	+16.8	Wiesbaden	8.2	50.1	+27.0
Nürnberg	11.1	49.5	+15.7	${f Wilhelmshaven}$	8.1	53.5	+27.5
Oldenburg (Oldb.	8.2	53.1	+27.1	${f Wismar}$	11.5	53.9	+14.2
Osnabrück	8.0	52.3	+27.8	${f Wittenberg}$	12.6	51.9	+ 9.4
Paderborn	8.8	51.7	+25.0	${f Wittenberge}$	11.8	<b>53.</b> 0	+13.0
Passau	13.5	48.6	+ 6.1	${f Wolfenb\"uttel}$	10.5	52.2	+17.8
Perleberg	11.9	53.1	+12.6	$\mathbf{Worms}$	8.4	49.6	+26.6
Pirna	13.9	51.0	+ 4.3	Wuppertal	7.1	51.3	+31.4
Plauen (Vogtl.)	12.1	50.5	+11.5	Würzburg	9.9	49.8	+20.3
Potsdam	13.1	52.4	+ 7.7	Zeitz	12.1	51.1	+11.5
Putbus	13.5	54.4	+6.1	Zittau	14.8	50.9	+ 0.8
$\mathbf{Quedlinburg}$	11.1	51.8	+15.4	Zwickau	12.5	50.7	+10.0

#### 3.1.15. Zeitzonen der Erde

Ortszeit: Sie ist die für den Längengrad eines bestimmten Ortes geltende mittlere Sonnenzeit. Die Abweichungen der in den verschiedenen Ländern (Gebieten) herrschenden Ortszeiten von der Ortszeit für Greenwich, die mit Weltzeit bezeichnet wird, folgen aus der unterschiedlichen Lage der Längengrade der Länder (Gebiete) zu dem Längengrad von Greenwich. Die Unterschiede sind positiv bei östlicher und negativ bei westlicher Lage zu dem Greenwicher Meridian. Die Beträge der Abweichungen errechnen sich so, daß dem Längenunterschied von einem Grad 4 Minuten entsprechen, dem von 15 Grad 1 Stunde usw.

Zonenzeit: Die Erdoberfläche ist in 24 durch Längengrade begrenzte Zeitzonen von je 15 Grad Breite so eingeteilt, daß der Längengrad von Greenwich die Zone 0 halbiert, der Längengrad 15 Grad östlich von Greenwich die Zone 1 und zuletzt der Längengrad 15 Grad westlich von Greenwich die Zone 23. Die Ortszeit des in der Mitte einer Zone verlaufenden Längengrades ist die für diese Zone gültige Zonenzeit.

Die Grenzen der Zonen und die Zonenzeiten werden nur auf den offenen Meeren und in unbewohnten Gebieten eingehalten.

In bewohnten Gebieten sind die Grenzen der Zeitzonen nach politischen, wirtschaftlichen, verkehrstechnischen, topographischen und anderen Gesichtspunkten gezogen, und die in den Zonen gebräuchlichen Zeiten stimmen aufgrund mancherlei Erwägungen oftmals nicht mit den Zonenzeiten überein. So hat die Sowjetunion 1930 in ihren 11 Zeitzonen die Dekretzeit eingeführt, welche der Zonenzeit um 1 Stunde voraus ist. Die Dekretzeit der Zone 2 ist besonders bemerkenswert. Sie wird nach der in der Zone 2 liegenden Hauptstadt der UdSSR Moskauer Zeit (MOSKZ) genannt und wird in den Eisenbahnfahrplänen und im Nachrichtenverkehr der gesamten UdSSR verwendet. Sie ist gleich der OEZ + 1<sup>h</sup> bzw. gleich der Weltzeit + 3<sup>h</sup>. Aus wirtschaftlichen Überlegungen heraus gilt für die Zone 3 (Kaukasus, Baku, Gorki) statt der Dekretzeit auch die Zeit der Zone 2 (MOSKZ).

In der folgenden Zusammenstellung sind für jede Zeitzone die Länder verzeichnet, die die zugehörige bürgerliche Zeit benutzen. Will man die momentane Uhrzeit eines Landes erfahren, so muß man  $\Delta T$  zu der augenblicklichen Weltzeit addieren. Geht man von MEZ aus, so ist die betreffende Landeszeit (MEZ -1h)  $+\Delta \hat{T}$ .

Zeitzone 
$$\theta$$
 ( $\Delta T = 0^{h}$ )

Europa: Andorra, Faröer, Irland, Portugal

Afrika: Elfenbeinküste, Gambia, Ghana, Guinea, St. Helena, Kanarische Inseln, Mali, Marokko, Mauretanien, Portugiesisch-Guinea, Sao Thomé und Principé, Senegal, Sierra Leone, Togo, Volta

Zeitzone 1 (
$$\Delta T = +1$$
h)

Europa: Albanien, Belgien, Bundesrepublik Deutschland, Dänemark, Deutsche Demokratische Republik, Frankreich, Großbritannien und Nordirland, Italien und San Marino, Jugoslawien, Liechtenstein. Luxemburg, Malta, Monaco, Niederlande, Norwegen mit Spitzbergen, Österreich, Polen, Schweden, Schweiz, Spanien, Tschechoslowakei, Ungarn, Westberlin

Afrika: Algerien, Angola, Dahomey, Gabun, Kamerun, Kongo (Brazzaville), Kongo (Leopoldsville), Niger, Nigeria, Spanisch-Guinea, Tschad, Tunesien, Zentralafrikanische Republik

Zeitzone 2 (
$$\Delta T = +2^{h}$$
)

Europa: Bulgarien, Finnland, Griechenland, Rumänien

Asien: Zypern, Israel, Jordanien, Libanon, Syrien, Türkei

Afrika: Botswana, Burundi, Lesotho, Malawi, Moçambique, Rhodesien, Ruanda, Sambia, Südafrika, Sudan, Swasiland, Vereinigte Arabische Republik (Ägypten)

Zeitzone 3 (
$$\Delta T = +3^{h}$$
)

Europa: Sowjetunion (Leningrad, Moskau, Gorki, Kaukasus, Baku)

Asien: Aden, Irak, Iran (+3h 30min), Kuweit

Afrika: Äthiopien, Kenia, Madagaskar, Somalia, Tansania, Uganda

Zeitzone 4 (
$$\Delta T = +4^{\rm h}$$
)

Asien: Afghanistan (+4h 30min), Bahreininseln, Katar, Oman

Zeitzone 5 (
$$\Delta T = +5^{h}$$
)

Asien: Ceylon, Indien (beide  $+5^{\rm h}$   $30^{\rm min}$ ), Malediven, Pakistan, Sowjetunion (Swerdlowsk, Aralsee, Nowaja Semlja)

Zeitzone 6 (
$$\Delta T = +6h$$
)

Asien: Bangladesch, Burma, China (4 Zeitzonen), Sowjetunion (Taschkent, Omsk)

Zeitzone 7 (
$$\Delta T = +7^{\rm h}$$
)

Asien: China, Indonesien: Sumatra Nord (+6<sup>h</sup> 30<sup>min</sup>), Sumatra Süd, Kalimantan, Ojawa (beide +7<sup>h</sup> 30<sup>min</sup>), Kambodscha, Laos, Malaysia (Halbinsel Malakka), Singapur, Thailand, Sowjetunion (Nowosibirsk, Krasnojarsk)

Zeitzone 8 (
$$\Delta T = +8h$$
)

Asien: China, Indonesien: Sulawesi, Flores, Molukken (+8h 30min), Malaysia: Sarawak, Brunei, Nordkalimantan, Philippinen, Demokratische Republik Vietnam, Südvietnam, Sowjetunion (Baikalsee)

Australien: Westaustralien

Zeitzone 9 (
$$\Delta T = +9^{h}$$
)

Asien: China, Indonesien: Aru, Kei, Tanimbar, Westirian (+9<sup>h</sup> 30<sup>min</sup>), Japan, VR Korea, Südkorea, Sowjetunion (Flußgebiet der Lena)

Australien: Nordterritorium, Südaustralien (+9h 30min)

Zeitzone 10 (
$$\Delta T = +10^{\rm h}$$
)

Asien: Sowjetunion (Wladiwostiok)

Australien und Ozeanien: Australien östl. von 138° östl. Länge, Guam, Marianen, Karolinen westl. v. 160° östl. Länge, Ostirian

Zeitzone 11 (
$$\Delta T = +11^{h}$$
)

Asien: Sowjetunion (Sachalin, Kurilen)

Ozeanien: Karolinen östl. v. 160° östl. Länge, Marshall-Inseln, Nauru (+11h 30<sup>min</sup>), neue Hebriden, Neukaledonien, Norfolkinseln (+11h 30<sup>min</sup>), Salomoninseln

Zeitzone 12 (
$$\Delta G = +12h$$
)

Asien: Sowjetunion (Kamtschatka)

Ozeanien: Fidschiinseln, Gilbert- und Elliceinseln, Neuseeland, Wallisarchipel

Zeitzone 13 (
$$\Delta T = -11^h \text{ bzw.} + 13^h$$
)

Asien: Sowjetunion (Tschuktschenhalbinsel)  $+13^{h}$ 

Ozeanien: Tongainseln  $+13^h$ ; östl. der Datumsgrenze Midway, Phönixinseln, Samoainseln, Tokelauinseln  $(-11^h\,30^{min})$ 

Nordamerika: Alaska (4 Zeitzonen)

Zeitzone 14 (
$$\Delta T = -10^{\rm h}$$
)

Ozeanien: Cook-Inseln, Französisch-Polynesien, Hawaii

Nordamerika: Alaska

Zeitzone 15 (
$$\Delta T = -9^{\rm h}$$
)

Nordamerika: Alaska, Kanada (6 Zeitzonen)

Zeitzone 16 (
$$\Delta T = -8^{\rm h}$$
)

Nordamerika: Alaska, Kanada, Mexiko (3 Zeitzonen), USA (Pazifische Staaten)

Zeitzone 17 (
$$\Delta T = -7^{\rm h}$$
)

Nordamerika: Kanada, Mexiko, USA (Gebirgsstaaten)

Zeitzone 18 (
$$\Delta T = -6^{\rm h}$$
)

Nordamerika: Costarica, El Salvador, Guatemala, Honduras, Kanada, Mexiko, Nikaragua, USA (Zentralstaaten)

Zeitzone 19 (
$$\Delta T = -5^{\rm h}$$
)

Nordamerika: Bahamainseln, Dominikanische Republik, Jamaika, Kanada, Kuba, Panama, USA (Atlantische Staaten)

Südamerika: Brasilien (3 Zeitzonen), Ekuador, Kolumbien, Peru

Zeitzone 20 (
$$\Delta T = -4^{\rm h}$$
)

Nordamerika: Kleine Antillen, Bermudainseln, Kanada, Nordwestgrönland, Puerto Rico

Südamerika: Bolivien, Brasilien, Chile, Curaçao, Falklandinseln, Französisch-Guayana, Paraguay, Trinidad, Venezuela  $(-4^h\,30^{min})$ 

Zeitzone 21 (
$$\Delta T = -3^{\rm h}$$
)

Nordamerika: Grönland (mittl. und südl. Westküste), Neufundland (-3h 30min)

 $S\ddot{u}damerika$ : Argentinien, Brasilien, Guayana ( $-3^{\rm h}~45^{\rm min}$ ), Niederländisch Guayana ( $-3^{\rm h}~30^{\rm min}$ ), Uruguay

Zeitzone 22 (
$$\Delta T = -2^{\rm h}$$
)

Nordamerika: Grönland (Ostküste)

Vor Afrika: Azoren, Kapverdische Inseln

Zeitzone 23 (
$$\Delta T = -1^{h}$$
)

Europa: Island

Afrika: Liberia (-0h 44min), Madeira, Portugiesisch-Guinea

### 3.1.16. Konstanten und Daten

Mathematische und physikalische Konstanten

$$\pi = 3.14159265 (\log \pi = 0.4971499)$$

$$\pi^2 = 9.86960440 (\log \pi^2 = 0.9942997)$$

l Radiant = l rad = Winkel vom Bogenmaß l =  $180^{\circ}/\pi$ 

$$1 \text{ rad} = 57^{\circ}.2957795 = 3437'.74677 = 206264".806$$

 ${\bf 1}^{\circ}\,=\,0.01745329\;{\rm rad}$ 

1' = 0.0002908882 rad

1'' = 0.0000048481 rad

```
Zahl der Quadratgrade auf der Kugel = 41252.961 = n = 4 \text{ rad}^2\pi Zahl der Quadratgrade eines Steradianten = 3282.806 = n/4\pi = \text{rad}^2 Lichtgeschwindigkeit c = 299792.9 \pm 0.8 km/s Gravitationskonstante G = 6.668 \pm 0.005 cm³ g<sup>-1</sup> s<sup>-2</sup> Die zwischen zwei Körpern wirkende Anziehungskraft ist
```

$$S = G \cdot rac{m_1 \cdot m_2}{r^2}$$

```
Astronomische Konstanten und Daten
```

Sonnenparallaxe  $\pi_0 = 8''.79449$ 

Aberrationskonstante  $\varkappa = 20$ ".51

jährliche Präzession P=50".2564 + 0".0222T | Epoche 1900.0, T in tropischen Jahr-Schiefe der Ekliptik  $\varepsilon=23^{\circ}27'8$ ".26 - 46".84T | hunderten

Gaussiche Gravitationskonstante  $k=0.01720209895 \text{ rad} = 0^{\circ}.9856076686 = 3548".187607$ 

k erscheint in der aus dem Keplerschen Gesetz abgeleiteten Gleichung  $a^3n^2 = k^2(1+m)$ , in der a die große Halbachse in astronomischen Einheiten, n die mittlere tägliche Bewegung und m die Masse eines Planeten in Bruchteilen der Sonnenmasse (Sonnenmasse = 1) ist

große Halbachse der Erdbahn in astronomischen Einheiten, definiert durch die Gaussche Konstante a=1.00000023 astron. Einh.

Umlaufzeit eines Planetoiden oder periodischen Kometen U=1.00004027  $\sqrt{a^3}$  tropische Jahre galaktischer Nordpol (1900.0) RA = 12<sup>h</sup> 46<sup>min</sup>.6, Dekl. + 27°.67

galaktisches Zentrum (1900.0) RA = 17h 39.3, Dekl.  $-28^{\circ}.90$ 

Entfernung des galaktischen Zentrums 10 ± 1 Kiloparsek (30000 bis 35000 Lj.)

Rotationsperiode des Milchstraßensystems in der Sonnennachbarschaft  $= 2.2 \cdot 10^8 \, \mathrm{Jahre}$ 

Zielpunkt (Apex) der Sonnenbewegung unter den Sternen ihrer Nachbarschaft (1900.0) RA 18<sup>h</sup>  $4^{\min}$ , Dekl.  $+30^{\circ}$ 

1 Parsek (pc) =  $30.84 \cdot 10^{12} \, \text{km} = 206256 \, \text{astron}$ . Einh. (AE) =  $3.259 \, \text{Lichtjahre}$ 

1 Megaparsek (Mpc) = 1000 Kiloparsek (kpc) = 1000000 Parsek

1 Lichtiahr (Li) =  $9.463 \cdot 10^{12} \, \text{km} = 63290 \, \text{astron}$ . Einh. (AE) =  $0.3069 \, \text{pc}$ 

1 Ångströmeinheit (ÅE) =  $10^{-7} \text{ mm}$ 

1 Mikrometer ( $\mu$ m) =  $10^{-3}$  mm (früher  $\mu$ )

1 Nanometer (nm) =  $10^{-6}$  mm (früher m $\mu$ )

Gesamthelligkeit aller Sterne:

Visuell = 1160 Sterne 1. Größe = 1 Stern -  $6^{m}$ .6 (etwa 10fache Venushelligkeit)

Photogr. =  $580 \text{ Sterne 1. Größe} = 1 \text{ Stern} - 5^{\text{m}}.9$ 

Für c,  $\pi_0$  und  $\varkappa$  sind die zur Zeit der Abfassung des Manuskripts wahrscheinlichen Werte angegeben.

# 3.2. Körper des Sonnensystems, Elemente und Dimensionen

#### 3.2.1. Sonne

Parallaxe  $8''.79449^{1}$ große Bahnhalbachse  $149.598 \cdot 10^6 \, \mathrm{km}$ größte und kleinste Entfernung 152.1; 147.1  $\cdot$  10<sup>6</sup> km Lichtzeit **499.0** s scheinbarer Radius, durch ) mittlerer 16' 1".18 Irradiation vergrößert, größter 16' 17".6 für Durchgangsbeobachtungen J kleinster  $15^\prime\,45^{\,\prime\prime}.3$ wirklicher mittlerer scheinbarer Radius 15' 59".63 Radius  $696\,000 \text{ km}$ 

<sup>1)</sup> Konventioneller Wert 8".80

```
6.087 \cdot 10^{12} \, \mathrm{km^2}
Oberfläche
                                                                          1.412 \cdot 10^{18} \, \mathrm{km}^{3}
Volumen
                                                                          1.989 \cdot 10^{33} \,\mathrm{g}
Masse
                                                                          1.409 \text{ g cm}^{-3}
mittlere Dichte
Beschleunigung an der Oberfläche
                                                                          274.0 \text{ m s}^{-2}
Entweichgeschwindigkeit
                                                                          617.7 \text{ km s}^{-1}
Neigung des Äquators gegen die Ekliptik
                                                                          7° 15′ 0″
                           siderische Rotationsperiode
                                                                          25d.380
für die mittlere
                                                                          27d.275
  Fleckenzone
                           synodische Rotationsperiode
   + 16° heliogr.
                           siderischer tägl. Rotationswinkel 14°.184
                         synodischer tägl. Rotationswinkel 13°.199
1' von der Erde aus gesehen in mittlerer Entfernung
                                                                          43500 \text{ km}
                                                                          G2
Spektrum
effektive Temperatur
                                                                          5800 \pm 15 \text{ K}
                                                                          1.99\,\pm\,0.02~{
m cal}~{
m cm}^{-2}~{
m min}^{-1}
Solarkonstante
                                                                          = 1.388 \cdot 10^{6} \, \mathrm{erg} \, \mathrm{cm}^{-2} \, \mathrm{s}^{-1}
                                                                          (3.90 \pm 0.04) \cdot 10^{33} \, \mathrm{erg \ s^{-1}} = 3.9 \cdot 10^{23} \mathrm{kW}
Energiestrahlung der Sonne
Energiestrahlung pro cm² ihrer Oberfläche
                                                                          6.41 \cdot 10^{10} \,\mathrm{erg} \,\mathrm{s}^{-1} = 6.41 \,\mathrm{kW}
Gesamteinstrahlung auf die Erde
                                                                          1.78 \cdot 10^{14} \, \mathrm{kW}
Einstrahlung auf 1 m² bei senkrechtem Einfall
                                                                          1.4 kW
                                                                          (13.6 \pm 1.2) \cdot 10^6 \, {}^{\circ}\text{K}
                     Temperatur
im Zentrum
                     Dichte
                                                                          98 \pm 15 \,\mathrm{g \, cm^{-3}}
                    Druck
                                                                          2.0 \cdot 10^{17} \, \mathrm{dyn} \, \mathrm{cm}^{-2} = 2.0 \cdot 10^{9} \, \mathrm{kp} \, \mathrm{cm}^{-2}
absolute Helligkeit
   visuell (V)
                                                                           +4^{m}.79
  blau (B)
                                                                           +5^{m}.41
  ultraviolett (U)
                                                                           +5^{m}.51
   bolometrisch
                                                                           +4^{m}.72
scheinbare Helligkeit
                                                                           -26^{\rm m}.78
   visuell (V)
   blau (B)
                                                                           -26^{m}.16
                                                                           -26^{\rm m}.06
   ultraviolett (U)
                                                                           -26^{\rm m}.85
   bolometrisch
```

#### 3.2.2. Erde

Ahnert, Prakt. Astronomie

```
Erdradius
                                       a = 6378.163 \text{ km}
   äqu.
                                       b = 6356.777 \text{ km}
   pol.
Abplattung
                                       c = (a - b) : a = 1 : 297
                                                                                                                     inter-
1° in Länge
                                       111.418 km \cdot \cos \varphi - 0.094 km \cdot \cos 3\varphi
                                                                                                                     nationales
1° in Breite
                                       111.137 \text{ km} - 0.562 \text{ km} \cdot \cos 2\varphi
                                                                                                                     Referenz-
Radius der volumen-
                                                                                                                     ellipsoid
                                       6371.221 km
   gleichen Kugel
Volumen
                                       1083.320 \cdot 10^9 \text{ km}^3
Oberfläche
                                       510.101 \cdot 10^6 \, \mathrm{km}^2
                                                                              (5.977 \pm 0.004) \cdot 10^{27} \,\mathrm{g}
Masse
                                                                              5.517~\pm~0.004~{\rm g~cm^{-3}}
Dichte
Massenverhältnise
                                                                              332800
   \mathfrak{M}_{\circ} \colon \mathfrak{M}_{\diamond}
                                                                              328900
   \mathfrak{M}_{\circ}: (\mathfrak{M}_{\circ} + \mathfrak{M}_{\circ})
                                                                              (980.618 - 2.5865 \cdot \cos 2\varphi \ 0.0058 \cdot \cos^2 2\varphi)
Schwerebeschleunigung auf der Erdoberfläche
                                                                               -0.000308h) cm s<sup>-2</sup>
   (\varphi geogr. Breite, h Höhe in m)
                                                                              11.2 \ km \ s^{-1}
Entweichgeschwindigkeit
```

66 1	Hilfstafeln und Verzeichnisse					
Zentrifugalbese Jahreslängen:	chleunigung am Äquator julianisch	$3.3915~{ m cm}~{ m s}^{-2} \ 365^{ m d}.25$				
zwischen 2 I	lerten) gregorianisch Durchgängen   rühlingspunkt   tropisch	$365^{ m d}.2425 \ 365^{ m d}.24219879  -  0^{ m d}.00000614 \cdot  au \ (365^{ m d}  5^{ m h}  48^{ m min}  46^{ m s})$				
zwischen 2 I durch das Po		$365^{\rm d}.25964134 - 0^{\rm d}.00000304 \cdot \tau \ (365^{\rm d}~6^{\rm h}~13^{\rm min}~53^{\rm s})$				
nach Zurückleg (von Stern z		$365^{\mathrm{d}}.25636042 - 0.00000011 \cdot \tau \ (365^{\mathrm{d}} \ 6^{\mathrm{h}} \ 9^{\mathrm{min}} \ 10^{\mathrm{s}})$				
	$\operatorname{de}\left(\operatorname{\mathbf{von}}\ \mathfrak{Q}_{\emptyset} \operatorname{bis} \mathfrak{Q}_{\emptyset}  ight)$	$346$ d. $620031 - 0$ d. $000032 \cdot  au$				
Tageslängen: mittlerer Son	nnentag	$24^{ m h}  0^{ m min}  0^{ m s}  { m Sonnenzeit} = 24^{ m h}  3^{ m min}  56^{ m s}.555$ = $1^{ m d}.00273791  { m Sternzeit}$				
mittlerer Ste	erntag	$23 ^{\text{h}} 56^{\text{min}} 4^{\text{s}}.091 = 0^{\text{d}}.99726957$				
<b>(</b> ·	Tageslänge pro Jahrhundert Landfläche Wasserfläche	mittlere Sonnenzeit $0^{s}.00072$ $148 \cdot 10^{6} \text{ km}^{2} (29 \%)$ $362 \cdot 10^{6} \text{ km}^{2} (71 \%)$				
Gestaltung	mittlere Höhe des Landes	825 m				
ohertiäche I	mittlere Tiefe der Ozeane	3770 m				
	Masse der Ozeane Masse der Atmosphäre	$1.42 \cdot 10^{24} \mathrm{~g}$ $5.27 \cdot 10^{21} \mathrm{~g}$				
mittlere Gesch	windigkeit in der Bahn	$29.765~{ m km~s^{-1}}$				
	inste Geschwindigkeit	$30.276 \text{ km s}^{-1}$ ; $29.271 \text{ km s}^{-1}$				
Exzentrizität d	ne Bewegung (n) ler Bahn	$0^{\circ}.9856091 = 3548''.1928 \text{ (sider.)} \\ 0.016750 - 0.000042 \cdot \tau$				
0.20	<b>.</b> . 1					
3.2.3. N	Mond					
Äquatorial-Hor	rizontal-Parallaxe $\pi_{\emptyset}$	3422".62				
mittlere Entfer		384400  km = 60.268  Erdradien				
	ößte Entfernung	356400 km; 406700 km 5° 8′ 43″				
	ng der Bahn gegen die Ekliptik Inste Neigung (Per. 173 <sup>d</sup> )	5° 19'; 4° 59'				
_	nste Neigung der Bahn gegen den					
	$(Per. = 18^{a}.6)$	28° 46′; 18° 8′				
	ondäquators gegen	1° <b>32′ 4</b> 0″				
die Ekliptik gegen die Ba	hn	6° 41′				
	trizität der Bahn	0.054901				
Monatslängen:						

mittlere tägl. Bewegung:	
synodisch	$12^{\circ}.190749 = 43886''.6971$
siderisch	$13^{\circ}.176358 = 47434$ ". $8899$
Umlaufszeit des Perigäums	$3232^{ m d}.6 = 8^{ m a}.85$
Umlaufzeit des Knotens	6793d. $5 = 18$ a. $60$
Radius	1738  km = 0.2725  Erdradius
Masse	$7.352 \cdot 10^{25}  \mathrm{g} = rac{1}{81.30}  \mathrm{Erdmasse}$
Dichte	$3.345~{ m g}~{ m cm}^{-3}$
Oberfläche	$37.96 \cdot 10^6  \mathrm{km^2} = rac{1}{13.44} \; \mathrm{Erdoberfl\"{a}che}$
Volumen	$21.98\cdot 10^9~ ext{km}^3 = rac{1}{49.29}~ ext{Erdvolumen}$
Schwerebeschleunigung auf der Oberfläche	$1.62 \cdot 10^2 \mathrm{cm} \mathrm{s}^{-2} = 0.165$ (a. d. Erdoberfl.)
Entweichgeschwindigkeit	$2.38 \ {\rm km \ s^{-1}}$
scheinbarer Durchmesser	
$\mathbf{geozentr.}  \left\{ egin{array}{l} \mathbf{mittlerer} \ \mathbf{Wert} \ \mathbf{gr\"{o}} \mathbf{f{geozentr}}. \end{array} \right.$	31′ 5″.2
geozentr. { größter Wert	33′ 30″
kleinster Wert	29′ 21″
topozentr. (Mond im Zenit), mittlerer Wert	31′ 36″.6
geozentrische Libration	
Maximum in Länge	± 8°.0
Maximum in Breite	$\pm 6^{\circ}.8$
Maximum in ± 45° selenogr. Breite	$\pm 10^{\circ}.5$
von der Erde aus unsichtbar	41 % der Mondoberfläche
Vollmondhelligkeit in mittlerer Entfernung	$-12^{\rm m}.55$ (Albedo 0.067)
Halbmesser des Erdschattens am Mondort	
bei Mondfinsternissen ( $\pi_{\emptyset}$ und $\pi_{\odot}$ augenblickliche Parallaxen, $r_{\odot}$ scheinbare Sonnenhalbmesser	m — m — m
none Laranazen, 70 senembare poimennalomesser	$r_{\rm s} - n_{\rm l} + n_{\rm l} - r_{\rm l}$

### 3.2.4. Große Planeten

Die Werte sind sog. mittlere Elemente. Sie gelten für 1970 Jan. 0.

Umlaufszeit, Entfernung und mittlere tägliche Bewegung sind praktisch konstant, e und  $\overline{\omega}$  sowie i und  $\Omega$  ändern sich mit der Zeit. Unter  $\Delta e$ ,  $\Delta \overline{\omega}$  usw. stehen die gegenwärtig geltenden Änderungsbeträge für je 100 Jahre. Für Pluto konnten noch keine mittleren Elemente gerechnet werden, die gegebenen Werte beziehen sich auf die für 1970 Febr. 23 angenommene (gestörte) Bahn.

	τ	Jmlaufzeit -		Entfernung				
	side	risch		von der S	onne a	Mittlere tägliche		
Planet	mittlere Sonnen- tage	tropische Jahre			10 <sup>6</sup> km	Bewegung  n		
	d	a	d			0	"	
Merkur	87.969	0.24085	115.88	0.387099	57.9	4.092339	14732.42	
Venus	224.701	0.61521	583.92	0.723332	108.2	1.602131	5767.670	
$\mathbf{Erd}\mathbf{e}$	365.256	1.00004	-	1.000000	149.6	0.9856091	3548.193	
Mars	686.980	1.88089	779.94	1.523691	227.9	0.5240331	1886.519	
Jupiter	4332.588	11.86223	398.88	5.202803	778.3	0.0830911	299.1284	
Saturn	10759.21	29.4577	378.09	9.538843	1427	0.0334599	120.4549	
Uranus	30685.93	84.0153	369.66	19.18228	2870	0.0117319	42.23434	
Neptun	60187.64	164.7883	367.48	30.05708	4496	0.0059811	21.53266	
Pluto	_	250.61	366.72	39.750	5947	0.0039328	14.158	

Planet	Exzentri- zität e	⊿e (100a) 10 <sup>-6</sup>	Perihel $ ilde{\omega}$	⊿∞̃ (100a)	noiming	⊿ i 00a)	$egin{array}{c} { m Auf-} & { m \Delta} { m S} \\ { m steigender} & { m (100a)} \\ { m Knoten} & { m (100a)} \end{array}$
			· ,	o ,	0 , "	"	0,0,
Merkur	0.205628	+ 20	76 59	$+1 \ 33$	7 0 15 4	- 6	47 59 +1 11
$\mathbf{Venus}$	0.006783	<b>- 48</b>	131 9	+1 24	<b>3 23 4</b> 0 +	<b>- 4</b>	$76\ 25\ +0\ 54$
$\mathbf{Erde}$	0.016722	-42	102 25	$+1 \ 43$		-	
$\mathbf{Mars}$	0.093377	+ 92	<b>335 3</b> 0	+1 50	1 50 59 -	- 3	$49\ 20\ +0\ 46$
${f Jupiter}$	0.048452	+163	13 50	$+1 \ 37$	1 18 17 -	<b>-2</b> 0	100 9 + 1 1
$\mathbf{Saturn}$	0.055647	-347	92 28	+1 58	2 29 22 -	-16	113 24 +0 52
$\mathbf{Uranus}$	0.047237	+272	170 10	$+1 \ 37$	0 46 23 +	- 2	$73 \ 51 \ +0 \ 31$
Neptun	0.008582	+ 77	44 22	+0.53	1 46 22 -	-33	$131 \ 27 \ +1 \ 6$
Pluto	0.253440	-	223 5	-	17 8 24	_	109 55 -

Planet	$egin{array}{c}  ext{Mittlere} \  ext{Bahn-} \  ext{geschwin-} \  ext{digkeit} \  ext{km s}^{-1} \ \end{array}$	Äquat durchm km		Poldurch- messer km	Ab- plattung	Ober- fläche $5 = 1$	$\begin{picture}(20,0) \put(0,0){\line(0,0){100}} \put(0,0){\line(0,0){100$
Merkur ♀ Venus ♀ Erde ㅎ Mars ♂	47.9 35.0 29.8 24.1	4840 12230 12756.32 6800	0.38 $0.96$ $1.00$ $0.53$	- - 12713.55 6710	- 1:298 1:132	0.144 0.921 1.000 0.282	0.055 0.884 1.000 0.150
Jupiter 24 Saturn \$ Uranus \$ Neptun \$ Pluto \$	13.1 9.6 6.8 5.4 4.7	143650 120670 47100 44600 ~6000	$11.26$ $9.46$ $3.69$ $3.50$ $\sim 0.5$	134870 109110 - - -	1:16.4 1:10.4 - -	122.0 84.1 13.7 12.3 ~0.2	1347.0 770.5 50.6 42.8 ~0.1

Die Werte der Spalten von "Umlaufzeit" bis "Entweichgeschwindigkeit" wurden den Tabellen von F. Gondolatsch in Band 1, Kapitel 4.2. des Landolt-Börnstein (1965), entnommen. Die Rotationszeiten von Merkur und Venus sind erst nach 1965 durch Radarbeobachtungen bestimmt worden.

Planet	Mas	sse (ohne M	londe)		Dichte	Beschleunigung an der Oberfläche		
	$10^{24}{ m g}$	් t = 1	$\odot = 1$	g cm <sup>-3</sup>		$\odot = 1$	$\mathrm{m}\;\mathrm{s}^{-2}$	t = 1
Merkur Venus Erde Mars	333 4870 5976 644	0.0558 0.8148 1.0000 0.1078	1:5970000 1:408600 1:332800 1:3087000	5.62 5.09 5.52 3.97	1.019 0.923 1.000 0.720	3.99 3.61 3.92 2.82	3.8 8.7 9.8 3.7	0.39 0.89 1.00 0.38
Jupiter Saturn Uranus Neptun Pluto	1 899 300 568 400 86 760 102 900 5530	317.818 95.112 14.517 17.216 0.925	1: 1047 1: 3499 1: 22930 1: 19330	1.30 0.68 1.58 2.22	0.236 0.123 0.286 0.402	0.92 0.48 1.12 1.58	23.0 9.1 9.7 13.5	2.35 0.93 0.99 1.38

Planet	Ent- weich- geschwin- digkeit km s <sup>-1</sup>	Rotationszeit (mittlere Sonnenzeit)	Neigung des Äquators gegen die Bahn	Mittlere Oppo- sitions- hellig- keit <sup>2</sup> )	Albedo <sup>6</sup> )	Scheir Durch kleinster	
Merkur Venus	4.3 10.3	58 <sup>d</sup> .65 242 <sup>d</sup> .98 (retrograd)	? 2°:	$\begin{pmatrix} & & & \\ & +0.1^3 & & \\ & -4.0^3 & & \end{pmatrix}$	0.06 0.76	5 10	" 13 63
${f Erde} \ {f Mars}$	11.2 5.0	23h 56 <sup>min</sup> 4s 24 37 23	23° 27′ 23° 59	$ \begin{array}{c c} -3.54 \\ -1.8 \end{array} $	$0.39 \\ 0.16$	- <b>3.</b> 5	- 25
Jupiter Saturn Uranus Neptun	57.5 33.1 21.6 24.6	9 55 40.6 <sup>1</sup> ) 10 14 10.8 15.8	3 4 26 44 98 29	$     \begin{array}{r}       -2.2 \\       +0.9^{5}) \\       +5.9 \\       +7.7     \end{array} $	$0.67 \\ 0.69 \\ 0.7 \\ 0.7$	$egin{array}{c} 31 \\ 15 \\ 3.5 \\ 2.2 \\ \end{array}$	50 21 4.3 2.4

<sup>1)</sup> System II, detailreiche Äquatorbänder (System I, helle detailarme Äquatorzone 9h 50min 30°.0, System III aus Radiobeobachtungen 9h 55min 29°.6); 2) nach Explan. Suppl. of Astron. Ephemeris; 3) mittlere Elongationshelligkeit; 4) von der Sonne aus gesehen, von Venus aus in Oppositionsstellung — 6m.3; 5) ohne Ringe; 6) nach Kuiper (Landolt-Börnstein Bd. 1, 1965).

### 3.2.5. Monde der Planeten

	Mittlere E vom Pl in Planeten- halb- messern	Intfernung laneten in 1000 km	Siderische Umlaufs- zeit in Tagen	Bahn- exzentri- zität	Mittlere Bahn- nei- gung <sup>1</sup> )	Masse in 10 <sup>24</sup> g	Durch- messer in km	Dichte g/cm³	Mittlere Oppos hellig- keit
Erde Mond Mars	60.268	384.4	27.322	0.0549	18° 18′ bis 28° 36′	73.5	3476	3.3	$7.1^{2}$ )
Phobos	2.755	9.4	0.319	0.0210	1.1		15	_	11
.Deimos	6.919	23.5	1.262	0.0028	1.8	_	10	-	12
Jupiter	0.010		1,202	0.0020			_ ~		
V	2.52	181.3	0.498	0.003	0.4	_	ĺ <u> </u>	_	13
I	5.87	421.6	1.769	0.000	0.0	72	<b>3</b> 550	3.1	5.6
II	9.34	670.9	3.551	0.000	0.0	47	3100	3.0	6.0
III	14.90	1070	7.155	0.000	0.0	155	5600	1.7	5.1
IV	26.17	1880	16.689	0.000	0.0	97	5050	1.4	6.2
$\mathbf{VI}$	159.7	11470	<b>250.6</b>	0.158	27.6	<b>→</b>	-	-	14.7
X	163.0	11710	260	0.130	29.0	1	-	-	19
VII	163.5	11740	260.1	0.207	24.8	-	-	-	18
XII	288.2	20700	617	0.17	1473)				18
XI	311.2	22350	692	0.21	164				19
VIII	324.4	23300	<b>735</b>	0.38	145				17.0
IX	<b>33</b> 0.0	23700	<b>7</b> 58	0.28	153				18.6
Saturn							Masse	Entd jahr	
Janus <sup>4</sup> )	2.61	157.6	0.75	_		_		1967	14
Mimas	3.08	186	0.942	0.0201	1.5	0.04	0.0005	1789	12.1
Enceladus	3.94	<b>23</b> 8	1.370	0.0044	0.0	0.07	0.0010	1789	11.7
${f Tethys}$	4.89	295	1.888	0.0000	1.1	0.65	0.009	1684	10.6
Dione	6.25	377	2.737	0.0022	0.0	1.0	0.014	1684	10.7
Rhea <sup>5</sup> )	8.73	527	4.518	0.0010	0.4	2.3	0.031	1672	10.0
Titan <sup>6</sup> )	20.25	1222	15.945	0.0289	0.3	140	1.905	1655	8.3
Hyperion	24.55	1481	21.277	0.1042	0.4	0.1	0.0015	1848	15
Japetus	59.00	3560	79.331	0.0283	14.7	5.7	0.073	1671	10.8
Phöbe Unamus	214.3	12930	<b>550.4</b>	0.1633	150 <sup>3</sup> )		-	1898	14
Uranus Miranda	5.52	<b>13</b> 0	1.413	<0.01	0			1948	17
Ariel	8.14	192	$\begin{array}{c c} 1.413 \\ 2.520 \end{array}$	0.0028		- 1	-	1851	14
Umbriel	11.35	267	4.144	0.0028		_	_	1851	14
Titania	18.63	438	8.706	0.0033			_	1787	14
Oberon	24.91	586	13.463	0.0007	Ö	_	_	1787	14
Neptun									
Triton	15.47	345	5.877	0.00	160 <sup>3</sup> )	<b>14</b> 0	1.905	1846	14
Nereide	249.8	<b>557</b> 0	359.4	0.76	27.5 $ $		_	1949	19

 $<sup>^1)</sup>$  Gegen den Äquator;  $^2)$  Vergleichswert, wenn der Erdmond im Jupitersystem stünde;  $^3)$   $i>90^\circ$  bedeutet rückläufige Bewegung;  $^4)$  vorläufige Werte;  $^5)$  Durchmesser 1300 km, Dichte 2.0;  $^6)$  Durchmesser 4950 km, Dichte 2.2.

Die Durchmesser der Marsmonde sind aufgrund ihrer Helligkeiten geschätzt. Phobos nach Mariner 9  $16 \times 21$  km. Statt der meist unbekannten Durchmesser sind die Massen der Saturnmonde in Erdmondmassen zum Vergleich gegeben

#### 3.2.6. Kleine Planeten, Kometen und Meteorströme

Kleine Planeten, die in der mittleren Opposition heller als 11<sup>m</sup>.0 phg. werden

Nr.	Name	m	M	ઠ	ω	i	e	a	Umlau side- risch	syn- odisch
		m	<sub>M</sub>	0	0	0			d	a d
1	Ceres	7.4	4.0	80,4	69.8	10.6	0.0787	2.7663	1680.57	1 102
$\overset{1}{2}$	Pallas	8.5	5.1	172.8	310.1	34.8	.2366	2.7687	1682.68	1 102
3	Juno	9.6	6.3	170.0	247.1	13.0	.2566	2.6680	1591.73	1 109
4	Vesta	6.8	4.2	103.6	149.9	7.1	.0884	2.3619	1325.88	1 139
5	Astraea	10.9	7.9	141.5	356.3	5.3	.1854	2.5790	1512.76	1 117
_										
6	Hebe	9.3	6.6	138.9	238.1	14.8	0.2020	2.4259	1380.10	1 132
7	Iris	9.3	6.7	260.1	143.9	5.5	.2298	2.3859	<b>1346</b> .10	1 136
8	Flora	9.5	7.4	110.8	284.3	5.9	.1569	2.2016	1193.18	1 161
9	Metis	9.8	7.2	68.8	4.7	5.6	.1219	2.3863	1346.41	1 136
10	Hygiea	10.6	6.4	285.4	310.3	3.8	.0996	3.1508	2042.85	1 80
			Ĭ							
11	Parthenope	10.4	7.7	125.2	193.6	4.6	0.1021	2.4525	1402.81	1 129
13	Egeria	10.9	7.9	43.5	77.4	16.5	.0853	2.5763	1510. <b>43</b>	1 117
14	Irene	10.4	7.3	86.6	95.7	9.1	.1644	2.5878	1520.52	1 116
15	Eunomia	9.4	6.2	293.6	95.8	11.7	.1864	2.6425	1568.99	1 111
16	Psyche	10.5	6.8	150.4	225.4	3.1	.1353	2.9228	1825.16	1 92
	-									
18	Melpomene	10.1	7.7	150.3	227.0	10.1	0.2178	2.2958	1270.60	1 148
20	Massalia	10.0	7.4	206.3	255.3	0.7	.1434	2.4088	1365.52	1 134
29	Amphitrite	10.2	7.2	356.4	62.7	6.1	.0737	2.5544	1491.18	1 119
39	Laetitia	10.8	7.3	157.1	208.4	10.4	.1123	2.7690	1682.99	1 102
<b>4</b> 0	Harmonia	10.6	8.4	94.0	269.3	4.3	.0469	2.2668	1246.57	1 152
44	Nysa	10.6	7.9	131.3	342.2	3.7	0.1517	2.4217	1376.48	1 132
63	Ausonia	10.7	8.1	337.9	294.5	5.8	.1275	2.3946	1353.47	1 135
192	Nausikaa	10.9	8.3	343.5	28.7	6.9	.2467	2.4025	1360.17	1 134
433	Eros	11.4	12.3	304.0	178.1	10.8	.2229	1.4581	<b>643.</b> 08	2 115
1566	Ikarus	12.4	17.7	87.8	30.9	<b>23</b> .0	.8267	1.0777	408.66	9 1521)

m= mittlere Oppositionshelligkeit, M= absolute Größe, d.i. die Helligkeit, die er im Abstand von 1 astron. Einh. von der Sonne für einen 1 astron. Einh. vom Planeten entfernten Beobachter zeigen würde  $(r=1, \Delta=1)$ ,  $\mathfrak{Q}=$  aufsteigender Knoten,  $\omega=$  Abstand des Perihels vom Knoten, i= Neigung der Bahn gegen die Ekliptik ( $\mathfrak{Q}$  auf die mittlere Lage des Frühlingspunktes von 1950.0 bezogen), e= numerische Exzentrizität, a= halbe große Bahnachse= mittlerer Abstand von der Sonne in astronomischer Einheit. - Bei den synodischen Umlaufszeiten ist  $1^a=365^d$ . Wegen der meist beträchtlichen Exzentrizitäten sind die synodischen Umlaufzeiten nur Mittelwerte. Die Elemente sind den Ephemeriden der Kleinen Planeten für 1971 (Institut für Theoretische Astronomie, Leningrad) entnommen.

<sup>1)</sup> Julianische Jahre

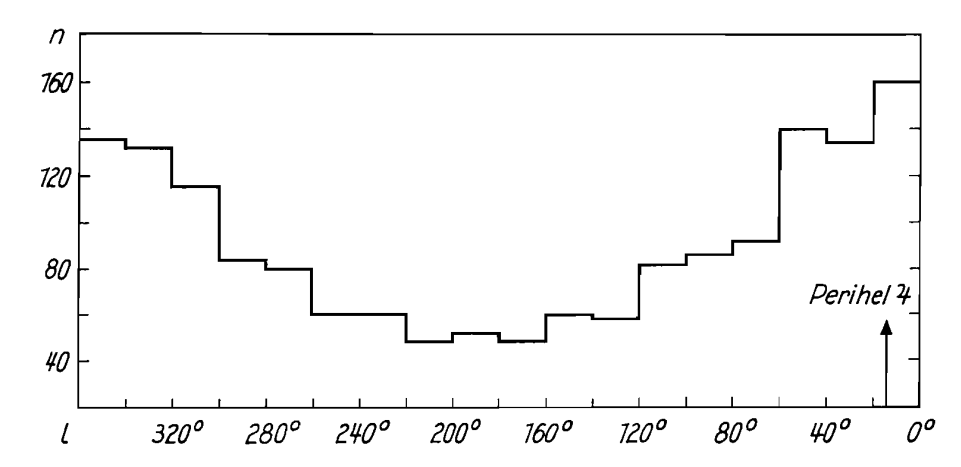


Abb. 21. Verteilung der Planetoiden nach ihren Perihellängen (l Länge des Perihels in der Ekliptik, n Zahl der Planetoiden für je  $10^\circ$  lange Abschnitte)

Statistische Verteilung der Perihellängen der Exzentrizitäten und Neigungen (Abb. 21)

	e	%	i	%
n = 1637	0.000-0.105 0.105-0.208 0.208-0.309 0.309-0.407 >0.407	30.6 48.9 17.7 2.0 0.8	° 0-5 5-10 10-15 15-20 20-25 25-30 >30	26.2 33.2 23.8 10.0 4.5 1.7 0.6

Periodische Kometen, deren Wiederkehr mindestens 10mal beobachtet wurde

Komet	Umlauf- zeit	N	Letzter Perihel- durchgang	$oldsymbol{i}$	e	Abstai Perihel	nd im Aphel
	a			0			
1960i Encke	3.3002	46	1971 <b>J</b> an. 9	12.4	0.847	0.339	4.09
1961g Grigg-Skjellerup	4.9081	10	1966 Nov. 28	17.6	0.703	0.858	4.88
1961b Tempel 2	5.259	13	1962 Mai 12	12.5	0.549	1.364	4.68
1951VI Pons-Winnecke	6.296	15	1970 Juli 16	22.3	0.639	1.230	5.53
1950II d'Arrest	6.673	10	1970 Mai 18	18.1	0.614	1.369	5.73
$1960 { m VI~Brooks}~2$	6.7199	10	1960 Juni 17	5.6	0.505	1.763	5.36
1961c Faye	7.38	15	1969 Okt. 7	9.1	0.576	1.608	5.95
1959II Wolf 1	8.4296	10	1959 März 21	27.3	0.395	2.507	5.78
1910II Halley	76.0289	29	1910 April 20	162.2	0.967	0.587	35.31

 $N={
m Anz}$ ahl der beobachteten Erscheinungen (bis 1964); Abstände (v. d. Sonne) in astron. Einheiten.

Meteorströme, bei denen im Maximum mehr als 10 Objekte pro Stunde zu beobachten sind

Name	Radiant 195 RA Del		Meteore für einen Beobachter	Art
Quadrantiden	h min ° 15 • 8 +4	6 Jan. 3	~40	planetarisch
Lyriden	$oxed{18  12  +3}$	5 April 22	~10	kometarisch (Komet 1861 I)
$\eta$ Aquariden	$egin{array}{cccccccccccccccccccccccccccccccccccc$	l Mai 5	~15	kometarisch (Halleys Komet)
Perseiden	$egin{bmatrix} 2 & 52 & +5 \ \end{matrix}$	6 Aug. 11	~80	kometarisch (Komet 1862 III)
Orioniden	$6 \ 16 \ +1$	6 Okt. 19	~10	kometarisch (Halleys Komet)
Geminiden	$egin{array}{cccccccccccccccccccccccccccccccccccc$	0 Dez. 12	~10	ekliptikal

# 3.2.7. Mondfinsternisse von 1972 bis 2000 in Mitteleuropa

TD .	Q "0		Bemer-			
Datum	Größe	Beginn	Mitte	Ende	kungen	
		h min	h min	h min		
1973 Dez. 10	0.107	2 09	2 44	3 20		
1974 Juni 4/5	0.830	21 38	23 15	0 53		
1975 Nov. 18/19	1.067	21 39	$23 \ 24$	1 8		
1976 Mai 13	0.127	20 15	20 54	21 32		
1977 April 4	0.201	4 31	5 19	6 $8$	A	
1978 März 24	1.458	15 33	17 24	19 13	E	
1978 Sept. 16	1.332	18 19	20 3	21 47		
1979 März 13	0.857	20 29	22 8	$23\ 47$		
1982 Jan. 9	1.336	19 13	20 55	$22\ 38$		
1985 Mai 4	1.243	19 16	20 56	$22\ 36$		
1985 Okt. 28	1.077	16 55	18 42	20 30	ļ	
1986 Okt. 17	1.250	18 29	20 18	$22  ext{7}$	ĺ	
1989 Febr 20	1.279	14 43	16 35	18 27	$\mathbf{E}$	
1990 Febr. 9	1.078	18 29	20 11	21 54		
1992 Dez. 9/10	1.277	$22\ 59$	0 44	2 28		
1993 Nov. 29	1.091	<b>5 4</b> 0	7 26	9 11	A	
1995 Okt. 8	0.852	14 58	17 4	<b>19</b> 10	E	
1996 April 3/4	1.384	23 21	1 10	2 59	1	
1996 Sept. 27	1.245	2 13	3 55	5 37		
1997 März 24	0.923	3 58	5 39	7 21	A	
1997 Sept. 16	1.198	18 8	19 47	21 25	1	
2000 Jan. 21	1.330	4 2	5 44	7 26		

Größe > 1.000 total, < 1.000 partiell; A = nur Anfang, E = nur Ende beobachtbar.  $\Delta T$  für diesen Zeitraum zu + 1 Minute angenommen,  $\Delta T$  = Ephemeridenzeit minus Weltzeit.

## 74 Hilfstafeln und Verzeichnisse

## 3.2.8. Sonnenfleckenmaxima und -minima

Es werden gegeben die Jahre (mit Zehnteln) der Maxima und Minima und die Jahresmittel der Züricher Relativzahlen (R) für das Maximum- bzw. Minimumjahr (Abb. 22)

Max. R	Min. R	Max. R	Min. R
	$\begin{array}{c} 1610.8 \\ 1619.0 \\ 8.2 \\ 1634.0 \\ 1634.0 \\ 1645.0 \\ 10.0 \\ 1655.0 \\ 10.0 \\ 1666.0 \\ 11.0 \\ 1679.5 \\ 10.0 \\ \end{array}$	1788.1 132.0	$\begin{array}{cccccccccccccccccccccccccccccccccccc$
$1615.5 \\ 1626.0_{-0.5}^{10.5}$	1619.0	$ \begin{array}{cccccccccccccccccccccccccccccccccccc$	$\begin{bmatrix} 1810.6^{12.5} & 0.0 \\ 1823.3^{12.7} & 1.8 \end{bmatrix}$
1620 5 13.5	1645.011.0	$1810.4_{13.5}   49.8_{-1}   70.9$	1833.9 10.6 8.5
1649.0 9.5	$1655.0^{10.0}$	$1837 \ 2^{-7.3} \ 138 \ 3$	1843.5 9.6 10.7
$ \begin{array}{c} 1039.5 \\ 1649.0 \\ 1660.0 \\ 15.0 \\ 1675.0 \\ 10.0 \\ $	1666.0 11.0	$\begin{array}{c} 1848.1^{10.9} & 124.7 \\ 1860.1^{12.0} & 95.8 \end{array}$	$1856.0_{11.0}^{12.5}$ 4.3
$1675.0_{10.0}^{15.0}$	$1679.5_{10.0}^{13.5}$	$1860.1_{10.5}^{12.0}$ 95.8	$1867.2_{11.7}^{11.2}$ 7.3
$1685.0_{-8.0}^{10.0}$	1680 5	$1870.6_{13.3}^{10.3}$ $139.0$	1878.9 10.7 3.4
1693.0	1698.0	$   \begin{array}{ccccccccccccccccccccccccccccccccccc$	1889.6 10.7 6.3
$1675.0 \ 1685.0^{10.0} \ 1693.0^{8.0} \ 1705.5^{12.5} \ 1718.2^{12.7} \ 20.3$	$\begin{array}{c} 1633.5 & 8.5 \\ 1698.0 & 8.5 \\ 1712.0^{14.0} \\ 1723.5_{10.5}^{11.5} \end{array}$	$ \begin{array}{c ccccccccccccccccccccccccccccccccccc$	$\begin{bmatrix} 1807.2_{11.7} & 7.3 \\ 1878.9_{10.7} & 3.4 \\ 1889.6_{10.7} & 6.3 \\ 1901.7_{12.1} & 2.7 \\ 1913.6_{10.0}^{11.9} & 1.4 \end{bmatrix}$
1716.2 9.3	$\begin{bmatrix} 1725.5 \\ 1734.0 \end{bmatrix}$ 10.5	$1917.6_{10.5}^{10.5} 103.9$	1923.610.0 5.8
$1738 \ 7^{11.2}$	$\begin{array}{ c c c c c c c c c c c c c c c c c c c$	1928 410.0 77 8	1933.8 10.2 5.7
$1750 \ 3^{11.6}  83.4$	$1755 \ 2^{10.2} \ 9.6$	$1937.4_{10.1}^{9.0}$ 114.4	$1944.2_{10.1}^{10.4}$ 9.6
$1761.5^{11.2}$ 85.9	1766.511.3 11.4	$1937.4  9.0  114.4 1947.5^{10.1}  151.6 1957.9^{10.4}  190.2$	$\begin{array}{c} 1913.6_{10.0} & 1.4 \\ 1923.6_{10.0} & 5.8 \\ 1933.8_{10.2} & 5.7 \\ 1944.2_{10.4}^{10.4} & 9.6 \\ 1954.3_{10.4}^{10.1} & 4.4 \\ 1964.7 & 7.0 \\ \end{array}$
$   \begin{array}{c cccccccccccccccccccccccccccccccccc$	$\begin{array}{c ccccccccccccccccccccccccccccccccccc$	1957.9 190.2	1964.7
1778.4 5.7 154.4 9.7	$1784.7_{13.6}^{9.2} \ 10.2$	$1968.9^{11.0} \ 110.8$	

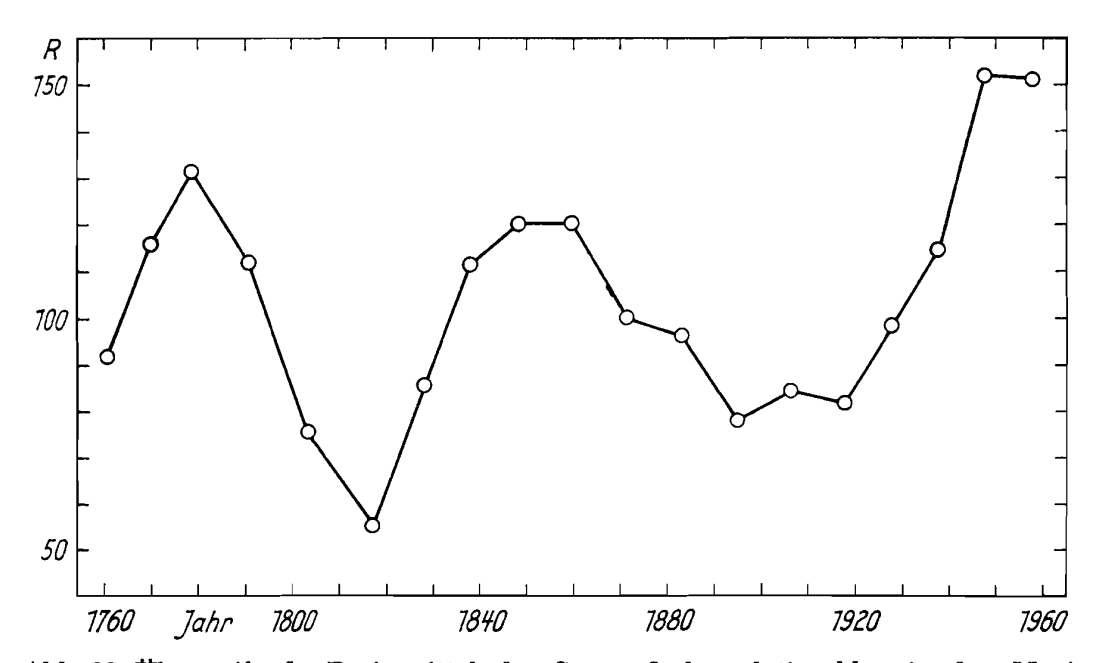


Abb. 22. Übergreifende Dreiermittel der Sonnenfleckenrelativzahlen in den Maximumjahren (1750–1970)

# 3.3. Beobachtungsobjekte am Fixsternhimmel

# 3.3.1. Verzeichnis der Sternbilder

Internationale Abkürzung	Lateinisch		Deutsch
	Nominativ	Genitiv	
Aql Aqr Ara Ari	Andromeda Antlia Apus Aquila Aquarius Ara Aries Auriga	Andromedae Antliae Apodis Aquilae Aquarii Arae Arietis Aurigae	Andromeda Luftpumpe Paradiesvogel Adler Wassermann Altar Widder Fuhrmann
Boo	Bootes	Bootis	Bootes (Rinderhirt)
Cam Cap Car Cas Cen Cep Cet Cha Cir CMa CMi Cne Col Com CrA CrB Crt Cru Crv	Caelum Camelopardalis Capricornus Carina Cassiopeia Centaurus Cepheus Cetus Chamaeleon Circinus Canis Maior Canis Minor Cancer Columba Coma (Berenices) Corona Austrina Corona Borealis Crater Crux Corvus Canes venatici	Caeli Camelopardalis Capricorni Carinae Cassiopeiae Centauri Cephei Ceti Chamaeleontis Circini Canis maioris Canis minoris Cancri Columbae Comae (Berenices) Coronae Austrinae Coronae Borealis Crateris Crucis Corvi Canum venaticorum	Grabstichel Giraffe Steinbock Kiel (Teil von Argo) Kassiopeja Centaur Cepheus Walfisch Chamäleon Zirkel Großer Hund Kleiner Hund Krebs Taube Haupthaar (d. Berenike) Südliche Krone Nördliche Krone Becher Kreuz Rabe Jagdhunde
Cyg Del Dor Dra Equ Eri	Cygnus Delphinus Dorado Draco Equuleus Eridanus	Cygni Delphini Doradus Draconis Equulei Eridani	Schwan  Delphin Schwertfisch Drache Pferdchen (Fluß) Eridanus
For	Fornax	Fornacis	Chemischer Ofen
Gem Gru Her Hor Hya	Gemini Grus Hercules Horologium Hydra Hydrus	Geminorum Gruis Herculis Horologii Hydrae Hydri	Zwillinge Kranich Herkules Pendeluhr (weibl.) Wasserschlange (männl.) Wasserschlange
Hyi	1174140	11 yuu 1	THOUGHT WASSELSUMANEE

### Verzeichnis der Sternbilder (Fortsetzung)

**76** 

Internationale Abkürzung	Lateinisch		Deutsch
nonarzung	Nominativ	Genitiv	
Lac Leo Lep Lib LMi Lup Lyn Lyr	Lacerta Leo Lepus Libra Leo minor Lupus Lynx Lyra	Lacertae Leonis Leporis Librae Leonis minoris Lupi Lyncis Lyrae	Eidechse Löwe Hase Waage Kleiner Löwe Wolf Luchs Leier
Men	Mensa	Mensae	Tafelberg
Mic	Microscopium	Microscopii	Mikroskop
Mon	Monoceros	Monocerotis	Einhorn
Mus	Musca	Muscae	Fliege
Nor	Norma	Normae	Winkelmaß
Oct	Octans	Octantis	Oktant
Oph	Ophiuchus	Ophiuchi	Schlangenträger
Ori	Orion	Orionis	Orion
Pav Peg Per Phe Pic PsA Psc Pup Pyx	Pavo Pegasus Perseus Phoenix Pictor Piscis Austrinus Pisces Puppis Pyxis	Pavonis Pegasi Persei Phoenicis Pictoris Piscis Austrini Piscium Puppis Pyxidis	Pfau Pegasus Perseus Phönix Maler Südlicher Fisch Fische Achterdeck \ Teil von Kompaß \ Argo
Ret	Reticulum	Reticuli	Netz
Scl	Sculptor	Sculptoris	Bildhauer
Sco	Scorpius	Scorpii	Skorpion
Sct ·	Scutum	Scuti	Schild
Ser	Serpens	Serpentis	Schlange
Sex	Sextans	Sextantis	Sextant
Sge	Sagitta	Sagittae	Pfeil
Sgr	Sagittarius	Sagittarii	Schütze
Tau	Taurus	Tauri	Stier
Tel	Telescopium	Telescopii	Fernrohr
TrA	Triangulum Australe	Trianguli Australis	Südliches Dreieck
Tri	Triangulum	Trianguli	Dreieck
Tuc	Tucana	Tucanae	Tukan
UMa	Ursa Maior	Ursae Maioris	Großer Bär (Wagen)
UMi	Ursa Minor	Ursae Minoris	Kleiner Bär (Wagen)
Vel	Vela	Velorum	Segel (Teil von Argo)
Vir	Virgo	Virginis	Jungfrau
Vol	Volans	Volantis	Fliegender Fisch
Vul	Vulpecula	Vulpeculae	Füchschen

In Verbindung mit einer Sternbezeichnung wird der Genitiv gebraucht, z.B.  $\gamma$  im Löwen =  $\gamma$  Leonis,  $\beta$  in den Zwillingen =  $\beta$  Geminorum, Stern 51 in der Andromeda = 51 Andromedae.

## 3.3.2. Galaktische (offene) Sternhaufen

	1	1		1	1				<del></del>
$\mathbf{NGC}$	Messier	1	50.0	Ø	Größe	*	Entf.	Stern-	Bemer-
1100	Incostici	RA	$\mathbf{Dekl}$ .		GIOLE		in Lj.	bild	kungen
			0						<u> </u>
100		h min		_ ′	m				_
188		0 39.4	+85.0	15	9.3	500	4600	UMi	1
457	7.00	1 15.9	+58.1	10	7.5	100	8000	Cas	
581	103	1 29.9	+60.5	5	7.4	60	8000	Cas	
663		1 42.6	+61.0	11	7.1	80	8000?	Cas	
<b>7</b> 52		1 54.7	+37.4	45	7.0	70	3 000	And	
869		2 15.5	+56.9	45	4.4	270	7000	Per	h Per, 2
884		2 19.9	+56.9	50	4.7	270	7000	Per	χ Per, 2
1039	34	2 38.8	+42.6	25	5.5	80	1400	Per	, = ==, =
1245		3 11.2	+47.0	30	6.9	<b>4</b> 0	16000	Per	
-	45	3 43.9	+24.0	100	1.4	250	450	Tau	Plejaden,
								144	3
1528		4 11.4	+51.1	25	6.2	80	2500	Per	
-		4 16.7	+15.5	$(>5^{\circ})$	0.8	250	120	Tau	Hyaden,
1647		4 43.2	+19.0	40	-	23	3600	Tau	4
1746		5 0:6	+23.7	45	-	60	3300	Tau	
1912	38	5 25.3	+35.8	25	7.0	200	3500	Aur	
1960	36	5 32.0	+34.1	16	6.5	90	4000	Aur	
2099	37	5 49.0	+32.6	20	6.2	600	4700	Aur	5
2168	35	6 5.7	+24.3	30	5.3	130	2800	Gem	<b>.</b>
2244		$6\ 29.7$	+4.9	25	5.2	50	<2500	Mon	6
2287	41	6 44.9	-20.7	30	5.0	100	2400	CMa	7
0909	50		0.0	, .		100	2 700	3.5	
2323	50	7 0.5	-8.3	15	6.8	120	2500	Mon	
2422	47	7 34.3	-14.4	25	4.5	80	3700	Pup	8
2437	46	7 39.6	-14.7	24	6.6	220	6000	Pup	8
2447	93	7 42.4	-23.8	13	6.0	100	3600	Pup	
2539		8 8.4	-12.7	20	_	150	6000	Pup	
2548	48	8 11.2	- 5.6	30	5.5	80	2000	Hya	
2632	44	8 37.5	+19.9	90	3.9	210	500	Cnc	Praesepe
2682	67	8 48.3	+12.0	18	6.1	<b>13</b> 0	3000	$\mathbf{Cnc}$	9
6405	6	17 36.8	-32.2	25	4.6	130	2000	Sco	
6472	7	17 50.7	-34.8	50	3.3	<b>13</b> 0	750	Sco	
6494	23	17 54.0	-19.0	25	5.9	150	2800	Sgr	
6531	21	18 1.8	-22.5	12	7.2	50	3000	Sgr	
6603	24	18 15.5	-18.5	5	11:	<b>5</b> 0	16000	Sgr	10
6611	16	18 16.0	-13.8	8	6.6	60	5500		11
6613	18	18 17.0	-13.8 $-17.2$	8	8.0	<b>2</b> 0	6000	Sgr Sgr	11
6618	17	10 10 0	100	90	0.0	<b>~</b> 0	10000		10
6633	17	18 18.0	-16.2	20	6.9	50 65	10000	Sgr	12
0000	25	18 25.1	+6.5	20	4.9	65	1600	Oph	TO 4705
- 6694	$\begin{array}{c c} 25 \\ 26 \end{array}$	18 28.8 18 42.5	$-19.3 \\ -9.5$	25	6.2	80 50	2000	Sgr	IC 4725
6705	1			9	9.3	<b>5</b> 0	5500	Set	
0709	11	18 48.4	- 6.3	12	6.3	<b>4</b> 00	5 500	Sct	

Galaktische	(offene)	Sternhaufen	(Fortsetzung)
-------------	----------	-------------	---------------

NGC	Messier	195 RA	50.0 Dekl.	Ø	Größe	*	Entf. in Lj.	Stern- bild	Bemer- kungen
		h min	0	/	m				
6913	29	20 22.2	+38.4	7	9.0	20	5000	Cyg	
6940		20 32.5	+28.1	35	8.2	100	9000	Vul	
7092	39	21 30.4	+48.2	30	5.3	<b>3</b> 0	900	Cyg	
7243		22 13.2	+49.6	20	7.4	40	2700	Lac	
7654	52	23 22.0	+61.3	13	8.2	130	2800	Cas	
7789		23 54.5	+56.4	15	9.6	200	13000	Cas	

Die Durchmesser ( $\oslash$ ) und Sternzahlen (\*) sind mit Unsicherheiten behaftet, weil besonders in sternreicher Umgebung weder die Begrenzung genau erkannt noch die Vorder- und Hintergrundsterne sicher von den eigentlichen Haufensternen unterschieden werden können. Auch die Entfernungsangaben, die meist nur auf indirekten Methoden (Farben-Helligkeits-Diagramm) beruhen, können bei verschiedenen Bearbeitern voneinander abweichen. Die hier gegebenen photographischen Größen sind meist nur wenig von den visuellen verschieden.

- I =ältester bekannter Sternhaufen ( $> 10^{10}$  Jahre)
- $2 = \text{sehr junge Sternhaufen} \ (\approx 3 \cdot 10^6 \, \text{Jahre}), \ \text{Mitte einer Assoziation}$
- $3 = \min$  Reflexions- (Staub-) Nebeln von faseriger Struktur
- 4 = Entfernung 150 Lichtjahre
- $5 = \text{reichster der drei hellen Aurigahaufen, Alter} \approx 200 \cdot 10^6 \, \text{Jahre}$
- $6 = \mathrm{sehr}$  junger Haufen, eingebettet in die Gasmassen des Rosettennebels
- $7 = 4^{\circ}$  südl. von Sirius
- $8 = \text{junge Haufen} \ (\approx 20 \cdot 10^6 \, \text{Jahre})$
- $9 = \text{sehr alter Sternhaufen } (5 \cdot 10^9 \, \text{Jahre})$
- 10 = Messier bezeichnete mit Nummer 24 die ganze ausgedehnte Sternwolke, in der schwierig erkennbar der kleine Sternhaufen NGC 6603 liegt
- $11 = \text{in einem Emissionsnebel } 28' \times 35'$
- $12 = \text{in einem Emissionsnebel (sog. Omeganebel) } 37' \times 46'$

## 3.3.3. Diffuse und planetarische Gasnebel

NGC	Mes- sier	195 RA	50.0 Dekl.	Art	Durch- messer	Gr. <sub>n</sub>	Gr.*	Entf. in Lj.	Stern- bild	Bemer- kungen
		h min	o ,			m	m			
246		0 44.6	$-12 \ 9$	p	$\mid_{\mathbf{3'}.5  imes \mathbf{4'}}\mid$	8.5	11.3	1500	Cet	
1535		4 12.1	$-12\ 52$	p	$17'' \times 20''$	9.3	11.8	2200	Eri	
1952	1	5 31.5	$+21$ $\overline{59}$	d	$4' \times 6'$	8.4	15.9	900	Tau	Crab-Nebel
1976	$4\overline{2}$	5 32.9	-525	d)			10.0			
1982	43	5 33.1	-518	$\mathbf{d}$	$60' \times 60'$	2.9	-	2000	Ori	Orion-Nebel
				'						
1975		5 32.9	-450	d	$25^{\prime}\! imes\!35^{\prime}$	6.5		2000	Ori	
2068	78	5 44.2	+ 0 2	d	6'×8'	8.0	10.3	1000	Ori	
2392		7 26.2	+21 1	p	43"×47"	8.3	10.5	1400	Gem	
3242		10 22.4	$-18\ 23$	p	35"×40"	9.0	11.4	1900	Hya	
$\boldsymbol{6514}$	20	17 58.9	-23 2	d	$27'{ imes}29'$	6.4		2500	Sgr	Trifid-Nebel
6523	8	18 1.6	$-24\ 20$	d	35'×60'	5.5	-	2500	Sgr	$\operatorname{Sgr-Nebel^1}$ )
6543		17 58.8	$+66\ 38$	p	$22^{\prime\prime}\! imes\!22^{\prime\prime}$	8.8	11.1	1700	Dra	
6611	16	18 16.0	$-13 \ 48$	d	$28^\prime{ imes}35^\prime$	6.6	-	10000	Ser	_
6618	17	18 18.0	$-16\ 12$	d	37'×46'	6.9	<u> </u>	10000	Sgr	$\mathbf{Omega-N.}$
6720	57	18 51.7	+32~58	$\mathbf{p}$	59"×83"	9.3	14.7	2200	Lyr	Ring-Nebel
2022		10.40.4			04" 0="	0.0	100	1-00	_	
6826	0=	19 43.4	+5024	p	24"×27"	8.8	10.8	1700	Cyg	TT 4.1 %T 9\
6853	27	19 57.4	$+22\ 35$	p	7'×8'	7.6	13.4	500	Vul	Hantel-N. <sup>2</sup> )
7000		20 57.0	+44 8	d	100'×120'	- 0.4	11.7	3000	Cyg	Amerika-N.
7009 $7293$		$egin{array}{ c c c c c c c c c c c c c c c c c c c$	$-11 \ 34 \\ -21 \ 6$	p	$egin{array}{c} 26^{\prime\prime}\! imes\!44^{\prime\prime} \ 12^{\prime}\! imes\!15^{\prime} \end{array}$	$\begin{array}{c} \textbf{8.4} \\ \textbf{6.5} \end{array}$	13.3	$\begin{array}{ c c c c } 1400 \\ 600 \end{array}$	Aqr	Saturn-N.
1293		22 21.0	-21 6	p	$\begin{bmatrix} 12. \times 19. \end{bmatrix}$	6.0	15.5	000	Aqr	
11470		23 3.2	$+59 \ 59$	p	45"×70"	8.1	11.9	7000	Сер	
7635		23 18.5	$+60\ 54$	p	3′×3′.5	8.5	8.5	1700	Cas	
7662		23 23.5	$+42 \ 14$	$\bar{\mathbf{p}}$	$28^{\prime\prime}\! imes\!32^{\prime\prime}$	8.9	12.5	1800	And	

 $Gr._n$  ist die Helligkeit des Nebels,  $Gr._*$  die des Sterns, der den Nebel zum Leuchten anregt.

 $<sup>^{1}\!)</sup>$ Nebel am Pol der Ekliptik,  $^{2}\!)$ auch Dumbbellnebel, d= diffuse, p= planetarische Gasnebel

3.3.4. Kugelförmige Sternhaufen

					_			
NGC	Messier	1950.0 RA Dekl.	Ø	Größe	Spek- trum	Entfernung in 1000 Lj.	Radial- geschwin- digkeit	Stern- bild
		h min o	,	m			km/s	
288		0 50.2 -26.9	8	7.2		47	1	Sel
	79	$\begin{bmatrix} 0 & 50.2 & -20.9 \\ 5 & 22.2 & -24.6 \end{bmatrix}$	7	8.4	$\mathrm{dF3}$	50	+231	Lep
1904	68	$\begin{array}{c ccccccccccccccccccccccccccccccccccc$	8	9.1	A6	$\frac{50}{51}$	$\begin{vmatrix} +231 \\ -116 \end{vmatrix}$	Hy:
<b>459</b> 0	53	$\begin{array}{c ccccccccccccccccccccccccccccccccccc$	5	8.7	F4	59	$-110 \\ -112$	Com
5024	3	$\begin{array}{c ccccccccccccccccccccccccccccccccccc$	9	7.2	F7	39 31	$-112 \\ -150$	CVn
5272	3	13 39.9 +28.0	9	1.2	F.	91	— 130 	CVn
<b>5466</b>	_	14  3.2  +28.8	5	8.5		55	-	Boo
<b>5904</b>	5	$15 \ 16.0 + 2.3$	9	7.0	$\mathbf{F5}$	<b>3</b> 0	+ 45	Ser
6093	80	$16 \ 14.1 \ -22.9$	5	8.4	$\mathbf{dF4}$	36	+ 18	Sco
6121	4	$16 \ 20.6 \ -26.4$	12	7.4	${f F}$	10	-	Sco
6171	107	16 29.7 -13.0	5	10.1	G2	69	-147	Oph
			}					
6205	13	16 39.9 +36.6	11	6.8	F5	34	-228	${f Her}$
6218	12	16 44.6 - 1.9	10	8.0	F7	23	+ 36	$\mathbf{Oph}$
$\boldsymbol{6254}$	10	16 54.5 - 4.0	10	7.6	$\mathbf{G}0$	23	+ 73	Oph
6266	62	16 58.1 -30.0	8	8.2	$\mathbf{F8}$	61	- 81	Oph
6273	19	16 59.5 -26.2	$6 \times 8$	8.3	F3	53	+102	$\mathbf{Oph}$
20.41	00	15 15 0 149 0			TO	95	110	TT
6341	92	17 15.6 +43.2	$\begin{bmatrix} 6 \\ \tilde{z} \end{bmatrix}$	7.3	F2	37 25	-118	Her
6333	9	$\begin{array}{ c c c c c c c c c c c c c c c c c c c$	5	8.9	F2	35:	+224	Oph
6356	-	$\begin{array}{c ccccccccccccccccccccccccccccccccccc$	$\frac{4}{c}$	9.7	G5	163	+31	Oph
6402	14	$17 \ 35.0 \ -3.2$	6	9.4	G0	64	-131	Oph
6626	28	$18 \ 21.5 \ -24.9$	9	8.5	F9	54	+ 1	$\operatorname{Sgr}$
6637	69	$\begin{vmatrix} 18 & 28.1 & -32.4 \end{vmatrix}$	5	8.9	G5	20	+ 95	Sgr
6652	_	$18 \ 32.5 \ -33.0$	4	9.8	G2	51	_	$\operatorname{Sgr}$
6656	22	$18 \ 33.3 \ -24.0$	15	6.5	$\mathbf{F6}$	11	-148	$\operatorname{\mathbf{Sgr}}$
6681	70	$18 \ 40.0 \ -32.4$	5	9.0	G2	65	+198	$\overline{\operatorname{Sgr}}$
6715	54	$18 \ 52.0 \ -30.5$	6	8.7	$\mathbf{F7}$	47	+107	Sgr
V v								0
6779	56	19 14.6 $-30.1$	3	9.6	$\mathbf{F}5$	<b>3</b> 8	-154	$\mathbf{Lyr}$
6809	55	$19 \ 36.9 \ -31.1$	13	7.1	-	20		$\operatorname{Sgr}$
6838	71 <sup>1</sup> )	$19 \ 51.5 + 18.7$	3	8.3	G5	16	- 80	$\operatorname{Sge}$
6864	75	20  3.2  -22.1	4	9.5	G1	80	-222	Sgr
6981	72	20 50.7 -12.7	2.5	10.2	G2	76	-255	$\mathbf{Aqr}$
					T70	40		70.
7078	15	$21 \ 27.6 \ +12.0$	6	7.3	F3	42	-114	$\mathbf{Peg}$
7089	2	$\begin{array}{c ccccccccccccccccccccccccccccccccccc$	9	7.3	F3	45	- 3	$\mathbf{Aqr}$
7099	30	$\begin{vmatrix} 21 & 37.5 & -23.4 \end{vmatrix}$	7	8.6	<b>F3</b>	39	-164	$\operatorname{Cap}$

Die Größen sind photographisch. Visuell sind die Kugelhaufen je nach dem Spektrum 0<sup>m</sup>.5 bis 1<sup>m</sup>.0 heller. Die Durchmesser beziehen sich auf den kompakten inneren Bezirk und entsprechen etwa dem visuellen Anblick. Die Gesamtausdehnung bis zu den locker verteilten äußeren Sternen ist im Mittel doppelt so groß.

<sup>&</sup>lt;sup>1</sup>) Möglicherweise dichtgedrängter offener Sternhaufen

### 3.3.5. Veränderliche Sterne mit Umgebungskarten

Die folgende Liste soll nur Anregungen und Übungsbeispiele für die interessante Beobachtung von veränderlichen Sternen bieten. Einige Objekte sind mit dem Feldstecher, alle aber mit dem im Textteil beschriebenen 63-mm-Schulfernrohr leicht zu beobachten, die Algol- und  $\delta$ -Cepheisterne während des ganzen Lichtwechsels, die Mirasterne einige Monate vor und nach dem Maximum. Für alle Sterne sind in den Abbildungen 23 bis 42 Umgebungskarten beigefügt. Bei den  $\delta$ -Cepheisternen sind die Größen der Vergleichsterne auf  $0^{\rm m}.01$  (6.54), bei den Mirasternen auf  $0^{\rm m}.1$  ohne Dezimalpunkte (87 = 8 $^{\rm m}.7$ ) gegeben.

#### Algolsterne

Stern	1950.0 RA Dekl.	Epoche 0 Julian. Tag 24	$\operatorname{Periode}$	Ampli- tude	Dauer des Min.
RZ Cas TV Cas U CrB AI Dra AR Lac	h min ° ' 2 44.3 +69 26 0 16.5 +58 51 15 16.2 +31 50 16 55.2 +52 46 22 6.6 +45 30	39785.483 20117.764 35227.620 37544.508 39376.493	a 1.1952517 1.8126096 3.452201 1.1988136 1.983223	m m 6.4-7.8 7.3-8.4 7.6-9.0 7.2-8.2 7.3-8.2	h 4.8 7.0 10.6 4.3 8.5

### $\delta$ -Cepheisterne

Stern	19 <i>5</i> RA	50.0 Dekl.	Epoche 0 Julian.Tag 24	Periode	Ampli- tude	
$\eta$ Aql RT Aur $\delta$ Cep $\zeta$ Gem	h min 19 49.9 6 25.4 22 27.3 7 1.1	° ' + 0 53 +30 32 +58 10 +20 39	32926.749 20957.466 27628.86 34416.78	a 7.176641 3.728261 5.366341 10.15082	m m 3.5-4.3 5.1-5.8 3.5-4.3 3.7-4.2	
T Mon T Vul	$\begin{array}{c c} & 6 & 22.5 \\ 20 & 49.4 \end{array}$	$\begin{array}{ccc}+&7&7\\+28&&4\end{array}$	$\begin{array}{c} 32245.36 \\ 19372.151 \end{array}$	$27.0205 \ 4.435578$	$egin{array}{c} 6.0-6.9 \ 5.4-6.1 \end{array}$	

#### Mirasterne

Stern	1950.0 RA Dekl.	Amplitude	Epoche 0 Julian. Tag	Periode
	h min ° ′	m m		d
$\mathbf{R}$ $\mathbf{Aql}$	$19 \ 4.0 + 8 \ 9$	5.7-12.0	24 41 502	293.0
R Boo	$14 \ 35.0 \ +26 \ 57$	6.7-12.8	41 398	223.5
V Boo	$14 \ 27.7 \ +39 \ 5$	7.0–11.3	$41 \ 452$	258.2
${f R}$ Cnc	$8 \ 13.8 \ +11 \ 53$	6.2–11.8	41 348	361.7
${f T} \ {f Cep}$	21  8.9  +68  17	5.4-11.0	41 432	387.8
R Cyg	$19 \ 35.5 + 50 \ 5$	6.5–14.2	41 489	426.4
RT Cyg	$\begin{array}{ cccccccccccccccccccccccccccccccccccc$	6.4-12.7	24 41 538	190.2
T Her	$\begin{array}{cccccccccccccccccccccccccccccccccccc$	6.8-13.6	$41\ 679$	165.0
R Leo	$9 \ 44.9 + 11 \ 40$	4.4-11.3	41 402	312.6
${f R}$ ${f Tri}$	$2 \ 34.0 \ +34 \ 3$	5.5-12.6	41 468	266.4
R Vir	12 36.0 + 7 16	6.2–12.1	41 623	145.5

6 Ahnert, Prakt. Astronomie

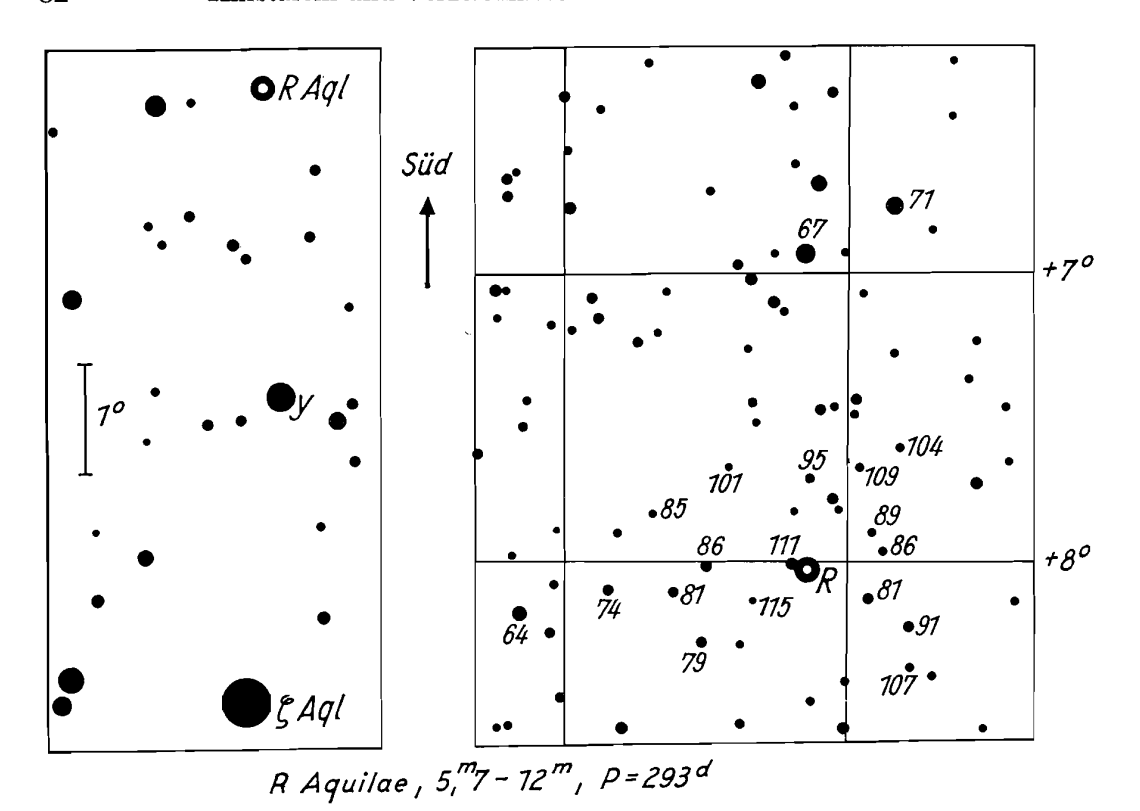
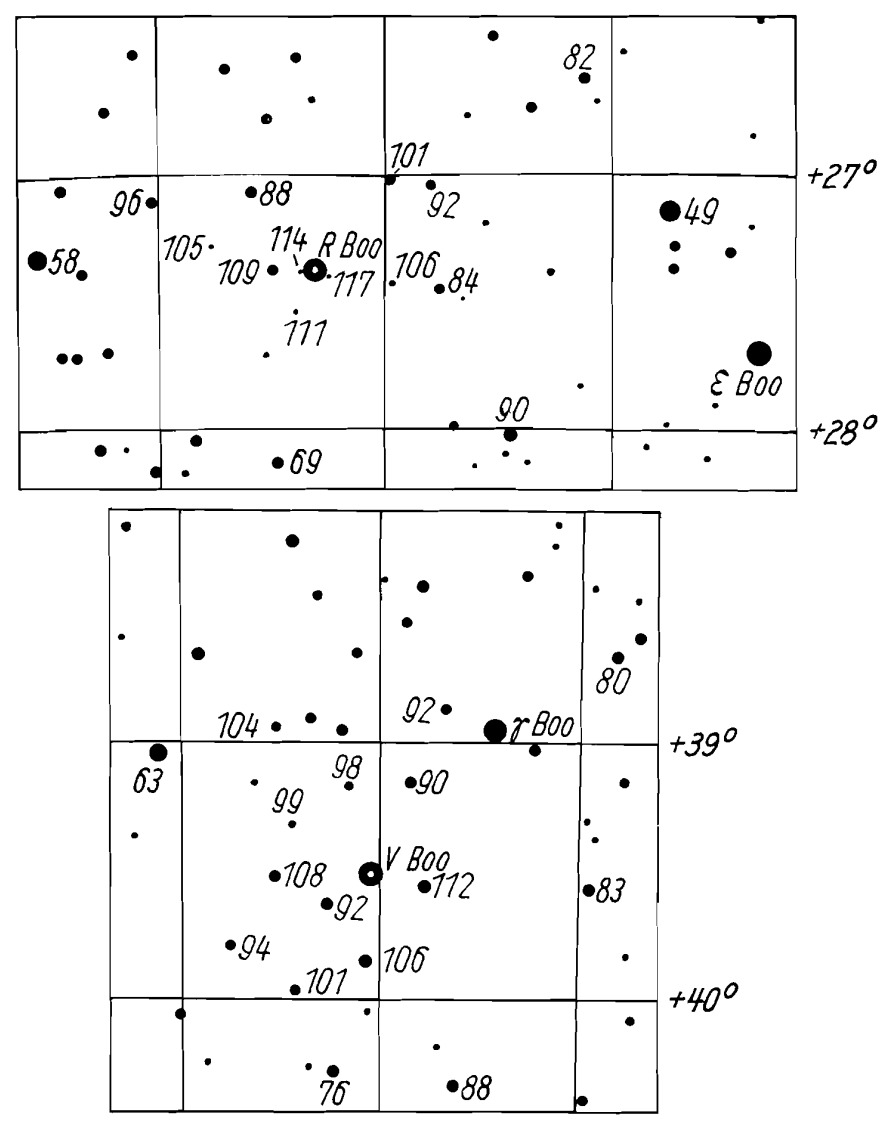
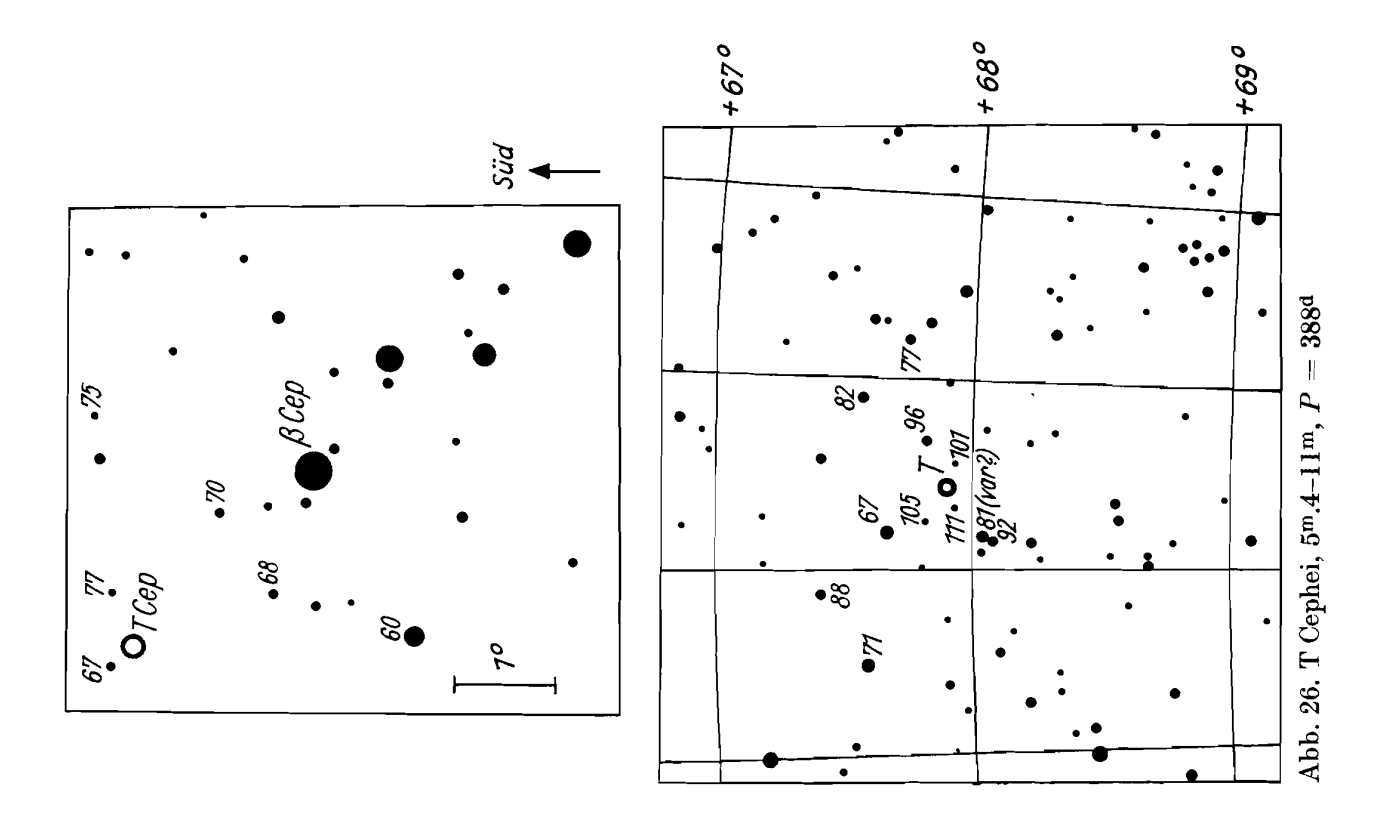


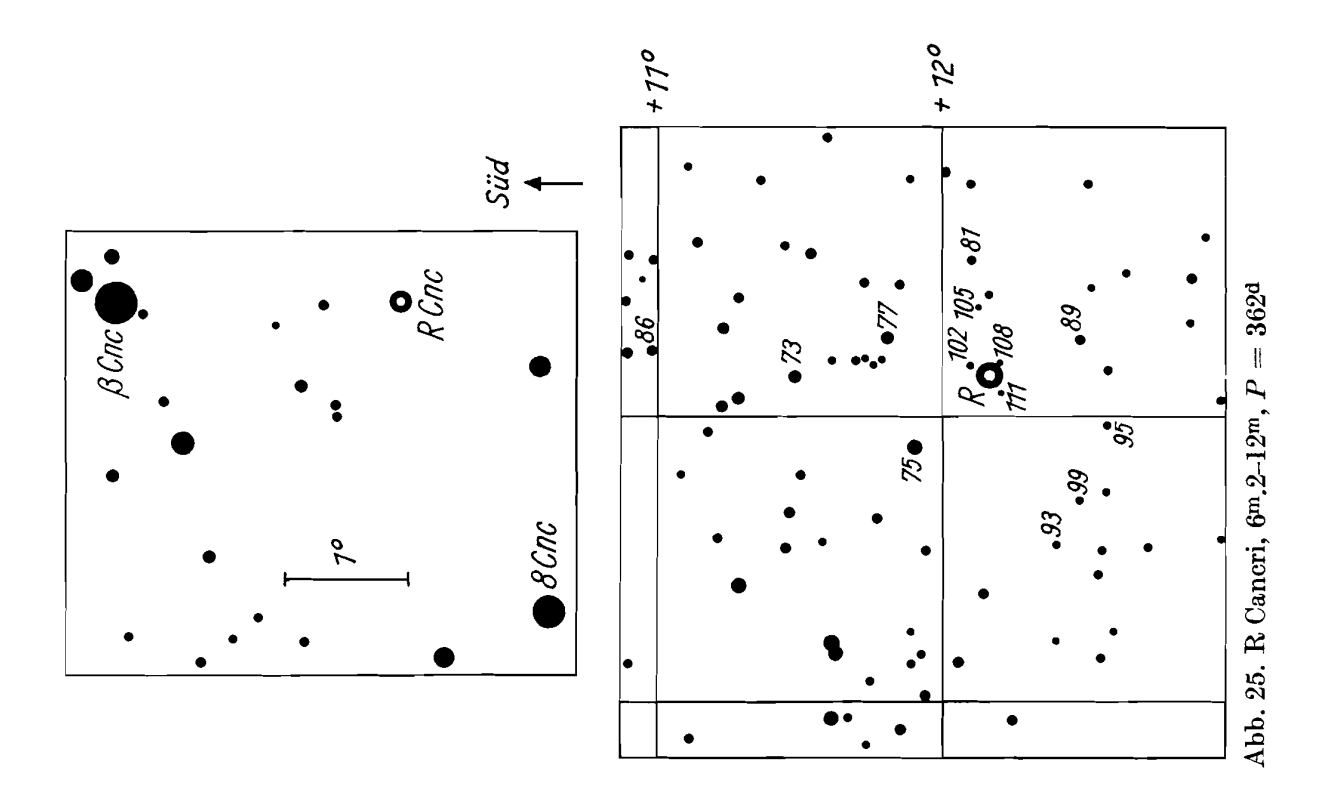
Abb. 23. R Aquilae, 5<br/>m.7–12<sup>m</sup>,  $P\,=\,293^{\rm d}$ 

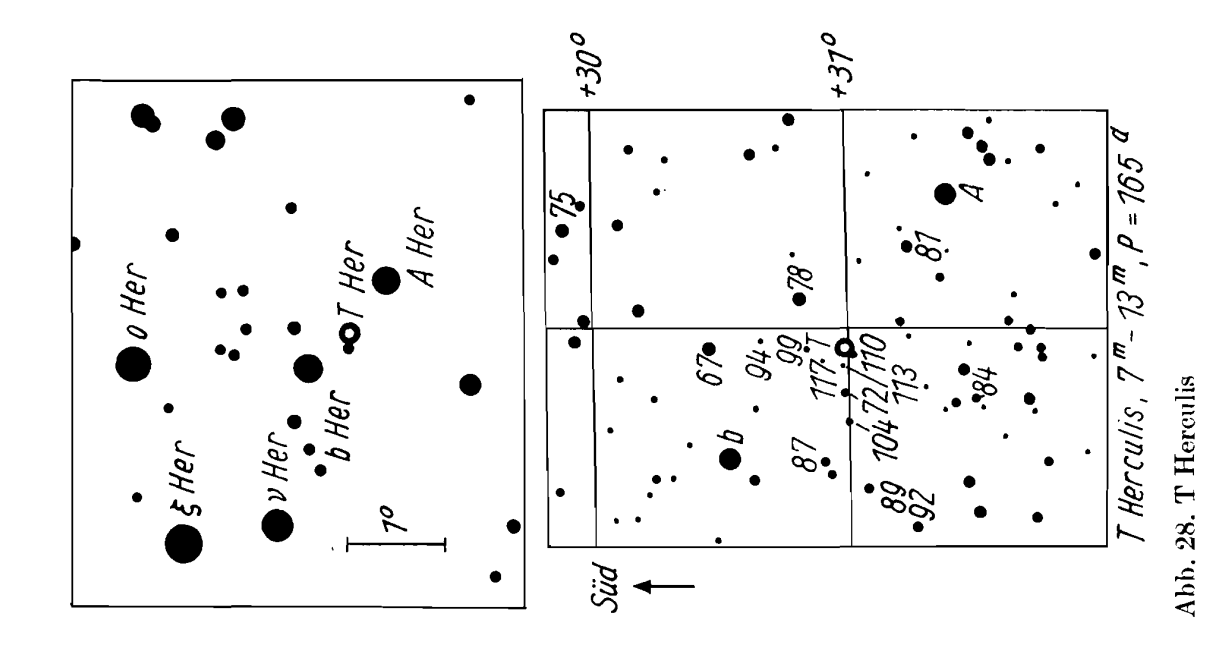


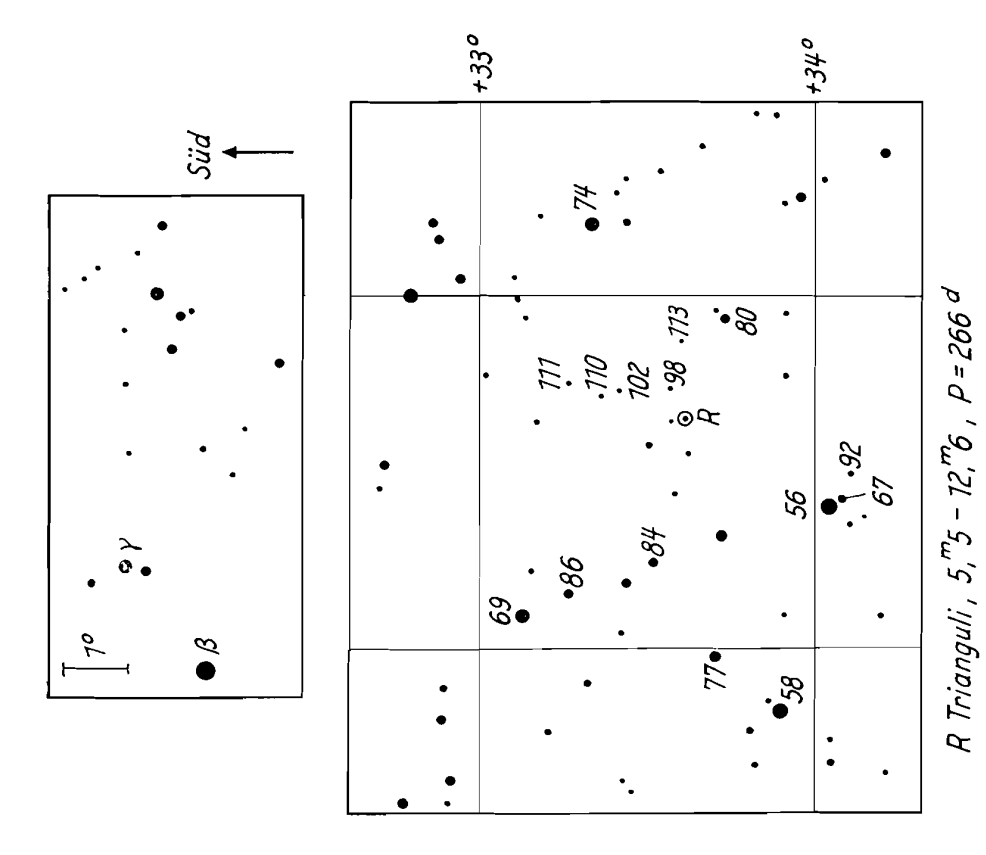
R Bootis, 6,<sup>m</sup>7 - 13<sup>m</sup>, P=223 d V Bootis, 7,0 - 11, P=258 d

Abb. 24. R Bootis,  $6^{\rm m}$ .7–13 $^{\rm m}$ ,  $P=223^{\rm d}$ ; V Bootis,  $7^{\rm m}$ .0–11 $^{\rm m}$ ,  $P=258^{\rm d}$ 









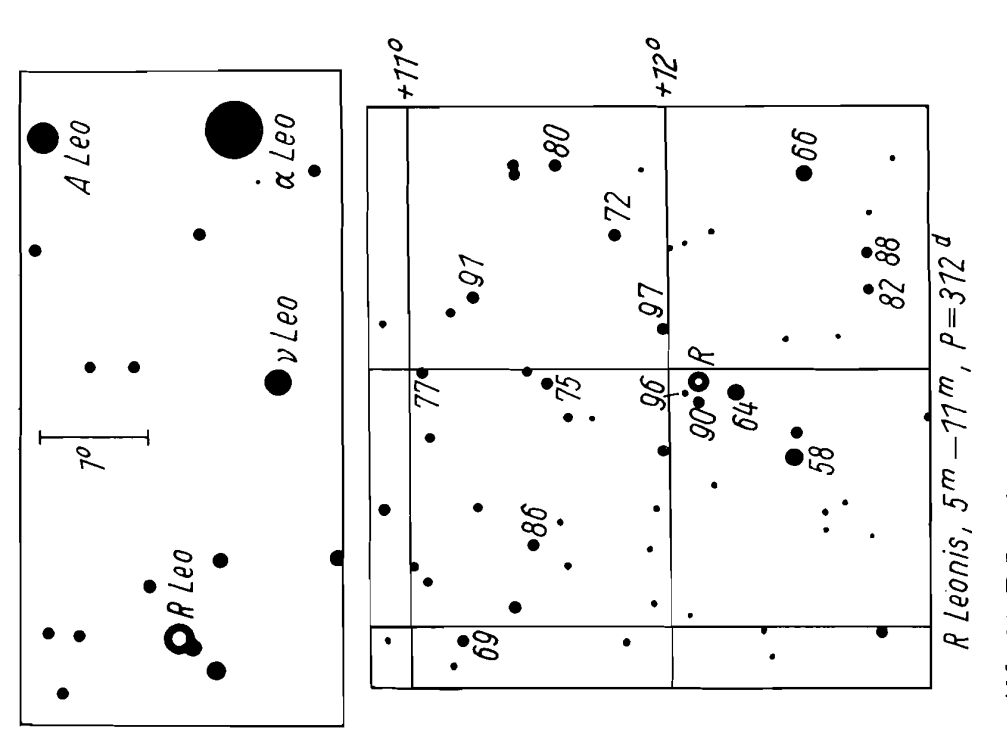
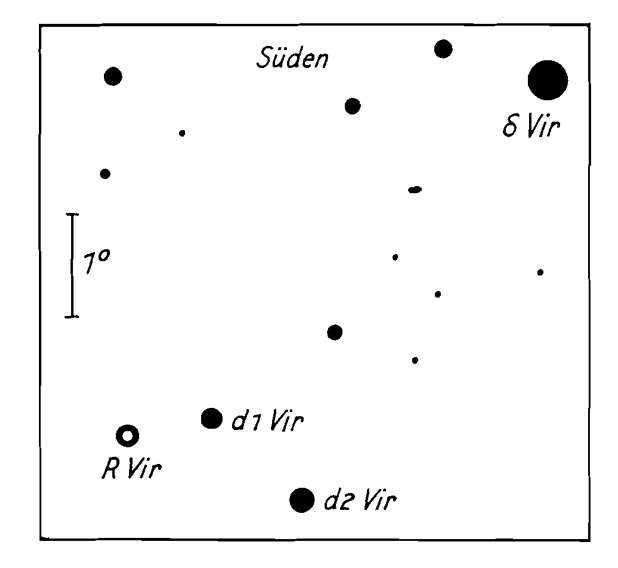
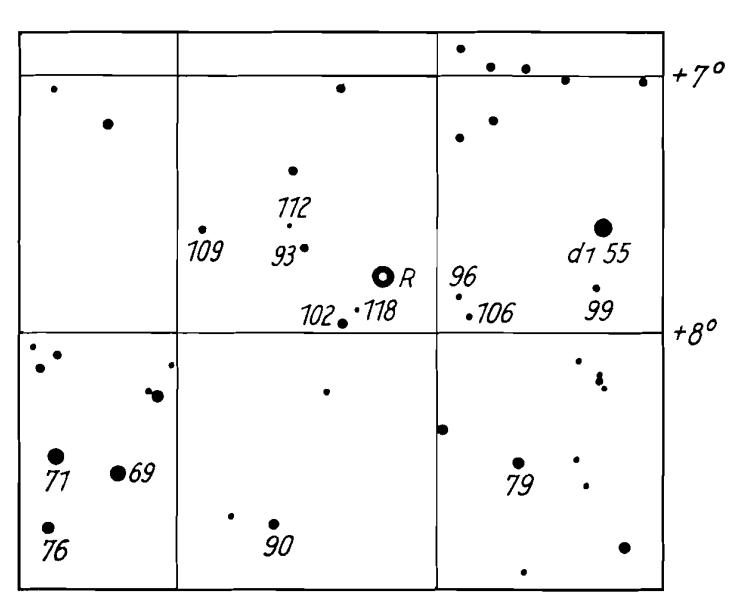


Abb. 29. R Leonis

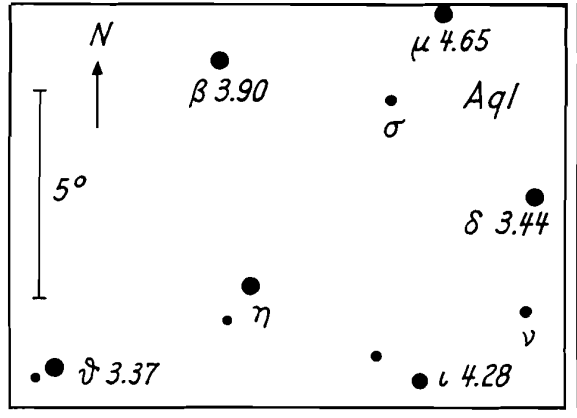
Abb. 30. R Trianguli, 5<br/>m.5–12°,  $P=266^{\rm d}$ 





R Virginis, 6, 2 - 12 , P = 145 d

Abb. 31. R Virginis,  $6^{\text{m}}.2-12^{\text{m}}$ ,  $P = 145^{\text{d}}$ 



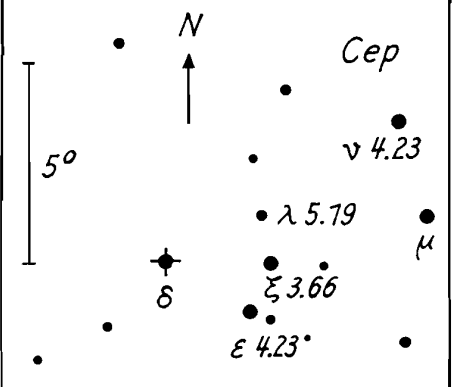
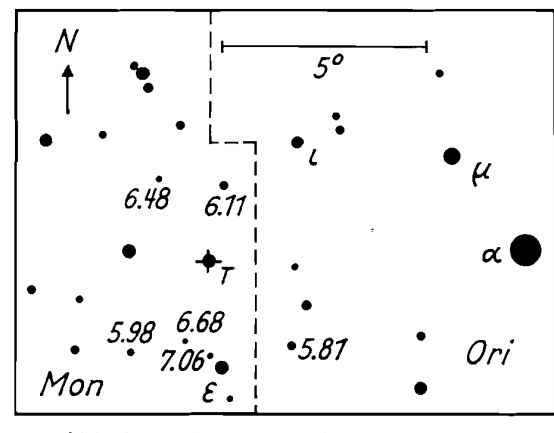


Abb. 32 n Aquilae

Abb. 33 & Cephei



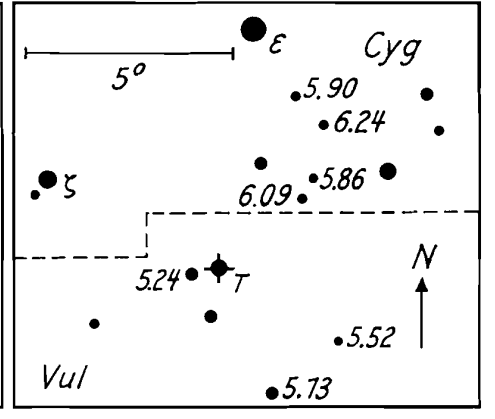
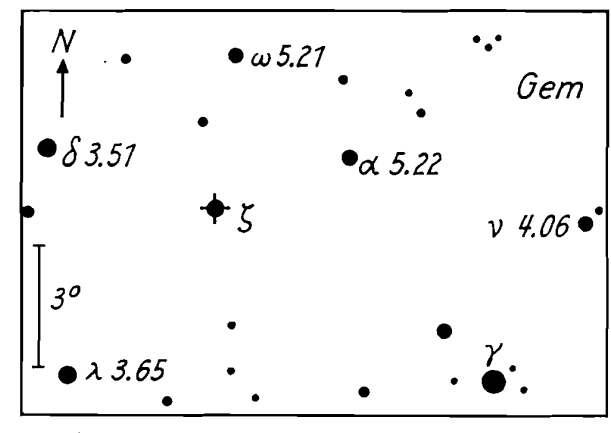


Abb. 34 T Monocerotis

Abb. 35 T Vulpeculae



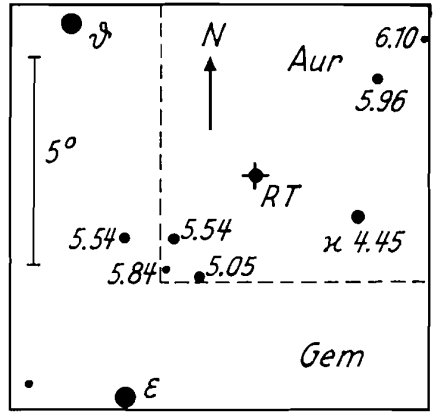


Abb. 36 & Geminorum

Abb.37 RT Auriga

Abb. 32.  $\eta$  Aquilae Abb. 33.  $\delta$  Cephei

Abb. 34. T Monocerotis

Abb. 35. T Vulpeculae

Abb. 36. ζ Geminorum

Abb. 37. RT Aurigae

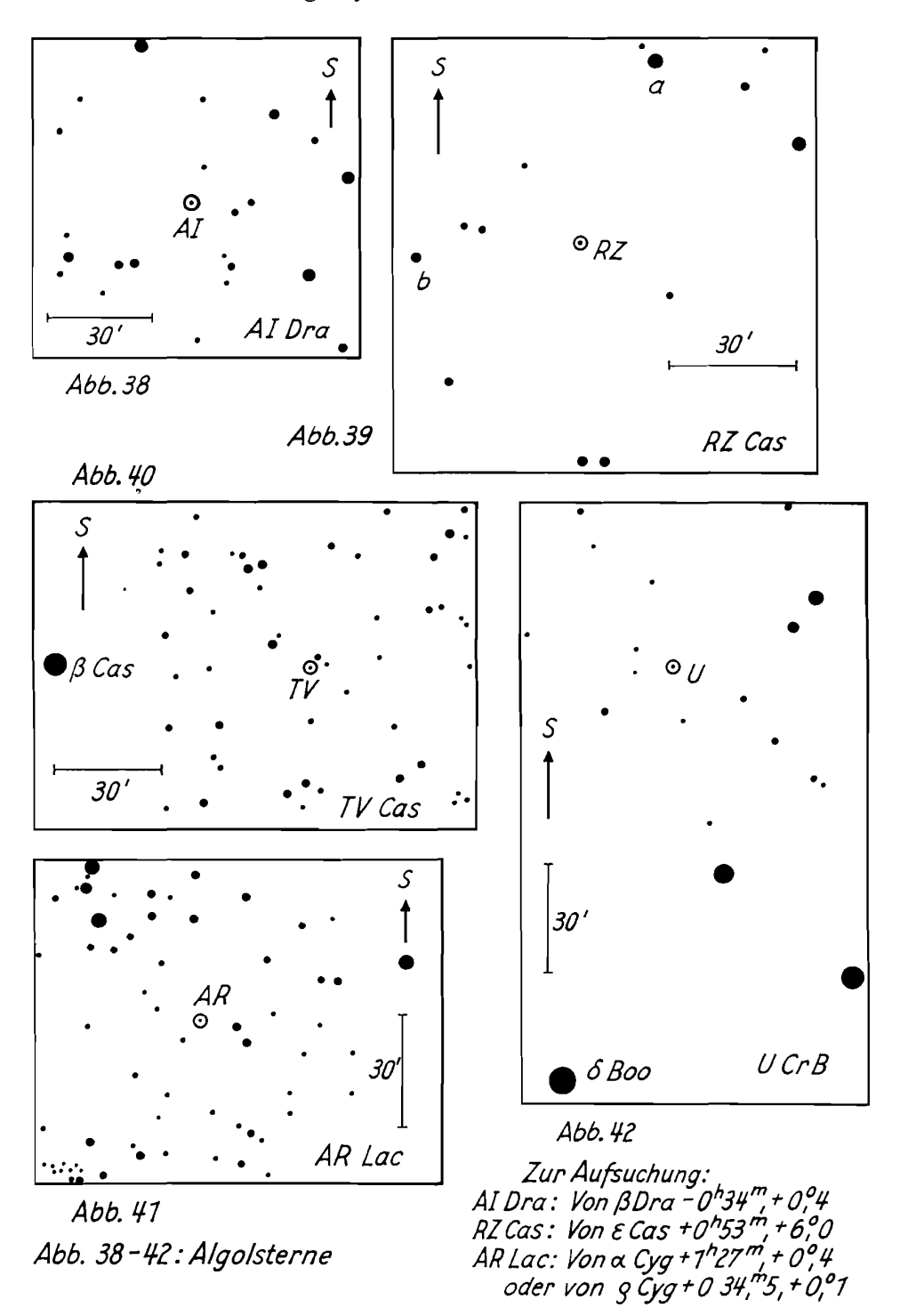


Abb. 38. RZ Cassiopeiae Abb. 39. TV Cassiopeiae Abb. 40. U Coronae Borealis Abb. 41. AI Draconis Abb. 42. AR Lacertae

### 3.3.6. 225 Doppelsterne

Die folgenden Tafeln enthalten eine Auswahl von visuellen Doppelsternen zwischen dem nördlichen Himmelspol und 25° südlicher Deklination. Es sind mit wenigen Ausnahmen nur solche Paare aufgenommen worden, deren schwächere Komponenten die 9. Größenklasse nicht unterschreiten und deren Distanzen nicht kleiner als 1" sind. Einige Doppelsterne unterhalb dieser Auswahlgrenzen sind wegen ihrer bedeutenden bisherigen Relativbewegung (= Änderung von Positionswinkel P und Distanz  $\varrho$  seit 1830) mit in das Verzeichnis aufgenommen worden, z.B. die Systeme ADS 1129 AC =  $\psi$  Cas und ADS 7067.

Die 14 Spalten des Verzeichnisses geben für jedes Objekt die folgenden Größen:

Spalte 1: Nummer des Doppelsterns im Doppelsternkatalog von R. G. AITKEN, dazu die Komponentenbezeichnung, falls das Objekt aus mehr als zwei Einzelsternen besteht.

Spalte 2: Benennung des Objekts mit griechischem Buchstaben und Sternbildabkürzung (nach Flamsteed), wenn diese nicht vorhanden, mit Nummer und Sternbildabkürzung (nach Bayer). Sind weder diese noch jene Bezeichnungen vorhanden, so sind die Nummern der Doppelsterne in den Katalogen der Entdecker angegeben, wobei  $\Sigma = W$ . Struve, O  $\Sigma = O$ tto Struve,  $\beta = B$ urnham und Se = A. Secchi bedeuten.

Spalten 3 und 4: Rektaszension  $\alpha$  und Deklination  $\delta$  für das Äquinox 1950.

Spalte 5: Scheinbare visuelle Helligkeiten der Komponenten nach dem Katalog von A. Wallenquist (Uppsala Astronomiska Observatoriums Annaler, Bd. 4, Nr. 2, 1954).

Spalte 6: Spektraltypen der Komponenten, soweit bekannt, nach den Angaben des Henry-Draper-Katalogs.

Spalten 7, 8 und 9: Positionen des Begleiters relativ zum Hauptstern (= der hellere von beiden) in Form der Polarkoordinaten P (= Positionswinkel), gezählt von 0° (Norden) über 90° (Osten), 180° (Süden), 270° (Westen) nach Norden zurück, und  $\varrho$  (= Distanz) in Bogensekunden. Die relativen Positionen sind für eine der Gegenwart möglichst nahe gelegene Epoche gegeben.

Dazu wurden vorwiegend photographische Messungen von K. Aa. Strand und Mitarb. (Publ. US Naval Obs., Ser. II, Vol. 7, pt. I, 1963, und Vol. 8, pt. 7, 1969), G. Böttger (Publ. Astrophys. Obs. Potsdam, Bd. 30, H. 4) und U. Güntzel-Lingner (ebd., Bd. 30, H. 3, 1962) herangezogen. Für eine Anzahl Paare ohne neuere photographische Messungen sind visuelle Beobachtungen von F. C. Bertiau, A. W. Bespalow, W. H. van den Bos, P. M. Djurkovič, H. Haupt, W. D. Heintz, J. Hopmann und R. R. Freitas Mourao verwendet. Die relativen Positionen von 48 Paaren mit bekannten Bahnen (s. Verzeichnis S. 101) wurden für die Epoche 1970 dem "Troisième Catalogue d'Éphémérides d'Étoiles Doubles" von P. Müller und C. Meyer (Publ. Obs. Paris, Sept. 1969) entnommen. Nur bei 24 Paaren sind aus Mangel an neueren Messungen ältere Daten auf eine Epoche zwischen 1960 und 1970 extrapoliert.

Spalte 10: Die trigonometrischen Parallaxen nach dem Katalog des Yale Observatoriums (L. F. Jenkins, General Catalogue of Trigonometric Stellar Parallaxes 1965) oder, wenn diese nicht meßbar war, die (in Klammer gesetzte) dynamische Parallaxe. Die Entfernung e eines Doppelsterns in Lichtjahren ergibt sich aus der Parallaxe  $\pi$  mit Hilfe der Formel  $e = \frac{3.259}{\pi}$ .

Spalte 11: Charakteristik der relativen Bewegung des Begleiters "ph" besagt, daß der Begleiter physisch mit dem Hauptstern verbunden ist, sich also um diesen in einer Ellipsenbahn bewegt. "op" besagt, daß der Begleiter "optisch" ist, sich also entweder weit vor oder weit hinter dem Hauptstern befindet und mit diesem nur scheinbar einen Doppelstern bildet, weil er mit ihm von der Erde aus nahe in der gleichen Richtung gesehen wird. Die optischen Paare sind an der geradlinigen Bewegung des Begleiters relativ zum Hauptstern erkennbar, während sich die physischen Paare durch gekrümmte Relativbewegung verraten. Bei vielen Doppelsternen mit nur sehr geringer Relativbewegung kann man aus der gemeinsam gerichteten und gleichgroßen Eigenbewegung auf physische Zusammengehörigkeit schließen. Ein Fragezeichen gibt an, daß die Entscheidung, ob der Doppelstern physischer oder optischer Natur ist, bisher noch nicht zu treffen war. Paare, die mit "B" bezeichnet sind, haben bisher so große gekrümmte Relativbewegungen gezeigt, daß daraus Bahnelemente berechnet werden konnten. Dies war bei 48 Doppelsternen des Verzeichnisses möglich. Die zugehörigen Bahnelemente dieser Sterne sind in dem zweiten Verzeichnis (Seite 101) mitgeteilt.

Spalten 12 und 13: Änderung der relativen Koordinaten P und  $\varrho$  zwischen 1830 und der in Spalte 9 gegebenen Epoche, in einzelnen Fällen von einer späteren Epoche ab gerechnet, was durch Anmerkungen (s. Spalte 14) bekannt gemacht ist. Im Positionswinkel P ist die Änderung bis herunter zu 1° angegeben. Bei Doppelsternen mit Positionswinkeländerungen über 180° ist die Distanzänderung nicht angegeben, weil diese infolge der elliptischen Bahnbewegung in einem Zeitraum von 125 Jahren mehrmals verschiedenes Vorzeichen haben kann. Diese Fälle sind in Spalte 13 durch einen Querstrich bezeichnet. Das Vorzeichen + bei einer Änderung besagt, daß die betreffende Koordinate seit 1830 um den genannten Betrag zugenommen hat. Das Vorzeichen - gibt eine Abnahme seit 1830 an. Will man also die in den Spalten 7 und 8 angegebenen jüngsten Koordinaten P und  $\varrho$  auf 1830 umrechnen, so sind die Änderungen mit dem entgegengesetzten Vorzeichen anzubringen.

Spalte 14: Hinweisnummern für die am Fuße dieser Seite gegebenen Anmerkungen, zu deren Verständnis eine Erklärung gegeben wird. Die dort angegebenen Perioden von spektroskopischen, photometrischen und astrometrischen Doppelsternen, die unter den Komponenten des Hauptverzeichnisses vorkommen, sind dem "Sixth Catalogue of the Orbital Elements of Spektroskopie Binary Systems" von A. H. Batten (Publ. Dominion. Astrophys. Obs. Victoria, Vol. 13, Nr. 8, 1967) entnommen.

Es werden folgende Abkürzungen benutzt:

```
A
          = Hauptstern
                                               trip. = dreifacher Stern
В
          = Nebenstern
                                               U
                                                    = Umlaufzeit
\mathbf{C}
          = zweiter Begleiter
                                                    = Periastrondistanz bei Hyperbelbahnen
                                               q
          = visueller Doppelstern
                                                    = Lichtwechselperiode
                                               p
          = spektroskopischer Doppelstern
sp. dpl.
                                               var = veränderlicher Stern (phys.)
ph. dpl.
          = photometrischer Doppelstern
                                                    = irregulär veränderlich
                                               irr
untr. dpl. = untrennbarer Doppelstern
                                                    = Änderung in P und \rho seit ...
```

(1) A sp. dpl.,  $U = 143^{\circ}.6 - (2)$  B sp. dpl.,  $U = 9^{\circ}.08 - (3) * 1852 - (4)$  A untr. dpl.,  $U = 30^{\circ}.5$ zugleich Var. Cepheid W Vir-Typ – (5) B sp. dpl.,  $U = 2^{d}.67$ , \* 1843 – (6) A sp. dpl.,  $U = 14^{d}.7$ , B sp. dpl.,  $U = 2^{d} \cdot 2 - (7)$  AB-C Hyperbel  $q = 6'' \cdot 71 (1960) - (8)$  A sp. dpl.,  $U = 9^{d} \cdot 9 - (9)$  A sp. dpl.,  $U=3^{d}.85-(10)*1875-(11)$  AB ist Zentrum im offenen Sternhaufen NGC 1502 -(12) \* 1821 - (13) A sp. dpl., U = 2d.95 - (14) A sp. dpl., U = 1031d.4 - (15) A sp. dpl.,  $U = 21^{\rm d}.9$ , B sp. dpl.,  $U = 9^{\rm d}.86$ , BC vis. dpl.,  $\varrho = 0$ ".2 - (16) A sp. dpl.,  $U = 3^{\rm d}.79$  - (17) A sp. trip.,  $U = 7^{d}.99$  und  $U = 9^{a}.2$ , \* 1849 – (18) A sp. dpl.,  $U = 5^{d}.73$  – (19) B sp. und ph. dpl.,  $U = 6^{\circ} .50$  (BM Ori) - (20) A sp. dpl.,  $U = 29^{\circ} .14$  - (21) AB vis. dpl.,  $U = 274^{\circ}$  (1961) -(22) \* 1870 - (23) \* 1871 - (24) \* 1875 - (25) A sp. dpl.,  $U = 331^{d} - (26)$  A sp. dpl.,  $U = 2238^{d} - 6$ (27) A sp. dpl.,  $U = 2^{d}.26 - (28)$  A sp. dpl.,  $U = 9^{d}.21$ , B sp. dpl.,  $U = 2^{d}.93$  Parallaxe A = 0".005, B = 0".016 - (29) C sp. und ph. dpl., U = 0d.81 (YY Gem) - (30) \* 1854 -(31) C untr. dpl.,  $U = 17^{\circ}.5$ , \* 1841 - (32) BC vis. dpl.,  $U = 21^{\circ}.82$  - (33) \* 1874 - (34) AB vis. dpl.,  $U = 15^{a}.1$  (1965), C sp. dpl.,  $U = 9^{d}.90 - (35) * 1845 - (36) * 1855$ , Parallaxe von B ist  $\pi = 0$ ".007 - (37) A untr. dpl., U = 1a.832, B sp. dpl., U = 3d.98 - (38) B sp. dpl., U = 1 $23^{d}.54 - (39) * 1823 - (40)$  B sp. dpl.,  $U = 7^{d}.34 - (41)$  A sp. dpl.,  $U = 44^{d}.41$  und B sp. dpl.,  $U = 1^{d}.46$  (42) Parallaxe von B ist  $\pi = 0''.016$  - (43) B sp. dpl.,  $U = 3^{d}.29$  - (44) A sp. dpl.,  $U = 5^{d}.5 - (45) * 1844 - (46)$  A untr. und sp. dpl.,  $U = 20^{d}.53$  und B sp. dpl.,  $U = 175^{\circ} \cdot .55 - (47)$  BC vis. dpl.,  $U = 39^{\circ} \cdot .5 (1958) - (48) * 1876 - (49)$  B sp. und ph. dpl..  $U = 0^{\rm d}.268 - (50)$  A sp. dpl.,  $U = 298^{\rm d}.75 - (51) * 1846 - (52)$  A sp. dpl.,  $U = 12^{\rm d}.58 -$ (53) \* 1847 - (54) A sp. dpl.,  $U = 6^{d}.828 - (55)$  A sp. dpl.,  $U = 5^{d}.93$ , \* 1876 - (56) \* 1821 -(57) \* 1847 - (58) A sp. dpl.,  $U = 1^{d}.14 - (59) * 1822 - (60) * 1822 - (61)$  A irr. var ( $\mu$  Cep-Typ) und B sp. dpl.,  $U = 51^{\circ}.58 - (62) * 1822 - (63)$  B sp. dpl.,  $U = 38^{\circ}.60 - (64) * 1823 - (65)$  A untr. dpl., U = 18a.1 (1906) - (66) B sp. dpl., U = 10d.52 - (67) A sp. trip., U = 1d.85 und  $U = 386^{\circ} \cdot 0 - (68)$  A sp. dpl.,  $U = 4^{\circ} \cdot 30 - (69)$  A sp. und ph. dpl.,  $U = 12^{\circ} \cdot 91 - (70)$  A sp. dpl.,  $U = 138^{d}.42 - (71) * 1824 - (72)$  BC vis. dpl.,  $U = 63^{a}.1 (1969) - (73)$  A sp. dpl.,  $U = 4^{d}.47 - (1969) - (1969)$ (74) \* 1824 - (75) \* 1847 - (76) AB vis. dpl.,  $U = 101^{a}.5$  (1965) und AB/2 - C Hyperbel mit q = 10".78 (1965) - (77) B untr. dpl., U = 4a.8 (1957) - (78) \* 1845 - (79) A sp. und ph. dpl.,  $U = 0^{d}.19 - (80)$  A sp. dpl.,  $U = 3^{d}.71 - (81)$  A sp. dpl.,  $U = 17^{d}.33 - (82)$  B sp. dpl.,  $U = 1^{d}.15 - (81)$ (83) \* 1824 - (84) B untr. dpl.,  $U = 25^{2}.5$  (1968) - (85) A var.,  $p = 5^{4}.366$  (Pulsation) - (86) \* 1845 - (87) A sp. dpl., U = 2323d.6 - (88) \* 1824.

AITKEN- Katalog	Stern	1950.0	Visuelle	Spektrum	Relativ	Relative Positionen	onen	Paral- laxe	Charak- teristik	Änderung seit 1830	rung 830	Be-
Nr.		φ	Größen		P	ö	$\left rac{Ep}{1900+} ight $	$\pi$	relativen Bewegung	$\text{in } P \; \Big  \;$	in Q	kungen
		h min ° ′	m m		0	"		"		0	"	
$513\mathrm{AB}$	$\pi$ And	+33	4.5 8.8	B3	172.9	36.04	0.99	ı	۵.	- 2	0.0	-
558	55 Psc	37.3 + 21 10		<b>K</b> 0	194.1	6.57	65.7	9000	۵.	+	+0.2	
639	$\Sigma 1~{ m App.}~{ m I}$	+30	7.4 7.5		48.8	46.96	64.8	ı	qd		+0.5	
671 AB	$\eta$ Cas	+24			301.3	11.45	70.0	0.182	,e	+213	1	
683	$65~\mathrm{Psc}$	47.2 +27 26		F0 F0	294.9	4.49	65.9	0.007	hd	- 4	0.0	
899 AB	$\psi^1$ Psc	+21	5.6 5.8	A2 A0	159.3	29.86	64.8	(0.018)	ųα	-	0.0	
996 AB	¿ Psc	11.1 + 7 19	5.6 - 6.6	A5 F8	63.1	23.08	8.99	0.023	۱ ۵۰		-0.4	87
1129 AC	$\psi$ Cas	+67		К0	117.6	22.55	0.89	0.012	do	+16	-9.7	
1134 AC	05.30			F8 G0	105.5	56.75	56.0	t	٠.	0	-0.3	က
1477	lpha UMi	48.8 + 89 2		F8	220.4	18.36	0.99	0.003	qd	+10	+0.1	4
1	•	1										
1001	γ Ari	+	4.8 4.9	A0p A0p	0.1	7.88	61.7	0.021	\ \ \	0	-0.8	
1538	$\Sigma$ 186	53.3 + 136			20.8	1.36	0.02	0.025	В	>360	ı	
1563	λ Ari	+23	4.9 7.4	A5 G0	46.6	37.11	68.0	0.025	hф	+ 1	-0.8	
1615	$lpha  \mathrm{Psc}$	59.5 + 2.31	4.3 5.3		288.0	1.86	70.0	1	j. B	<b>-48</b>	-1.8	
1630 A-BC	γ And	2 0.8 + 42 6			63.2	9.78	6.99	0.005	٠.	0	-0.6	
1 630 BC	y And	+42		Α0	110.4	0.49	70.0	0.005	<u> </u>	<del>- 098</del> <	ı	ıc
1697	, Tri	9.5 + 30 4		05	71.4	3.86	59.8	0.002	ųа	6-	+0.1	9
	t Cas	24.9 + 67 11	4.8 7.0	Абр	236.9	2.29	70.0	0.021	P	-40	+0.5	ı
AC	_			m A5p	113.9	7.24	8.99	0.021	qd	+ 1	4.0-	7
1982	30 Ari	34.1 + 24.26		F5 F5	274.1	38.22	57.0	0.017	۱۵۰	+	-0.3	<b>∞</b>
2080	y Cet	40.7 + 3 2	3.7 6.4	A2	296.1	2.77	65.8	0.048	Чd	+ 4	+0.1	
2122	$\Sigma305$	+19	7.4 8.2	£	309.9	3.61	70.0	0.036	B	-21	+2.1	
2151 AB	$\pi$ Ari		5.4 8.4	B5	119.6	3.22	65.5	!	٠.	+ 1	0.0	6
2257	$\epsilon$ Ari	56.4 + 21 8		A2 A2	205.4	1.38	66.1	1	ųd	+ 17	4.0.8	
2270	$\Sigma$ 331	52			85.0	11.88	59.0	ı		0	-0.3	

10	11 12	13 14	15 16	17	19
+ 0.3 - 1.0 + 7.1 + 0.1	$\begin{array}{c} -0.1 \\ -6.4 \\ +0.1 \\ +0.2 \\ -0.1 \end{array}$	$\begin{array}{c} + 0.9 \\ + 0.1 \\ + 0.2 \\ - 1.2 \\ - 0.1 \end{array}$	+ 0.2 + 0.1 + 0.1 + 0.2	$\begin{array}{c} + 0.5 \\ - 0.1 \\ - 0.2 \\ 0.0 \end{array}$	+ + + 0.4 + 0.4 + 0.1 + 0.1
$\begin{array}{c c}  & 0 \\  & -27 \\  & + 8 \\  & 0 \\  & -1 \end{array}$	+ + 1 + + 1 - + 1 - 2	-17 $0$ $0$ $-1$ $+8$	$\begin{array}{cccccccccccccccccccccccccccccccccccc$	+++	++
op op	do	dq 'qq'		dq dq ?. °	dq dq dq dq
(0.024)	_ _ _ (0.007) (0.002)	(0.022) 0.008 (0.011)	(0.011)	0.004 (0.015) (0.001) (0.012) 0.004	0.006
66.9 65.7 57.1 55.1 61.8	67.0 57.1 65.8 66.9 67.1	66.8 62.8 60.7 63.9 61.8	62.9 55.1 67.0 62.0 55.1	60.2 66.9 64.2 55.1 66.5	59.8 58.2 64.8 65.8
11.40 1.86 129.70 6.84 7.48	17.90 50.41 19.42 10.34 2.91	4.06 63.28 9.28 5.25 6.98	9.90 14.47 39.31 3.43 31.87	1.45 4.77 1.96 9.64 52.74	4.33 36.23 8.82 12.86 21.48
269.6 77.6 46.8 347.7 127.1	304.5 252.5 24.7 307.9 276.8	193.5 213.6 317.5 359.7 63.1	203.4 225.6 18.4 95.5 28.7	84.2 205.8 26.8 140.4 359.3	43.4 223.8 31.4 131.6 95.8
A2	B0 B1	ਜ ਹ	B8 A3	B9 B0	0e5   B1 B5p   0e5
A0 F5 G0 G6 F5	B0 K0 B9 B1 B8	F0 B5 F5 A0 K0	B8p A2 B8 G0 B3	B1 B3 B9 B9	0e5 B1 B5p B5p B5p
6.9 7.6 6.8 6.4 7.9	7.1 8.7 8.3 6.9 7.0	7.3 6.8 7.9 8.6	6.8 8.1 6.4 6.7	5.1 6.7 6.9 6.5 7.0	5.7 5.7 8.0 5.4 6.9
6.5 7.5 6.7 5.0 6.9	7.0 5.1 5.5 5.9	7.2 4.3 6.7 5.1	0.3 6.2 5.4 5.1	3.7 5.9 5.9 6.1 2.5	3.7 4.7 7.0 7.0 7.0
3 28.3 +27 24 37.0 +33 57 41.6 +27 45 51.8 - 3 8 58.0 +23 4	4 3.4 +62 12 17.3 +27 14 19.5 +25 31 28.1 +53 48 30.6 +17 55	35.4 + 26 51 $39.2 + 22 52$ $41.2 - 8 53$ $55.8 + 37 49$ $5 10.7 + 2 48$	$12.1 - 8 \ 15$ $12.1 + 32 \ 38$ $17.1 - 18 \ 34$ $19.7 - 24 \ 49$ $20.2 + 3 \ 30$	$\begin{array}{c} 22.0 & -2 & 26 \\ 26.2 & +2.5 & 7 \\ 28.6 & +3 & 15 \\ 29.3 & +17 & 1 \\ 29.4 & -0 & 20 \end{array}$	32.4 + 9 54 $32.6 - 6 2$ $32.8 - 5 25$
Σ 401 Σ 425 0Σ App. 38 w Eri Σ 479	Σ 485 φ Tau χ Tau 1 Cam Σ 559	Σ 572 τ Tau 55 Eri ω Aur	$\beta$ Ori 14 Aur Lep 41 Lep m Ori	η Ori 118 Tau 33 Ori Σ 730 δ Ori	$\lambda$ Ori $\Sigma$ 747 $\vartheta$ Ori =Trapez im Nebel
2582 2668 2735 AB 2850 2926 AB	2984 AB 3137 3161 3274 AB 3297	3353 - 3409 3572 AB 3797 AB	3823 A-BC 3824 AC 3910 3954 AB 3962	4002 4068 AB 4123 AB 4131 4134 AC	4179 AB 4182 AB 4186 AB AC AD

1950.0
S .
h min ° '
58
36.2 - 2.38 - 3.9
8.8 8.00 ± 6.88
07 67
-158
+ 626
+37
44
$16.6 + 13 \ 28 \ 7.$
$21.1 + 4 \ 37 + 4.5$
0 4 -
5.2
29.4 + 17 + 49 - 7.
+59
$+55\ 46$
$+13\ 15$
-13 59
7  1.7  +52  50     6.
ro
15
+20
$+32  ext{ 0}$

29	30		31	32	33	34							i	35			36	37
+0.5	+0.9	-1.2 + 0.1 + 0.9	$-\frac{1}{9.0+}$	-0.1	0.0 	0.0 - 0.3	+0.2	-5.6	+0.4	-2.2 - +0.3	0.0	+0.9 -0.6	-0.1	+0.9	+1.9	+0.1	+0.4	
+ + 3 + + 10 	- + - 1 - + -	- 13 - 4 - 44 - 360	61	+11	$^{+}_{+189}$	0+76	+	+48	7	$+$ $+$ $\times$	-11	-16 + 17	+	-85	+18	ı	+ -	>360
dd dd	op?	ph Ph Ph	a m	dq 1	n B	~. A	qd	, P	$^{ m d}$	B ph	ųď	ud Va	hd	В	В.	۰.	ph g	e e
$\begin{vmatrix} 0.072 \\ 0.016 \\ - \end{vmatrix}$	0.025	(0.014) (0.010) (0.025)	0.039	(0.022)	0.058	$0.021 \\ 0.010$	(0.009)	0.089	0.001	0.163 $(0.005)$	0.033	(0.017)	(0.002)	(0.015)	0.019	(0.003)	(0.016)	0.007
67.2	65.8 64.2	63.0	67.0	64.9	70.0	67.2 65.1	60.1	67.2	6.99	66.9	62.3	67.4	63.9	70.0	66.4	64.0	63.2	70.0
73.80   9.47	7.11	2.14 3.55 2.55	5.65	5.76	3.12 1.11	$\begin{array}{c c} 30.42 \\ 2.90 \end{array}$	3.54	1.84	7.58	17.91	2.73	1.96 2.24	10.33	1.36	4.50	6.81	6.55	2.94
164.4 294.8 5.8	239.4 338.9	4.8 350.8 27.1	87.6	47.9	210.9	307.4 272.1	278.5	82.4	199.5	82.9     47.0	229.7	318.2	248.2	183.9	121.7	239.8	109.6	124.9
Mle F2	A0	F9	3 3	G A s	AZ	$^{4}$		K6	F4	K8					К0	G7	$\mathbf{A}0$	CO
A0 F2 F3	G5   A0	H5 B9 H6	38	A3	AZ G5	G5 F8	F8	<b>K6</b>	F3	K6 A5	A2	H T T	F2	F0	<b>K</b> 0	<b>K</b> 0	A0	F9
9.1 6.0	9.5	7.3	9.9 6.6	7.7	6.9	6.8	7.5	9.4	7.2	$8.1 \\ 6.6$	6.0	7.6	8.2	7.5	3.8	7.4	6.4 6.4	6.7 4.9
2.0 5.9	3.7	5.8 6.6 7.1	5.0	7.1	5.0 5.4	4.2 3.5	7.4	9.2	6.8	8.1 6.4	4.0	7.5 4.	8.1	7.2	2.6	6.3	4. t	6.4 4.4
7 31.4 +32 0 32.2 -23 22 41.9 ± 65 17	+24	45.6 -12 4 8 2.6 +27 40 6.4 +32 22		+24		$\begin{array}{c} 43.7 \ +28 \ 57 \\ 44.2 \ + \ 6 \ 36 \end{array}$	47.6 + 35 15	+71	+23	$\begin{array}{c} 11.4 \ +52 \ 55 \\ 15.4 \ +35 \ 35 \end{array}$	+37	21.8 + 6.34 $24.7 - 6.27$	+67	$10\ 13.6\ +17\ 59$	+20	+	52.9 + 25	15.1 + 63.45 $15.6 + 31.49$
$\alpha \operatorname{Gem}_{n \operatorname{Pup}}$	2 1122 % Gem 2 Pup		c one	24 Cnc	$\varphi^2$ Cnc $\beta$ 208	, Cnc ε Hya	$\Sigma$ 1282	$\Sigma$ 1280	$\Sigma$ 1311	$\sum 1321$ $\sum 1333$	38 Lyn	2 1348 2 1355	$\overline{\Sigma}$ 1350	$0\Sigma215$	$\gamma$ Leo	$35~\mathrm{Sex}$	54 Leo	2 اعاده ج UMa
6175 AC 6190 6310	6321 6348 AB	6381 6569 6623 AB	o o so O A B AB-C	6811 A-BC	$6815$ $6914  \mathrm{AB}$	6988 6993 AB-C	7034	7067 AB		7251 AB 7286	7 292 AB	7352 7380	7425 AB	7704	7724 AB	7902 AB	7979	8100 AB 8119 AB

Be- mer- kungen	38	36	40 41 42 43	44	45
Änderung seit 1830 $\cdot P \mid \text{in } \varrho$		+ 2.2 + 0.1 0.0 + 0.2 + 0.3	$ \begin{array}{c} -0.2 \\ +0.1 \\ - \\ +1.7 \\ -0.2 \end{array} $	+0.1 -0.6 -0.0 +0.4	+ 1.5 + 0.1 + 0.8
Ände seit in P	$\begin{array}{cccccccccccccccccccccccccccccccccccc$	+ 1 0 1 0 2	$egin{array}{c} -1 \\ +10 \\ -335 \\ -30 \\ -1 \end{array}$	$\begin{array}{c} + 132 \\ + 132 \\ - + + 2 \\ - 7 \end{array}$	$egin{array}{c} -19 \\ + & 4 \\ -332 \\ +348 \\ - & 2 \end{array}$
Charak- teristik der relativen Bewegung	dq dq dq dq	ud	h B B ph	hd B ' ' '	da a da
Parallaxe $\pi$	0.053 (0.025) 0.048	$\begin{array}{c} 0.019 \\ - \\ (0.017) \\ (0.009) \\ 0.018 \end{array}$	0.006 (0.018)	(0.021) 0.022 0.022 0.023 (0.012)	(0.024) 0.037 0.029 0.056 0.014
$egin{array}{c} Ep \ 1900 + \ \end{array}$	67.2 65.2 62.3 67.3 62.3	60.4 55.2 64.1 60.3 58.4	63.2 57.4 70.0 58.3 56.3	63.2 70.0 58.4 57.3 62.3	66.4 67.3 70.0 70.0
$egin{array}{c c}  ext{Relative Positionen} \ P & egin{array}{c c} Ep \ 1900 \ \end{array}$	28.58 5.50 9.54 148.05 3.72	12.75 14.43 20.05 8.97 24.32	$20.16 \\ 5.50 \\ 4.56 \\ 34.28 \\ 21.52$	15.96 0.86 28.60 19.79 3.70	2.09 14.42 1.71 3.24 13.40
$\left  \begin{array}{c} \mathrm{Relati} \\ P \end{array} \right $	° 149.7 357.8 253.0 89.3 236.8	221.6 218.6 195.9 245.3 214.6	270.6 309.4 303.3 181.7 326.1	201.4 157.3 126.9 227.5 282.2	339.9 151.3 104.1 151.9 236.0
Spektrum	K0 K3 A2 G0 K3 F0	K2 K1 F0 F0 F0 F0 F2 A0	K0 A3 F2 F0 F0 F0 A2 A0	A2 F2 K0 A0p A0p A2	F8 A2p A2 F0 K4 K4 A5 A5
Visuelle Größen	m m 6.5 7.6 5.3 8.6 6.6 8.4 6.0 8.7	8.1 8.3 7.3 7.8 6.7 7.1 7.0 7.1 3.1 8.3	5.2 6.8 6.0 6.0 3.7 3.7 6.8 7.4 5.3 5.8	7.7 8.2 5.3 7.3 5.0 9.7 2.9 5.5 6.0 7.7	7.3 7.5 2.4 4.1 5.1 7.1 7.8 8.2 4.6 6.8
1950.0 « δ	h min ° ' 11 24.3 + 3 17 26.4 +39 37 35.6 +45 23 12 1.7 +21 44	9.0 + 53 42 $14.1 + 80 25$ $15.6 - 3 40$ $18.2 + 27 20$ $27.3 - 16 15$	$egin{array}{cccccccccccccccccccccccccccccccccccc$	49.4 + 19 27 $50.8 + 21 31$ $53.7 + 38 35$ $54.1 + 54 22$	13 9.7 +32 21 21.9 +55 11 35.2 +36 33 46.8 +27 14 14 11.7 +52 1
Stern	83 Leo 57 UMa ∑ 1561 2 Com	$\Sigma 1608$ $\Sigma 1625$ $\Sigma 1627$ $\Sigma 1633$ $\delta Crv$	$\begin{array}{c} 24 \text{ Com} \\ \Sigma 1669 \\ \gamma \text{ Vir} \\ \Sigma 1678 \\ 32 \text{ Cam} \end{array}$	$\Sigma 1685$ 35 Com $\alpha \text{ CVn}$ $\Sigma 1695$	$0\Sigma 261$ $\zeta \text{ UMa}$ $25 \text{ CVn}$ $\Sigma 1785$ $\varkappa^2 \text{ Boo}$
AITKEN- Katalog Nr.	8162 8175 AB 8250 AB AC 8406	8450 8494 8505 8519 8572	8600 8627 AB 8630 AB 8659 8682	$egin{array}{c} 8690 \ AB \\ 8695 \ AB \\ A+B/C \\ 8710 \ AB \\ \end{array}$	8814 8891 AB 8974 9031

47	48	50	55 53 45	55 56 57	58 59
+ 0.6 + 0.2 - 0.2	+0.6	+0.5 - +1.3 - +0.1	+0.3 +0.8 - +1.0 0.0	- 3.1 + 0.4 + 0.6 + 0.8 + 1.0	+5.2 -1.0 -0.4 +0.3 +0.1
- $+$ $+$ $+$ $+$ $+$ $+$ $+$ $+$ $+$ $+$	$\begin{array}{c c} -349 \\ -349 \\ +90 \\ >+2 \\ >360 \end{array}$	$egin{array}{cccccccccccccccccccccccccccccccccccc$	$\begin{array}{c} + + 4 \\ + 54 \\ \hline \\ > 360 \\ - 27 \\ - \end{array}$	++   ++ 32 1 8 2 2	$egin{array}{c} +142 \\ -19 \\ - 9 \\ - 1 \\ - 1 \\ - 1 \end{array}$
". hyh B B	hy B B D B	hqq B B	ph B Ph ph	hqq hqq B	B hyph yh '.
0.008 - 0.007 0.013	0.002 0.145 0.076 (0.016) 0.063	0.030 0.030 0.015 0.048 (0.012)	0.015 (0.012) 0.036 0.036 0.004	0.011 0.020 0.020 0.020 0.050	0.047 (0.014) (0.014) (0.010)
64.4 60.3 64.4 70.0 66.5	58.2 70.0 70.0 62.3 70.0	57.2 70.0 60.3 70.0 65.2	57.5 68.4 70.0 65.5 65.1	60.5 68.4 66.4 66.4 65.5	70.0 59.0 66.4 60.0 57.5
38.65 6.23 5.65 1.16 2.65	1.93 7.11 0.47 4.26 0.62	108.92 2.09 3.92 1.13 11.87	6.29 1.39 1.20 7.61 13.71	28.14 1.16 41.44 1.90 4.16	6.46 3.10 3.30 90.72 69.77
32.7 192.0 107.5 307.5 337.2	356.2 339.8 324.2 210.9 182.8	171.5 19.1 178.6 195.9 189.0	304.3 165.9 6.0 52.0 22.8	12.0 1.3 335.4 51.8	231.2 344.0 107.6 193.6 229.6
A2 A0 A0	K5 G9 G5	K0 F0 K2 F8	B3 B3	G5 A K0	G0 B5 A0
A5 A0 A0 A2 K0	A2p G5 G0 G5 G5	F0 K0 F0 F8	B8 F5 F8 B1	G5 B3 B3 A G9	F7p B5 A2 A2 A0
8.3.4.0 8.3.8.0 8.0.0	6.7 7.0 6.0 7.6 6.0	6.8 7.8 5.3 7.6 6.6	6.1 8.0 5.1 7.3 5.1	6.5 6.4 6.6 7.8	6.8 5.9 6.6 6.8
4.8 5.1 4.9 7.2	5.8 4.8 4.7 7.7	4.5 7.1 7.7 6.5	5.1 7.6 4.8 4.2 2.9	5.3 4.4 4.4 6.6	5.8 5.2 5.6 5.6
20.9 + 8 40 38.4 + 16 38 38.8 + 13 57 42.8 +27 17	$46.6 - 13 57 \\ 49.1 + 19 19 \\ 15 2.2 + 47 51 \\ 5.2 + 9 25 \\ 21.1 + 30 28$	22.6 + 37 31 $32.4 + 10 42$ $34.3 + 39 58$ $36.0 - 8 38$	37.5 +36 48 58.6 +13 25 16 1.6 -11 14 2.5 -19 40	$5.8 + 17 11 \\ 9.1 - 19 20 \\ 11.0 + 13 40$	$12.8 +33 59 \\ 22.6 -23 20 \\ 35.0 +53 1 \\ 38.2 + 4 19$
t Boo Σ 1835 π Boo ζ Boo ε Boo	$\mu$ Lib $\xi$ Boo 44 Boo $\Sigma$ 1910 $\eta$ CrB	$\mu$ Boo $\delta$ Ser $0\Sigma 298$ $\Sigma 1962$	$\begin{array}{c} \zeta \text{ CrB} \\ 0\Sigma 303 \\ \xi \text{ Sco} \\ \end{array}$	κ Her ν Sco	σ CrB
9198 AB 9247 A-BC 9338 AB 9343 AB 9372 AB	9396 AB 9413 AB 9494 9507 9617 AB	9626 A-BC BC 9701 AB 9716 AB 9728	9737 9880 AB 9909 AB AB-C 9913 AC	9933 9951 AB AC CD 9969 AB	9979 AB 10049 AB 10129 AB AC 10149

Nr. 10157 10345 AR	Dietill	0.0001		Visuelle Größen		Spektrum	<b>u</b> n			En En	metrische (dyna-	laxe	seit 1830		be- mer-
		×	\$					P	Ö	1900+	mische) Parallaxe	$\pi$	in $P$	in $\varrho$	kungen
AR		h min	•	m m					"		"		0	"	
AR	ζ Her	39.4	+31  41		5.7	050		230.7	0.89	70.0	0.110	В	>360	1	
7	$\mu \; \mathrm{Dra}$		+54 32		$5.8$ $\overline{1}$		F5	58.6	1.98	70.0	0.043	В	-150	-1.3	
10417 AB	$36~\mathrm{Oph}$		-26 30	5.3		K0 K	_	158.9	4.52	70.0	0.183	В	89-	-1.0	09
10418 AB	$\alpha$ Her	12.4	+14 27					8.701	4.48	63.6	ī	hq	-11	-0.2	61
10424 AB	$\delta  \mathrm{Her}$	13.0	+24 54	3.2 8	8.8	A2 G		241.9	7.41	60.5	0.034	$^{ m to}$	-89+	-18.4	
10442	o Oph	15.0	-24 14	5.4 7		K0 F	F5 _ 3	354.9	10.90	67.5	0.008	Чa	- 1	-1.6	62
$10526\mathrm{AB}$	$\varrho$ Her		+37 11			·		316.4	3.97	64.3	I	- qd	6 +	+0.4	
_	$\Sigma 2180$	27.8	+50 55	7.6 7		$\mathbf{F}0$	24	261.2	3.10	65.5	1	٠.	4	-0.1	
	$ u^1 v^2 \text{ Dra} $		+55 13		_	A5 A	A5 3	311.5	61.99	57.4	0.026	qd	- 2	+0.2	63
10750	$61~\mathrm{Oph}$	42.0	+ 236	6.3	6.7	-	A0	93.4	20.64	66.4	1	10.	- 1	+0.1	
10759 AB	$\psi$ Dra	42.8	+72 11	4.9	6.1	F5 F	F5	15.5	30.31	67.5	0.046	6	+	9.0—	
10966 AC	67 Oph	58.1	- 2 56			a	_	141.9	54.23	66.7	i	٠,	-	? -	64
10993	$95~ m{Her}$		+21 36	5.1 5			$\frac{1}{2}$	258.2	6.34	56.5	ı	ųa	4	+0.3	•
11 005 AB	$\tau { m Oph}$	18 0.4	- 8 11					274.0	1.93	70.0	0.053	В	+74	+1.5	
11046 AB	70 Oph	2.9	+ 231		6.1	K0 G		54.8	2.38	70.0	0.188	В	>360	I	65
40	40/41 Dra					F5 F	F5 _ 2	231.7	19.27	60.5	0.021	hq	4 —	-1.4	99
	100 Her	5.8	+26 5			A3 A		182.7	14.21	67.5	(0.012)	٠.	0	+0.4	
11 336 AB	$39~\mathrm{Dra}$	23.2	+58  46	4.9 7	7.7	A2	G13	352.2	3.73	65.5	0.031	qd	-14	9.0+	
AC						A2 F		20.2	88.97	54.5	0.031	ųd	- 2	0.0	
11353	59 Ser	24.6	24.6 + 0.10			Α0		318.3	3.80	66.5	0.013	٠.	+	-0.2	29
	$\Sigma 2351$	34.6	+41 14		7.6	A0		$\frac{1}{339.9}$	5.11	67.6	(0.003)	٠.	0	-0.1	
-CD	$\epsilon^1 \epsilon^2  ext{ Lyr}$	42.7	+39 37			A3 A	A5 1	172.2	209.34	58.6	0.015	qd	<u> </u>	+2.3	
	$arepsilon^1  \mathrm{Lyr}$	42.7	$+39\ 37$						2.58	65.5	0.015	B,	-26	-0.4	
	$e^2$ Lyr	42.7	+39 34	5.1	5.3	A5 A		9.96	2.00	65.6	0.015	В	- 59	0.0	
11639 AD	¿ Lyr	43.0	+37 32				_	149.8	43.68	59.3	0.025	۵.	0	0.0	89

69 70 71	72	73	74	75	77 78 79
+ + + + + 0.0 - 0.0 - 0.0 - 0.0 - 0.0	+ + + + + + + + + + + + + + + + + + +	$\begin{array}{c} -0.1 \\ +0.3 \\ +0.1 \\ -0.1 \\ -0.7 \end{array}$	$\begin{array}{c} -0.1 \\ -0.5 \\ 0.0 \\ +0.5 \\ -0.4 \end{array}$	$\begin{array}{c} +1.5 \\ -2.1 \\ +0.2 \\ -0.1 \\ +0.1 \end{array}$	+0.1 +12.9 +0.6 -0.3
$egin{array}{c} +10 \\ 0 \\ -21 \\ 0 \\ +3 \end{array}$	$egin{array}{cccccccccccccccccccccccccccccccccccc$	$\begin{array}{c c} -13 \\ +19 \\ -1 \\ -1 \\ -1 \\ \end{array}$	 4 0 91 80 91	$+10 \\ -6 \\ -102 \\ -8 \\ -8$	$egin{array}{cccccccccccccccccccccccccccccccccccc$
ųd do ųd	ph ? Ph B	hd ? ? ph ph	qd qd , ; qd	hqq B Ph ph	ph B hqq ''
(0.007)	0.007 - 0.004 0.034 0.021	(0.005) 0.001 0.007 - (0.033)	(0.002)	0.017 0.022 0.005 0.016 0.006	(0.006) 0.292 (0.018) (0.018) 0.005
62.3 55.9 57.4 56.5 67.6	65.6 56.7 58.6 67.4	60.0 69.8 58.6 58.4 60.7	56.8 60.8 64.6 61.8 58.7	65.8 67.7 70.0 60.7 64.8	66.8 70.0 65.6 67.6 64.6
2.47 45.80 34.24 22.22 38.60	4.51 28.28 34.51 39.15 2.17	$\begin{array}{c} 1.45 \\ 3.10 \\ 35.66 \\ 3.21 \\ 4.01 \end{array}$	1.97 2.87 7.34 3.51 21.95	5.78 9.80 0.82 10.76 1.98	2.71 28.33 1.99 1.62 12.92
117.8 148.9 325.2 103.7 209.2	207.8 81.5 54.5 133.9 238.1	107.3 13.9 170.5 176.5 352.4	174.6 207.3 121.6 338.2 238.9	7.9 267.9 20.5 70.3 28.1	216.1 143.9 27.4 270.5 249.1
F0 A5 K0	K0 B9 G0	A2	B3 F3 A3	K0 F8 F4	A3
A0 B8 K0 A5 K0	G5 B3 K0 C0 A0	F2 K0 B A3 F2	B2 A0 B9 A7 A2	K0 G5 B5 F5 B8	F8 K5 G5 F2 B1
6.6 6.7 8.2 4.9 7.1	8 8 70 0 8 8 70 70 70 70 70	6.8 7.3 6.5 7.4	7.8 7.1 8.0 7.4 6.9	8.2 5.4 6.1 7.3 6.8	7.5 6.4 7.4 7.5
6.3 4.4 8.4 7.7 7.7	8.4.5.3.2.8.3.0.8.0.8.0.8.0.0.8.0.0.8.0.0.8.0.0.8.0.0.8.0.0.8.0.0.8.0.0.8.0.0.8.0.0.8.0.0.8.0.0.8.0.0.8.0.0.0.8.0	6.2 4.1 5.8 4.9 7.4	7.2 6.9 4.4 6.0 6.1	7.4 7.4 7.7 6.0	6.7 6.7 7.7 8.3 8.3
18  43.0 + 5  27  48.2 + 33  18  50.4 + 59  19  53.8 + 4  8  19  2.3 - 4  6	$\begin{array}{c} 9.5 + 38 \ 42 \\ 12.1 + 39 \ 4 \\ 28.7 + 27 \ 52 \\ 40.5 + 50 \ 24 \\ 43.4 + 45 \ 0 \end{array}$	$46.4 + 111 41 \\ 48.4 + 70 8 \\ 51.9 - 8 22 \\ 54.3 + 52 18 \\ 59.0 + 10 36$	$\begin{array}{cccccccccccccccccccccccccccccccccccc$	43.9 +15 43 44.3 +15 57 45.5 +36 18 56.6 + 4 6 56.9 +50 16	59.8 + 6 59 21 4.7 +38 30 18.7 +32 14 26.4 +10 52 28.0 +70 21
$\begin{array}{c} \Sigma  2375 \\ \beta  \mathrm{Lyr} \\ o  \mathrm{Dra} \\ \vartheta  \mathrm{Ser} \\ 15  \mathrm{Aql} \end{array}$	$\begin{array}{c} \operatorname{Se} 2 \\ \eta \operatorname{Lyr} \\ \beta \operatorname{Cyg} \\ 16 \operatorname{Cyg} \\ \delta \operatorname{Cyg} \end{array}$	$\pi$ Aql $\varepsilon$ Dra $57$ Aql $\psi$ Cyg $\Sigma$ 2613	2 2624 2 2644 2 Cep 2 2671 0 Cap	$\begin{array}{c} \Sigma \ 2725 \\ \gamma \ \mathrm{Del} \\ \lambda \ \mathrm{Cyg} \\ \varepsilon \ \mathrm{Eql} \\ \Sigma \ 2741 \end{array}$	$\Sigma 2742$ 61 Cyg 0 $\Sigma 437$ $\Sigma 2799$ $\beta$ Cep
, 11640 11745 AB 11779 11853 12007	12145 A-BC 12197 12540 12815 12880 AB	12962 13007 13087 13148 AB 13256	13312 AB 13506 13524 AB 13692 13902	14270 14279 14296 AB 14499 AB-C 14504 AB	14556 14636 AB 14889 AB 15007 AB 15032

	1950.0	Visuelle	Spektrum	Relat.	Relative Positionen	ionen	Paral- laxe	Charak- teristik der	Ände	Änderung scit 1830	Be- mer-
$\alpha$ $\delta$ G1	<u>ප</u>	Größen	nmn mwada	$\mid p \mid$	д	$\left  rac{Ep}{1900+}  ight $	$\pi$	relativen Bewegung	in P	j ni	kungen
m / o uim d	_ E	m		0	"		"		0	*	
21 37.4 +57 16 5	-rc	5.7 8.1	0e5	120.3	11.85	66.7	1	<i>د</i> ٠	0	+0.2	80
		5.7 8.3	Oe5	338.9	19.90	66.7	ı	٠.	- 1	-0.1	
$41.9 + 28 \ 31$ 4	4		F5 F5	290.7	1.85	70.0	0.045	В	+176	-3.7	
34			B3 A	195.5	18.32	67.5	ı	$^{ m hd}$	+ 2	-1.7	81
$50.4 + 65 31 \mid 7$		.0 7.3	A2 G	142.6	1.53	67.7	(0.010)	$^{ m dd}$	+11	-0.8	
			F5 F5	69.7	13.60	58.7	0.008	hd	8	-0.2	85
+64 23	7	4.6 6.6		278.1	7.44	58.7	0.029	hd	-11	+1.8	
$-21 \ 19$	ıc	9.7 9.9	G5	114.2	4.99	68.5	0.009	۰.	9 —	-0.2	83
-17   0	9		_	326.4	3.70	65.7	0.054	ob;	+23	-6.3	
$-\ 0\ 17$	4			249.7	1.90	8.99	0.013	В	-110	-1.7	84
27.3 +58 10			G0 A0	191.7	40.83	58.6	0.005	٠.	0	-0.1	85
+ 4 11	ro	7 7.1		117.5	1.09	70.0	0.026	В	> 360	ı	
+39 23	ಌ	5.8 6.5	B3p B5	185.5	22.35	66.7	1	٠.	0	-0.1	
	7.	4 7.7	G0 G0	277.6	2.51	8.99	0.026	$^{ m hd}$	+30	-1.6	
7.	7.	4 8.2	05	103.2	50.72	62.8	0.026	do	-54	-4.9	
			F5 F5	59.3	4.24	63.6	0.027	$^{ m ph}$	-17	+1.3	
88	_	6.1  7.4	F0	287.0	0.69	70.0	(0.015)	В	+106	-0.2	98
+67 50	тĊ		G5	214.9	2.93	70.0	0.023	В	+40	+0.6	
44	က			350.0	12.81	65.7	0.033	٠.	+ $5$	-0.6	87
57	20		A5 A5	136.8	6.61	62.6	0.004	$^{ m bh}$	<u> </u>	+1.6	88
37			F5 F6	87.1	5.34	59.8	(0.024)	۰.	- 2	+1.1	
+55 29	10	5.1 - 7.3	B2	327.2	2.96	6.99	(0.006)	hd	+ 4	0.0	
27	_		F8	295.3	1.56	70.0	(0.046)	B	+ 104	-2.2	

Bahnelemente von 48 visuellen Doppelsternen

3.3.7.

AITKEN- Katalog Nr.	Umlauf- zeit U	Mittlere jährliche Bewegung	Halbe große Achse a"	Exzen- trizität e	Bahn- neigung i	Länge des Periastrons	Positions-winkel der Knoten-linie &	$ \begin{array}{c} \text{Epoche } T \\ \text{des Peri-} \\ \text{astron-} \\ \text{durchgangs} \end{array} $	Berechner	Jahr der Berech- nung
	Jahre	0	"		0	0	0			
671 AB	480	0.750	11.99	0.50	145.24	268.59	278.42	1889.6	Strand	1969
1538	155	2.323	1.18	0.75	78.7	231.5	37.5	1895	Palacios	1952
1615	720	0.500	2.655	09.0	142.24	200.62	9.59	2060.0	$\mathbf{Rabe}$	1961
1 630 BC	61.1	5.892	0.296	0.93	111.1	171.15	104.15	1952.1	Muller	1957
$1860 \mathrm{Aa}\text{-}\mathrm{B}^{\scriptscriptstyle 1})$	840	0.429	2.27	0.40	132.0	299.0	6.3	1550	Heintz	1962
9199	062	0.500	9 913	0 77	114 33	55.67	145 60	2510.0	Rahe	1961
5400 A B	495	0.847	1.66	0,37	49	280	62	2154	Bespalow	1961
5550	3190	0.013	9 550	0.01	148 38	310.55	185.57	4826.0	Hopmann	1952
5983	1200	0.300	6.975	0.11	63.28	57.19	18.38	2637	Hopmann	1960
6175	420.07	0.857	6.295	0.33	115.94	261.43	40.47	1965.3	Rabe	1958
$6650~\mathrm{AB}$	59.7	6.030	0.884	0.32	172	133	58	1989.7	Gasteyer	1954
$6650~\mathrm{AB\text{-}Cc^2})$	1150	0.313	7.96	0.26	144.6	163.9	256.7	1960	Gasteyer	1954
6914	140.0	2.571	1.888	0.25	83.6	107.4	210.7	1982.5	Newburg	1968
6993  AB-C	586	0.614	3.382	0.04	32.61	83.64	216.78	1999.3	Zeller	1965
7 0 6 7	1200	0.300	7.508	0.70	98.09	121.99	39.67	1995.0	Rabe	1961
7251	687	0.524	16.52	0.54	40.22	73.78	164.00	2193.8	Güntzel-Li	1955
7 7 0 4	413	0.872	0.96	0.35	56	355	0	2197	Bespalow	1961
7724 AB	618.56	0.582	2.505	0.84	36.37	162.54	143.24	2361.9	Rabe	1958
$8119  \mathrm{AB}$	59.84	6.016	2.53	0.41	122.65	127.53	101.59	1995.0	Heintz	1961
8630	171.85	2.095	3.721	0.88	146.37	251.15	29.74	2008.4	Wolf	1949
8695	333	1.081	1.19	0.23	32	195	37	2015	Bespalow	1962
8974	240.0	1.500	1.091	0.83	144.02	137.92	67.04	2104.0	Wierzbinski	1958
9031	155.0	2.323	2.423	0.44	46.8	200.9	155.1	2071.9	Strand	1955
9343	123.44	2.916	0.595	0.96	142.00	1.47	129.99	2021.0	Wierzbinski	1954
9413	151.50	2.376	4.904	0.51	140.04	23.92	168.10	2060.9	Wielen	1962

Bahnelemente von 48 visuellen Doppelsternen (Fortsetzung)

AITKEN- Katalog Nr.	$\begin{array}{c} \text{Umlauf.} \\ \text{zeit} \\ U \end{array}$	Mittlerc jährlichc Bewegung	Halbe große Achse a"	Exzen- trizität e	Bahn- neigung i	Länge des Periastrons o	Positions- winkel der Knoten- linie &	Epoche T des Peri- astron- durchgangs	Berechner	Jahr der Berech- nung
	Jahre	0	"		٥	0	0			
9494	246.2	1.462	4.100	0.36	84.5	48.5	57.9	2042.0	Heintz	1963
9617 AB	41.56	8.662	0.839	0.28	58.9	219.6	24.2	1975.5	Danjon	1937
$9626~\mathrm{BC}$	260.10	1.381	1.463	0.59	135.4	338.5	174.9	2125.1	Baize	1951
9716 AB	55.88	6.442	0.785	0.59	62.6	19.3	2.6	1994.1	Couteau	1966
9909  AB	45.69	7.879	0.720	0.74	36.9	348.2	201.7	1996.8	Baize	1942
9969 AB	1354	0.266	5.090	0.39	58.7	111.4	148.5	3108	Hopmann	1964
6266	1000.0	0.360	6.599	0.78	33.33	84.35	7.74	2828.0	Rabe	1954
10157	34.38	10.470	1.369	0.47	131.4	291.0	228.2	2002.1	Baize	1949
$10345  \mathrm{AB}$	482.0	0.747	3.330	0.37	143.4	204.3	267.4	2446.0	Heintz	1966
10417	548.7	0.656	13.91	06.0	99.18	06	93.64	2192.2	$\mathbf{Brosche}$	1960
11005  AB	280.03	1.286	1.494	0.72	59.32	49.78	63.04	2109.0	Wierzbinski	1959
$11046\mathrm{AB}$	87.89	4.096	4.548	0.50	121.08	12.69	301.39	1983.8	Wielen	1962
$11635~\mathrm{AB}$	1165.6	0.309	2.78	0.19	138	165.7	29	2318.0	Güntzel-Li	1955
$11635~\mathrm{CD}$	585.0	0.615	2.95	0.49	120.5	92.0	17.4	2229.5	Güntzel-Li	1956
$12880~\mathrm{AB}$	537.31	0.670	2.561	0.30	141.51	124.47	84.22	2427.3	$\mathbf{Rabe}$	1954
$14296~\mathrm{AB}$	391.30	0.920	0.777	0.45	133.8	298.4	138.6	2186.3	Rabe	1948
14636  AB	720	0.500	24.554	0.40	51.67	158.04	172.22	2410	Strand	1951
$15270~\mathrm{AB}$	507.5	0.709	4.278	0.58	76.5	340.0	289.6	2470.0	Heintz	1966
$15971 \text{ AB}^3$ )	856.0	0.421	5.055	0.50	131.25	55.12	310.22	2813.6	Harrington	1968
15988	140.0	2.571	0.75	0.51	89.0	202.3	117.2	2048.0	Knipe	1960
16428	236	1.525	1.56	0.77	70	270	178	1983	Bespalow	1961
16 666 AB	796.16	0.452	2.991	0.17	58.24	268.67	37.91	2134.4	Wierzbinski	1955
$17149\mathrm{AB}$	524	0.687	3.03	99.0	15	182	02	1996	Bespalow	1961

<sup>1</sup>) Bahn der Systemmitte AB um den Schwerpunkt a des Systems AB

Wenn  $a = a''/\pi''$  die große Halbachse in astron. Einh. ist (a'' s. oben,  $\pi''$  s. Haupttabelle) und U die Umlaufzeit in Jahren (s. oben), dann ist die Summe der Massen beider Komponenten M in Einheiten der Sonnenmasse  $M = a^3 : U^2$ 

<sup>&</sup>lt;sup>2</sup>) Bahn des Schwerpunkts c des Systems Cc (astrometrisch) um den Schwerpunkt des Systems AB <sup>3</sup>) Bahn der A-Komponente um die Systemmitte des astrometrischen Paares Bb

3.3.8. 53 Spektroskopische Doppelsterne

Spektroskopische Doppelsterne J 4 $^{\rm m}$ .0 nördlich von  $\delta=-40^{\circ}$ 

Stern	198 RA	50.0 Dekl.	Visuelle Größe	Spek- trum	Periode	Exzent.	$\frac{1}{2}Av$ km/s	$\begin{array}{ c c c c c c c c c c c c c c c c c c c$
	IVA	Deki.					11111/2	10 1111)
	h min	0 /	m		đ			
$\alpha$ And	0  5.8	$+28 \ 49$	2.15	Aln	96.697	0.533	30.49	34.310
α UMi	1 48.8	+89 2	2.01v	cF7	(29.6 J.)	0.63	4.05	466.0
$\zeta \; \mathrm{Cet}$	1 <b>49</b> .0	$-10\ 35$	3.92	<b>K</b> 0	1652	0.586	3.30	60.750
α Tri	1 50.2	$+29\ 20$	3.58	$\mathbf{F2}$	1.7365	0.121	12.10	0.287
eta Ari	1 51.9	$+20 \ 34$	2.72	A3	106.9973	0.892	37.63	25.027
eta Tri	2 6.6	$+34\ 45$	3.08	A6	31.4009	0.456	26.1	9.930
$\beta \text{ Per (ab)}$	3 4.9	$+40\ 46$	2.2 - 3.5	B8	2.8673	0.033	43.96	1.732
$\beta$ Per (abc)			1		684.1	0.26	9.70	88.0
o Per	3 41.2	+32~08	3.94	B2k	4.4192	0.00	111.92	6.801
λTau	3 57.9	$+12\ 21$	3.8-4.1	В3	3.9529	0.055	55.95	3.037
$v^4$ Eri	4 16.0	$-33\ 55$	3.59	В9	5.0105	0.014	63.76	4.393
$artheta^2$ Tau	4 25.8	$+15\ 46$	3.62	A7s	140.751	0.76	26.7	33.585
π4 Ori	4 48.5	+ 5 31	3.78	B2s	9.5191	0.027	25.93	3.393
$\pi^5$ Ori	4 51.6	+  2  22	3.87v	B2sk	3.7005	0.00	57.88	2.945
arepsilon Aur	4 58.4	$+43\ 45$	3.1-3.8	eF2	(27.08 J.)	0.33	15.7	2014.0
\$ Aur1)	4 59.0	+41 0	5.0-5.6	cK4+B9	973	0.411	23.78	294.30
∝ Aur	5 13.0	$+45\ 57$	0.09	Gl	104.022	0.016	25.76	36.848
$\eta$ Ori	5 21.9	$-\ 2\ 26$	3.44v	B0k	7.9892	0.016	144.8	15.90
$\delta$ Ori	$5\ 29.4$	-020	2.46	B0k	5.7325	0.079	101.0	7.9
$\iota$ Ori	5 33.0	- 5 56	2.87	O8sk	29.136	0.742	113.68	30.560
ζ Tau	5 34.7	+21 7	3.00	B3e	133.0	0.329	11.22	19.290
$\beta \stackrel{\mathbf{A}}{=}$ ur	5 55.9	$+44\ 57$	1.90	A0p	3.9600	0.00	108.96	5.934
$\eta  \mathrm{Gem}$	6 11.9	$+22\ 31$	3.1-3.9	M3	2983	0.53	8.8	306.0
ζCMa	6 18.4	-30 2	3.10	B3	675	0.57	13.5	104.0
δ Col	6 20.3	$-33\ 25$	3.98	G1	868.78	0.695	10.61	91.120
$\alpha \text{ Gem } A$	7 31.4	+32 0	1.99	A3s	9.2128	0.499	12.90	1.417
α Gem B			2.85	A8s	2.9283	0.002	31.88	1.284
o Leo	9 38.5	+10 7	3.76	F5	14.4980	0.02	<b>54.</b> 0	10.775
λHya	10 8.1	-12   6	3.83	G9	1585.8	0.138	3.74	80.80
≈ Dra	12 31.4	+70 4	3.88	B5e	0.8904	0.186	18.87	0.227
ζ UMa A	13 21.9	$+55\ 11$	2.40	A2s	20.5386	0.541	65.33	15.3
α Vir	13 22.5	$-10\ 54$	1.00	B2	4.0142	0.10	126.8	6.965
$\eta   \underline{\mathrm{Boo}}$	13 52.3	$+18 \ 39$	2.80	F7	495	0.232	8.0	53.101
α Dra	14 3.0	$+64\ 37$	3.64	A0p	51.38	0.384	46.25	30.173
$\beta~{ m CrB}$	15 25.8	$+29\ 17$	3.72	F0p	(10.496 J.)	0.406	9.19	442.0
α CrB	15 32.6	$+26\ 53$	2.31v	Aln	17.36	0.377	34.83	7.701
$\pi$ Sco	15 55.8	$-25\ 58$	3.00	B3	1.571	0.05	138	2.977
$eta^{_1}$ Seo	16 2.5	$-19\ 40$	2.90	B1	6.8281	0.262	126.0	10.32
$\sigma$ Sco	16 18.1	$-25\ 28$	3.08	B1	34.08	0.33	33	14.6
eta Her	16 28.1	$+21 \ 36$	2.81	G5	410.575	0.550	12.78	60.28

¹) Größe photogr.

Spektroskopische Doppelsterne (Fortsetzung)

Stern	198 RA	50.0 Dekl.	Visuelle Größe	Spek- trum	Periode	Exzent.	$^{1/_{2}}Av \ \mathrm{km/s}$	$\begin{vmatrix} a \cdot \sin i \\ (10^6 \text{ km}) \end{vmatrix}$
$\mu^1$ Sco	h min 16 48.5	-37.58	3.09	B3nn	d 1.4463	0.05	_	
$egin{array}{l} arepsilon & \mathrm{Her} \ arsigma & \mathrm{Ser} \ \chi & \mathrm{Dra} \end{array}$	16 58.4 17 34.7 18 22.0	$egin{array}{cccccccccccccccccccccccccccccccccccc$	$egin{array}{c} 3.92 \ 3.64 \ 3.69 \ \end{array}$	A0 A5 F5	$\begin{array}{c} 4.0235 \\ 2.2923 \\ 280.531 \end{array}$	$egin{array}{c} 0.023 \\ 0.00 \\ 0.452 \\ \end{array}$	$\begin{array}{c c} 70.39 \\ 19.35 \\ 17.96 \end{array}$	3.890 0.610 61.8
$eta \;  ext{Lyr}$ $\delta \;  ext{Sge}$	18 48.2 19 45.2	$+33\ 18 \\ +18\ 25$	3.4-4.3	B8, B2e Ma, A0	12.9256	0.024	183.48	32.602 2660
$egin{array}{l} artheta & \mathrm{Aql} \ o^1 & \mathrm{Cyg} \end{array}$	$20 8.7 \\ 20 12.1$	$-058 \\ +4635$	$3.37 \\ 3.95$	B9s K0, B8	17.1245 3802.84	$0.607 \\ 0.131$	51.01 13.78	$\begin{array}{c} 9.5 \\ 720 \end{array}$
$eta  \operatorname{Cap}  \operatorname{abc} \ eta  \operatorname{Cap}  \operatorname{bc}$	20 18.2	-14 56	$egin{array}{c} 3.25 \ 3.25 \ \end{array}$	$\begin{array}{ c c c c c c c c c c c c c c c c c c c$	1374.126 8.678	$0.417 \\ 0.36$	$\begin{array}{c c} 21.93 \\ 37.9 \end{array}$	395.05 4.226
$egin{array}{l} \delta & { m Cap} \ \iota & { m Peg} \ \eta & { m Peg} \end{array}$	21 44.3 22 4.7 22 40.7	$-16\ 21 \\ +25\ 6 \\ +29\ 58$	2.98 3.96 3.10	A7s F3 G2	1.0228 10.2131 818.0	0.019 $0.008$ $0.155$	65.67 47.99 14.20	$\begin{array}{c} 0.926 \\ 6.740 \\ 157.8 \end{array}$

Ein v hinter der Größenangabe bedeutet, daß die Helligkeit schwach veränderlich ist.  $^{1}/_{2}Av$  ist die halbe Amplitude der Radialgeschwindigkeit, also die beobachtete, mit dem Einfluß der meist unbekannten Bahnneigung behaftete mittlere Bahngeschwindigkeit der helleren Komponente. Bei Bedeckungsveränderlichen ist die Neigung nahe 90° und die beobachtete Geschwindigkeit nahe der wahren mittleren Geschwindigkeit in der Bahn. Die große Halbachse kann ebenfalls nur bei Bedeckungssternen direkt bestimmt werden, weil bei diesen Objekten i (die Neigung) nahe 90°, sin i also nahe 1 ist. In den anderen Fällen ist  $a>a\sin i$ , da  $\sin i<1$  ist.

### 3.3.9. 195 extragalaktische Nebel (Galaxien)

Von den im nachfolgenden Verzeichnis enthaltenen 195 Nebeln nördlich von  $\delta=-30^\circ$  und heller als  $12^{\rm m}.0$ , gehören 39 dem Nebelhaufen im Sternbild Virgo (Jungfrau) an, dem nächsten Objekt dieser Art, kurz Virgohaufen genannt. Acht gehören zu einer Nebelgruppe im Sternbild Leo (Löwe), hier als Leogruppe bezeichnet. Ferner sind noch drei nähere Gruppen vertreten, und zwar neun Glieder der sog. lokalen Gruppe, der neben dem Andromedanebel und dem Triangelnebel auch unsere Milchstraße angehört, sieben Glieder der Gruppe um NGC 3031 (M 81) in Ursa Maior (Großer Bär) und sechs Nebel der Gruppe um NGC 5457 (M 101), ebenfalls in Ursa Maior. Die Mitglieder dieser Verbände sind in der letzten Spalte hinter den Radialgeschwindigkeiten durch folgende Symbole gekennzeichnet:

${f Virgohaufen\ V}$	lokale Gruppe G	Gruppe um M 101 u
Leogruppe L	Gruppe um M 81 U	

Daneben enthält das Verzeichnis noch die folgenden Nebelpaare bzw. enge Dreiergruppen:

NGC 205, 221, 224; NGC 3166, 3169; NGC 3190, 3193; NGC 3623, 3627, 3628; NGC 4036, 4041 (opt.); NGC 4274, 4278; NGC 4382, 4394; NGC 4567, 4568; NGC 4631, 4656; NGC 5194. 5195; NGC 5363, 5364; NGC 5846, 5850 (opt.).

Zehn dieser zwölf Paare sind mit großer Wahrscheinlichkeit physisch verbunden, die restlichen zwei, mit (opt.) bezeichneten sind möglicherweise nur optisch, in der Richtung benachbart, aber räumlich weit hintereinander.

Das Gebiet des Virgohaufens wird durch eine Ellipse begrenzt, deren große Achse in Nord-Süd-Richtung von  $\delta+2^{\circ}.5$  bis  $+18^{\circ}.5$  und deren kleine Achse in äquatorparalleler Richtung auf  $\delta+10^{\circ}.5$  von RA  $12^{\rm h}$  8<sup>min</sup> bis  $12^{\rm h}$  48<sup>min</sup> reicht. Dieses Areal umfaßt etwa 0.58 % der Nordhalbkugel des Himmels, aber 22 % aller nördlich des Äquators liegenden Nebel, die photographisch heller als  $12^{\rm m}.0$  phg. sind. Auch die weitere Umgebung ist noch reich an hellen Nebeln, auf dem Achtel der Nordhalbkugel zwischen RA  $10^{\rm h}$  30<sup>min</sup> und  $13^{\rm h}$  30<sup>min</sup> befinden sich 60 % aller nördlichen Nebel heller als  $12^{\rm min}.0$  phg.

Die galaktischen Koordinaten sind wie im Verzeichnis der 614 Fixsterne nach den Tafeln von Ohlson berechnet (s. S. 111).

Die besten heute verfügbaren Werte für die Entfernungen und Entfernungsmoduln (der Entfernungsmodul ist die Differenz zwischen scheinbarer und absoluter Größe) für die hier genannten Nebelgruppen sind in der folgenden Tabelle zusammengestellt.

Objekt	Entfernung in Millionen Lichtjahren	Entfernung in Megaparsek	Entfernungsmodul (korr. für galakt. Absorption)
			m
M 31	1.75	0.54	23.65
M 33	1.83	0.56	23.75
M 81	7.14	2.19	26.7
M 101	7.14	2.19	26.7
Leogruppe	19.8	6.08	28.9
Virgohaufen	31.5	9.68	29.9

Die folgenden 34 Nebel sind auch im Messier-Katalog enthalten:

NGC 221 =	= <b>M</b> 32	NGC 3623 =	M 65	NGC 4406 =	M 86	NGC 4621 =	M 59
224	31	3627	66	<b>4472</b>	49	4649	<b>6</b> 0
598	33	4192	98	4486	87	<b>4736</b>	94
628	<b>74</b>	<b>4254</b>	99	4501	88	<b>4826</b>	64
1068	77	4258	106	<b>4552</b>	89	5055	63
3031	81	4303	61	<b>4569</b>	90	5194	51
3034	82	4321	100	4579	$58^{1}$ )	5236	83
<b>33</b> 51	95	<b>4374</b>	84	4594	104	5457	101
<b>33</b> 68	96	<b>4382</b>	85				

<sup>&</sup>lt;sup>1</sup>) Identisch mit M 91

Verzeichnis von 195 extragalaktischen Nebeln nördlich von  $\delta=-30^\circ$ , die photographisch heller als  $12^{\rm m}.0$  sind

$ \begin{array}{ c c c c c c c c c c c c c c c c c c c$		The state of the s									
$ \begin{array}{c ccccccccccccccccccccccccccccccccccc$	NGC		I	Koore	dinaten 	Typus	1		photo-	1	ge- schwin- digkeit km/s
$ \begin{array}{c ccccccccccccccccccccccccccccccccccc$			<u> </u>	<u> </u> 	<u> </u>	<u>'</u> -	<u>'</u>		<u> </u> 	<u> </u>	
$\begin{array}{c ccccccccccccccccccccccccccccccccccc$						_	1				
$\begin{array}{c ccccccccccccccccccccccccccccccccccc$			1	1							
$ \begin{array}{c ccccccccccccccccccccccccccccccccccc$				1		1				•	
$\begin{array}{cccccccccccccccccccccccccccccccccccc$			1	1							
$\begin{array}{c ccccccccccccccccccccccccccccccccccc$											
$ \begin{array}{c ccccccccccccccccccccccccccccccccccc$	224	40.0	+41 0	89.5	-21.3	Sb $-$	197	92	4.33 3.47	0.86	-35G
$ \begin{array}{c ccccccccccccccccccccccccccccccccccc$	221	0.40.0	<b>+40 36</b>	89.4	21.7	E	12	8	9.06 8.16	+0.90	17G
$\begin{array}{c ccccccccccccccccccccccccccccccccccc$				1		1				-	
$ \begin{array}{c ccccccccccccccccccccccccccccccccccc$											
$\begin{array}{c ccccccccccccccccccccccccccccccccccc$				1							
$\begin{array}{c ccccccccccccccccccccccccccccccccccc$			1	1							
$\begin{array}{c ccccccccccccccccccccccccccccccccccc$			' ' ' '								
$\begin{array}{c ccccccccccccccccccccccccccccccccccc$	488	1 19.1	+ 5 0	106.5	-56.1	Sb-	7.8	5.5	11.10 10.25	+0.85	2282
$\begin{array}{c ccccccccccccccccccccccccccccccccccc$	578	28.0	$-22\ 56$	157.4	-78.6	Sc-	7.2	4.5	11.37 10.99	0.38	2005
$\begin{array}{c ccccccccccccccccccccccccccccccccccc$	<b>59</b> 8	31.1	+3024	102.1	-39.7	Sc+	83	53		0.40	-12G
$\begin{array}{c ccccccccccccccccccccccccccccccccccc$	628	<b>34.</b> 0	$+15 \; 32$	107.6	-45.0	Sc-	12.0	12.0	9.74  9.33	0.41	687
$\begin{array}{c ccccccccccccccccccccccccccccccccccc$	660	40.4	+13 23	110.6	-46.5	Sp	9.8	4.4	11.85 11.12	0.73	-
$\begin{array}{c ccccccccccccccccccccccccccccccccccc$	672	1.45.0	$oxedsymbol{\perp}97.11$	106.6	<b>33</b> 1	$ _{\mathbf{Sc}\pm} $	11 2	41	$\begin{bmatrix} 11.31 & 10.88 \end{bmatrix}$	+0.43	496
$\begin{array}{c ccccccccccccccccccccccccccccccccccc$											
$\begin{array}{c ccccccccccccccccccccccccccccccccccc$											
$\begin{array}{c ccccccccccccccccccccccccccccccccccc$				1							
$\begin{array}{c ccccccccccccccccccccccccccccccccccc$											
$\begin{array}{c ccccccccccccccccccccccccccccccccccc$		21.0	100 22	110.1	21.0		14.0	0.0	10.00 10.10		
$\begin{array}{c ccccccccccccccccccccccccccccccccccc$	936	$2\ 25.1$	$-\ 1\ 22$	137.4	-54.0		6.3	5.5	l		
$\begin{array}{c ccccccccccccccccccccccccccccccccccc$											
$\begin{array}{c ccccccccccccccccccccccccccccccccccc$	1023	37.2	$+38\ 52$	113.1	-18.2	SO	11.6	4.3			
$\begin{array}{c ccccccccccccccccccccccccccccccccccc$									l		
$\begin{array}{c ccccccccccccccccccccccccccccccccccc$	1052	38.6	-828	150.4	-56.6	E	4.5	2.9	11.69   10.89	0.80	1424
$\begin{array}{c ccccccccccccccccccccccccccccccccccc$	1055	2 39.2	+ 0.16	139.9	-50.4	Sb+	11.9	4.8	$ _{11.38}$ $_{10.60}$	+0.78	
$\begin{array}{c ccccccccccccccccccccccccccccccccccc$											1032
$\begin{array}{c ccccccccccccccccccccccccccccccccccc$									1	,	
$\begin{array}{c ccccccccccccccccccccccccccccccccccc$			1								
$\begin{array}{c ccccccccccccccccccccccccccccccccccc$										1	
$\begin{array}{c ccccccccccccccccccccccccccccccccccc$											405
$ \begin{array}{c ccccccccccccccccccccccccccccccccccc$											
$\begin{array}{c ccccccccccccccccccccccccccccccccccc$											
$ \begin{array}{c c c c c c c c c c c c c c c c c c c $											
$ \begin{array}{c ccccccccccccccccccccccccccccccccccc$											
$ \begin{array}{c ccccccccccccccccccccccccccccccccccc$	1037	30.8	_ 2 50	107.2		50-	1.1	0.3	11.20 10.75	0.51	990
$\begin{array}{c c c c c c c c c c c c c c c c c c c $											
2276											
						_					
$2336 \mid 16.2 \mid +80 \ 20 \mid 100.9 \mid +28.7 \mid Sc - \mid 10.4  6.1 \mid 11.03  10.52 \mid 0.51 \mid 2432$											
	2336	16.2	+80 20	100.9	+28.7	Sc-	10.4	6.1	11.03 10.52	0.51	2432

Beobachtungsobjekte am Fixsternhimmel

## Verzeichnis von 195 extragalaktischen Nebeln (Fortsetzung)

$ \begin{array}{ c c c c c c c c c c c c c c c c c c c$										
$ \begin{array}{cccccccccccccccccccccccccccccccccccc$	NGC		I	Koore	dinaten 	Typus		photo-		ge- schwin- digkeit km/s
$ \begin{array}{cccccccccccccccccccccccccccccccccccc$		_	i I <sub>-</sub>	_		1				
$ \begin{array}{c ccccccccccccccccccccccccccccccccccc$				í						
$ \begin{array}{c ccccccccccccccccccccccccccccccccccc$		l	1							
$\begin{array}{c ccccccccccccccccccccccccccccccccccc$			i		1					187U
$\begin{array}{cccccccccccccccccccccccccccccccccccc$		i			1					
$ \begin{array}{c ccccccccccccccccccccccccccccccccccc$		1								•
$\begin{array}{cccccccccccccccccccccccccccccccccccc$	2683	49.6	+33~38	157.9	+40.2	Sb-	12.1 3.9	10.53 9.72	0.81	285
$\begin{array}{cccccccccccccccccccccccccccccccccccc$	2681	8.50.0	+51.31	134.3	+40.9	Sa	5.4 5.4	11.33 10.65	+0.68	748
$\begin{array}{c ccccccccccccccccccccccccccccccccccc$					1			1		
$ \begin{array}{c ccccccccccccccccccccccccccccccccccc$								1		
$\begin{array}{c ccccccccccccccccccccccccccccccccccc$								1		
$ \begin{array}{c ccccccccccccccccccccccccccccccccccc$										
$\begin{array}{c ccccccccccccccccccccccccccccccccccc$										
$\begin{array}{c ccccccccccccccccccccccccccccccccccc$									+0.51	1286
$\begin{array}{c ccccccccccccccccccccccccccccccccccc$		43.2			+41.7	Sp	9.7 - 5.7	10.73 10.09	0.64	171U
$\begin{array}{c ccccccccccccccccccccccccccccccccccc$	2985	46.0			+39.4	Sb+	7.5 5.3	11.11 10.49	0.62	
$\begin{array}{c ccccccccccccccccccccccccccccccccccc$	3031	51.5	$+69 \ 18$		+41.7	Sb-		7.85 7.00	0.85	$77\mathrm{U}$
$\begin{array}{c ccccccccccccccccccccccccccccccccccc$	3034	51.9	$+69\ 56$	108.9	+41.3	Ir II	13.4 8.5	9.20 8.39	0.81	400U
$\begin{array}{c ccccccccccccccccccccccccccccccccccc$	2070	0.506	15557	194 9	1404	S.	110 99	11 10 10 50		1094
$\begin{array}{c ccccccccccccccccccccccccccccccccccc$						I				
$\begin{array}{c ccccccccccccccccccccccccccccccccccc$						I			0.00	
$\begin{array}{c ccccccccccccccccccccccccccccccccccc$							, , , ,		0.70	
$\begin{array}{c ccccccccccccccccccccccccccccccccccc$										
$\begin{array}{c ccccccccccccccccccccccccccccccccccc$										
$\begin{array}{c ccccccccccccccccccccccccccccccccccc$					1					
$\begin{array}{c ccccccccccccccccccccccccccccccccccc$										
$\begin{array}{c ccccccccccccccccccccccccccccccccccc$		!								
$\begin{array}{c ccccccccccccccccccccccccccccccccccc$									l	
$\begin{array}{c ccccccccccccccccccccccccccccccccccc$	3319	36.4	+41 $56$	142.6	+60.7	Sc+	8.8 4.3	11.67 11.38	0.29	829
$\begin{array}{c ccccccccccccccccccccccccccccccccccc$	3338	10 39.5	+14 0	199.2	+58.3	Sc-	9.4 - 5.7	11.25 10.84	+0.41	1201L
$\begin{array}{c ccccccccccccccccccccccccccccccccccc$	3344	40.7	$+25 \ 11$	178.2	+62.7		9.3 9.0		0.31	<b>504</b>
$\begin{array}{c ccccccccccccccccccccccccccccccccccc$	3351	41.3		202.9	+57.6	Sb+	9.3 - 6.4	10.48 9.76	0.72	553L
$\begin{array}{c ccccccccccccccccccccccccccccccccccc$	3359	43.4		109.9	+49.4	Sc-	9.0 5.6	10.89 10.51	0.38	1119
$\begin{array}{c ccccccccccccccccccccccccccccccccccc$	<b>336</b> 8	44.2	+12 5	203.5	+58.2	Sa	10.8 7.8	10.05 9.29	0.76	792L
$\begin{array}{c ccccccccccccccccccccccccccccccccccc$	3379	10 45.2	$+12\ 51$	203.6	+95.3	$\mathbf{E}$	(4) (4)	9.2	-	7 <b>3</b> 0L
$\begin{array}{c ccccccccccccccccccccccccccccccccccc$	3423	48.7	+ 6 7	213.4	+55.4	Sc+		11.48 11.19	+0.29	
$\begin{array}{c ccccccccccccccccccccccccccccccccccc$		49.7	+3654			I				588
$\begin{array}{c ccccccccccccccccccccccccccccccccccc$					1	l I				
$ \begin{array}{c ccccccccccccccccccccccccccccccccccc$		l	+ 0 14		+53.6					
$ \begin{array}{c ccccccccccccccccccccccccccccccccccc$	3556	11 8.7	$+55\ 57$	114.2	+57.2	Sc+	11.1 4.5	10.57 10.12	$\mid +0.45 \mid$	720
$\begin{array}{c c c c c c c c c c c c c c c c c c c $			l .		1				_	
$3627 \mid 17.6 \mid +13 \mid 7 \mid 211.8 \mid +65.5 \mid 8b+ \mid 13.8 \mid 6.5 \mid 9.65 \mid 9.02 \mid 0.63 \mid 633L$					1	_			0.81	
					1	Sb+				
		17.7	$+13 \ 53$			Sb+		10.23 9.53	0.70	728L

Verzeichnis von 195 extragalaktischen Nebeln (Fortsetzung)

_										
NGC	19.	50.0 Dekl.		ktische dinaten	Typus	Dui mes	rch- sser	Helligkeit  photo- graph. visuell	Farben- index	Radial- ge- schwin- digkeit km/s
	h min	0 /	0	۰		,		m m		
0001	11 18.3	$+53 \ 28$	115.2	+60.0	Sc-	7.2	7.2	10.91 10.45	+0.46	1169
3631	19.2	$+33\ 28 \\ +20\ 27$	196.4	+69.7	Sc-	5.0	$\frac{7.2}{3.7}$	11.82 11.28	0.54	$\begin{array}{c c} 1162 \\ 4341 \end{array}$
3646		$+20 27 \\ +59 21$	108.4	+55.3	$\begin{array}{ c c c c c c c c c c c c c c c c c c c$	7.7	$\begin{array}{c} 3.7 \\ 7.4 \end{array}$	11.52 11.28	$\begin{array}{c c} 0.34 \\ 0.35 \end{array}$	1727
3642	19.6	$+59\ 21 \\ +53\ 21$	112.6	$\begin{array}{c c} +55.5 \\ +61.1 \end{array}$	Sop	8.1	$\frac{7.4}{4.7}$	11.52 11.17	0.61	1128
3718	29.9		112.0 $120.7$		_	8.2	$\begin{array}{c} 4.7 \\ 6.3 \end{array}$	10.84 10.48	0.81	
3726	30.7	+47 19	120.7	+65.9	Sc-	0.2	0.3	10.64 10.46	0.30	999
3729	11 31.0	$+53 \ 24$	112.2	+61.2	Se $-$	4.6	3.1	11.88 11.41	+0.47	
3810	38.4	+1145	223.6	+68.1	Sc-	6.1	<b>4.</b> 0	11.30 10.81	0.49	862L
3938	50.2	$+44\ 24$	118.6	+70.3	$\begin{array}{ c c c c c c c c c c c c c c c c c c c$	6.8	6.6	10.70 10.42	0.37	922
3941	50.2	+37 16	135.6	$+75.5 \\ +75.5$	Sa	(4)	(2)	9.8	0.01	984
3953	51.2	$+52\ 37$	107.4	+63.4	$\mathbf{Sb}$	9.4	6.5	10.71 10.14	0.57	1022
3903	51.2	T 02 01	107.4	⊤00.4		J. <del>T</del>	0.0	10.71 10.14	0.07	1022
3992	11 55.0	+53~39	105.3	+62.6	Sb+	9.6	6.5	10.62 9.92	+0.70	1146
4036	58.9	$+62\ 10$	98.8	+54.8	So	5.0	3.0	11.48 10.70	0.78	1506
4041	59.7	$+62\ 25$	98.5	+54.6	$ \tilde{se}_{-} $	4.2	4.1	11.48 11.09	0.39	1000
4051	12 0.6	$+44\ 48$	113.2	+71.0	Sb+	8.0	5.8	10.81 10.20	0.61	679
4088	3.0	+5049	105.2	+65.7	Se-	6.5	2.8	11.03 10.58	0.45	820
1000	0.0	00 10		' "		0.0		22700 20100	""	3_0
4096	12 3.5	$+47\ 45$	108.1	+68.6	Sc+	8.9	3.7	10.88 10.60	+0.28	
4111	4.5	$+43 \ 21$	113.6	+72.6	SO	6.3	1.8	11.63 10.91	0.72	832
4123	5.6	+ 3 9	248.7	+63.9	Sc+	5.9	5.0	11.79 11.42	0.37	
4178	10.2	+11 9	243.8	+71.8	Sc+	7.3	3.1	11.75 11.42	0.33	143V
4192	11.3	$+15 \ 11$	238.3	+75.5	Sb+	11.6	3.2	10.89 10.20	0.69	-202V
4214	12 13.1	$+36\ 36$	123.0	+79.2	Ir I	10.6	10.6	10.12 9.85	+0.27	317
4212	13.1	+14 11	241.7	+74.8	Sc-	4.8	3.8	11.71 11.08	0.63	2047V
4216	13.4	$+13\ 25$	243.2	+74.2	Sb-	10.4	3.7	10.88 9.94	0.94	-49V
4236	14.3	$+69\ 45$	93.6	+47.8	Sc+	26	8.7	10.05 9.82	0.23	186
<b>4242</b>	14.9	$+45\ 54$	104.8	+71.0	Sc+	7.6	7.2	11.39 11.02	0.37	
4244	12 15.0	+38 5	117.2	+78.1	Sc+	18	2.9	10.48 10.20	+0.28	494
4254	16.3	$  \begin{array}{c} +36 & 3 \\ +14 & 42 \end{array}  $	243.7	+75.6	Sc-	7.3	6.0	10.37 9.90	0.47	2408V
4258	16.5	$+47\ 35$	102.5	+69.5	Sb+	24	9.6	8.90 8.38	0.52	494
4274	17.4	$+29\ 53$	156.8	+84.1	Sa Sa	8.7	3.5	11.33 10.48	0.85	758
4278	17.7	$+29\ 34$	159.8	+84.2	E	6.3	6.1	11.20 10.43	0.77	615
	11	12001	100.0	01.2		0.0	0.1		ļ	
4298	12 19.0	+14 53	245.8	+76.1	Sc-	5.2	4.4	11.95 11.38	+0.57	V
<b>43</b> 03	19.4	+ 4 45	255.4	+66.4	Sc-	10.7	7.4	10.01 9.64	0.37	1557V
<b>4321</b>	20.4	+16 6	245.1	+77.3	Sc-	10.0	9.1	10.07 9.45	0.62	1551V
<b>4371</b>	22.4	$+11\ 59$	252.4	+73.6	So	6.3	3.9	11.83 10.91	0.92	V
<b>4374</b>	22.6	$+13\ 10$	251.2	+74.7	So	10.7	10.5	10.21 9.36	0.85	V
4382	12 22.8	+18 28	243.0	+79.7	So	10.9	8.3	10.05 9.27	+0.78	
4388	23.3	$+12\ 56$	252.2	+74.5	$\frac{1}{8}$		2.7	11.73 11.06	0.67	$\mathbf{v}$
4395	23.4	$+33\ 49$	122.6	+82.6	$\mathbf{Sc}$		11	10.66 10.29	0.37	•
4394	23.4	$\begin{array}{c} +33\ 49 \\ +18\ 29 \end{array}$	243.6	$+32.0 \\ +79.8$	$\mathbf{Sb}$		4.5	11.81 10.99	0.82	
4406	23.4 $23.7$	$+13\ 23$ $+13\ 13$	252.2	+74.9		12.0		10.10 9.25	$\begin{array}{c} 0.82 \\ 0.85 \end{array}$	-452V
<b>11</b> 00	20.1	10 10	202.2	T 14.8	ا تدا	14.0	10.0	10.10 0.20	1 0.00	102 V

Verzeichnis von 195 extragalaktischen Nebeln (Fortsetzung)

NGC	198 RA	50.0 Dekl.	I	ktische linaten b	Typus	Durch- messer	Helligkeit  photo- graph. visuell	Farben- index	Radial- ge- schwin- digkeit km/s +
	h min	0 /	0	0		, ,	m m	m	
4414	12 24.0	$+31\ 30$	135.5	+84.5	Sc	(6) (3)	- 9.7	_	718
4429	24.9	$+11\ 23$	255.0	+73.2	$\stackrel{\sim}{\mathrm{S0}}$	7.7 4.7	11.09 10.15	+0.94	1027V
4435	25.2	$+13\ 21$	253.5	+75.1	$\tilde{\mathbf{S0}}$	4.1 3.1	11.86 11.03	0.83	796V
4438	25.3	$+13\ 17$	253.5	+75.0	Sap	10.5 5.5	10.92 10.20	0.72	-105V
4442	25.6	$+10^{-5}$	256.4	+71.9	So	6.8 3.0	11.61 10.74	0.87	v
4449	12 25.8	$+44\ 22$	100.2	+73.0	Ir I	10.1 8.7	9.90 9.68	+0.22	268
4450	25.9	$+17\ 21$	249.0	+79.0	Sb-	8.8 6.0	10.81 10.11	0.70	1995V
4472	27.3	+816	258.8	+70.2	E	11.7 11.0	9.33 8.49	0.84	918V
<b>449</b> 0	$\begin{array}{c} 28.3 \\ 28.3 \end{array}$	$egin{array}{c} +41\ 55 \\ +12\ 40 \end{array}$	100.6	+75.5	Sc+	8.9 4.7	10.09 9.81	0.28	678
4486	20.0	T12 40	256.9	+74.6	E	10.7 10.7	9.56 8.74	0.82	1218V
4494	12 28.9	+26%3	208	+86.5	E	(3) (3)	- 9.6	-	1318
4517	29.0	+ 021	263.3	+62.5	Sc-	12.7 3.5	11.10 10.49	+0.61	1098
4496	29.1	+ 4 12	261.7	+66.3	Sc+	5.2 $5.2$	$11.93^{1})11.47$	0.46	v
<b>4</b> 501	29.5	$+14\ 42$	256.3	+76.6	Sb+	9.4 - 5.5	10.07 9.48	0.59	2060V
4527	31.6	+256	263.5	+65.1	Sb-	7.5 3.5	11.29 10.51	0.78	1615V
4535	12 31.8	+ 8 28	262.0	+70.6	Sc-	9.9 8.9	10.38 9.87	+0.51	18 <b>43V</b>
4536	31.9	$+\   {\overset{\circ}{2}}{\overset{\circ}{2}}{\overset{\circ}{8}}$	263.8	+64.6	$\mathbf{Sc}$	8.9 4.4	10.94 10.48	0.46	1819V
4548	32.9	$+14\ 46$	259.8	+76.9	$\mathbf{Sb}$ +	7.7  5.6	10.86 10.32	0.40	372V
4552	33.1	$+12\ 50$	216.3	+74.9	$\mathbf{E}$	(4) (4)	- 9.5	- ···	210V
4559	33.5	+28 14	105	+87.9	Sc+	11.6 6.6	10.26 9.97	0.29	853
4565	12 33.9	$+26 \ 16$	217	+87.6	Sb+	20 3.6	10.30 9.56		
4567	34.0	$+11\ 32$	262.5	+73.7	$S_{c-}$	$\begin{array}{ccc} 20 & 3.0 \\ 5.4 & 3.7 \end{array}$	11.98 11.34	$\begin{array}{c} +0.74 \\ 0.64 \end{array}$	1213 2206V
4568	34.1	$+11 \ 31 \ +11 \ 31$	262.6	+73.7	$S_{c-}$	6.8  3.5	11.66 10.89	$0.04 \\ 0.77$	2335V
4571	34.3	$+14\ 28$	261.5	+76.6	Sc+	5.4   5.2	11.63 11.26	0.17	2333 V V
4569	34.3	$+13\ 26$	262.0	+75.6	$\mathbf{Sb}$	11.7  5.8	10.11 9.62	0.49	896V
4579	12 35.1	$+12\ 5$	263.4	+74.3	$\operatorname{Sb}$	$\begin{array}{ccc} 9.6 & 6.4 \\ 12.6 & 16.6 \end{array}$	10.32 9.61	+0.71	1679V
$\begin{array}{c} 4594 \\ 4596 \end{array}$	$\begin{array}{c} 37.3 \\ 37.4 \end{array}$	$egin{array}{c} -11 \ 21 \ +10 \ 27 \end{array}$	$\begin{bmatrix} 268.0 \\ 265.8 \end{bmatrix}$	+50.9	Sa S-	12.0 10.6	9.18 8.29	0.89	1048
4605	37.4	$+61\ 53$	90.8	$+72.7 \\ +55.8$	Sa Sc	6.0   5.1 $(6)   (2)$	$\begin{vmatrix} 11.41 & 10.51 \\ - & 9.6 \end{vmatrix}$	0.90	$\begin{array}{c} \text{V} \\ 275 \end{array}$
4618	39.2	$+41\ 25$	$\begin{array}{c} 90.3 \\ 92.5 \end{array}$	+76.3	Sc+	$ \begin{array}{ccc} (6) & (2) \\ 6.0 & 5.6 \end{array} $	11.08 10.83	0.25	541
								0.20	
4621	12 39.5	+11.55	267.3	+74.2	E .	(5) (3)	- 9.6		339V
4631	39.8	$+32 \ 49$	96.3	+84.9	$\frac{\mathrm{Sc}+}{\mathrm{Sc}}$	19 4.4	9.71 9.29	+0.42	611
4649	41.1	+1149	268.8	+74.1	E	9.9 9.1	9.88 8.97	0.91	1321V
$\begin{array}{c} 4651 \\ 4654 \end{array}$	41.2	$+16\ 40$	268.5	+78.9	Sc-	6.1   4.5	11.21 10.78	0.43	V
	41.4	$+13 \ 23$	269.0	+75.7	Sc-	7.0 4.9	11.03 10.50	0.53	$\mathbf{v}$
4656	12 41.6	$+32\ 26$	92	+85.3	Ir I	14.5 4.1	10.74 10.50	+0.24	$\bf 742$
4666	42.6	-0.12	270.0	+62.1	Sc-	6.7 3.1	11.40 10.83	0.57	$1531_{}$
4689	45.2	+14 1	272.8	+76.3	$\operatorname{Se}$	5.9 5.6	11.48 10.95	0.53	V
4698	45.8	+845	272.6	+71.0	Sa	6.5 4.5	11.56 10.73	0.83	955V
4697	46.0	+ 532	272.3	+67.8	E	<b>(6) (2)</b>	- 9.6	-	V

<sup>&</sup>lt;sup>1</sup>) NGC 4496 hat einen etwa 2<sup>m</sup>.0 schwächeren Begleiter. Die hier gegebene Helligkeit ist das Gesamtlicht

110 Hilfstafeln und Verzeichnisse

Verzeichnis von 195 extragalaktischen Nebeln (Fortsetzung)

NGC	198 RA	50.0 Dekl.		ktische linaten b	Typus	Durch- messer	Helligkeit  photo- graph. visuell	Farben- index	Radial- ge- schwin- digkeit km/s +
_	h min	0 /	o	0		, ,	m m	m	
4699	$12\ 46.5$	- 8 24	271.6	+53.9	Sb	<b>(7) (4)</b>	- 9.3	_	
4725	48.1	$+25\ 46$	302	+87.7	Sb+	12.1 10.0	10.07 9.46	+0.61	1108
4736	48.6	$+41\ 23$	85.1	+76.3	Sb-	13 13.3	8.91 8.28	0.63	345
4826	54.3	$+21\ 47$	295.5	+83.6	Sb-	12.3 8.3	9.27 8.51	0.76	364
5005	13 8.5	+37  19	61.8	+78.9	Sb +	8.1 4.7	10.52 9.89	0.63	1069
5033	13 11.2	$+36\ 51$	58.2	+79.0	Sc-	12.3 5.8	10.61 10.18	+0.43	987
<b>5055</b>	13.5	$+42\ 17$	68.5	+74.1	Sb+	16 10.1	9.26  8.65	0.61	575
<b>5194</b>	27.8	$+47\ 27$	68.8	+68.4	Sc-	14.2 9.5	8.88 8.35	0.53	<b>54</b> 6u
5195	27.9	$+47\ 31$	68.8	+68.3	Ir II	8.9 7.4	10.47 9.49	0.98	650u
<b>5204</b>	28.3	$+58 \ 40$	78.7	+58.0	$\operatorname{Sc}+$	8.0 4.2	11.62 11.36	+0.26	u
<b>*</b> 200	10.04.0	20.05	000.1	+ 91.4	g -	(90) (16)	8.0 -		319
5236	13 34.3	$-29 \ 37$	283.1	+31.4	Sc	(20) $(16)$ $7.9$ $6.1$	10.36 9.93	+0.43	1140
5248	35.1	+98	306.2	+67.6	Sc- Ir II	$\begin{array}{c ccccccccccccccccccccccccccccccccccc$	11.13 10.27	$\begin{bmatrix} +0.45 \\ 0.86 \end{bmatrix}$	$\frac{1140}{1102}$
5363	53.6	+529	310.4	$+62.1 \\ +61.9$	Sc-	8.3 7.7	11.13 10.27	0.53	1102
5364	$\begin{bmatrix} 53.7 \\ 14  0.8 \end{bmatrix}$	$egin{pmatrix} + & 5 & 15 \ - & 5 & 47 \end{matrix}$	$\begin{vmatrix} 310.2 \\ 302.4 \end{vmatrix}$	$+51.5 \\ +51.5$	Sc-	3.9 3.8	11.98 11.46	$\begin{array}{c} 0.53 \\ 0.52 \end{array}$	i i
5427	14 0.8	- 541	302.4	+01.0	56-	<b>3.</b> 8 <b>3.</b> 0	11.50 11.40	0.02	
5457	14 1.4	$+54\ 35$	67.2	+59.5	Sc-	28 28	8.20 7.90	+0.30	<b>394</b> u
5474	3.2	+53 54	66.0	+59.9	Sc+	7.2 - 6.8	11.22 10.91	0.31	u
5585	18.0	+5657	66.5	+56.2	$\mathrm{Sc}+$	8.7 5.7	11.25 10.90	0.35	u
5746	42.3	+ 210	323.5	+51.6	Sb-	9.0 2.4	11.57 10.63	0.94	1783
5846	15 4.0	+ 148	328.7	+47.4	E	5.3 - 5.3	11.16 10.30	0.86	1782
								'	
5850	15 4.6	+ 144	328.8	+47.2	Sb+	6.0 6.0	11.56 10.98	+0.58	2333
<b>5907</b>	14.6	$+56\ 31$	57.5	+50.6	Sb+	15.7 2.0	11.04 10.41	0.63	<b>741</b>
6015	50.7	$+62\ 28$	62.0	+43.7	Sc+	6.3 2.9	11.69 11.24	0.45	860
6384	17 29.9	+76	357.9	+19.3	$\operatorname{Sb}_{+}$	8.2 5.0	11.23 10.59	0.64	1940
<b>65</b> 0 <b>3</b>	49.9	$+70\ 10$	67.4	+30.4	Sc-	11.2 4.0	10.77 10.24	0.53	
6643	18 21.2	$+74 \ 33$	72.4	+28.1	Sc-	5.1 2.7	11.61 11.09	+0.52	1748
6822	19 42.1	-1453	353.1	-19.9	Ir I	20 20	9.21 -	-	98G
6946	20 33.9	$+59\ 58$	63.1	+11.3	Sc-	14.4 12.6	9.67 8.96	e.71	330
6951	36.5	$+65\ 56$	68.2	+14.6	$\mathbf{Sb}$ +	6.4   5.2	11.84 11.09	0.75	300
7217	22  5.6	+31 $7$	54.7	-20.3	$\mathbf{Sb}$	7.4 6.1	11.00 10.20	0.80	1192
		, 52 .				= *.*			ı
7331	22 34.8	+34 10	62.0	-21.1	$\mathbf{Sb} +$	13.5 7.0	10.27 9.56	+0.71	1058
<b>764</b> 0	23 19.7	$+40\ 35$	73.5	-19.0	Sc+	13.5  3.6	11.31 11.00	0.31	
7741	41.4	$+25\ 48$	73.2	-34.5	Sc+	7.2 4.0	11.63 11.22	0.41	965
1)	1 0.7	- 1 39	99.2	-60.3	Ir I	23 23	10.00 9.61	0.39	-130G
<sup>2</sup> )	10 25	+68 8	106.6	+44.3	Ir I	16 8,0	10.91 10.62	0.29	$+166\mathrm{U}$

<sup>&</sup>lt;sup>1</sup>) IC 1613; <sup>2</sup>) IC 2574

#### 3.3.10. 614 Fixsterne heller als $4^{m}.50$

Das folgende Verzeichnis von 614 Sternen, die gleich oder heller als 4<sup>m</sup>.50 sind, ist nicht in der üblichen Weise nach Rektaszensionen, sondern alphabetisch nach Sternbildern geordnet. Als Schlüssel für die Aufsuchung solcher Sternbilder, deren lateinischer Name dem Leser nicht geläufig ist, dient das Sternbilderverzeichnis auf S. 75/76. Innerhalb der Sternbilder kommen, ebenfalls in alphabetischer Reihenfolge, zuerst die mit griechischen, dann die mit lateinischen Buchstaben bzw. mit Ziffern bezeichneten Sterne.

Diese Anordnung hat den Vorteil, daß ein bestimmter Stern sehr rasch zu finden ist und daß die Sterne eines Bildes, die ja auch am Himmel eine Gruppe bilden, unmittelbar beieinander stehen.

Zuerst sind die äquatorialen Positionen für 1950.0 sowie die galaktischen, auf die Milchstraße bezogenen Koordinaten gegeben. Die Rektaszensionen und Deklinationen sind teils dem Berliner Jahrbuch für 1950 entnommen, teils aus den Koordinaten für 1900 im Sternverzeichnis von Ambronn umgerechnet worden. Die galaktischen Koordinaten sind nach den Tafeln von Ohlson berechnet, bei denen der Nordpol der Milchstraße die Rektaszension  $12^{\rm h}~40^{\rm min}$  und die Deklination  $+28^{\circ}$  (für 1900.0) hat und der Nullpunkt der Längenzählung beim Schnittpunkt des galaktischen Äquators mit dem Himmelsäquator im Sternbild Aquila (Adler) liegt (Rektaszension  $=18^{\rm h}~40^{\rm min}$  für 1900.0).

Dann folgen die scheinbare visuelle Helligkeit nach der Revised Harvard Photometry und die Spektren, die letzteren nach dem Catalogue of Bright Stars von Schlesinger (Ausgabe 1940). Dem zuletzt genannten Katalog sind auch die Eigenbewegungen und die Radialgeschwindigkeiten entnommen.

Die Parallaxen – nur trigonometrisch bestimmte – wurden dem General Catalogues of Trigonometric Stellar Parallaxes von Louise F. Jenkins, Yale University Observatory, entnommen. Parallaxen, bei denen der wahrscheinliche Fehler gleich oder größer als das Resultat war, wurden wegen ihrer hohen Unsicherheit nicht mit aufgenommen. Die Entfernungen in Lichtjahren, die für viele Leser anschaulicher sein werden als die Parallaxen, sind aus diesen berechnet. Wegen der unvermeidlichen Fehler dieser schwierigen Messungen (im Durchschnitt  $\pm 0''.009$ ) beträgt die Unsicherheit der Entfernungen bei 40 Lichtjahren etwa 10 %, bei 70 Lichtjahren etwa 20 %, bei 100 Lichtjahren etwa 30 % und bei 200 Lichtjahren schon über 50 %.

Die absolute Helligkeit der Sterne, d.h. die Helligkeit, in der sie uns aus der Standardentfernung von 32.6 Lichtjahren (Parallaxe = 0".1) erscheinen würden, ist aus den scheinbaren visuellen Größen und den Parallaxen berechnet, enthält also auch die Unsicherheit dieser Werte. Doch gibt sie für nähere Sterne einen guten und für die entfernteren wenigstens einen genäherten Anhalt über ihre wahre Helligkeit. Die Sonne hat die absolute visuelle Helligkeit  $+4^{\rm M}$ .8, ist also schwächer als die meisten Sterne dieses Verzeichnisses. Über den Zusammenhang zwischen Sterngröße und Intensität siehe 3.1.7. Bei veränderlichen Sternen ist die maximale absolute Größe gegeben.

Ein \* am Zeilenanfang verweist auf die Bemerkungen am Schluß des Verzeichnisses. D bedeutet einen Doppelstern, der in kleineren Instrumenten bis etwa 10 cm Öffnung aufgelöst werden kann. D! ist auch in kleinsten Fernrohren von 5 cm Öffnung schon schön. d ist ein Doppelstern, der wegen des geringen Abstands oder der Lichtschwäche des Begleiters größere Instrumente erfordert. S ist ein spektroskopischer Doppelstern; ist seine Umlaufzeit bekannt, so steht sie hinter dem Symbol S, z.B. bei  $\alpha$  Andromedae S 96d.7. Ein anderes Beispiel:  $\pi$  Andromedae ist ein in kleinen Fernrohren trennbarer Doppelstern, dessen eine Komponente außerdem ein spektroskopischer Doppelstern mit 144d Umlaufzeit ist. Dafür steht: D, S 144d. Die Umlaufzeit ist bis zu einem Jahr in Tagen (d), darüber hinaus in Jahren (a) ausgedrückt.  $\mu$  Cephei-Sterne sind rote Veränderliche mit langsamem, unregelmäßigem Lichtwechsel, die sonst vorkommenden Veränderlichentypen: Mira-,  $\delta$  Cephei-, Algol- und  $\beta$  Lyrae-Sterne dürften bekannt sein.

Es ist immerhin beachtenswert, daß sich unter den etwa 600 hellen Sternen 17 Veränderliche mit Amplituden  $\geq 0^{\text{m}}.3$  befinden, die also mit dem einfachen Schätzungsverfahren beobachtet werden können.

Für die hellsten Sterne wurden die Größen einer Zusammenstellung lichtelektrischer Messungen von Harold L. Johnson entnommen. Da die lichtelektrischen Größen die durch visuelle Photometrie bestimmten Harvardgrößen erheblich an Genauigkeit übertreffen, wurden sie an Stelle der Harvardwerte eingesetzt und durch Fettdruck kenntlich gemacht.

Verzeichnis von 614 Fixsternen  $\supseteq$  4 $^{\mathrm{m}}$ .50 nördlich von  $\delta=-40^{\circ}$ 

Stern	198	50.0	Gala Koor	ktische dinaten	Visuelle	Spek-	100jäl	hr. EB	Mitt- lere	Paral-	Entf.	Absol.
	$\mathbf{R}\mathbf{A}$	Dekl.	ı	b	Größe	trum	$\mathbf{R}\mathbf{A}$	Dekl.	RG	laxe	in Lj.	vis. Gr.
And	comeda	•	•	•		•				•		
Anur	h min		0	0	m	1	<i>"</i>	"	km/s	l "	I	М
*α	0 5.8	$+28 \ 49$	81	-32	2.15	Al	+13.4	-16.1	-13	0.024	136	-1.0
β	1 6.9	$+35\ 21$	96	-27	2.37	MO	+17.7	-11.3	0	43	76	+0.6
* <sub>γ</sub>	2 - 0.8	+42   5	105	-18	2.13	K0+A0	+ 4.2	- 5.2	-13	5	650	-4.4
$*\delta$	0 36.6	$+30\ 35$	88	-32	3.49	K2	+13.3	- 9.0	- 8	24	136	+0.4
<b>*</b> 5	0 44.7	+24 0	91	-38	4.30	<b>K</b> 0	-10.4	- 8.0	-26	32	89	+1.8
$\vartheta$	0 14.5	+3824	84	-24	4.44	A2	- 5.5	-1.8	$+ \frac{2}{0}$	17	190	+0.6
ı	23 35.7	$egin{array}{c} +42\ 59 \\ +44\ 3 \end{array}$	77   78	$-17 \\ -17$	4.28 4.33	B8 A0	$+\ 2.5 \\ +\ 7.9$	$\begin{array}{ c c c c c c c c c c c c c c c c c c c$	$\begin{bmatrix} & 0 \\ - & 7 \end{bmatrix}$	$egin{array}{c} 5 \ 12 \end{array}$	650 270	$\begin{vmatrix} -2.2 \\ -0.3 \end{vmatrix}$
ૠ *ૠ	$23 \ 37.9$ $23 \ 35.1$	$egin{array}{cccccccccccccccccccccccccccccccccccc$	78	$-17 \\ -14$	4.00	<b>K</b> 0	$^{+}$ 7.9 $^{+}$ 15.8	$egin{array}{c} -1.9 \ -42.1 \end{array}$	- 7 + 7	43	$\frac{270}{76}$	$  -0.3 \\ +2.2  $
	0 54.0	$+38 \ 14$	93	$-14 \\ -24$	3.94	f A2	$^{+15.8}_{+15.2}$	+3.4	$\begin{vmatrix} + & 1 \\ + & 8 \end{vmatrix}$	32	89	+1.4
$_{v}^{\mu}$	0 47.0	$+40 \ 48$	91	-21	4.42	B3	+ 1.6	-1.9	-24	_	-	1. <del>1</del>
*0	22 59.6	$+42 \ \ 3$	70	-16	3.63	B5+A2p	+ 2.2	-0.2	-14	7	470	-2.2
$*\pi$	0 34.2	$+33\ 27$	88	-29	4.44	В3	+ 1.3	-0.6	+ 8	12	270	-0.2
$\boldsymbol{v}$	1 33.9	+41   9	100	-20	4.18	G0	-17.5	-37.8	-28	62	53	+3.2
<b>*</b> <i>ϕ</i>	1 6.6	$+46\ 59$	94	-15	4.28	<b>B</b> 8	+ 0.6	- 0.8	0	_	_	<u> </u>
Antli	ia											
α	10 24.9	<b>-3</b> 0 <b>49</b>	239	+22	4.42	<b>K</b> 5	- 7.7	+ 0.8	+13	0.017	190	+0.6
Aqua	rius											
α	22 $3.2$	- 034	28	-43	3.19	G0	+ 1.5	-0.5	+ 7	_	-	
β	21 28.9	-548	16	-39	3.07	G0	+ 1.6	- 0.6	+6	_	-	_
γ	22 19.1	- 1 38	31	-47	3.97	<b>A</b> 0	+12.6	+ 1.1	-13	0.040	82	+2.0
$\delta$	22 52.0	-16   5	19	-61	3.51	<b>A2</b>	-4.2	-2.1	+18	39	84	+1.4
3	20 45.0	-941	6	-32	3.83	A0	+ 2.8	- 3.3	-17	15	215	-0.3
<b>*</b> ζ	22 26.2	-0.17	34	-48	3.75	$\mathbf{F2}$	+19.0	+ 3.0	+27	13	250	-0.6
$rac{oldsymbol{\eta}}{artheta}$	$22 \ 32.8$ $22 \ 14.2$	$\begin{bmatrix} - & 0 & 23 \\ - & 8 & 2 \end{bmatrix}$	35 23	<b>-48</b> -50	$\begin{array}{c c} 4.13 \\ 4.32 \end{array}$	В8 <b>К</b> 0	+ 8.7	$\begin{array}{ c c c c c c c c c c c c c c c c c c c$	$egin{array}{c} -8 \ -15 \end{array}$	17 17	190	+0.3
* <sub>i</sub>	$\begin{array}{ccc} 22 & 14.2 \\ 22 & 3.7 \end{array}$	$egin{array}{c c} -8 & 2 \ -14 & 7 \end{array}$	$\begin{vmatrix} 23 \\ 12 \end{vmatrix}$	$\begin{bmatrix} -50 \\ -50 \end{bmatrix}$	4.35	B8	$+11.4 \\ +3.8$	$\begin{array}{ c c c c c c c c c c c c c c c c c c c$	-15 var.		190	+0.5
λ	22 50.0	-751	32	-57	3.84	M2	+ 0.4	+ 4.0	— 9	12	270	-0.8
τ	22 46.9	-1351	21	-59	4.21	K5	-1.7	-3.4	+ 1	11	<b>3</b> 00	-0.6
$\varphi$	23 11.7	- 6 19	40	-59	4.40	M2	+ 3.3	-9.2	0	7	<b>47</b> 0	-1.4
$\mathbf{c^2}$	23 6.8	$-21\ 27$	10	-67	3.80	<b>K</b> 0	+ 5.3	+ 3.7	+21			
$b^1$	23 20.3	$ -20 \ 22$	15	-69	4.20	<b>K</b> 0	-12.8	- 9.2	- 6	29	112	+1.5
Aqui	la											
α	19 48.3	+ 8 44	16	-10	0.80	A5	+53.5	+38.3	-27	0.198	16	+2.3
β	19 52.9	+617	14	-12	3.90	<b>K</b> 0	+ 3.9	-48.3	-40	70	47	+3.1
γ	19 43.9	+10 29	16	- 8	2.80	K2	+ 1.3	- 0.1	- 2	6	<b>54</b> 0	-3.3
δ	19 23.0	+31	$\frac{7}{15}$	-7	3.44	F0	+25.5	+7.9	-32	62	53	+2.4
arepsilon	18 57.4	+15 0	15	+4	4.21	<b>K</b> 0	- 5.6	-7.5	-48	$\frac{25}{26}$	130	+1.2
$*_{\boldsymbol{\eta}}$	19 3.1 19 49.9	$\begin{vmatrix} +13 & 47 \\ +0 & 53 \end{vmatrix}$	15 9	+2	$3.02 \\ 3.7-4.4$	A0 F6–G4	$-0.9 \\ +0.7$	-10.1 $-0.8$	$\begin{vmatrix} -25 \\ -15 \end{vmatrix}$	36	91	+0.8
$*\vartheta$	20 8.7	$\begin{bmatrix} + & 0.55 \\ - & 0.58 \end{bmatrix}$	10	$-14 \\ -18$	3.37	B9	+ 0.7 + 3.4	$\begin{array}{c c} - 0.8 \\ + 0.5 \end{array}$	$\begin{bmatrix} -15 \\ -29 \end{bmatrix}$	8	410	$egin{array}{c} - \ -2.1 \end{array}$
ι	19 34.1	$\begin{bmatrix} - & 0.38 \\ - & 1.24 \end{bmatrix}$	4	$-13 \\ -12$	4.28	B3	7.4	$\begin{array}{ c c c c c c c c c c c c c c c c c c c$	$\begin{vmatrix} -2s \\ -23 \end{vmatrix}$	-	410	
λ	19 3.6	-458	358	-7	3.55	B9	$-\   {\overset{0.0}{2.5}}$	-8.9	-14	25	1 <b>3</b> 0	+0.6
i	18 59.0	-549	357	- 6	4.15	K0	$-\   2.4$	- 3.4	-44	17	190	+0.4
		1 3 20	1	<u> </u>	1			0.1	1 **		-50	

Stern	195	0.0		ktische dinaten		Spek-	100jäl	nr. <b>E</b> B	Mitt- lere	Paral-	Entf.	Absol.
	$\mathbf{R}\mathbf{A}$	Dekl.	l	b	Größe	trum	$\mathbf{R}\mathbf{A}$	Dekl.	RG	laxe	in Lj.	Vis.Gr.
Aries	<del>-</del> -	_		-	·			•				
Artes	h min	0 ,	I •	0	m	1 1	"		km/s	1 "	ſ	M
	2 4.3	$+23 \ 14$	113	-35	2.00	$\mathbf{K}2$	+19.2	-14.6	-14	$ _{0.043}$	76	+0.2
α *β	1 51.9	+20.34	111	$\begin{vmatrix} -35 \\ -39 \end{vmatrix}$	$\begin{vmatrix} 2.00 \\ 2.72 \end{vmatrix}$	A5	+ 19.2 + 9.8	-14.0 $-11.0$	$\begin{vmatrix} -14 \\ -3 \end{vmatrix}$	63	52	+0.2 +1.7
*2	1 50.8	$  +19 \ 4  $	111	-40	4.00	A0p	+ 7.8	-10.7	+1	$\begin{vmatrix} 03 \\ 21 \end{vmatrix}$	155	+0.6
41c	2 47.0	+27   3	121	-27	3.68	B8	+6.7	-11.3	$+\hat{4}$	31	105	+0.1
Auri	aa											
*α	5 13.0	$  +45 \ 57$	130	+ 6	0.09	Gl	+ 8.3	-42.7	L 1130	0.073	45	-0.6
*β	5 55.9	+4457	135	+12	1.90	A0p	-5.1	-0.4	-18	37	89	-0.3
δ	5 55.4	+54 17	127	+16	3.88	K0	+ 8.5	-12.8	+ 9	20	165	+0.4
$*_{\varepsilon}$	4 58.4	$+43 \ 45$	132	+ 2	3.08	cF2	+ 0.3	-0.7	- 3	_	_	_
<b>*</b> 5	<b>4</b> 59.0	+41 0	133	+ 1	3.94	K4-B9	+ 1.5	- 2.3	+11		_	-
$\eta$	5 3.0	+41 10	133	+2	3.28	В3	+ 2.9	-7.1	+8	13	250	-1.2
$*\vartheta$	5 56.3	+37 13	142	+ 8	2.71	A0p	+ 5.1	- 8.3	+29	18	180	-1.0
$\iota$	4 53.7	+33   5	138	_ 5	2.90	K2	+ 0.8	-1.9	+17	15	215	-1.2
χ	6 12.2	$\begin{vmatrix} +29 & 31 \\ +39 & 8 \end{vmatrix}$	150	$\begin{vmatrix} + & 7 \\ + & 7 \end{vmatrix}$	4.45	K0	-6.7	-26.4	+20	16	205	+0.4
<u>v</u>	5 48.0	+39 8	139	+ 7	4.18	<b>K</b> 0	0.0	+ 0.8	+ 9	17_	190	+0.4
Boote	es											
α	14 13.4	$  +19 \ 27$	344	+68	-0.06	<b>K</b> 0	+109.8	-200.3	- 4	0.090	36	-0.3
$\beta$	15 0.1	$+40\ 35$	34	+59	3.63	G5	-4.4	- 3.9	-20	22	148	+0.3
3'	14 30.1	+3832	34	+65	3.00	F0	-11.5	+14.6	-36	16	205	-1.0
*ð	15 13.5	$  +33 \ 30 $	20	+57	3.54	K0	+8.5	-12.1	-12	28	116	+0.7
*°	14 42.8 14 38.8	$  \begin{array}{c} +27 \ 17 \\ +13 \ 56 \end{array}  $	$\begin{vmatrix} 7\\339 \end{vmatrix}$	+63	$\frac{2.59}{3.86}$	K0+A0 A2	$egin{array}{l} - \ 4.9 \ + \ 5.2 \end{array}$	+ 1.4	-16	13	250	-1.8
*ς *η	13 52.3	+13 30    +18 39	334	+59  +72	$\frac{3.80}{2.80}$	F7	$\begin{array}{ c c c c c c c c c c c c c c c c c c c$	$\begin{vmatrix} -2.6 \\ -36.5 \end{vmatrix}$	$\begin{bmatrix} -5 \\ 0 \end{bmatrix}$	$\begin{vmatrix} -102 \end{vmatrix}$	$\begin{array}{ c c c c c c c c c c c c c c c c c c c$	-1 + 2.8
$\vartheta$	14 23.5	$+52^{\circ}5$	59	+59	4.06	F8	-23.8	-40.4	-11	67	48	+3.2
**	14 11.7	+52   1	62	+61	4.44	A5	+6.3	-1.0	+20	14	230	+0.1
λ	14 14.5	+46 19	52	+63	4.26	A0	-18.4	+15.4	- 8	43	76	+2.5
$*\mu$	15 22.6	$+37 \ 33$	27	+55	4.33	<b>F</b> 0	-14.7	+ 8.0	- 9	<b>3</b> 0	109	+1.7
$\varrho$	14 29.7	$+30\ 35$	14	+66	3.78	<b>K</b> 0	-10.1	+11.5	-14	1	<b>13</b> 0	+0.8
$\sigma$	14 32.5	$\begin{vmatrix} +29 & 58 \\ +16 & 3 \end{vmatrix}$	12	+66	4.48	F0	+18.7	+12.4	$\begin{vmatrix} 0 \\ -6 \end{vmatrix}$		52	+3.5
v	13 47.1 elopardali	'	324	+70	4.28	K5	- 9.5	+ 3.4	0	10	330	-0.7
			Liza	1 ; 3 = 1	4.90	l Do	l i ne		1 ( )	I	1	ı
∝ R	4 49.1	$+66\ 16$	$\begin{array}{ c c } 112 \\ 117 \end{array}$	+15		B0 C0n	+ 0.5	$\begin{vmatrix} + & 0.8 \\ - & 1.5 \end{vmatrix}$	$\begin{vmatrix} + & 6 \\ - & 2 \end{vmatrix}$		<b>47</b> 0	-1.6
$oldsymbol{eta}{7}$	4 59.0 4 53.3	$\begin{vmatrix} +60 & 22 \\ +53 & 41 \end{vmatrix}$	$\begin{vmatrix} 117 \\ 122 \end{vmatrix}$	$\begin{vmatrix} +12 \\ +8 \end{vmatrix}$	$\begin{array}{c} 4.22 \\ 4.44 \end{array}$	$egin{array}{c} { m G0p} \\ { m A2} \end{array}$	$\begin{array}{ c c c c c c c c c c c c c c c c c c c$	$  \begin{array}{c} -1.5 \\ +0.6 \end{array}  $	$\begin{bmatrix} - & 2 \\ - & 8 \end{bmatrix}$		470	-1.0
*2H	3 25.0	+5946	109		4.42	B9p	+ 0.2	$\begin{bmatrix} + 0.0 \\ 0.0 \end{bmatrix}$	$\begin{bmatrix} - & 3 \\ - & 7 \end{bmatrix}$			_
Canc	1	1	1			1 - T	1	1	1	I	<u> </u>	<u> </u>
vanc *α		100	110=	<u>  1</u> 95	1 4 97	<b>1.9</b>	+ 3.5	_ 97	_ 14	0.018	100	+0.6
*β	8 55.8 8 13.8	$\begin{vmatrix} +12 & 3 \\ + & 9 & 20 \end{vmatrix}$	$\begin{vmatrix} 185 \\ 182 \end{vmatrix}$	$\begin{vmatrix} +35 \\ +25 \end{vmatrix}$	$oxed{4.27} 3.76$	A3   K2	$\left  egin{array}{c} + \ 3.5 \ - \ 4.6 \end{array} \right $	$  \begin{array}{cc} - & 3.7 \\ - & 5.1 \end{array} $	$\begin{vmatrix} -14 \\ +22 \end{vmatrix}$	14	$\begin{vmatrix} 180 \\ 230 \end{vmatrix}$	-0.5
$\overset{ ho}{oldsymbol{\delta}}$	8 41.8	$  \begin{array}{c} + & 3 & 20 \\ + & 18 & 20 \end{array}  $	175	+35	4.17	K0	-1.4	-23.6	+17	-	_	- 0.5
<b>*</b> ξ	8 9.3	+1748	173	+26	4.09	Go	+6.9	-14.1	-6	39	84	+2.0
*11	8 43.7	$+23\ 57$	164	+38	4.09	G5+A5	- 1.8	<b>- 4.6</b>	+16	21	155	+0.7

<sup>8</sup> Ahnert, Prakt. Astronomie

Stern	195	50.0		ktische linaten	Visuelle	Spek-	100jäl	nr. EB	Mitt- lere	Paral-	Entf.	Absol.
	RA	Dekl.	l	b	Größe	trum	RA	Dekl.	RG	laxe	in Lj.	vis.Gr.
$\overline{Cane}$	s Venatici	,		•								
	h min	· /	0	0	m	J	J "	"	km/s	J "	1	M
*%	12 53.7	$+38\ 35$	78	+78	2.90	A0p	-23.4	+ 5.2	- 3	0.023	142	-0.3
β	12 31.4	+41 38	99	+75	4.32	G0	-70.5	+28.4	+ 7	108	30	+4.5
Cani	s Maior											
<b>*</b> α	6 42.9	$ -16\ 39 $	195	- 8	-1.43	A0	-37.4	-121.0		0.375	8.7	
<b>*</b> β	6 20.5	-17.56	193	-13	1.97	B1	- 0.4	-0.1	+33	14	230	-2.3
7	7 1.5	$-15\ 33$	196	-3	4.07	B5	+ 0.3	-0.8	+30	-		-
$\delta$	7 6.4	$-26\ 19$	206	-7	1.84	F8p	-0.4	+ 0.3	+34	_	_	-
$*_{arepsilon}$	6 56.7	-2854	208	-10	1.78	B1	+ 0.3	-0.3	+27	_	-	-
ζ	6 18.4	$\begin{bmatrix} -30 & 2 \\ 20 & 12 \end{bmatrix}$	$\begin{vmatrix} 205 \\ 210 \end{vmatrix}$	$-18_{-5}$	$egin{array}{c} 3.10 \ 2.43 \ \end{array}$	B3	$\begin{vmatrix} + & 0.3 \\ - & 0.7 \end{vmatrix}$	+ 0.2	+33	-	_	_
$\eta$	$egin{array}{cccc} 7 & 22.1 \ 6 & 51.9 \end{array}$	$ \begin{array}{r r} -29 & 12 \\ -11 & 58 \end{array} $	192	$\begin{vmatrix} -5 \\ -4 \end{vmatrix}$	$\begin{array}{c c} 2.43 \\ 4.25 \end{array}$	B5p K2	$\begin{bmatrix} -0.7 \\ -14.0 \end{bmatrix}$	$\begin{vmatrix} + & 0.4 \\ - & 1.8 \end{vmatrix}$	$\begin{vmatrix} +40 \\ +97 \end{vmatrix}$	$\begin{array}{c c} - \\ 21 \end{array}$	155	+0.8
$\vartheta$	$\begin{array}{c} 6 \ 53.9 \\ \end{array}$	-1659	196	$\begin{bmatrix} - & 4 \\ - & 5 \end{bmatrix}$	4.39	B5	$\begin{vmatrix} -14.0 \\ -0.3 \end{vmatrix}$	$\begin{array}{c c} -1.8 \\ +1.0 \end{array}$	$ar{+41}$		100	TU.0
ι z	6 48.0	$-32 \ 27$	209	-14	3.78	B2p	-0.9	+ 0.4	+14	_		
ñ	$\begin{array}{c} 6 & 26.3 \end{array}$	$-32\ 33$	209	-18	4.48	B5	-2.4	+ 2.3	+41	_		_
$v^2$	$\begin{array}{c} 6 \ 34.2 \end{array}$	$-19 \ 13$	196	-10	4.14	<b>K</b> 0	+6.4	-7.6	+2	52	63	+2.7
ξ1	6 29.9	$-23 \ 23$	199	-13	4.35	B1	-0.4	+ 1.0	+27	_	-	_
$o^1$	$6\ 52.1$	-24   7	202	- 9	4.12	K2p	- 0.8	+ 1.0	+36		_	_
$o^2$	7 0.9	$-23\ 46$	204	7	3.12	B5p	0.0	0.0	+49	_	-	_
o	659.7	$-27 \ 52$	207	-10	3.68	K5	- 0.3	0.0	+22	17	190	-0.1
*τ	7 16.6	$-19\ 11$	206	<b> </b> - 5	4.40	0e5	-1.0	+ 0.7	+40	_	-	_
ω	7 12.8	$ -26\ 41$	208	- 6	3.83	ВЗр	- 0.9	+ 0.3	+26	-		
Cani	s Minor											
* <b>x</b>	7 36.7	+ 531	182	+14	0.37	F5	-70.6	-103.2	- 3	0.288	11	+2.7
β	7 24.4	+ 823	178	+13	3.09	В8	- 5.0	-4.2	+23	20	165	-0.4
$\overline{Capr}$	icornus											
$\alpha^1$	20 14.9	$ -12\ 40$	359	-26	4.55	G0p	+ 1.6	+ 0.4	-26	J –		-
$*\alpha^2$	20 15.3	$-12 \ 42$	359	-26	3.77	G5	+ 6.0	+ 0.5	0	0.033	99	+1.3
<b>*</b> β	20 18.2	-14 56	357	-28	3.25	G0+B8	+ 3.9	+ 0.3	-19	_	-	_
$\gamma$	21 37.3	-16 53	4	-46	3.80	F0p	+18.5	- 2.1	-31	25	130	+0.8
$*\delta$	21 44.3	$-16\ 21$	5	-47	2.98	A7	+26.1	-29.3	- 5	65	50	+2.1
J L	21 23.8	$-22\ 38$	354	-45	3.86	G5p	-0.1	+ 2.4	+3	_	_	-
$\vartheta$	21 3.1	-17 26	359	-39	4.19	A0	+8.2	-5.8	-11	_	100	
ι	21 19.5	$-17 \ \ 3$	2	-42	4.30	K0	+3.2	+0.7	+12	24	136	+1.2
ψ	20 43.1 20 48.8	$     \begin{array}{rrr}     -25 \ 27 \\     -27 \ 6   \end{array} $	347 346	$\begin{vmatrix} -37 \\ -38 \end{vmatrix}$	$\begin{array}{ c c }\hline 4.26\\ 4.24\end{array}$	F8 M1	$\begin{array}{ c c c c c c c c c c c c c c c c c c c$	$\begin{array}{ c c c c c c c c c c c c c c c c c c c$	$\begin{vmatrix} +26 \\ +9 \end{vmatrix}$	90	36	+4.1
ω	_	-21 0	040	30	4.24	1111	- 0.0	- 0.8	+ 0			
	iopeia				10.1.00	1 770				10.00 <b>0</b>	1.000	
*α 8	$egin{array}{ccc} 0 & 37.7 \ 0 & 6.5 \end{array}$	$  \begin{array}{c} +56 \ 16 \\ +58 \ 52 \end{array}  $	89   85	$\begin{bmatrix} - & 6 \\ - & 3 \end{bmatrix}$	$\begin{bmatrix} 2.1 – 2.6 \\ 2.42 \end{bmatrix}$	K0   F5	$  \begin{array}{c} + 5.0 \\ + 52.7 \end{array}  $	$\begin{vmatrix} -2.9 \\ -17.8 \end{vmatrix}$	-4 + 12	$\begin{vmatrix} 0.009 \\ 72 \end{vmatrix}$	360   45	$\left  egin{array}{c} -3.1 \ +1.7 \end{array}  ight $
β *γ	$\begin{array}{c c} 0 & 6.5 \\ 0 & 53.7 \end{array}$	$\begin{vmatrix} +58 & 52 \\ +60 & 27 \end{vmatrix}$	$\begin{vmatrix} 85 \\ 92 \end{vmatrix}$	$\begin{bmatrix} -& 3 \\ -& 2 \end{bmatrix}$	1.6-3.0		$\begin{array}{ c c c c c c c c c c c c c c c c c c c$	$\begin{bmatrix} -17.8 \\ -0.2 \end{bmatrix}$	$\begin{vmatrix} +12 \\ - \end{vmatrix}$	34	96	$\begin{bmatrix} +1.7 \\ -0.8 \end{bmatrix}$
$\delta$	$\begin{array}{c c} 0.53.7 \\ 1.22.5 \end{array}$	+5959	95	$\begin{bmatrix} -& z \\ -& 2 \end{bmatrix}$	$\begin{vmatrix} 1.0 - 3.0 \\ 2.80 \end{vmatrix}$	A3	$\begin{array}{ c c c c c c c c c c c c c c c c c c c$	-0.2 $-4.7$	+ 7	29	112	-0.3   +0.1
ε	1 50.8	$+63\ 25$	98	$ +\tilde{2} $	3.44	B3	+3.5	-1.6	$\begin{bmatrix} 1 & 1 \\ -8 & 1 \end{bmatrix}$	7	470	-2.4
ر د ر	0 34.2	$+53\ 37$	89	$\begin{vmatrix} 1 & 2 \\ - & 9 \end{vmatrix}$	3.72	B3	+ 1.8	-0.8	+2	_'		
$*\eta$	0 46.0	$+57 \ 33$	91	-5	3.64	F8	+110.1	-52.3	$+$ $\overline{9}$	182	18	+4.9
×	0 30.1	$+62\ 39$	89	0	4.24	B0	+ 0.4	0.0	- 4	_	-	
*50	1 59.1	$+72\ 11$	96	1	4.06	A2	- 4.2	+ 2.7	-12	_	_	_
		•	<u>'                                    </u>		ı	1	I .	t .	'	<u> </u>	·	<u>'                                     </u>

Verzeichnis von 614 Fixsternen (Fortsetzung)

Stern	195	0.0		ktische linaten		Spek-	100jäl	nr. EB	Mitt- lere	Paral-	Entf.	Absol.
	RA	Dekl.	ı	b	Größe	trum	RA	Dekl.	RG	laxe	in Lj.	vis.Gr.
Cente	aurus				·					_	<u>'                                    </u>	<u>'                                    </u>
	h min	° ′	0	0	m		"	<b>"</b>	km/s	"	I	M
$\vartheta$	14 3.7	-36   7	288	+23	2.26	$\mathbf{K}0$	-52.1	-52.2	+ $1$	0.059	55	+1.2
ι	13 17.8	$-36\ 27$	278	+25	2.91	A2	-33.9	-9.2	0	46	70	+1.2
$\psi$	14 17.5	$-37 \ 39$	290	+22	4.17	A0	- 6.8	- 1.4	- 4	_	-	-
$rac{\mathbf{b}}{\mathbf{c^1}}$	14 38.8 14 40.6	-37.35	294	+20	4.09	B3	- 2.5	-3.8	+8	-	-	_
*d	14 40.6 13 28.1	$\begin{vmatrix} -34 & 58 \\ -39 & 9 \end{vmatrix}$	296   279	$\begin{vmatrix} +21 \\ +22 \end{vmatrix}$	$oxed{4.13} 3.96$	<b>K</b> 0 <b>K</b> 0	$egin{array}{cccccccccccccccccccccccccccccccccccc$	$egin{array}{l} -19.0 \ -2.2 \end{array}$	-39	-	_	-
g	13 46.5	$\begin{bmatrix} -39 & 9 \\ -34 & 12 \end{bmatrix}$	285	$\begin{vmatrix} \pm 22 \\ \pm 26 \end{vmatrix}$	<b>4.4</b> 0	M3	$egin{array}{ccc} -&1.6 \ -&4.7 \end{array}$	$egin{bmatrix} -2.2 \ -6.4 \end{bmatrix}$	$egin{bmatrix} -3 \ +41 \end{bmatrix}$	- 49	66	$  { }^{-}_{+2.9}$
*i	13 42.8	-3247	284	+27	4.36	F5	-46.0	-15.1	-23	45	$\frac{72}{72}$	$+2.9 \\ +2.7$
$*_k$	13 48.9	$-32\ 45$	285	+27	4.47	B5	- 3.8	-4.5	+14	_	-	'
n	12 50.7	$-39 \ 54$	272	+22	4.34	A5	+ 6.8	- 3.2	-2	47	69	+2.8
Ceph	eus					·					<u> </u>	<u>.                                      </u>
α	21 17.4	$  +62 \ 22$	68	+ 9	2.60	A5	+14.7	+ 5.0	-12	0.063	52	+1.6
<b>∗</b> β	21 28.0	$+70 \ 20$	75	+14	3.32	В1	+ 1.0	+ 1.0	-18	_	_	-
$\gamma$	23 37.3	+77 21	86	+15	3.42	<b>K</b> 0	-6.5	+15.4	-42	64	51	+2.4
$*\delta$	22 27.3	$+58\ 10$	73	+1	1	F5-G2	+ 1.2	+ 0.2	-16	\ -	-	-
$\epsilon$	22 13.1	$+56 \ 48$	71	+1	4.23	F0	+44.4	+ 4.8	var?	39	84	+2.1
ζ	$\begin{vmatrix} 22 & 9.1 \\ 20 & 44.3 \end{vmatrix}$	$\begin{vmatrix} +57 & 57 \\ +61 & 39 \end{vmatrix}$	71	+2	3.62	<b>K</b> 0	+ 1.4	+0.6	-18	19	170	0.0
$\overset{\boldsymbol{\eta}}{*\vartheta}$	20 44.3	$\begin{array}{c c} +61 & 39 \\ +62 & 50 \end{array}$	65	$\begin{vmatrix} +11 \\ +14 \end{vmatrix}$	$\begin{array}{ c c c c }\hline 3.59 \\ 4.28 \end{array}$	K0 A5	$\begin{array}{ c c c c c c c c c c c c c c c c c c c$	$  +82.0 \\ -1.4  $	-87	71	46	+2.9
ι	22 47.9	$+65\ 56$	79	+7	3.68	<b>K</b> 0	$\begin{bmatrix} -4.2 \\ -6.7 \end{bmatrix}$	$-1.4 \\ -12.2$	var.   -12	32 36	$\begin{vmatrix} 102 \\ 91 \end{vmatrix}$	$ +1.7 \\ +1.5$
*%	20 10.6	+7734	77	+22	<b>4.4</b> 0	B9	+ 0.9	+2.6	-23	_	<del> </del>	<del>+</del> 1.5
$*\mu$	21 42.0	$+58\ 33$	68		3.6-5.1		0.0	-0.2	+22	13	250	-0.8
$\stackrel{\cdot}{\nu}$	21 44.0	+60 53	70	+6	4.46	A2p	-0.3	0.0	-21	9	360	-0.5
* £	22 2.3	+64 22	73	+ 7	4.40	A3+G	+19.6	+ 8.8	- 8	29	112	+1.7
Cetus	S					_				_		-
α	2 59.7	+ 3 54	141	-44	2.82	<b>M</b> 2	- 0.9	-7.4	-25	-	_	l –
β	0 41.1	$-18 \ 16$	90	-81	2.24	$\mathbf{K}0$	+23.0	+ 4.0	+13	0.057	57	+1.0
$\gamma$	2 40.7	+32	137	-48	3.58	A2	-14.1	-14.7	-11	48	67	+2.0
$\delta$	2 36.9	+0.7	139	-51	4.04	B2	+ 1.2	+ 0.2	+12		l –	-
ζ	1 <b>49.</b> 0 1 <b>6.1</b>	-10.35	135	-67	3.92	<b>K</b> 0	+3.4	-3.6	+9	38	87	+1.8
$oldsymbol{\eta}{oldsymbol{artheta}}$	$\begin{array}{c cccc} & 1 & 6.1 \\ & 1 & 21.5 \end{array}$	$\begin{vmatrix} -10 & 27 \\ -8 & 26 \end{vmatrix}$	109 119	$\begin{vmatrix} -72 \\ -69 \end{vmatrix}$	3.60 3.83	<b>K</b> 0 <b>K</b> 0	$\begin{array}{ c c c c } +21.3 \\ -8.0 \end{array}$	$egin{array}{c} -13.2 \ -21.5 \ \end{array}$	+12	32	102	+1.0
$*\iota$	0 16.9	$\begin{bmatrix} - & 6 & 20 \\ - & 9 & 6 \end{bmatrix}$	71	$\begin{bmatrix} -69 \\ -69 \end{bmatrix}$	3.75	<b>K</b> 0	$\begin{array}{c c} - 8.0 \\ - 1.8 \end{array}$	$\begin{array}{ c c c c c c c c c c c c c c c c c c c$	$ +17 \\ +19$	34 10	96   330	+1.4
$\mu$	$\begin{array}{c c} 0 & 10.3 \\ 2 & 42.2 \end{array}$	+954	132	$\begin{vmatrix} -69 \\ -42 \end{vmatrix}$	4.36	<b>F</b> 0	+28.4	$\begin{array}{c c} -2.9 \\ -3.0 \end{array}$	$  +19 \\   +29  $	40	82	$ -1.2 \\ +2.4$
ξ <sup>2</sup>	2 25.5	+814	129	-46	4.34	$\mathbf{A0}$	+4.0	-0.4	+12	$\frac{1}{22}$	148	+1.0
*0	2 16.8	-312	136	-56	2.0-10.1		- 0.9	-23.3	+22	13	250	-2.6
$\pi$	2 41.7	-14 4	160	-59	4.39	B5	- 0.6	- 1.2	+15	_	_	_
τ	1 41.7	-16 12	142	-71	3.65	<b>K</b> 0	-171.8	+86.0	-16	275	12	+5.8
$\frac{v}{}$	1 57.6	-21 19	165	<del> 71</del>	4.18	<b>M</b> 0	+12.7		+18	-		
Colu		1 94 2	Look	1 00		l D~			1	1	1	
*α β	5 37.8 5 49.2	$\begin{vmatrix} -34 & 6 \\ -35 & 47 \end{vmatrix}$	$\begin{vmatrix} 206 \\ 209 \end{vmatrix}$	$\begin{vmatrix} -28 \\ -26 \end{vmatrix}$	$\begin{array}{ c c }\hline 2.75\\ 3.22\end{array}$	B5p	- 0.1	-2.6	+35		140	- 0.0
$\gamma$	5 55.8	$\begin{vmatrix} -35 & 47 \\ -35 & 17 \end{vmatrix}$	209	$\begin{vmatrix} -26 \\ -25 \end{vmatrix}$	$\begin{array}{ c c }\hline 3.22\\ 4.36\end{array}$	<b>K</b> 0 <b>B3</b>	$\begin{array}{ c c c c c c c c c c c c c c c c c c c$	$+39.9 \\ +0.5$	$egin{array}{c} +89 \ +24 \ \end{array}$	0.023	142	0.0
$*\delta$	$\begin{array}{c ccccccccccccccccccccccccccccccccccc$	$\begin{bmatrix} -33 & 17 \\ -33 & 25 \end{bmatrix}$	208	$\begin{vmatrix} -25 \\ -19 \end{vmatrix}$	3.98	Gl	$\begin{array}{ c c c c c c c c c c c c c c c c c c c$	$egin{array}{cccc} + & 0.3 \ - & 5.6 \end{array}$	$\begin{vmatrix} +24 \\ -3 \end{vmatrix}$	13	250	-0.4
ε	5 29.4	$-35\ 30$	208	-30	3.92	$\mathbf{K}_0$	+ 2.3	-3.7	$\begin{bmatrix} -5 \\ -5 \end{bmatrix}$	-	200	
	<u> </u>	<u> </u>	<u> </u>	<u> </u>	1					<u> </u>	<u> </u>	<u> </u>

Verzeichnis von 614 Fixsternen (Fortsetzung)

Stern	195	60.0	Galal Koore	ctische linaten	Visuelle	Spek-	100jäh	r. EB	Mitt-	Paral-	Entf.	Absol.
Stern	RA	Dekl.	l	b	Größe	trum	RA	Dekl.	RG	laxe	in Lj.	vis.Gr.
Come	a Berenice	8								_		
	h min	° ,	0	0	m		"	/ "	km/s		}	M
*α	13 7.6	+17 47	298	+78	4.47	F5	-43.1	+12.9	-18	0.057	57	+3.5
$\beta$	13 9.5	$\frac{ +28 \ 8 }{ +28 }$	3	+84	4.43	G0	-79.9	+87.6	+ 6	120	27	+4.7
	$na\ Boreals \ 15\ 32.6$	$is \   \ +26\ 53$	l 0	+53	2.31	A1	+11.9	- 9.8	l <b>2</b>	0.043	76	+0.5
*α	15 32.6 15 25.8	$\begin{array}{c ccccccccccccccccccccccccccccccccccc$	$\begin{vmatrix} 9\\12 \end{vmatrix}$	+54 + 54	$\begin{vmatrix} 2.31\\ 3.72 \end{vmatrix}$	F0p	$+11.5 \\ -18.1$	$\begin{array}{cccccccccccccccccccccccccccccccccccc$	$egin{array}{c} + 3 \ -21 \end{array}$	31	105	+0.5 +1.1
β *γ	15 40.6	$\begin{array}{ c c c c c c c c c c c c c c c c c c c$	9	+54 +51	3.93	A0	$-16.1 \\ -10.6$	+3.8	-10	$\frac{31}{26}$	126	+1.1 +1.0
$*_{arepsilon}$	15 40.0	$\begin{array}{ c c c c c c c c c c c c c c c c c c c$	10	$  ^{+51}_{+48}  $	4.22	K0	$-10.0 \\ -8.2$	$\begin{array}{ c c c c c c c c c c c c c c c c c c c$	-30	$\begin{vmatrix} 20 \\ 21 \end{vmatrix}$	155	+0.8
$\frac{\cdot_{\mathcal{E}}}{\vartheta}$	15 30.9	$\begin{vmatrix} +27 & 1 \\ +31 & 32 \end{vmatrix}$	17	$  +43 \\ +53  $	4.17	B5	$-\   \frac{3.2}{-\   2.6}$	-2.2	-25	$\begin{vmatrix} 21 \\ 20 \end{vmatrix}$	165	+0.7
		+01 02	11	1 1 00	1.11	Бо	2.0		20		100	1 1 0
Corve		l 04.0 <del>=</del>	1000		1 4 10	1 730	9	1 40		0.059	61	Lino
α	12 5.8	$-24 \ 27$	$\begin{vmatrix} 260 \\ 266 \end{vmatrix}$	+37	$egin{array}{c} 4.18 \ 2.84 \ \hline \end{array}$	F2 G5	+ 8.3 + 0.4	$\begin{array}{ c c c c c c c c c c c c c c c c c c c$	$\begin{vmatrix} + & 4 \\ - & 8 \end{vmatrix}$	$\begin{array}{ c c } 0.053 \\ 27 \end{array}$	$\begin{array}{ c c } & 61 \\ 121 \end{array}$	$\begin{vmatrix} +2.8 \\ 0.0 \end{vmatrix}$
β	12 31.8 12 13.2	$egin{array}{c c} -23 & 7 \ -17 & 16 \ \end{array}$	261	$ +39 \\ +44$	$\begin{array}{ c c } 2.34 \\ 2.78 \end{array}$	B8	$^{+}$ 0.4 $-16.2$	$\begin{array}{c c} - & 5.9 \\ + & 1.5 \end{array}$	-     -		121	0.0
*γ δ	12 13.2 12 27.3	$\begin{bmatrix} -17 & 10 \\ -16 & 14 \end{bmatrix}$	$\begin{vmatrix} 201 \\ 264 \end{vmatrix}$	$\begin{vmatrix} +44\\ +46 \end{vmatrix}$	3.11	A0	$-10.2 \\ -21.0$	-14.6	+ 8	18	180	-0.6
υ *ε	12 27.5 12 7.5	$-10^{14} \\ -22^{21}$	259	+39	$\frac{3.11}{3.21}$	$\mathbf{K}0$	-6.9	+ 0.7	+5	20	165	-0.3
	12 29.5	-15 55	$\begin{vmatrix} 266 \\ 266 \end{vmatrix}$	$\begin{vmatrix} +35 \\ +46 \end{vmatrix}$	4.42	F0	-42.8	-6.7	-4	44	74	+2.6
$\frac{\eta}{\alpha}$		10 00	200	1 40	1.12	10_		0.,	1 -	1 11		1 1 2.0
Crate			1000	1 . 00	1 4 20	1 750	40.7	1 100	1 4 7	10.004	1.00	
α	10 57.3	$ -18 ^2$	239	+38	4.20	K0	-46.1	+12.3	l	0.024	136	+1.1
*γ	11 22.4	-17 25	244	+41	4.14	A5	-10.6	-0.1	0	22	148	+0.8
$\delta$	11 16.8	$ -14\ 30 $	<b>24</b> 0	+43	3.82	<b>K</b> 0	-12.5	+19.9	- 5	19	170	+0.2
Cygn												
œ	20 39.7	+45 6	52	+2	1.26	A2p	- 0.2	+ 0.2		0.005	650	-5.2
<b>*</b> β	19 28.7	+27 51	30	+ 3	3.10	<b>K</b> 0+ <b>A</b> 0	-0.3	-0.8	-24	\	-	_
?	20 20.4	+40 6	46	+ 1	2.32	F8p	+ 0.1	0.0	-8	_	-	-
$*\delta$	19 43.3	+45 0	46	+10	2.97	A0	+4.5	+4.0	-19	21	155	-0.4
$\varepsilon$	20 44.2	$+33 \ 47$	44	-7	2.64	<b>K</b> 0	+35.5	+32.5	-10	44	74	+0.8
ځ	21 10.8	+30 1	45	-13	3.40	<b>K</b> 0	-0.3	-5.6	+17	21	155	0.0
$*\eta$	19 54.4	+24 57	39	+3	4.03	K0	-3.6	-2.9	-26	_	-	_
ι	19 28.4	$+51\ 37$	52	+15	3.94	A2	+ 2.0	+12.7	-18	_	_	_
×	19 15.9	+53 17	52	+17	3.98	K0	+ 5.7	+12.2	-29	<u> </u>	_	_
* λ	20 45.5	$+36\ 18$	46	-5	4.47	B5	+0.6	-1.0	-25	-	70	190
$*\mu$	21 41.9	+2831	49	-19	4.45	F5	+28.7	-24.1	+18	45	72	+2.8
v	20 55.3	+40.58	51	-3	4.04	A0	+ 0.8	-1.6	-30	_	_	_
*ξ *.°	21 3.1	$+43 \ 44$	54	-2	3.92	K5	+ 0.3	$+ 0.2 \\ 0.0$	$\begin{vmatrix} -20 \\ -3 \end{vmatrix}$	_	_	_
*0 <sup>2</sup>	20 12.1	+46.35	50	+6	3.95	K0+B8	0.0	+ 0.5	$-3 \\ -14$	-	_	_
*01	20 11.7	+4635	51	+6	4.16	A2 B3	-0.4 + 0.3	$\begin{array}{ c c c c c c c c c c c c c c c c c c c$	$-14 \\ -19$	_	_	-
$\pi^2$	21 44.9 21 32.1	$oxed{ +49 \ 5 \ +45 \ 22 }$	63 58	$\begin{vmatrix} - & 4 \\ - & 5 \end{vmatrix}$	4.26 4.22	<b>K</b> 0	$+ 0.3 \\ - 2.4$	$\begin{array}{ c c c c c c c c c c c c c c c c c c c$	$\begin{vmatrix} -1s \\ +7 \end{vmatrix}$	_		_
• ~				l	4.22	A0p	~ <b>~</b>	-0.3	$\begin{bmatrix} - & 4 \\ - & 4 \end{bmatrix}$	_	_	
*σ *τ	21 15.4 21 12.8	$  \begin{array}{c} +39 \ 11 \\ +37 \ 49 \end{array}  $	52 51	$\begin{bmatrix} -7 \\ -8 \end{bmatrix}$	3.82	F0	$-0.5 \\ +15.9$	$egin{array}{c} -0.3 \ +43.6 \end{array}$	$egin{array}{c} -4 \ -22 \ \end{array}$	47	69	+2.2
$*_v$	21 12.8	$\begin{vmatrix} +37 & 49 \\ +34 & 41 \end{vmatrix}$	48	$\begin{vmatrix} - & 3 \\ -11 \end{vmatrix}$	4.42	B3p	+ 0.9	-0.4	$\begin{vmatrix} -22 \\ +4 \end{vmatrix}$	16	205	+0.4
			37	$\begin{vmatrix} -11 \\ +2 \end{vmatrix}$	4.42	- 1	_	$\begin{array}{c c} - 0.4 \\ - 4.2 \end{array}$	$\begin{bmatrix} \tau & 4 \\ 0 \end{bmatrix}$	14	230	-0.1
*½	19 48.6	+3247		1	1			$\begin{array}{c c} - 4.2 \\ + 1.0 \end{array}$	-14v	8	410	-0.1 $-1.3$
32	20 13.9	$  +47 \ 34 $	52	+6	4.16	$\left  \begin{array}{c} \mathbf{K5} + \mathbf{A3} \\ \mathbf{A2} \end{array} \right $	-0.3	l	$-140 \\ -27$	$\frac{8}{16}$	205	+0.3
33	20 12.2	+5625	58	+11	4.32	A3	+6.1	l .		7	$\begin{array}{c c} 205 \\ 470 \end{array}$	+0.3 -1.7
41 *59	20 27.4	$\begin{vmatrix} +30 & 12 \\ +20 & 29 \end{vmatrix}$	39	$\begin{vmatrix} - & 6 \\ - & 8 \end{vmatrix}$	4.09	F5p	+0.5	$\left  egin{array}{c} -\ 0.3 \ +\ 2.8 \end{array} \right $	$\begin{bmatrix} -18 \\ -1 \end{bmatrix}$	12	$\begin{array}{ c c c }\hline 470 \\ 270 \\ \end{array}$	$\begin{bmatrix} -1.7 \\ -0.3 \end{bmatrix}$
*52	20 43.6	$+30\ 32$	41	<u> </u>	4.34	<b>K</b> 0	<u> </u>	T 2.0	— l	1 14		_ <del>- ∪.3</del>

Stern	1950	0.0		ktische linaten	Visuelle Größe	Spek- trum	100jäh	nr. EB	Mitt- lere	Paral- laxe	Entf.	Absol.
	RA	Dekl.	1	b	_ Grobe	(i till	RA	Dekl.	RG	laxe	III 11j.	Vis.G1.
Delph	hinus											
- 1	h min	o ,	۰ ا	0	m		"	"	km/s	"	I	М
α	20 37.3	$+15\ 44$	20	-16	3.86	В8	+ 6.2	- 0.3	- 7	_		
<b>*</b> β	20 35.2	$+14\ 25$	27	-17	3.72	<b>F</b> 5	+10.6	- 3.4	-23	0.026	126	+0.8
*7	20 44.3	$+15\ 57$	30	-18	4.12	G5+F8	-3.2	-19.7	- 8	22	148	+0.8
ε	20 30.8	+11 8	24	-18	3.98	B5	+ 0.7	-2.2	-18	16	205	0.0
Drace	o											
*α	<b>14 3.</b> 0	$+64\ 37$	76	+51	3.64	A0p	- 5.3	+ 1.4	-16	0.011	300	-1.2
*β	17 29.3	+52 20	46	+32	2.99	G0	- 1.7	+ 0.8	-20	9	<b>36</b> 0	-2.2
γ	17 55.4	+51~30	47	+29	2.42	K5	- 1.1	-2.4	-27	17	<b>19</b> 0	-1.4
$\boldsymbol{\delta}$	19 12.5	$+67 \ 34$	65	+23	3.24	<b>K</b> 0	+9.4	+ 9.0	-25	28	116	+0.4
$*_{arepsilon}$	19 48.4	+70 8	70	+21	3.99	<b>K</b> 0	+ 7.8	+ 3.6	+ 3		_	_
ζ	17 8.6	$+65\ 47$	63	+35	3.22	B5	- 1.8	+ 1.9	-14	17	190	-0.6
$*\eta$	16 23.3	$+61\ 38$	59	+40	2.89	G5	-2.3	+5.8	-14	43	76	+1.1
$*\vartheta$	16 0.9	+5842	57	+44	4.11	F8	-31.8	+33.4	-8	46	70	+2.4
ι	15 23.8	+59 8	59	+48	3.47	K0	-0.8	+ 0.9	-10	32	102	+0.9
×	12 31.4	$+70 \ 4$	92	+48	3.88	B5e MO	- 5.9	+0.7	-11	10	330	-1.1
$\stackrel{\lambda}{*_{v}}$	$egin{array}{ c c c c c c c c c c c c c c c c c c c$	$  +69 \ 36 \ +55 \ 13$	99 50	$\begin{vmatrix} +47 \\ +33 \end{vmatrix}$	4.06 4.20	M0 A5	$-4.0 \\ +14.7$	$egin{array}{cccccccccccccccccccccccccccccccccccc$	$\begin{vmatrix} +7 \\ -15 \end{vmatrix}$	$\begin{array}{c c} 24 \\ 26 \end{array}$	$\begin{array}{ c c }\hline 136\\126\\ \end{array}$	+1.0
ξ	17 52.5	+5653	52	+35 + 29	3.90	K0	$^{+14.7}_{+9.3}$	+ 5.2  + 7.4	-26	31	105	$ +1.3 \\ +1.3$
* <b>\varphi</b>	18 21.5	+71 19	68	$+28 \\ +28$	4.24	A0p	-0.8	+3.7	-20 - 17	8	410	+1.3 -1.3
$*^{\varphi}_{\chi}$	18 22.0	+7243	71	+28	3.69	F5	+52.2	-36.1	+33	120	27	+4.1
		1 12 10	<u> </u>	1 20	0.00	1 10	102.2	00.1	100	1 120	1 21	1 1 2.1
$Equu$ * $\alpha$	leus   21   13.3	+ 5 2	25	<b>-3</b> 0	4.14	F8+A3	+ 5.4	- 8.7	1 – 16	0.013	250	<b>-0.3</b>
	21 10.0	1 0 2	1 20	00	1.14	10 110	1 0.1	0.1	10	0.010	1 200	0.0
Eride			1150			1 10				10.040	l =0	
β	5 5.4	-59	173	-23	$\begin{vmatrix} 2.92 \\ 2.10 \end{vmatrix}$	A3	-9.2	-7.9	l .	0.042	78	+1.0
?	3 55.7	-1339	173	-43	3.19	K5	+6.4	-10.0	+62	100	-	-
δ	3 40.9 3 30.6	$-956 \\ -938$	166	-45	$egin{array}{c} 3.72 \\ 3.81 \\ \end{array}$	K0 K0	$-9.2 \\ -97.5$	$oxed{+74.4} + 2.2$	-7  + 15	109 303	30	+3.9
ε			155	$\begin{vmatrix} -47 \\ -53 \end{vmatrix}$	4.05	K0	$\begin{array}{c c} -97.5 \\ +7.8 \end{array}$	$\begin{array}{ c c c c c c c c c c c c c c c c c c c$	$\begin{vmatrix} +15 \\ -20 \end{vmatrix}$	27	11 121	+6.2
$rac{oldsymbol{\eta}}{\lambda}$	$egin{array}{ccc} 2&54.0 \ 5&6.8 \end{array}$	$\begin{bmatrix} -9 & 6 \\ -8 & 49 \end{bmatrix}$	177	-25	4.34	B2	+ 0.3	$\begin{bmatrix} -21.3 \\ 0.0 \end{bmatrix}$	-20   + 3	21		+1.2
	4 43.0	$\begin{bmatrix} - & 3 & 43 \\ - & 3 & 21 \end{bmatrix}$	168	-28	4.18	B5	+ 1.5	-1.1	+17	_	_	_
$_{*_{v}}^{\mu}$	4 33.8	$\begin{bmatrix} -321 \\ -327 \end{bmatrix}$	168	$\begin{bmatrix} -30 \end{bmatrix}$	4.12	B2	0.0	+ 0.1	var.	_	_	_
$o^1$	4 9.4	-658	167	-37	4.14	F2	+ 0.9	+ 8.7	+14	28	116	+1.3
$*o^{2}$	4 13.0	-744	167	-37	4.48	G5	-222.5	-341.8	-42	202	16	+6.0
$\tau^3$	3 0.2	-2349	181	-59	4.16	A3	-14.5	- 4.6	-10	51	64	+2.7
*\tau^4	3 17.3	-21 56	179	-54	3.95	M3	+ 5.3	+ 3.8	+42		-	' -
$*\tau^5$	3 31.6	-2148	181	-51	4.32	B8	+ 4.4	-2.2	+14		_	_
$ au^6$	3 44.7	$-23\ 24$	185	-49	4.33	F8	-15.7	-52.4	+ 6	53	61	+2.9
$v^2$	4 33.6	$-30 \ 40$	198	<b>-4</b> 0	3.88	<b>K</b> 0	- 5.4	- 1.1	- 4	_	-	-
$\omega$	4 50.4	-532	172	-27	4.45	F0	-1.8	+ 2.4	- 8	-	-	_
*41	<b>4 16.</b> 0	$-33\ 55$	202	-44	3.59	В9	+ 6.2	- 0.2	+18	-	_	_
43	4 22.2	-34 8	202	-43	4.06	K5	+ 5.6	+ 5.2	+24	-	-	-
*53	4 35.9	-14 24	179	-35	3.98	<b>K</b> 0	-7.3	-15.8	+42	36	91	+1.8
*f	3 46.7	-3746	207	-50	4.35	B8+A0	+ 6.4	- 1.7	+16	18	180	+0.6
g	3 47.6	$ -36\ 21$	205	<u> </u>	4.24	K0_	- 5.1	- 4.9	+2	18	180	+0.5

Stern	195	0.0		ktische linaten		Spek-	100jäl	nr. EB	Mitt- lere	Paral-	Entf.	Absol.
	$\mathbf{R}\mathbf{A}$	Dekl.	ı	b	Größe	trum	$\mathbf{R}\mathbf{A}$	Dekl.	RG	laxe	in Lj.	vis. Gr.
Forn	ar	_									<u>.                                      </u>	
10110	h min		0	0	l m	I	<b>"</b>	<i>"</i>	km/s	"	1	M
*α	3 9.9	$-29 \ 11$	191	-57	3.95	F8	+33.1	+64.2	-21	$ _{0.070}$	47	+3.2
β	2 47.0	$-32\ 37$	198	-63	4.50	K0	+ 9.1	+16.3	+17	18	180	+0.8
Gemi	ni											
<b>*</b> α	7 31.4	+32 0	155	+24		A3+A8	-16.5	-11.0		0.072	45	+0.9
β	$7\ 42.3$	+28   9	160	+25	1.16	<b>K</b> 0	-62.3	-5.2	+ 4	93	35	+1.1
γ	6 34.8	$+16\ 27$	165	+6	1.93	A0	+ 4.8	-4.6	var.	31	105	-0.7
$*\delta$	7 17.1	+22 5	164	+18	3.51	F0	-1.9	-1.5	+2	59	55	+2.4
3	6 40.9	$+25\ 11$	157	+11	3.18	G5	0.0	-1.6	+10	9	360	-2.0
* ζ	7  1.1	$+20\ 39$	163	1		F7-G3	-0.4	-0.3	+ 7	19	050	-
* $\eta$	6 11.9	$+22\ 31$	156	+4	$\begin{vmatrix} 3.1 - 3.9 \\ 2.64 \end{vmatrix}$		-6.4	-1.5	$  +21 \\ +21$	$\begin{array}{ c c c }\hline 13 \\ 21 \\ \end{array}$	$\begin{vmatrix} 250 \\ 155 \end{vmatrix}$	$\begin{bmatrix} -1.3 \\ +0.9 \end{bmatrix}$
$\vartheta$	$6 49.5 \\ 7 22.6$	${}^{+34}$ 1 ${}^{+27}$ 54	$\begin{vmatrix} 150 \\ 158 \end{vmatrix}$	$\left  egin{array}{l} +16 \ +21 \end{array}  ight $	$\begin{vmatrix} 3.64 \\ 3.89 \end{vmatrix}$	A2 K0	$egin{array}{c} + 0.5 \\ -11.7 \end{array}$	$egin{array}{cccc} -5.3 \ -8.9 \end{array}$	$\begin{vmatrix} +21 \\ +9 \end{vmatrix}$	$\begin{vmatrix} 21\\31 \end{vmatrix}$	105	$  \begin{array}{c} +0.2 \\ +1.3 \end{array}  $
ι *χ	7 41.4	$^{+27}_{-24}$ $^{4}_{31}$	163	$+21 \\ +23$	3.68	G5	$\left[ egin{array}{c} -11.7 \\ +2.7 \end{array}  ight]$	$\begin{array}{ c c c c c c c c c c c c c c c c c c c$	+20	$\begin{array}{ c c c c c c c c c c c c c c c c c c c$	130	+0.7
* \hat{\lambda}	7 15.2	$+16\ 38$	168	+15	3.65	$egin{array}{c} A3 \\ A2 \end{array}$	-4.3	-4.3	-12	41	80	+1.8
$\mu$	6 16.9	$+22\ 32$	157	$  + \frac{16}{6}  $	3.19	M3	+6.0	-11.4	+55	21	155	-0.2
**v	6 26.0	$+20\ 15$	160	$\begin{vmatrix} & & & & & & & & & & & & \\ & + & & & & &$	4.06	B5	-0.3	-1.8	+38	13	250	-0.3
ξ	$6\ 42.5$	+1257	168	+6	3.40	F5	-11.1	-19.5	+26	51	64	+1.9
*_\varrho	7 25.9	$+31\ 53$	155	+23	4.18	FO	+15.4	+17.2	- 6	59	55	+3.1
$*\sigma$	7 40.2	+29 1	159	+24	4.26	<b>K</b> 0	+ 7.0	-23.5	+46	17	190	+0.5
<b>*</b> τ	7 8.0	+30 20	155	+18	4.48	$\mathbf{K}0$	-2.6	- 4.8	+22		–	-
$\boldsymbol{v}$	7 32.8	+27 1	160	+22	4.22	K5	- 3.3	-10.9	-21	12	270	-0.4
*1	6 1.1	$+23 \ 16$	155	+2	4.30	G5		-10.5	+20	26	126	+1.4
Grus												
<u>γ</u>	21 50.9	$ -37 \ 36$	333	-53	3.16	B8	+10.1	- 1.4	-2		-	-
Herc	ules											
<b>*</b> α	17 12.4	$  +14 \ 27$	3	1	1	M5+G5		+ 3.4			_	-
$*\beta$	$16\ 28.1$	$+21 \ 36$	7	+39	2.81	<b>K</b> 0	-10.3	-2.2	-26	0.017	190	-1.0
*γ	16 19.7	$+19 \ 16$	2	+40	3.79	F0	-4.8	+ 3.9	var.	15	215	-0.3
$\delta$	17 13.0	$+24\ 54$	14	+30	3.16	A2	+2.4	-16.2	-39	34	96	+0.8
* <sub>E</sub>	16 58.4	+31 0	20	+35	3.92	A0	-5.0	+2.2	-25	22	148	+0.6
<b>*</b> ζ	16 39.3	$+31 \ 41$	20	+39	3.00	G0	-47.0	+38.5	-71	110	30	+3.2
$\eta$	16 41.2	+39 1	29	+40	3.61	<b>K</b> 0	+3.5	-9.0	+ 8	53	61	+2.2
$egin{array}{c} artheta \ *\iota \end{array}$	17 54.5 17 38.1	$\begin{array}{c c} +37 \ 11 \\ +46 \ 2 \end{array}$	30	$\begin{vmatrix} +25 \\ +30 \end{vmatrix}$	$\begin{vmatrix} 3.99 \\ 3.79 \end{vmatrix}$	<b>K</b> 0 <b>B3</b>	$+ 0.4 \\ - 0.7$	$\begin{array}{ c c c c c c c c c c c c c c c c c c c$	$\begin{vmatrix} -28 \\ -22 \end{vmatrix}$	_	_	_
λ	17 28.7	$egin{array}{cccc} +46 & 2 \ +26 & 9 \ \end{array}$	39   17	+30 +27	4.48	<b>K</b> 0	+ 1.8	+ 1.5	-22 $-26$	12	270	-0.1
$*^{\mu}_{\mu}$	17 44.5	$\begin{array}{c ccccccccccccccccccccccccccccccccccc$	20	$\begin{vmatrix} +27 \\ +25 \end{vmatrix}$	3.48	G5	-31.3	$egin{array}{c} -74.8 \end{array}$	-16	108	30	$  -0.1 \\ +3.7  $
$\stackrel{\mu}{v}$	$17 \frac{44.5}{56.6}$	$  +30 \ 11 $	23	+23 + 22	4.48	F0	-0.5	+0.3	-22	-	-	-
ξ	17 55.8	$+29 \ 15$	22	+23	3.82	<b>K</b> 0	+ 8.5	-1.9	-2	18	180	+0.1
*0	18 5.6	$+28\ 45$	23	+20	3.83	AO	0.0	+ 0.7	-29	_	-	-
$\pi$	17 13.3	$+36\ 52$	28	+33	3.36	<b>K</b> 5	- 2.9	- 0.1	-26	20	165	-0.1
$*\varrho$	17 22.0	$+37 \ 11$	28	+31	4.14	A0	- 4.2	- 0.1	-20	_	_	_
$\dot{\sigma}$	16 32.5	$+42 \ 32$	34	+41	4.25	<b>A</b> 0	- 1.2	+ 3.9	-11	_		_
$*\tau$	16 18.2	$+46\ 26$	40	+44	3.91	<b>B</b> 5	<b>-</b> 1.3	+ 3.2	-14	27	121	+1.1
$\varphi$	16 7.2	+45   4	37	+46	4.26	B9p	<b>- 3.</b> 0	+ 2.8	-16	12	270	-0.3

Verzeichnis von 614 Fixsternen (Fortsetzung)

Stern	195	0.0		ktische linaten	Visuelle	Spek-	100jäh	r. EB	Mitt- lere	Paral-	Entf.	Absol.
	RA	Dekl.	ı	b	Größe	trum	RA	Dekl.	RG	laxe	in Lj.	vis.Gr.
Herc	ules (Forts	setzung)	ļ			<u> </u>					l	<u> </u>
110,0	h min	° ′	0	0	m	1	<b>"</b>	<b>"</b>	km/s	"	1	M
*95	17 59.4	$+21 \ 36$	15	+19	4.38	$\mathbf{A3} + \mathbf{G5}$	+ 0.8	+ 2.8	-30	_	_	_
102	18 6.6	$+20 \ 48$	15	+17	4.32	В3	0.0	-1.2	-13	_	_	_
109	$\mid 18 \mid 21.6 \mid$	$+21\ 45$	18	+14	3.92	<b>K</b> 0	+19.4	-25.0		0.016	205	-0.1
110	18 43.5	$+20\ 30$	18	+ 9	4.26	F5	- 1.4	-33.8	+23	49	66	+2.8
111	18 44.8	+18   7	16	+ 7	4.37	A3	+ 6.7	+11.0	-45	45	72	+2.7
Hydr	ra											
$\mathbf{a}$	9 25.1	- 826	210	+31	1.98	K2	- 1.5	+ 3.0	- 4	0.017	190	-1.8
$*\beta$	11 50.4	$-33\ 38$	258	+28	4.40	<b>B</b> 0	-5.5	- 0.2	- 1	_	-	-
$\gamma$	13 16.2	$-22\ 54$	280	+38	3.33	G5	+ 6.9	-5.2	-5	21	155	-0.1
δ	8 35.0	+553	188	+27	4.18	A0	-6.9	- 1.3	+10	27	121	+1.4
$*_{arepsilon}$	8 44.1	+637	189	+30	3.48	F8	-19.1	-5.4	+35	10	330	-1.5
ζ	8 52.8	+68	190	+31	3.30	K0	-10.0	+ 1.1	+23	29	112	+0.6
$oldsymbol{\eta}{oldsymbol{artheta}}$	8 40.6	$\begin{array}{c} + \ 3 \ 35 \\ + \ 2 \ 32 \end{array}$	191	+27	4.32	B3	-1.8	-0.5	+22	-	170	100
	9 11.8 9 37.3	$\begin{array}{c c} + & 2 & 32 \\ - & 0 & 55 \end{array}$	196 205	$\begin{vmatrix} +34 \\ +37 \end{vmatrix}$	3.84 4.10	A0   <b>K</b> 0	$+13.0 \\ +4.6$	$egin{array}{c} -31.5 \ -6.9 \end{array}$	+23	$\begin{array}{c c} & 19 \\ 20 \end{array}$	170 165	+0.2 +0.6
ι *λ <sup>2</sup>	10 8.1	$\begin{bmatrix} -0.55 \\ -12.6 \end{bmatrix}$	$\begin{vmatrix} 203 \\ 220 \end{vmatrix}$	$\begin{vmatrix} +37 \\ +36 \end{vmatrix}$	3.83	G9	$egin{array}{c} \pm 4.0 \ -20.4 \end{array}$	$\begin{array}{ c c c c c c c c c c c c c c c c c c c$	+23 + 19	14	230	-0.5
$\mu$	$\begin{vmatrix} 10 & 3.1 \\ 10 & 23.7 \end{vmatrix}$	-1635	$\frac{1220}{228}$	+34	4.06	K5	-12.8	-8.1	$  ^{+13}_{+40}$	13	250	-0.3
$\stackrel{\mu}{v}$	10 47.2	-15 56	234	+38	3.32	K0	$+\ 9.5$	+19.9	-1	$\frac{13}{22}$	148	0.0
ځ	11 30.5	$-31\ 35$	252	+29	3.72	G5	-21.0	-4.7	-5	19	170	+0.1
$\pi$	14 3.5	$-26\ 27$	291	+33	3.48	KO	+ 4.3	-15.0	+27	39	84	+1.4
$*_{\varrho}$	8 45.8	+62	190	+30	4.42	A0	- 1.9	-3.7	+33	9	360	-0.8
$ ilde{ au}^2$	9 29.4	-0.57	204	+36	4.50	A3	<b>-</b> 1.3	- 1.4	+ 6	_		_
$v^1$	9 49.1	$-14\ 36$	220	+31	4.29	K0	+ 1.9	-2.9	-14	16	205	+0.3
$\mathbf{C}$	8 23.2	-345	196	+20	3.95	A0	-6.6	-2.6	+11	19	170	+0.4
12D	8 44.0	-13 22	207	+20	4.44	G5	+ 1.5	- 1.5	<u>-</u> 8	–	-	
Lace	rta											
α	22 29.2	+50 1	69	- 7	3.85	A0	+13.4	+ 1.7	- 7	0.036	91	+1.6
1	22 13.8	+37 30	60	-16	4.22	K0	+ 1.1	+ 0.5	- 7	_	_	
$\overline{Leo}$	<u> </u>			•		•	·		•	,	_	
*α	10 5.7	+12 13	196	+50	1.36	B8	-24.8	+ 0.1	+ 2	0.039	84	-0.7
$\beta$	11 46.5	$+14\ 51$	222	+71	2.23	$\overline{\mathrm{A2}}$	-49.6	-12.2	-1	76	43	+1.6
* \gamma	10 17.2	+20 6	185	+55	2.06	<b>K</b> 0	+31.0	-16.3	-36	19	170	-1.5
δ	11 11.5	+20.48	194	+68	2.58	A3	+14.6	-13.8	-22	40	82	+0.6
ε	9 43.0	+24 0	175	+49	3.12	G0p	- 4.4	-1.8	+ 5	-	_	
ζ	10 13.9	$+23 \ 40$	178	+56	3.65	$\mathbf{F}0$	+ 1.9	- 1.3	-19	9	<b>36</b> 0	-1.6
$\eta$	10 4.6	+17 0	188	+52	3.58	A0p	- 0.1	- 0.8	+ 2	-	_	-
$\vartheta$	11 11.6	$+15 \ 42$	204	+65	3.41	A0	-5.9	-8.5	+ 8	19	170	-0.2
*ι	11 21.3	+1048	218	+65	4.03	F5	+16.9	- 8.1	-10	47	69	+2.4
λ	9 28.9	+23 12	175	+46	4.48	K5	-2.3	- 4.4	+27	20	165	+1.0
$\mu$	9 49.9	$+26\ 15$	173	+52	4.10	K0	-21.8	-5.9	+14	22	148	+0.8
*o	9 38.5	$+10^{-7}$	194	1		A3+F5	-14.2	-4.1	+27	28	116	+1.0
Q	10 30.2	+934		+54		B0p A0	$\begin{array}{ c c c c c c c c c c c c c c c c c c c$	$\begin{array}{ c c c c c c c c c c c c c c c c c c c$	+42	-	_	-
$egin{array}{c} \sigma \ v \end{array}$	11 18.6 11 34.4	$\begin{vmatrix} + & 6 & 18 \\ - & 0 & 33 \end{vmatrix}$		$ +61 \\ +58$	4.13	K0	-9.4 + 0.3	-1.7 + 3.8	$\begin{vmatrix} \mathbf{var.} \\ + 1 \end{vmatrix}$	-   15	$\begin{vmatrix} - \\ 215 \end{vmatrix}$	+0.4
$^v$ *54	10 52.9	$\begin{vmatrix} - & 0 & 33 \\ +25 & 1 \end{vmatrix}$	180			A0	- 7.2	$\begin{array}{ c c c c c c c c c c c c c c c c c c c$	$\begin{vmatrix} + & 1 \\ + & 3 \end{vmatrix}$	-	<u></u>	-
60c	10 59.7	$+20 \ 27$	191	1		A0	-1.0	+3.0	-11	11	300	-0.4
	1 20 00	<u> </u>	1 -01	1 , 50	·	1	1 2.0	1 , 3,3	<u> </u>	1	1	

Verzeichnis von 614 Fixsternen (Fortsetzung)

	<u> </u>					· · · · · · · · · · · · · · · · · · ·	1			1		
Stern	195	50.0	Gala Koore	ktische dinaten	Visuelle	Spek-	100jä1	hr. EB	Mitt- lere	Paral-	Entf.	Absol.
	RA	Dekl.	ı	b	Größe	trum	RA	Dekl.	RG	laxe	in Lj.	vis.Gr.
Lea	Minor						•			· ·		
1260 1	h min	0 /	0	I •	l m	1	"	1 "	km/s	1 "	1	м
21	10 4.5	$+35\ 29$	156	+55	4.47	A5	+ 5.2	- 0.2	-18			111
*31	10 4.5	$\begin{array}{c c} +35 & 29 \\ +36 & 58 \end{array}$	154	+60	4.41	K0	$\begin{bmatrix} + & 3.2 \\ -12.0 \end{bmatrix}$	$\begin{vmatrix} -0.2 \\ -11.0 \end{vmatrix}$	1	0.021	155	
			157	+60	3.92	K0		$\begin{bmatrix} -11.0 \\ -28.6 \end{bmatrix}$	+5		155	+1.0
46	10 50.5	$+34 \underline{29}$	107	+69	3.92	<b>K</b> U	+ 9.0	-28.0	+16	17	190	+0.1
Lepu	8											
α	5 30.5	$ -17\ 51$	189	-24	2.69	F0	+ 0.3	+ 0.5	+24		-	-
$*\beta$	$5\ 26.1$	$ -20 \ 48 $	191	-26	2.96	<b>G</b> 0	0.0	- 9.0		0.014	<b>23</b> 0	-1.3
*y	5 42.4	$-22 \ 28$	195	-23	3.80	F8	-28.7	-37.1	-10	122	27	+4.2
δ	5 49.2	$ -20\ 53 $	193	-21	3.90	<b>K</b> 0	+23.1	-64.5	+100	22	148	+0.6
$oldsymbol{arepsilon}$	5 3.3	$ -22\ 26 $	191	-32	3.29	K5	+ 2.5	- 7.3	+1	-	_	_
ζ	5 44.7	-14 50	187	-20	3.67	A2	- 1.6	- 0.4	+20	42	78	+1.8
$\eta$	5 54.1	-14 11	187	-17	3.77	F0	-4.1	+13.8	-2	61	54	+2.7
*2	5 10.9	-13  0	181	-26	4.46	B8	-1.5	- 0.8	+18	30	109	+1.9
î.	5 17.3	$-13 \ 14$	182	-24	4.29	B1	- 0.3	- 0.5	+20	_	_	_
$\mu$	5 10.7	$ -16 \ 16 $	184	-27	3.30	A0p	+ 4.2	- 2.6	+28	18	180	-0.4
Libra												
*α <sup>2</sup>		15 50	1 200	1 27	<b>2.9</b> 0	A3	-10.7	l 7.4	1.0	0.049	l ee	1 1 1 4
	14 48.1	$-15\ 50$	$\begin{vmatrix} 308 \\ 320 \end{vmatrix}$	$+37 \\ +38$	2.90 $2.74$	B8	$\begin{array}{c c} -10.7 \\ -9.8 \end{array}$	$\left  egin{array}{ccc} -\ 7.4 \ -\ 2.6 \end{array}  ight $	$-10 \\ -37$		66	+1.4
$\beta$	15 14.3	-912	$\frac{320}{320}$	+38		<b>K</b> 0		$\begin{array}{ c c c c c c c c c c c c c c c c c c c$	$-37 \\ -26$	33	99	
*y	15 32.7	$-14\ 37$	$\begin{array}{c c} 320 \\ 322 \end{array}$		$4.02 \\ 4.34$	<b>K</b> 0	$\left  egin{array}{c} + \ 6.4 \ + \ 9.8 \end{array} \right $	$-0.2 \\ +12.6$	$\frac{-20}{+3}$	30		+1.5
$\vartheta$	15 51.0	$-16\ 35$	$\begin{vmatrix} 322 \\ 305 \end{vmatrix}$	+27		M2	$egin{array}{cccc} + & 9.8 \ - & 7.3 \end{array}$		$\begin{bmatrix} + & 3 \\ - & 4 \end{bmatrix}$	56	109	+1.7
σ	15 1.1	-25   5		+28	3.41	м2 В3	-1.3 $-1.7$	$egin{array}{cccc} - & 5.2 \\ - & 3.8 \end{array}$	0		58	+2.1
${\overset{ au}{*}}_v$	15 35.6 15 34.0	$-29\ 37$ $-27\ 58$	309 310	$+20 \\ +20$	$\frac{3.80}{3.78}$	K2	-0.8	$\begin{bmatrix} -3.8 \\ -0.6 \end{bmatrix}$	-25	- 37	89	+1.6
	10 04.0	27 38	010	120	0.70	11.2	0.0	0.0	20		0.9	1.0
Lupu												
$*\eta$	15  56.8	$-38\ 15$	307	+10	3.61	B3	-2.2	-3.6	+7	-		-
$\vartheta$	16 3.3	$-36\ 40$	308	+10	4.33	$_{ m B3}$	-1.9	- 3.7	+15	–	-	-
$arphi^{1}$	15 18.6	-36 5	302	+16	3.59	K5	- 9.3	-9.6	-29		_	-
*x	15 47.8	-3329	309	+15	4.11	В9	-1.4	- 3.6	var.	-		-
2f	15 14.8	-29 58	305	+22	4.43	<b>K</b> 0	- 1.2	- 1.5	- 3	0.012	<b>27</b> 0	-0.2
Lynx	-											
2	6 15.2	+59   2	123	+20	4.42	$\mathbf{A0}$	- 0.5	+ 2.2	_ 21	0.035	93	+2.1
$2\overset{2}{1}$	7 22.9	$+49 \ 19$	137	$+27 \\ +27$	4.45	A0	-1.0	-5.0	+26	9	<b>36</b> 0	$\begin{bmatrix} -2.1 \\ -0.8 \end{bmatrix}$
31	8 19.4	$+43\ 21$	144	+36	4.43	K5	-1.4	-10.3	+24	20	165	+0.9
*38	9 15.8	+37   21	154	+46	3.82	$^{ m A2}$	-3.0	-12.9	$+$ $\frac{24}{2}$	33	99	+1.3
<b>4</b> 0	9 18.0	$+34\ 36$	157	+46	3.30	K5	-21.7	+1.3	+38	$\frac{33}{21}$	155	-0.1
	0 1010	10200	1 201	1 20 1				1 1 2.0	_ 100		100	0.1
Lyra	10.000	l 180 : :							1 = -	10 - 0 -		
α	18 35.2	+3844	35	+19	0.04	A0	+20.0	+28.1		0.123	27	+0.5
*β	18 48.2	+33 18	30			B8+B2e	+ 0.1	-0.7	-19			_
γ *.1	18 57.1	$+32\ 37$	31	+12	3.30	A0p	-0.6	- 0.3	-22	11	<b>3</b> 00	-1.5
$st_{arepsilon^{1}} st_{arepsilon^{2}}$	18 42.7 18 42.7	$+39\ 37 \\ +39\ 34$	37	+18	3.84	A3 A5	+0.2	+ 6.1	-33	15	215	-0.3
·ε- *:	18 43.0	$+39\ 34 \\ +37\ 33$	35	+17	4.07	$egin{array}{c} { m A3} \\ { m A3} \end{array}$	$  ^{ m J} + 2.0  $	+ 1.8	-26	24	136	+1.0
5	10.0	10100	1 00	1 1	101	1 410	l ' <b>2.</b> €	1.6	20	475	100	' I.U

Stern	195	0.0	Galal Koord	ktische Iinaten	Visuelle Größe	Spek- trum	100jāh	r. EB	Mitt- lere	Paral-	Entf.	Absol.
	RA	Dekl.	ı	ь	Große	wun	RA	Dekl.	RG	laxe	in Lj.	vis.Gr.
Lyra	(Fortsetz	<b>.</b>									1	
<b>.</b>	h min	0 /	90	0	m	T) O	<i>"</i>	" "	km/s	"		M
$oldsymbol{^*\eta}{artheta}$	19 12.0 19 14.6	$\begin{vmatrix} +39 & 3 \\ +38 & 3 \end{vmatrix}$	38 37	$\begin{vmatrix} +12 \\ +11 \end{vmatrix}$	$\begin{array}{ c c } 4.46 \\ 4.46 \end{array}$	B3 K0	$\begin{vmatrix} - & 0.1 \\ - & 0.5 \end{vmatrix}$	0.0	$\begin{vmatrix} -8 \\ -31 \end{vmatrix}$	_	_	-
×	18 18.1	$\begin{vmatrix} +36 & 3 \\ +36 & 2 \end{vmatrix}$	31	+20	4.34	<b>K</b> 0	$\begin{array}{ c c c c c c c c c c c c c c c c c c c$	+ 4.2	1	0.008	410	-1.2
*R	18 53.8	+43 53	41		4.0-5.0		+ 1.9	+ 7.7	-28	-	_	
Mone	oceros							_			-	
α	7 38.9	- 9 26	195	+ 8	4.07	$\mathbf{K}0$	- 7.5	- 2.2	1	0.019	170	+0.4
<b>*</b> β	6 26.4	-70	184	<b>- 7</b>	3.94	B2	- 1.8	+ 0.2	+22	22	148	+0.6
γ	6 12.4	- 6 15	182	-10	4.09	<b>K</b> 0	-0.4	-1.8	-5	10	330	-0.9
$\deltatop *_{oldsymbol{arepsilon}}$	$egin{array}{ccc} 7 & 9.3 \ 6 & 21.1 \end{array}$	$\begin{vmatrix} - & 0.25 \\ + & 4.37 \end{vmatrix}$	184 173	$\begin{vmatrix} + & 6 \\ - & 3 \end{vmatrix}$	4.09 4.32	A0 A5	$egin{array}{cccc} - & 0.1 \\ - & 2.0 \end{array}$	$\begin{vmatrix} + & 0.6 \\ - & 0.1 \end{vmatrix}$	$  +19 \\ +16$	$\begin{array}{c c} 15 \\ 24 \end{array}$	215 136	$  \begin{array}{c} 0.0 \\ +1.2 \end{array}$
٠ *خ	8 6.1	-250	193	+17	4.41	GO	-1.9	- 0.6	+30	_	100	+1.2
13	6 30.2	+ 722	172	+ 1	4.50	A0p	+ 0.1	-0.8	+12	_	l –	_
Ophi	uchus			-					,		•	
α	17 32.6	+12 36	4	+22	2.14	A5	+11.7	-23.2	+15	0.056	58	+0.8
β	17 41.0	+ 4 35	357	+16	2.94	$\mathbf{K0}$	- 4.3	+15.4	-12	23	142	-0.3
γ	17 45.4	+243	356	+14	3.74	$\mathbf{A0}$	-2.4	-7.6	- 5	32	102	+1.1
δ	16 11.7	-334	337	+31	3.03	MO	-4.6	-14.9	-20	29	112	+0.3
ε	16 15.7	-434	337	+30	3.34	K0	+ 8.2	+ 3.5	-10	36	91	+1.1
ζ *••	16 34.4 17 7.5	-10.28	334	+22	2.70	B0	+ 1.0	+ 2.0	-19	-   47	- 60	-
*η *ϑ	17 7.5 17 18.9	$\begin{vmatrix} -15 & 40 \\ -24 & 57 \end{vmatrix}$	334 328	$\begin{vmatrix} +12 \\ +5 \end{vmatrix}$	$\begin{bmatrix} 2.63 \\ 3.37 \end{bmatrix}$	A2 B3	$  \begin{array}{c} + \ 3.5 \\ - \ 0.3 \end{array}  $	$  \begin{array}{c} + \ 9.0 \\ - \ 2.5 \end{array}  $	$\begin{vmatrix} -1 \\ var. \end{vmatrix}$	47	69	+1.0
*,	16 51.6	+10.15	356	+29	4.29	B8	-5.3	-4.1	-21	_	_	l _
×	16 55.3	+927	356	+28	3.42	<b>K</b> 0	+29.3	- 1.4	-56	26	126	+0.5
* <i>λ</i>	16 28.3	+25	344	+31	3.85	$\mathbf{A}0$	-2.7	- 8.5	-16	_	-	-
ν	17 56.3	- 9 46	345	+6	3.50	$\mathbf{K}0$	- 0.9	-11.8	+12	15	215	-0.6
<b>*</b> £	17 18.0	-21 4	331	+ 7	4.46	$\mathbf{F5}$	+23.1	-21.3	<b>  - 9</b>	58	56	+3.3
σ	<b>17 24.</b> 0	+ 4 11		+19	4.44	K0	-0.1	+ 0.4	-27	-	-	-
$\varphi$	16 28.3	$-16\ 30$	328	+20	4.40	<b>K</b> 0	-5.3	-4.1	-34	-	-	-
44b		-24 8	330	+ 5	4.28	FO	0.0	-12.3	-37	43	76	+2.5
45d *67	17 24.2 17 58.1	$egin{array}{c} -29\ 49 \ +\ 2\ 56 \end{array}$	324 357	$\begin{vmatrix} +2\\ +11 \end{vmatrix}$	4.37 3.92	${f F5} \ {f B5p}$	$\begin{array}{ c c c c c c c c c c c c c c c c c c c$	$-14.7 \\ -1.1$	$\begin{vmatrix} +38 \\ -4 \end{vmatrix}$	15	215	+0.3
*68	17 59.2	+ 2.50 + 1.18	356	+10	4.44	$egin{array}{c} { m A2} \end{array}$	-0.3 + 1.0	-1.1	-3	15	215	+0.3
*70	18 2.8	$  \begin{array}{cccccccccccccccccccccccccccccccccccc$	358	+10	4.07	Ko	+25.6	-109.7	-7	188	17	+5.5
*72	18 5.0	+933	5	+13	3.73	$\mathbf{A3}$	-6.2	+ 7.8	-24	37	89	+1.5
Orion	i					_						•
<b>*</b> α	5 52.5	+ 724	168	l – 8	0.1-1.2	M2	+ 2.7	+ 0.7	+21	0.005	650	-6.4
*β	5 12.1	- 8 15	176	-24	1	B8p	+ 0.1	0.0	+24	J.	_	-
γ	5 22.4	+ 6 18	165	-15	1.64	B2	- 0.6	- 1.4	+18		126	-1.3
*δ	5 29.4	- 0 20	171	-16	2.46	<b>B</b> 0	+ 0.1	- 0.1	+20	1	-	-
£	5 33.7	-114		-15	1.70	B0	0.0	0.0	+26			-
*ζ	5 38.1	-158	174	-15	1.78	B0	+ 0.4	-0.2	+16	L.	148	-1.5
$^*\eta \ ^*\iota$	5 21.9 5 33.0	$egin{array}{lll} -&2&26 \ -&5&56 \end{array}$		$ -19 \\ -18$	$\begin{array}{ c c c }\hline 3.44 \\ 2.87 \\ \end{array}$	B0 08	+ 0.7 + 0.3	+ 0.4 + 0.4	$\begin{vmatrix} +20 \\ +22 \end{vmatrix}$		155	-0.5
ι	0 00.0	_ 5 56	1111	1 - 19	4.01	1 00	1 7 0.0	F V.4	-22	41	1 100	1 0.0

<sup>9</sup> Ahnert, Prakt. Astronomie

Stern	195	0.0		ktische linaten	Visuelle	Spek-	100jāl	nr. EB	Mitt- lere	Paral-	Entf.	Absol.
Ducin	RA	Dekl.	ı	b	Größe	trum	RA	Dekl.	RG	laxe	in Lj.	vis.Gr.
Orion	(Fortset:	zuna)					_					
01101	h min	zung/   ° ′	I •	0	l m	ı	l "	l "	km/s	1 "	ı	l M
	5 45.4	- 941	182	-17	2.20	В0	- 0.4	-0.2	+20		_	_
κ *λ	5 32.4	+954	162	-11	3.49	Oe5	+ 0.1	-0.6	+33	_	l	_
$*^{\kappa}_{\mu}$	5 59.6	$  \begin{array}{c} 1 & 0.01 \\ + & 9.39 \end{array}  $	166	- 5	4.19	A2	+1.6	-2.9	+42	0.027	121	+1.4
**v	6 4.7	+14 47	163	- 1	4.40	B2	+ 0.9	-2.7	+22	_	_	
ξ	6 9.1	+14 13	163	-1	4.35	B3	+ 0.6	-2.3	+24	l –	-	_
$o^2$	4 53.6	+13 26	155	-16	4.28	<b>K</b> 0	- 7.3	-4.8	+ 1	16	205	+0.3
$\pi^2$	4 47.9	+849	157	-20	4.35	<b>A</b> 0	+ 0.4	- 3.1	var.	29	112	+1.6
$\pi^3$	4 47.1	+653	159	-21	3.31	F8	+46.8	+ 1.8	+24	12	270	-1.3
*\pi^4	4 48.5	+531	161	-23	3.78	B2	$\begin{array}{ c c c c c c c c c c c c c c c c c c c$	+ 0.2	$\begin{vmatrix} +23 \\ +23 \end{vmatrix}$	_		_
*\pi^5	4 51.6	$egin{array}{lll} + & 2 & 22 \\ - & 2 & 38 \\ \hline \end{array}$	164 175	$\begin{vmatrix} -23 \\ -16 \end{vmatrix}$	3.87 3.78	B2 B0	$\begin{bmatrix} -0.1 \\ 0.0 \end{bmatrix}$	$+ 0.0 \\ + 0.4$	$+23 \\ +28$	_	_	_
*σ	5 36.1 5 15.2	-238  -654	176	-10 $-23$	3.68	B5	-1.5	-0.5	$+20 \\ +20$	_		_
$oldsymbol{ au^2}$	5 34.1	+916	164	-10	4.39	<b>K</b> 0	+ 9.3	-30.5	+99	24	136	+1.3
$^{arphi}_{29\mathrm{e}}$	5 21.5	-751	178	-21	4.21	<b>K</b> 0	-1.5	-4.2	-18	6	<b>54</b> 0	-1.9
32A	5 28.1	+555	165	-14	4.32	В3	+ 1.2	-3.4	+21	l –	_	<b> </b>
*_	5 32.6	-62	177	-19	4.28	B1	+ 0.4	+ 0.4	+28	_	] _	_
	<u> </u>						·	-		•	-	<u> </u>
Pegas	sus											
α	23 2.3	$ +14\ 56$	57	-41	2.57	<b>A</b> 0	+ 5.8	- 4.1	1	0.030	109	0.0
β	23 1.3	+27  49	65	-29	2.61	M2	+18.8	+13.9	+10	15	215	-1.5
γ	0 10.7	+1454	79	-46	2.87	B2	- 0.1	- 1.0	+ 5	_		_
$*_{arepsilon}$	21 41.7	+939	34	-33	2.54	<b>K</b> 0	+ 2.5	+ 0.2	+5	_	_	_
ζ	22 39.0	$+10 \ 34$	47	-42	3.61	B8	+ 7.7	-0.8	+7	~	-	_
*η	22 40.7	+29.58	61	-25	3.10	$\begin{array}{c} \mathbf{G2} \\ \mathbf{A2} \end{array}$	$  \begin{array}{c} + 1.0 \\ + 27.2 \end{array}  $	$egin{array}{cccccccccccccccccccccccccccccccccccc$	$\begin{vmatrix} + & 4 \\ - & 6 \end{vmatrix}$	$egin{array}{c} - \ 42 \end{array}$	-   78	+1.8
*ϑ *ι	$egin{array}{ccc} 22 & 7.7 \ 22 & 4.7 \ \end{array}$	$egin{array}{c} +\ 5\ 57 \ +25\ 6 \end{array}$	36 51	$\begin{vmatrix} -39 \\ -25 \end{vmatrix}$	3.70 3.96	F3	$+27.2 \\ +29.5$	$  \begin{array}{c} + \ 3.0 \\ + \ 2.4 \end{array}  $	— 0   — 4	74	44	+3.3
* <sub>1</sub>	21 42.4	$+25\ 0 \\ +25\ 25$	46	-25 $-22$	4.27	F5	+3.3	+1.0	var.	28	116	+1.5
ñ	22 44.1	$+23\ 18$	57	-31	4.14	<b>K</b> 0	+ 5.2	-1.2	- <b>4</b>	37	89	+2.0
$\mu$	22 47.6	+24 20	59	-31	3.67	$\mathbf{K}0$	+14.5	<b>- 4.</b> 1	+14	32	102	+1.1
*ξ	22 44.1	$+11\ 56$	50	-41	4.31	$\mathbf{F5}$	+22.9	-49.5	- 6	47	69	+2.7
$\pi$	22 7.8	$+32\ 56$	56	-19	4.38	$\mathbf{F5}$	- 1.5	- 2.2	+ 2	_	-	
*1	21 19.8	$+19\ 35$	38	-22	4.24	<b>K</b> 0	+10.5	+ 6.5	-76	13	250	-0.2
Perse	21 <b>1.8</b>											
		1 1 40 41	1114	l =	l 1 QA	F5	1 _ 9 =	- 2.4	1_9	0.029	112	-0.9
α *Β	$\begin{array}{cccccccccccccccccccccccccccccccccccc$	$  +49 \ 41$	114		$oxed{1.80}\ 2.2 - 3.5$		$  \begin{array}{c} + \ 2.5 \\ + \ 0.6 \end{array}  $	$\begin{array}{ c c c c c c c c c c c c c c c c c c c$	- 2 + 6	31	105	$-0.9 \\ -0.4$
*β *••	$\begin{array}{ccc} 3 & 4.9 \\ 3 & 1.2 \end{array}$	$+40\ 46 \\ +53\ 19$	$\begin{vmatrix} 116 \\ 110 \end{vmatrix}$	-14	3.08	$\mathbf{F5} + \mathbf{A3}$	+ 0.6 + 0.3	$\begin{array}{ c c c c c c c c c c c c c c c c c c c$	$\begin{vmatrix} + & 0 \\ + & 1 \end{vmatrix}$	11	300	$-0.4 \\ -1.7$
*γ δ	$\begin{array}{ccc} 3 & 1.2 \\ 3 & 39.4 \end{array}$	+35 19  +47 38	118	$\begin{bmatrix} - & 4 \\ - & 5 \end{bmatrix}$	3.10	B5	+ 3.0	-3.5	-10	7	470	$\begin{vmatrix} 1.7 \\ -2.7 \end{vmatrix}$
*ε	3 54.5	+39 52	125	- 9	2.96	B1	+ 2.3	2.8	-6	_'	`	-
*ζ	3 51.0	+31  44	130	-15	2.91	Bl	+ 1.0	- 1.1	+21	_	_	_
$*\eta$	2 47.0	$+55\ 41$	107	- 3	3.93	$\mathbf{K}0$	+ 2.1	- 1.1	- 1		_	
*ϑ	2 40.8	+49 1	109	<b>9</b>	4.22	F8	+33.7	- 8.7	+25	77	42	+3.6
ι	3 5.4	$+49\ 25$	112	7	4.17	G0	+126.7	-8.1	+50	84	39	+3.8
х	3 6.1	$+44\ 40$	116	-11	4.00	<b>K</b> 0	+18.1	-15.5	+29	29	112	+1.3
λ	4 2.8	$+50\ 13$	120	0	4.33	A0	-0.7	-3.7	+ 5	-	070	-
$\mu$	4 11.2	$+48\ 17$	122	1	4.28	GO	+ 1.0	- 2.2	+ 8	12	270	-0.3

Stern	195	60.0	Galakt Koordii	ische naten	Visuelle	Spek-	100jäl	nr. EB	Mitt.	Paral-	Entf.	Absol.
	$\mathbf{R}\mathbf{A}$	Dekl.	l 1	b	Größe	trum	$\mathbf{R}\mathbf{A}$	Dekl.	RG	laxe	in Lj.	vis.Gr.
Dana	(Forta	otaun a)										
r erse	eus (Forts)	etzung) I ° ′	•	o	m	l 1	"	"	km/s	"	ı	M
ν	3 41.8	$+42\ 25$	122 -	_ 9	3.93	F5	- 1.0	+ 0.2	-12	0.014	230	-0.4
ۼ	3 55.7	$+35 \ 39$		-12	4.05	Oe5	+ 0.9	- 0.1	var.	_	-	_
*o	3 41.2	+32 8		-17	3.94	B2	+ 1.1	-1.2	+18	16	205	-0.1
$*\varrho$	3 2.0	$+38\ 39$			3.2-4.1		+13.2	-10.6	+26	8	410	-2.3
*τ	2 50.7	+5234	l I	-5	4.06	G0+A5	+ 0.2	-0.4	+2	12	270	-0.5
v	$\begin{array}{c} 1 \ 34.9 \\ 1 \ 40.5 \end{array}$	$  \begin{array}{c} +48\ 23 \\ +50\ 26 \end{array}  $		$-14 \   -11 \  $	$3.77 \\ 4.19$	K0 B0p	$+ 6.3 \\ + 2.4$	$\begin{vmatrix} -11.0 \\ -1.4 \end{vmatrix}$	+16	21	155	+0.4
$\varphi$	3 32.9	$\begin{array}{c ccccccccccccccccccccccccccccccccccc$	I I	11 5	$\begin{array}{c} 4.19 \\ 4.26 \end{array}$	В5р	$+\ 2.4 + 2.7$	$\begin{bmatrix} -1.4 \\ -2.6 \end{bmatrix}$	-0	18	180	+0.5
$oldsymbol{\psi}{16}$	$\begin{array}{c} 3 \ 52.3 \\ 2 \ 47.4 \end{array}$	+38   7		-18	$\frac{4.20}{4.27}$	F0	+19.0	-10.6	+14	$\frac{}{20}$	165	+0.8
48c	4 5.0	$+47 \ 35$	1 1	- 3	4.03	ВЗр	$+\ 2.5$	-3.0	+4	15	215	$\begin{bmatrix} -0.1 \\ -0.1 \end{bmatrix}$
<b>*</b> 58	4 33.2	$+41 \ 10$	129   -	- 3	4.46	$\left  \mathbf{K}0 + \mathbf{\hat{A}3} \right $	<b>– 1.1</b>	- 1.8	+ 2	20	165	+1.0
Pisce	10	-	_									
*α	1 59.4	+ 2 31	124   -	-55	3.94	A2p	+ 3.3	+ 0.1	+ 7	ı	ı	1
γ	23 14.6	$  \begin{array}{cccccccccccccccccccccccccccccccccccc$	1 1	-52	3.85	K0	$^{+}$ 3.3 $+$ 76.6	$  \begin{array}{c} + \ 0.1 \\ + \ 2.2 \end{array}  $		0.025	130	+0.8
ε	1 0.3	$  \begin{array}{c} + & 7 & 37 \\ + & 7 & 37 \end{array}  $		-55	4.45	K0	-8.2	+ 2.9	+ 7	29	112	+1.8
$*_{\eta}$	1 28.8	+15   5		-46	3.72	G5	+ 2.6	-0.6	+15			' _ '
$\dot{\boldsymbol{\vartheta}}$	23 25.4	+66	59 -	-51	4.45	G5	-12.7	-4.3	+ 5	14	230	+0.2
ι	23 37.4	+ 521		-54	4.28	F8	+37.0	-43.5	+ 5	64	51	+3.3
0	1 42.7	+854	, ,	-50	4.50	<b>K</b> 0	+ 7.1	+ 5.3	+13	18	180	+0.8
ω	23 56.7	+ 6 35	70   -	-54	4.03	F5	+14.8	-11.1	+2	12	270	-0.6
Pisci	s Austrina	us										
α	22 54.9	$-29 \ 53$	348   -	-66	1.16	A3	+32.8	-16.4	+ 6	0.144	23	+2.0
β	22 28.7	$-32 \ 36$	342 -	-60	4.36	A0	+ 6.3	- 1.1	+ 6	15	215	+0.3
*δ	22 53.2	$-32 \ 48$		-65	4.33	<b>K</b> 0	+ 1.3	+ 3.2	-12	15	215	+0.2
ε	$22\ 37.9$	$ -27 \ 18 $		-62	4.22	B8	+ 2.7	0.0	-		_	_
*ι	21 42.0	<b>-33</b> 15	341   -	-51	4.35	A0	+ 3.3	- 9.4	+ 2	32	102	+1.8
Pupp	ois											
ζ	8 1.8	$ -39\ 52$	224   -	<b>- 4</b>	2.27	08	- 3.1	+ 1.2	-24	-	-	_
ξ	7 47.2	$-24 \ 44$	209   -	+ 1	3.47	G0p	- 0.5	-0.2	+ 4	-	-	_
$\pi$	7 15.4	-37 0		-11	2.74	K5	-0.6	+ 0.5		0.023	142	-0.5
Q	8 5.4	$-24\ 10$		+ 6	2.88	F5	-8.6	+4.7	+47	31	105	+0.3
*3	7 41.8	-28 50	1 1	-2	4.10	A2p	-0.9	-0.5	+24	19	170	+0.5
11j	7 54.7	-2245		+4	4.35	F8	$-\   2.8 \\ -\   1.6$	$  \begin{array}{c} + \ 0.5 \\ - \ 0.9 \end{array}  $	+14	15	215	+0.2
16 c	8 6.8 7 43.5	$egin{array}{c c} -19 & 6 \\ -37 & 51 \\ \end{array}$	1 1	$+ 8 \\ - 6$	$\begin{array}{c} 4.34 \\ 3.72 \end{array}$	B3 K5	$-1.6 \\ -1.5$	$\begin{array}{ c c c c c c c c c c c c c c c c c c c$	$ +19 \\ +17$	_	_	
$\mathbf{h^1}$	8 9.6	$\begin{bmatrix} -37.51 \\ -39.28 \end{bmatrix}$	1 1	$-\begin{array}{cccccccccccccccccccccccccccccccccccc$	$\begin{array}{c} 3.12 \\ 4.43 \end{array}$	K5	$-\ 0.8$	$\begin{array}{ c c c c c c c c c c c c c c c c c c c$	$\begin{vmatrix} +17 \\ +16 \end{vmatrix}$	_	_	
*k	7 36.7	$-26\ 41$	1 1	$-\begin{bmatrix} 2\\1 \end{bmatrix}$	3.81	$\mathbf{B3} + \mathbf{B8}$	+ 2.5	+ 2.0	+28	<u> </u>	_	_
q	8 16.7	$-36\ 30$		$+ \bar{1}$	4.43	A5	-11.0	+ 9.3	+ 5	36	91	+2.2
Pyxi	8	-				'						
α	8 41.6	<b>-33</b> 0	223   -	+ 7	3.70	B2	- 1.5	+ 1.1	+16	l –		-
$\tilde{\beta}$	8 38.2	$\begin{bmatrix} -35 & 8 \end{bmatrix}$		+ 5	4.04	G5	+ 1.3	- 1.8		0.011	300	-0.8
γ	8 48.4	$-27 \ 31$		+12	4.19	K2	-12.9	+ 8.3	+24		130	+1.2
-		<u> </u>	. 1					•	•		•	·

124 Hilfstafeln und Verzeichnisse

Stern	195	0.0		tische linaten	Visuelle Größe	Spek- trum	100jäl	ır. EB	Mitt-	Paral-	Entf. in Li.	Absol. vis.Gr.
	RA	Dekl.	ı	b	urozo		RA_	Dekl.	RG			<u> </u>
Sagit	ta.											
Jagur	h min	. ° ′	١°	۰ ا	l m		<b>"</b>	, "	km/s	l <i>"</i>	ļ	M
α	19 37.9	+17 54	22	- 3	4.37	G0	+ 0.9	- 2.4	+ 2	l	_	ĺ –
$\tilde{\beta}$	19 38.8	+17 22	22	<b>– 4</b>	4.45	<b>K</b> 0	+ 0.4	- 3.7	-22	0.020	165	+1.0
γ	19 56.5	$+19\ 21$	25	- 6	3.71	K5	+ 6.1	+ 2.4	-33	11	300	-1.1
*δ	19 45.2	$+18 \ 25$	23	<u> </u>	3.78	Ma+A0	+ 0.4	+ 0.9	+ 3	<u> </u>	<u> </u>	
Sagit	tarius											
ν	18 2.6	$-30\ 36$	329	- 6	3.07	<b>K</b> 0	-5.3	-19.3		0.018	180	-0.6
$\delta$	18 17.8	$-29 \ 51$	331	- 9	2.84	<b>K</b> 0	+ 3.8	- 3.2	-20	39	84	+0.7
ε	18 20.9	$-34 \ 25$	327	11	1.82	A0	<b>– 4.1</b>	-12.9	-11	15	215	-2.3
ζ	18 59.4	$-29 \ 57$	334	17	2.71	A2	-1.9	- 0.5	+22	20	165	-0.8
$\eta$	18 14.2	$-36\ 47$	324	-11	3.16	M4	-14.1	-16.7	0	38	87	+1.1
*01	19 56.5	$-35 \ 25$	332	<b>-3</b> 0	4.39	B3	+ 0.7	- 3.0	+ 1	\	-	-
λ	18 24.9	$-25\ 27$	335	- 7	2.94	<b>K</b> 0	<b>- 4.7</b>	-18.8	-43	46	70	+1.2
$*\mu$	18 10.8	-21 4	338	- 3	4.01	B8p	+ 0.1	-0.3	var.	-	-	-
ξ2	18 54.7	$ -21 \ 10$	342	-12	3.61	<b>K</b> 0	+ 3.1	-1.6	-20		- 05	-
o	19 1.7	-2149	342	-14	3.90	K0	+ 7.8	-6.2	+25	38	87	+1.8
*π	19 6.8	-21 6	344	-15	3.02	F2	-0.1	-4.0	-10	16	205	-1.0
$\varrho^{1}$	19 18.8	-17 57	348	$\left  -16 \right $	3.95	A5	-2.7	+ 2.3	$\begin{vmatrix} + & 1 \\ -11 \end{vmatrix}$	35	93	+1.6
σ	18 52.2	-2622	337	-13	2.14	B3	+ 1.2	- 5.8		38	87	+1.3
τ	19 3.8	-27.45	337	-17	3.42	K0	- 5.4	-25.5	$  +45 \\ +22  $	30	"	+1.3
φ	18 42.5	-27 3	336	<u>  —12</u>	3.30	B8	+ 5.2	- 0.2	+22	<u> </u>	<u> </u>	
Scorp	oius			_							l ==0	
<b>*</b> α	16 26.3	-26 19	320	+14	1	Ma + A3	-0.9	-2.8		0.019	170	-2.6
<b>∗</b> β	16 2.5	$ -19 \ 40$	321	+22	2.90	B1	-1.4	-2.6	- 6	-	_	-
δ	15 57.4	$-22 \ 29$	318	+22	2.54	B0	-1.1	-3.0	-16	- 40	- 00	- 0
ε	16 <b>46.9</b>	$ -34 \ 12 $	317	+5	2.36	K0	-61.3	-25.6	$\begin{bmatrix} -2 \end{bmatrix}$	49	66	+0.9
ж	17 39.0	-30 0	319	- 6	2.51	B2	-1.3	-2.8	-10	_	_	-
* \( \)	17 30.2	-37 4	320	-3	1.62	B2	-0.1	-3.1	var.	_	-	-
* $\mu^1$	16 48.5	-37.58	314	+ 3	3.1+3.4		-1.4	-3.0	var.		-	-
$\mu^2$	16 48.9	-37.56	314	+3	3.64	B2	- 1.3	-2.8	$+ \frac{2}{c}$	90	165	+0.7
* <sub>v</sub>	16 9.1	$-19\ 20$	322	+22	4.16	B3	-1.1	-2.3	-6	20 36	165	+0.7 +2.0
* <b>ξ</b>	16 1.6	-11 14	328	+28	4.16	F8	- 6.5	- 3.6	$\begin{vmatrix} -32 \\ -3 \end{vmatrix}$	30	i	72.0
$*\pi$	15 55.8	$-25\ 58$	315	+19	3.00	B3	- 1.2	-3.2		-	-	-
Q	15 53.8	-29   4	313	+17	4.02	B3	-1.0	-2.6	+ 3	-	_	-
<b>*</b> σ	16 18.1	$-25\ 28$	320	+16	3.08	B1	- 1.1	$\begin{array}{ c c c c c c c c c c c c c c c c c c c$	var. + 1	] -	_	
τ	16 32.8	$\begin{vmatrix} -28 & 7 \\ 27 & 17 \end{vmatrix}$	319	+12	2.91	B0	- 1.1	,	+ 18	_	_	l
v	17 27.4	-37 15	319	- 3	2.80	B3 B2	$-0.4 \\ -1.0$	$\begin{array}{ c c c c c c c c c c c c c c c c c c c$	— 6	<u>-</u>	_	_
$\omega^1$	16 3.9	-2032	321	$\begin{vmatrix} +22 \\ -6 \end{vmatrix}$	4.13 3.25	K2	$\begin{array}{c c} -1.0 \\ +5.7 \end{array}$	$\begin{array}{c c} -2.3 \\ +2.8 \end{array}$	+25	32	100	+0.8
G H	17 46.5 16 33.1	$\begin{vmatrix} -37 & 2 \\ -35 & 6 \end{vmatrix}$	321 314	- 6 + 7	4.30	MO	$\begin{array}{cccccccccccccccccccccccccccccccccccc$	-0.4	-20	16	205	+0.3
N	16 28.1	$\begin{bmatrix} -35 & 6 \\ -34 & 36 \end{bmatrix}$	314	+ 8	4.33	B3	-0.9	-2.2		_		_
$\hat{\mathbf{Q}}$	17 33.1	$\begin{vmatrix} -34 & 36 \\ -38 & 36 \end{vmatrix}$		$\begin{vmatrix} -5 \end{vmatrix}$	1	K0	- 1.6	-20.4	-49	12_	270	-0.3
Scul	ntar											
		<b>00_9</b> 0	012	_ 0=	4.39	B5	+ 1.0	+ 0.5	1 +10	I _	l _	_
α	0 56.2 23 30.3	$\begin{vmatrix} -29 & 38 \\ -38 & 6 \end{vmatrix}$	322	$\begin{vmatrix} -85 \\ -71 \end{vmatrix}$	4.39	B9	+ 8.3	+ 0.5 + 1.7	$\begin{vmatrix} +10 \\ +2 \end{vmatrix}$			_
β	40 00.0	<u> 1 – 35                                     </u>	224	1 - 11	1 <del>1.40</del>		1 0.0	1 1 4.1	<u>'                                    </u>	<u> </u>	<u> </u>	<u></u>

Verzeichnis von 614 Fixsternen (Fortsetzung)

Stern	195	0.0		ktische linaten	Visuelle	Spek-	100jāl	hr. EB	Mitt- lere	Paral-	Entf.	Absol.
	RA	Dekl.	ı	b	Größe	trum	RA	Dekl.	RG	laxe	in Lj.	vis.Gr.
Scutu	ım						·		_		•	<u>.                                      </u>
	h min	0 /	0	•	m	1	l "	"	km/s	"	1	M
α	18 32.5	- 8 17	352	- 1	4.06	$\mathbf{K}0$	- 1.8	-31.4	· ·	0.013	250	-0.3
<b>*</b> β	18 44.5	<b>- 4 48</b>	356		4.47	G0	- 1.0	- 2.1	-21	16	205	+0.5
Serpe	ns											
α	15 41.8	+635	342	+42	2.75	$\mathbf{K}0$	+13.4	+ 3.9		0.046	71	+1.1
*β	15 43.9	$+15\ 35$	354	+47	3.74	A2	+6.6	-5.5	-2	34	96	+1.4
γ	15 54.1	+1549	355	+44	3.86	F5	+30.7	-129.2	+ 7	69	47	-3.1
<b>*</b> δ	15 32.4	$+10 \ 42$	345	+47	3.85	$\mathbf{F0}$	-7.7	-0.4	-40	15	215	-0.3
ε	15 48.3	+ 4 38	341	+41	3.75	A2	+12.4	+5.7	- 9	35	110	-0.8
$\eta$	18 18.7	-255	355	+ 4	3.42	<b>K</b> 0	-55.6	-70.0	+9	54	60	+2.1
*9 *	18 53.7	+48	5	-1	4.10	A5	+ 4.4	+ 2.7	-50	26	125	+1.2
*,	15 39.3	+1950	359	+49	4.49	A2	- 6.1	- 5.4	-17		-	-
χ λ	15 46.5 15 44.0	+18 18	357 344	+47	4.28	<b>K</b> 5	-4.8	-9.2	<b>-38</b>	19	170	+0.7
	15 44.0 15 47.0	$\begin{array}{r r} + 730 \\ - 317 \end{array}$	333	+43	4.42	G0	-22.6	-7.2	-66	91	36	+4.2
μ	15 47.0 17 18.0	$\begin{bmatrix} -3 & 17 \\ -12 & 48 \end{bmatrix}$	338	$  +36 \\ +12  $	3.63 4.35	A0 A0	- 8.8	-2.9	-10		-	-
ν *ξ	17 18.0	-1248 $-1522$	339	+ 12 + 7	3.64	A5	$  \begin{array}{c} + \ 4.1 \\ - \ 4.2 \end{array}  $	+ 0.1	+ 5	22	150	+1.1
*0	17 34.7	$-13\ 22$ $-12\ 51$	341	+ 8	4.39	A3 A2	-4.2 $-7.5$	$\begin{array}{ c c c c c c c c c c c c c c c c c c c$	$\begin{vmatrix} -43 \\ -30 \end{vmatrix}$	26 -	125	+0.7
Taur			1 -		1			911	1 95	l	<u>                                       </u>	<u> </u>
<b>*</b> α	4 33.0	+1625	149	-19	0.85	<b>K</b> 5	+ 6.9	-19.0	LIEA	0.048	1 60	1 07
β	5 23.1	+10 25   +28 34	145	$-13 \\ -2$	1.65	B8	$  \begin{array}{c} + \ 0.9 \\ + \ 3.0 \end{array}  $	-19.0 $-17.5$	+ 34 $  + 8$	18	68   180	$egin{array}{c} -0.7 \\ -2.1 \\ \end{array}$
-	4 16.9	$+15\ 31$	147	-23	3.86	<b>K</b> 0	+11.9	$-17.5 \\ -2.4$	$\begin{vmatrix} + & 0 \\ +38 \end{vmatrix}$	10	100	
$\frac{\gamma}{\delta}$	4 20.0	$+17\ 26$	146	$\begin{vmatrix} -23 \\ -21 \end{vmatrix}$	3.93	<b>K</b> 0	+11.9 + 11.0	-2.4 $-3.1$	+38	16	205	-0.1
ε	4 25.7	+19   4	146	-18	3.63	<b>K</b> 0	+11.0 + 11.2	$\begin{array}{ c c c c c c c c c c c c c c c c c c c$	+39	18	180	$\begin{bmatrix} -0.1 \\ -0.1 \end{bmatrix}$
<b>*</b> \$	5 34.7	+21   7	153	<b>- 4</b>	3.00	<b>B3</b> e	+0.6	$\begin{array}{ c c c c c c c c c c c c c c c c c c c$	var.	10	160	
$\eta$	3 44.5	+23 57	134	-22	2.96	В5р	+ 2.3	- 4.4	+10	_	_	_
$\vartheta^1$	4 25.7	$+15\ 51$	148	$\begin{vmatrix} -20 \end{vmatrix}$	4.04	<b>K</b> 0	+10.5	-2.8	+40	23	140	+0.8
$\hat{\vartheta}^2$	4 25.8	$+15\ 46$	148	-20	3.62	A7	+10.5	-2.6	+43	25	130	+0.6
×	4 22.4	$+22\ 11$	143	-17	4.36	A3	+10.0	-4.8	+39	_	100	` _
*\hat{\chi}	3 57.9	$+12\ 21$	147	-28	3.8-4.1	B3	-0.6	-1.0	+16	_	_	
μ	4 12.8	+ 8 46	151	-28	4.32	В3	+ 2.7	-2.3	+18	_		_
v	4 0.5	+ 551	152	-32	3.94	$\mathbf{A0}$	+ 0.6	- 0.2	-5	22	148	+0.6
ξ	3 24.5	+934	143	-36	3.75	В8	+ 5.9	- 3.2	var.		_	_
o	3 22.1	+851	142	-36	<b>3.8</b> 0	G5	- 6.5	- 7.5	-21	11	300	-1.0
*τ	4 39.2	$+22\ 52$	144	-14	4.33	$\mathbf{B5}$	+ 0.4	- 1.6	+14	_	_	-
*v	4 23.3	$+22 \ 42$	142	-16	4.40	<b>A5</b>	+10.8	<b>- 4.7</b>	+33	33	99	+1.9
*5f	3 28.1	$+12 \ 46$	140	-33	4.28	$\mathbf{K}0$	+ 2.2	0.0	+14	_	_	_
10	3 34.3	+ 0.15	153	-40	4.40	G5	-23.4	-47.9	+28	54	60	+3.1
17	3 41.9	$+23\ 57$	134	-22	3.81	B5p	+ 2.2	-4.5	+12	19	170	+0.2
19q	3 42.0	+24 19	134	-22	4.37	B5	+ 2.2	- 4.4	+ 5	-	-	-
20	3 42.8	+24 13	134	-22	4.02	<b>B</b> 5	+ 2.3	- 4.5	+ 8	-	_	-
23	3 43.4	$+23 \ 48$	134	-22	4.25	<b>B</b> 5	+ 2.5	- 4.4	+ 7	_	-	<b>-</b>
27	3 46.2	$+23\ 54$	135	-22	3.80	<b>B8</b>	+ 1.9	<b>- 4.</b> 5	+ 9	-	_	_
37	4 1.7	$+21\ 27$	140	-21	4.50	<b>K</b> 0	+ 9.2	-5.9	+ 9	-	_	-
*68	4 22.6	+17 49	146	-20	4.24	A2	+11.2	-2.9	+36	_		
*88	4 32.9	+10 4	154	-23	4.38	A3	+ 5.6	-4.5	+29	30	109	+1.8
90c	4 35.4	+12 24	153	-21	4.30	A3	+10.1	- 1.2	+47	18	180	+0.6

Verzeichnis von 614 Fixsternen (Fortsetzung)

126

Stern	195	0.0	Galal Koord	ctische linaten	Visuelle	Spek-	100jäl	r. EB	Mitt- lere	Paral- laxe	Enti. in Lj.	Absol vis.Gr
	RA	Dekl.		<i>b</i>	Größe	trum	RA	Dekl.	RG	laxe	III 11).	, 15. GI
Triar	igulum											
ı	h min	· /	٥	0	m		<b>"</b>	"	km/s	"	1	M
*α	1 50.2	+29 20	107	-31	3.58	$\mathbf{F2}$	+ 1.0	- 2.3		0.050	65	+2.
*β	2 6.6	$+34 \ 45$	109	-24	3.08	<b>A6</b>	+15.0	-4.2	+10	12	270	-1.6
γ	2 14.3	$+33\ 37$	111	-25	4.07	<u>A</u> 0	+ 4.6	<u>- 4.8</u>	+13	36	91	+1.9
Ursa	Maior											•
*α	11 0.7	+62   1	110	+52	1.80	$\mathbf{K}0$	-11.9	- 7.0		0.031	105	-0.8
<b>*</b> β	10 58.8	$+56\ 39$	115	+55	2.44	$\mathbf{A0}$	+ 8.2	+ 2.9	-12	42	78	+0.8
γ	11 51.2	$+53\ 58$	107	+62	2.52	<b>A</b> 0	+9.4	+ 0.4	-11	20	165	-1.0
$\delta$	12 13.0	+57 19	99	+59	3.44	A2	+10.6	+ 0.3	-13	52	63	+2.0
*ε	12 51.8	+56 14	88	+61	1.78	Aop	+11.3	$\begin{vmatrix} -1.1 \\ -3.2 \end{vmatrix}$	-12	- 37	89	+0.2
*۲	13 21.9	$+55\ 11$	77	+62	2.40 1.87	A2 B3	$egin{array}{c} +12.1 \ -12.2 \end{array}$	$  \begin{array}{cccccccccccccccccccccccccccccccccccc$	$egin{bmatrix} -10 \ -11 \ \end{bmatrix}$	31	oa     _	+0.4
$rac{\eta}{\vartheta}$	$13 \ 45.6$ $9 \ 29.5$	$+49\ 34 \\ +51\ 54$	66   133	$  +65 \\ +46  $	3.26	F8	$-12.2 \\ -94.6$	-54.2	+15	52	63	+1.9
$ \mathbf{r}_{i} $	8 55.8	$+3134 \\ +4814$	139	+42	3.12	A5	-44.2	-24.3	+13	66	49	+2.5
<sub>*</sub> χ	9 0.2	$+47\ 21$	139	+43	3.68	AO	-3.2	- 6.2	+4	10	330	-1.3
λ	10 14.1	$+43\ 10$	143	+56	3.52	$\mathbf{A2}$	-16.4	-4.5	+19	_	-	_
$\mu$	10 19.4	$+41 \ 45$	145	+57	3.21	K5	- 8.2	+ 2.5	-18	31	105	+0.6
$\nu$	11 15.8	$+33 \ 22$	157	+70	3.71	<b>K</b> 0	-2.5	+ 2.1	- 9	13	250	-0.7
ķξ	11 15.5	$+31 \ 49$	163	+73	3.86	G0	-43.1	-59.3	-16	127	26	+4.4
*o	8 26.1	+60 53	123	+36	3.47	G0	-12.8	-11.3	+20	_	-	
*v	9 47.5	+59 17	120	+46	3.89	<b>F</b> 0	-29.2	-15.8	+30	36	91	+1.7
χ	11 43.4	$+48 \ 3$	116	+66	3.85	<b>K</b> 0	-13.8	+ 1.0	-9	14	230	-0.4
$\psi$	11 6.9	$+44\ 46$	132	+64	3.15	K0 F5	$egin{array}{c} -6.3 \ -43.6 \ \end{array}$	$egin{array}{c} -3.5 \ -25.5 \end{array}$	ullet +27	- 70	- 47	+3.3
*10 *23	$\begin{bmatrix} 8 & 57.4 \\ 9 & 27.6 \end{bmatrix}$	$ig  egin{array}{c} +41 \ 59 \ +63 \ 17 \ \hline \end{array}$	147 117	$egin{array}{c} +42 \ +42 \ \end{array}$	4.09 3.75	$\mathbf{F}_0$	+11.0	+2.4	- 9	34	96	+1.2
80g	13 23.2	$+55 \ 15$	78	$\begin{array}{c c} +42 \\ +61 \end{array}$	4.02	A5	+11.9	-2.4	-2	1	89	+1.8
	Minor		<u>'</u>	<u> </u>	·	·			<u>-</u>			
*α	1 48.8	+89 2	90	+27	2.01	F7	+ 4.6	- 0.4	-13	0.003	1100	-5.6
β	14 50.8	+74 22	79	+40	2.02	K5	- 3.2	+ 0.7	+17	31	105	-0.6
*γ	15 20.8	+72 1	75	+41	3.14	<b>A2</b>	- 2.0	+ 1.6	var.	-	_	-
δ	17 48.3	$+86\ 37$	87	+28	4.44	<b>A</b> 0	+ 1.1	+ 5.1	<b>- 7</b>	-	- '	-
ε	16 51.0	+82 7	82	+31	4.40	<b>G5</b>	+ 1.4	-0.1	-11	14	230	+0.1
* ځ -	15 45.8	+7757	79	+36	4.34	A2	+ 1.9	-0.4	var.	11	300	-0.8
5	14 27.6	+75 55	82	+40	4.37	K2	+ 0.8	+ 1.8	+10	17	190	+0.6
Virgo	9											
*a	13 22.6	-1054	285	+50	1.00	<b>B2</b>	- 4.1	-3.5		0.021	155	-2.4
β	11 48.1	+ 2 3	241	+60	3.80	$\mathbf{F8}$	+74.2	-27.7	+ 5	98	33	+3.8
*γ	12 39.0	- 111	268	+61	2.90	FO	-56.7	+ 0.5	-20	101	32	+2.9
δ	12 53.1	+ 340	277	+65	3.66	M3	-46.9	-6.0	-18	17	190	-0.
ε	12 59.7	+11 14	284	+73	2.95	<b>K</b> 0	-27.4	+ 1.6	-14	36	91	+0.
ζ	13 32.1	-0.20	295	+60	3.44	A2	-28.5	+ 3.4	$\begin{bmatrix} -14 \\ c \end{bmatrix}$	35	93	+1.
*η	12 17.3	-023	257	+61	4.00	$\mathbf{A0}$	- 6.3	-2.5	+6	] —	_	_
٠ <del>/</del>	13 7.4	-516	901	+56	4.44	$\mathbf{A0}$	- 3.6	-3.9	-3	22	148	+1.1

Verzeichnis von 614 Fixsternen (Fortsetzung)

Stern	195	60.0	Galal Koord	ktische linaten	Visuelle Größe	Spek- trum	100jāl	nr. EB	Mitt- lere	Paral-	Entf.	Absol.
	RA	Dekl.	$\mid l \mid$	b	0.1020	VI 4111	RA	Dekl.	RG	Tuneo	111 22,	113.61.
Virgo	(Fortset	zung)										
	h min	0 /	°	٥	m		"	"	km/s	"		M
ι	14 13.4	- 5 46	307	+49	4.16	$\mathbf{F5}$	- 1.0	-42.9	+12	39	84	+2.1
ж	14 10.2	$-10 \ 3$	302	+46	4.31	$\mathbf{K}0$	+ 0.4	+13.4	- <b>4</b>	17	190	+0.5
$\mu$	14 40.4	-527	315	+47	3.95	$\mathbf{F5}$	+10.6	-32.2	+ 5	39	84	+1.8
v	11 43.3	+649	233	+64	4.20	$\mathbf{M1}$	- 1.8	-18.8	+50	_	-	-
o	12 2.7	+ 9 1	241	+69	4.24	G5	-22.1	+ 4.2	<b>-3</b> 0	37	89	+2.0
τ	13 59.1	+ 147	308	+58	4.34	$\mathbf{A2}$	+ 1.5	-2.6	var.?	15	215	+0.2
109	14 43.7	+ 2 6	323	+51	3.76	$\mathbf{A0}$	-11.4	- 3.6	-6	<b>3</b> 0	109	+1.2
-	ecula   19 51.3	$+23\ 57$	29	- 3	4.50	A0	+ 2.2	+ 3.6	1		1	

Bemerkungen: Andromeda:  $\alpha S 96^{d}.7$ ;  $\gamma D!$ ;  $\delta d$ ;  $\zeta S 17^{d}.8$ ;  $\lambda S 20^{d}.5$ ;  $\nu S 4^{d}.3$ ; o S;  $\pi D$ , S 144°,  $\varphi$  D. Aquarius:  $\zeta$  D;  $\iota$  S, Aquila:  $\eta$   $\delta$  Cepheistern, Per. = 7°.18;  $\vartheta$  S 17°.1. Aries:  $\beta$  S  $107^{\rm d}$ .0;  $\gamma$  D! Auriga:  $\alpha$  S  $104^{\rm d}$ ;  $\beta$  S  $4^{\rm d}$ .0;  $\varepsilon$  Algolstern  $3^{\rm m}$ .1– $3^{\rm m}$ .8, Per. = 27 Jahre!  $\zeta$  Algolstern  $3^{\mathrm{m}}.9-4^{\mathrm{m}}.3$ , Per. = 2 Jahre 8 Mon.;  $\vartheta$  d. Bootes:  $\delta$ D;  $\varepsilon$ D;  $\zeta$ d;  $\eta$ S 1a.36;  $\varkappa$ D;  $\mu$ D! Camelopardalis: 2 H d. Cancer:  $\alpha$  d;  $\beta$  d;  $\zeta$  D!  $\iota^1$  D! Canes Venatici:  $\alpha$  D! Canis Maior:  $\alpha$  d;  $\beta$  S  $0^d$ .25 und 49d;  $\varepsilon$  d;  $\tau$  S 155d. Canis Minor:  $\alpha$  d. Capricornus:  $\alpha^2$  d;  $\beta$  S 8d.7 und 3a.85;  $\delta$  S 1d.0. Cassiopeia:  $\alpha\,\mu$  Cepheistern,  $\gamma$ unregelmäßig veränderlich;  $\eta$  D; 50 D. Centaurus: d d, i S 9d.9, k D. Cepheus:  $\beta$  d, veränderlich 3<sup>m</sup>.3-3<sup>m</sup>.4, Per. = 0<sup>d</sup>.19;  $\delta$  D,  $\delta$  Cepheistern, Per. = 5<sup>d</sup>.37;  $\vartheta$  S;  $\varkappa$  D;  $\mu$   $\mu$  Cepheistern, auffallend rot;  $\xi$  D! Cetus:  $\iota$  d; o Mirastern, Per. = 332d. Columba:  $\alpha$  d;  $\delta$  S 2a.38. Coma Berenices:  $42 = \alpha$ , d. Corona Borealis:  $\alpha S 17^d.4$ ,  $\gamma d$ ,  $\varepsilon d$ . Corvus:  $\delta D$ ,  $\eta S$ . Crater:  $\gamma d$ . Cygnus:  $\beta$  D! S;  $\delta$  d;  $\eta$  d;  $\lambda$  d;  $\mu$  d;  $\xi$  S?;  $o^1$  D;  $o^2$  S  $3^a.20$ ;  $\sigma$  S  $11^d.0$ ;  $\tau$  d, S  $0^d.14$ ; v d;  $\chi$  Mirastern, Per. = 407d.; 52 d. Delphinus:  $\beta$  d.  $\gamma$  D! Draco:  $\alpha$  S 51d.4;  $\beta$  d;  $\varepsilon$  d;  $\eta$  d;  $\vartheta$  S 3d.1;  $\kappa$  S 0d.89;  $\nu$  D!  $\varphi$  D, S;  $\chi$  S 281d. Equuleus:  $\alpha$  S. Eridanus:  $\nu$  S 0d.19;  $o^2$  D;  $\tau^4$  d;  $\tau^5$  S 6d.2; 41 S. Fornax:  $\alpha$  d. Gemini:  $\alpha$  D!, jede Komponente S, 9d.2 und 2d.9;  $\delta$  D;  $\zeta$   $\delta$  Cepheistern, Per. = 10d.15;  $\eta$  d, veränderlich, Per. =  $234^{\rm d}$ ;  $\varkappa$  d;  $\lambda$  d;  $\nu$  d;  $\varrho$  d;  $\sigma$  S 19d.6;  $\tau$  d; 1 S 9d.6. Hercules:  $\alpha$  D!,  $\mu$  Cepheistern;  $\beta$  S 1a.13;  $\gamma$  D, S 11d.9;  $\varepsilon$  S 4d.0;  $\zeta$  d;  $\iota$  S 0d.14?;  $\mu$  D; o S 22d;  $\varrho$  D!;  $\tau$  d; 95 D! **Hydra:**  $\beta$  d;  $\varepsilon$  d;  $\lambda^2$  S 4a.51;  $\rho$  d, S 8d.2. Leo:  $\alpha$  D;  $\gamma$  D!;  $\iota$  D;  $\rho$  S 14d.5; 54 D! Leo Minor: 31 d. Lepus:  $\beta$  d;  $\gamma$  D;  $\kappa$  d. Libra:  $\alpha^2$  Begleiter  $\alpha^1$ , 5<sup>m</sup>.33, in 331" Abstand, gemeinsame Eigenbewegung;  $\gamma$  d; v d. Lupus:  $\eta$  D;  $\chi$  S. Lynx: 38 D. Lyra:  $\beta$  D!,  $\beta$  Lyraestern, Per. = 12d.91;  $\varepsilon^1$  D;  $\varepsilon^2$  D;  $\varepsilon^1$  und  $\varepsilon^2$  bilden weiten physischen Doppelstern,  $4^{m}.69 + 4^{m}.51$ , Abstand 208";  $\zeta$  D! S;  $\eta$  D; R  $\mu$  Cepheistern. Monoceros:  $\beta$  D!, dreifach;  $\varepsilon$  D!  $\zeta$  d. Ophiuchus:  $\eta$  d;  $\vartheta$  S 0d.29;  $\iota$  S;  $\lambda$  d;  $\xi$  d; 67 D; 68 D; 70 D!; 72 d. Orion:  $\alpha \mu$  Cepheistern;  $\beta$  d, S;  $\delta$  D!, S;  $\zeta$  D!  $\eta$  d, Hauptstern S 8<sup>d</sup>.0 und 9<sup>a</sup>;  $\iota$  D, S 29<sup>d</sup>.1;  $\lambda$  D!  $\mu$  d, S;  $\nu$  S 131d,  $\pi^4$  S 9d.5;  $\pi^5$  S 3d.7;  $\sigma$  D!, dreifach;  $5^{\rm h}$  32m.6-6°2′ D! **Pegasus:**  $\varepsilon$  d;  $\eta$  S 2a.24;  $\vartheta$  S;  $\iota$  S 10d.2;  $\varkappa$  d, S 6d.0;  $\xi$  d; 1 D. Perseus:  $\beta$  Algolstern, Per. = 2d.87;  $\gamma$  S;  $\varepsilon$  d, S;  $\zeta$  d;  $\eta$  D;  $\vartheta$  d; o S 4<sup>d</sup>.4;  $\varrho$   $\mu$  Cepheistern;  $\tau$  S 4<sup>a</sup>.23; 58 S 17<sup>a</sup>.18. Pisces:  $\alpha$  D;  $\eta$  d. Piscis Austrinus: 30 d;  $\iota$  S. Puppis: 3 S 138d; k D! Sagitta:  $\delta$  S. Sagittarius:  $\vartheta$ <sup>1</sup> S 2d.1;  $\mu$  S,  $\pi$  d. Scorpius:  $\alpha$  d, Begleiter S 7d.35;  $\beta$  D! S 6d.8;  $\lambda$  S 5d.6;  $\mu^1$   $\beta$  Lyraestern, Per. = 1d.45;  $\nu$  D!;  $\xi$  D;  $\pi$  S 1d.6;  $\sigma$  d, S 34d. Scutum:  $\beta$  S 2<sup>a</sup>.28. Serpens:  $\beta$  D;  $\delta$  D!;  $\vartheta$  D!;  $\iota$  d;  $\xi$  S 2<sup>d</sup>.3;  $\varrho$  S. Taurus:  $\varrho$  d;  $\xi$  S 133<sup>d</sup>.;  $\varrho$  Algolstern, Per. =  $3^{d}.95$ ;  $\tau$  D, S  $1^{d}.5$ ; v S; 5 f S  $2^{a}.63$ ; 68 d; 88 D, S  $3^{d}.6$ . Triangulum:  $\alpha$  S  $1^{d}.7$ ;  $\beta$  S 31<sup>d</sup>.4. Ursa Maior:  $\alpha$  d;  $\beta$  S 0<sup>d</sup>.31;  $\varepsilon$  S 4<sup>a</sup>.15;  $\zeta$  D!, S 20<sup>d</sup>.5;  $\vartheta$  d;  $\iota$  d;  $\varkappa$  d;  $\nu$  d;  $\xi$  D, jede Komponente S, 669d und 4d; o d; v d; 10 d; 23 D. Ursa Minor:  $\alpha$   $\delta$  Cepheistern, Per. = 3d.97, Amplitude  $0^{m}.1$ ;  $\gamma \otimes 0^{d}.11$ ;  $\varepsilon \otimes 39^{d}.5$ . Virgo:  $\alpha \otimes 4^{d}.0$ ;  $\gamma \otimes D!$ ;  $\eta \otimes 71^{d}.9$ ;  $\vartheta \otimes d$ .

#### 88 Fixsterne heller als 3<sup>m</sup>.80 3.3.11.

Auf den folgenden Seiten wird das Verzeichnis der hellen Sterne von  $-40^\circ$  bis zum Südpol erweitert. Die Eigenbewegung ist im Gegensatz zu dem Katalog der Sterne nördlich von  $-40^{\circ}$ als jährliche EB gegeben, in RA in Rektaszensionssekunden, in Dekl. in Bogensekunden. In den nicht vorkommenden Sternbildern befinden sich nur Sterne schwächer als 3m.80.

Verzeichnis von 88 Fixster	$nen \geq 3^{\mathrm{m}}.80$	südlich von	$\delta =$	$-40^{\circ}$
----------------------------	------------------------------	-------------	------------	---------------

C+	195	50.0	Visuelle	Spek-	Jährlid	he EB	Mittl.	Par-	Entf.	Absol.
Stern	RA	Dekl.	Größe	trum	RA	Dekl.	$\mathbf{RG}$	allaxe	in Lj.	vis. Gr.
Ara										
	h min	° ′	m		s	<i>"</i>	km/s	"		M
α	17 28.0	-49 50	2.97	ВЗр	-0.003	-0.08	-2	_		
β	17 21.1	-55 29	2.80	$\mathbf{K2}^{1}$	-0.001	-0.03	0	0.026	126	-0.1
γ	17 21.2	<b>56 2</b> 0	3.51	B1	-0.000	-0.02	<b>- 4</b>	-	-	-
δ	17 26.6	60 39	3.79	<b>B</b> 8	-0.007	-0.10	+12		-	
ζ	16 54.5	55 <b>5</b> 5	3.06	<b>K</b> 5	-0.002	-0.04	- 6	36	91	-0.9
$\eta$	16 45.5	58 57	3.68	<b>K</b> 5	+0.005	-0.04	+9	17	<b>19</b> 0	-0.1
Carino $\alpha$	6 22.8	-52 40	-0.86	<b>F</b> 0	+0.002	+0.02	+20	0.018	180	-4.6
α	$6\ 22.8$	$ -52 \ 40$	-0.86	<b>F</b> 0	+0.002	+0.02	+20	0.018	180	-4.6
β	9 12.7	69 31	1.80	A0	-0.029	+0.10	- 5	38	87	-0.3
ε	8 21.5	59 21	1.74	$\mathbf{K0} + \mathbf{B}$	-0.004	+0.01	+12	_	-	-
$\boldsymbol{\vartheta}$	10 41.2	64 8	3.03	B0	-0.003	+0.01	+24	_	_	
ι	9 15.8	59 5	2.25	<b>F</b> 0	-0.002	-0.00	+13	-		-
$oldsymbol{v}$	9 45.9	64 50	3.15	F0	-0.002	+0.00	+14	20	165	-0.4
χ	7 55.5	52 51	3.60	B3	-0.004	+0.02	+19	-	_	-
ω	10 12.6	69 47	3.56	B8	-0.006	0.00	+ 4	_	-	
a	9 9.6 10 30.2	58 46 61 26	3.56	B3	-0.004	+0.00	+23	_	-	_
p			3.58	B5p	-0.003	0.00	+26	- 10	100	
q	10 15.4	61 5	3.44	K5	-0.003	-0.00	+ 9	18	180	-0.3
Centar	urus									
α	14 36.2	-60 38	0.0 + 1.4	G0+ <b>K</b> 5	-0.490	+0.70	-22	0.751	4.3	$\left \left\{ egin{array}{l} +4.4 \\ +5.8 \end{array} \right. \right $

α	14 36.2	-60 38	0.0 + 1.4	G0+ <b>K</b> 5	-0.490	+0.70	-22	0.751	4.3	$igg igg\{ +4.4 \\ +5.8 \igg $
β	14 0.3	60 8	0.86	B1	-0.003	-0.03	-12	16	205	$^{`}-3.1$
$\gamma$	12 38.7	48 41	2.38	A0	-0.020	-0.02	- 8	_	-	_
δ	12 5.8	50 27	2.88	ВЗр	-0.004	-0.02	+ 9	–		_
ε	13 36.7	53 13	2.56	Bl	-0.003	-0.02	+6	-	-	_
ζ	13 52.4	47 3	3.06	B2p	-0.006	-0.05	+ 6	_	_	
$\eta$	14 32.3	41 56	2.65	$B3+\bar{A}2$	-0.003	-0.03	0		-	
×	14 55.9	41 54	3.35	B3	-0.002	-0.03	+ 9	_	_	_
λ	11 33.5	$62\ 45$	3.34	B9	-0.005	-0.02	+ 8			
$\mu$	13 46.6	42 14	3.32	B2p	-0.002	-0.02	+13		_	_

#### Circinus

α	14 38.4	-64 46	3.41	$\mathbf{F}_0$	-0.029	-0.24	+ 7	0.049	66	+1.9
•	11 00.1	01.10	0.11	10	0.020	0.21	'	0.040	00	1 1.0

	195	50.0	Visuelle	Spek-	Jährlic	he EB	Mittl.	Par-	Entf.	Absol.
Stern	$\mathbf{R}\mathbf{A}$	Dekl.	Größe	trum	RA	Dekl.	RG	allaxe	in Lj.	vis. Gr
$\overline{Crux}$	ı		ı		'			1	ı	<u>.                                    </u>
3.000	h min	0 ,	l m		l s	<b>"</b>	km/s	"	ı	l M
$\alpha^1$	12 23.8	-62 49	1.58	<b>B</b> 1	-0.005	-0.03	-10	_	_	_
$\alpha^2$	12 23.8	62 49	2.09	B3	-0.005	-0.02	-1	_	_	_
β	12 44.8	59 25	1.50	<b>B</b> 1	-0.005	-0.03	+20	_		<b> </b> _
ν. γ	12 28.4	<b>56 5</b> 0	1.61	$\mathbf{M}\mathbf{b}$	+0.003	-0.27	+21	-	_	_
δ	12 5.8	50 27	2.88	B3p	-0.004	-0.02	+ 9	-	-	_
$-\epsilon$	12 18.6	60 8	3.57	K2	-0.024	+0.07	- 5	0.017	190	-0.2
Dorad	lus									
α	4 32.9	-55 9	3.47	A0p	+0.006	-0.00	+26	0.011	300	-0.9
Erida	nus					***	-			
α	1 35.9	-57 29	0.60	<b>B5</b>	+0.011	-0.03	+19	0.023	142	-2.6
$\varphi$	2 14.7	51 45	3.78	<b>B</b> 8	+0.009	-0.02	+10	_	-	_
χ	1 54.0	51 51	3.73	$G_5$	+0.073	+0.29	- 6	52	63	+2.3
Grus										
α	22 5.1	$ -47 \ 12$	2.16	<b>B</b> 5	+0.012	-0.15	+12	0.051	64	+0.7
β	22 39.7	47 9	2.24	Mb	+0.013	-0.01	+2	_	_	_
ε	22 45.5	51 35	3.69	A2	+0.011	-0.06	0	38	87	+1.6
Hydri	us									
œ	1 57.2	$ -61 \ 49$	3.02	<b>F</b> 0	+0.037	+0.03	+ 7	-		-
β	0 23.2	77 32	2.90	$\mathbf{G}0$	+0.686	+0.33	+23	0.153	21	+3.8
γ	3 48.0	74 24	3.17	Ma	+0.013	+0.11	+16	-	_	
Indus	,									
α	20 34.1	-47 28	3.21	<b>K</b> 0	+0.005	+0.07	-1	0.039	84	+1.1
β	20 50.9	58 39	3.72	<b>K</b> 0	+0.003	-0.02	- 5	-	-	
Lupu	8									
	14 38.6	$ -47 \ 10$	2.89	<b>B2</b>	-0.002	l		_	-	-
β	14 55.2	$42 \; 56$	2.81	B2p	-0.004	-0.05	0	_	-	_
γ	15 31.8	41 0	2.95	B3	-0.001	-0.03	+ 6	_	-	_
δ	15 18.1	40 28	3.43	B2	-0.001	-0.03	+ 2		-	_
<i>€</i> ⊱	15 19.3	44 31	3.74	B3	-0.002	-0.02	+4	- 000	- 01	-
_ζ	15 8.7	51 55	3.50	<b>K</b> 0	-0.012	-0.07	-10	0.036	91	+13
Musc	$\boldsymbol{a}$									
α	12 34.2	-68 52	2.94	B3	-0.006		+18	_	-	_
β	12 43.2	67 50	3.26	B3	-0.005	-0.03	+42	-	-	
$\delta$	12 58.8	71 17	3.63	K2	-0.057	-0.04	+37	0.023	142	+0.4
<u> </u>	11 43.2	66 27	3.80	A5	-0.015	+0.03	+16	<u> </u>		1 -
Pavo	1 00 01 5	1 50 54	1 010	729	1 10 001	I 0.00	1 , 0	1	ı	1
α R	20 21.7	-56 54	2.12	B3	$\begin{vmatrix} +0.001 \\ -0.007 \end{vmatrix}$	1	$\begin{vmatrix} +2\\ +10 \end{vmatrix}$	0.026	126	+0.7
$oldsymbol{eta}$	20 40.5 20 3.8	66 23 66 19	3.60 3.64	A5 G5	$\begin{vmatrix} -0.007 \\ +0.197 \end{vmatrix}$	$  +0.01 \\ -1.14$	$\begin{vmatrix} +10 \\ -22 \end{vmatrix}$	170	120	+4.8
	17 40.8	64 42	3.58	<b>K</b> 0	$\begin{vmatrix} +0.197 \\ -0.001 \end{vmatrix}$	$\begin{vmatrix} -1.14 \\ -0.06 \end{vmatrix}$	$-\frac{22}{8}$	170	190	-0.2
$\frac{\eta}{}$	11. 40.0	UT T2	1 0.00	<u> </u>	0.001	1 0.00		<u> </u>	1 100	1 0.2

Verzeichnis von 88 Fixsternen (Fortsetzung)

Stern		50.0	Visuelle	Spek-	Jährlic	ı	Mittl.	Par-	Entf.	Absol.
	RA	Dekl.	Größe	trum	RA	Dekl.	RG	allaxe	in Lj.	vis. Gr
Phoen	ix									
	h min	0 /	m	~~	s	"	km/s	"		M
α	0 23.8	-42 35	2.44	G5 K0	+0.018	-0.40	+75	0.035	93	+0.1
β	$egin{array}{cccc} 1 & 3.9 \ 1 & 26.2 \end{array}$	46 59 43 34	3.35 3.40	M1	$\begin{vmatrix} -0.003 \\ -0.003 \end{vmatrix}$	$+0.00 \\ -0.21$	$egin{array}{c} -1 \ +26 \end{array}$	17	190	-0.4
<u> </u>	1 20.2	10 04	3.40	MII	0.003	0.21	+20		<u> </u>	
Pictor									_	
<u>α</u>	6 47.7	-61 53	3.30	A5	-0.010	+0.26	+21	_	_	
Puppi	$\dot{s}$									
α	7 50.5	$ -40 \ 27$	3.76	G5	-0.001	+0.00	+24	0.023	142	+0.6
$\boldsymbol{\nu}$	6 36.2	43 9	3.18	$\mathbf{B8}$	-0.000	-0.01	+28	-	_	_
$\sigma$	7 27.6	43 12	3.27	$K_5$	-0.006	+0.18	+87	13	250	-1.1
<u>τ</u>	6 48.7	50 33	2.83	G8	+0.003	-0.08	+36		–	
Reticu	lum									
œ	4 13.8	-62 36	3.36	G5	+0.006	+0.05	+36	-	_	_
β	3 43.6	64 58	3.80	<b>K</b> 0	+0.048	+0.08	+51	0.042	78	+1.9
Scorpi	ius									
ζ·2	16 51.1	-42 17	3.75	K5	-0.011	-0.24	-19	0.021	155	+0.4
$\eta$	17 8.6	43 11	3.44	<b>F2</b>	+0.002	-0.29	-28	63	52	+2.4
$\dot{\boldsymbol{\vartheta}}$	17 33.7	42 58	2.04	$\mathbf{F}0$	+0.001	-0.00	+ 1	20	165	-1.5
$\iota^1$	17 44.1	40 7	3.14	F5p	0.000	-0.00	-28	13	250	-1.3
Telesc	onium									
α	$\mid 18\ 23.3 \mid$	<b>-46</b> 0	3.76	В3	-0.002	-0.05	- 1	-	_	_
- ·			<u>                                     </u>		<u> </u>	'		1		
	gulum Au			750						
α	16 43.4	-68 56	1.88	K2	+0.004	-0.04	+ 4	0.024	136	-1.2
β	15 50.7 15 14.2	$63\ 17$ $68\ 30$	$oxed{3.04} \ 3.06$	F0 A0	-0.028	-0.40	0	78	42	+2.5
<u> </u>	10 14.2	08 30	3.00	AU	-0.011	-0.03		_	_	
Tucan										
α	22 15.1	-60 31	2.91	K5	-0.009	-0.04	+42	0.019	170	-0.7
Volan	3									
β	8 25.2	-65 58	3.65	<b>K</b> 0	-0.004	-0.16	+27	0.033	99	+1.2
Vela										
$\gamma^2$	8 8.0	- <b>47</b> 11	2.22	Oap	-0.001	+0.00	+35	I _ I	l _	
$\delta$	8 43.3	54 31	2.01	A0	+0.002	-0.08	+ 2	0.043	76	+0.2
×	9 20.6	<b>54 4</b> 8	2.63	<b>B3</b>	-0.001	+0.00	$+2\overline{2}$	-		_
λ	9 6.2	43 14	2.22	K5	-0.002	+0.01	+18	15	215	-1.9
$\mu$	10 44.6	49 9	2.84	G5	+0.006	-0.06	+ 7	_		_
0	8 38.9	52 45	3.68	B3	-0.003	+0.01	+17			
$\psi$	$9\ 28.7 \\ 9\ 2.4$	40 15 46 54	3.64 3.69	F5 <b>K</b> 0	$\begin{vmatrix} -0.017 \\ -0.006 \end{vmatrix}$	$+0.07 \\ -0.02$	+12	59	55	+2.5
<u>c</u>	<i>U</i> ∠.4	±0 9±	<u> </u>	<b>17</b> 0	-0.000	-0.02	+24	14	230	-0.6

3.3.12. Sterne innerhalb 5 Parsek (16 Lichtjahre)

Q4	195	50.0					Spek-	7.5	$J_v$
Stern	α	$\delta$	$\pi$	μ	ig  v	$m_v$	trum	$M_v$	$J_{\odot} = 1$
	h min	0 /	"	"	   km/s	m		M	
Sonne	1				'	-26.73	G2V	4.84	1.0
Proxima	14 26.3	$-62 \ 28$	0.762	3.85		10.68	M5e	15.1	0.00008
α Cen A	14 36.2	$-60\ 38$	.751	3.68	-25	0.02	G2V	4.40	1.5
α Cen B					-21	1.35	K5V	5.73	0.44
Barnards									
$\mathbf{Stern}$	17 55.4	+ 4 33	.545	10.34	-108	9.54	M5V	13.22	0.00045
Wolf 359	10 54.1	+719	.427	4.71	+13	13.66	dM6e	16.82	0.000016
$+$ 36 $^{\circ}$ 2147	11 0.6	+36 18	.396	4.78	-86	7.47	M2V	10.46	0.0056
Sirius A	6 42.9	$-16\ 39$	.375	1.32	- 8	-1.43	AlV	1.44	24
Sirius B						8.67	DA	11.5	0.002
$ m L~726 ext{-}8~A$	1 36.4	$-18 \ 13$	.371	3.36	+29	12.45	dM6e	15.3	0.00007
L 726-8 B						12.95	dM6e	15.8	0.00004
Ross 154	18 46.7	$-23 \ 53$	.340	0.72	- 4	10.6	dM4e	13.3	0.0004
Ross 248	23 39.4	$+43\ 55$	.316	1.60	-81	12.24	dM6e	14.74	0.00011
arepsilon Eri	3 30.6	-938	.303	0.98	+15	3.73	K2V	6.14	0.30
Ross 128	11 45.1	+ 1 6	.298	1.40	-13	11.13	dM5	13.50	0.00035
L 789-6	22 35.8	$-15\ 36$	.298	3.25	<b>-6</b> 0	12.58	dM6e	14.9	0.00010
61 Cyg A	21 4.7	$+38\ 30$	.292	5.22	-64	5.19	K5V	7.52	0.085
61 Cyg B					-64	6.02	K7V	8.35	0.040
Prokyon A	7 36.7	+ 521	.288	1.25	- 3	0.37	<b>F</b> 5 V	2.66	7.7
Prokyon B					ļ	10.7	$\mathbf{DF}$	13.0	0.00055
$\epsilon$ Ind	21 59.6	-57   0	.285	4.69	-40	4.73	K5V	7.00	0.14
$+43^{\circ}$ 44 A	0 15.5	$+43\ 44$	.278	2.90	+14	8.07	M1V	10.29	0.0066
$+43^{\circ}44~\mathrm{B}$					+21	11.04	M6V	13.26	0.00043
$+59^{\circ}\ 1915\ { m A}$	18 42.2	$+59 \ 33$	.278	2.29	+ 1	8.90	dM4	11.12	0.0031
$+59^{\circ}\ 1915\ { m B}$					+14	9.69	dM5	11.91	0.0015
au Cet	1 41.7	$-16 \ 12$	.275	1.92	-16	3.50	G8Vp	5.70	0.45
$-36^{\circ}\ 15693$	23 2.6	-36 9	.273	6.90	+10	7.39	M2V	9.57	0.013
$+$ 5 $^{\circ}$ 1668	7 24.7	+ 523	.266	3.73	+26	9.82	dM4	11.95	0.0014
$ m L~725 ext{-}32$	1 10.0	-17 17	.261	1.36	}	11.6	dM2e	13.4	0.0004
$-39^{\circ}$ $14192$	21 14.3	-39 4	.255	3.47	+21	6.72	MoV	8.75	0.028
$-45^{\circ}\ 1841$	5 9.7	-45 0	.251	8.72	+242	8.8	sdM0	10.8	0.0042
Krüger 60 A	$22\ 26.2$	$+57\ 27$	.249	0.87	-24	9.82	M4V	11.80	0.0017
Krüger 60 B	ļ		1		-28	11.4	M6Ve	13.4	0.0004
Ross 14 A	6 26.8	-246	.248	1.00	+24	11.2	dM4e	13.2	0.00046
Ross 14 B					1	14.8	(M)	16.8	0.00002
$-12^{\circ}$ 4523	16 27.5	$-12\ 32$	.244	1.18	-13	10.13	dM4	12.07	0.0013
Van Maa-									
nens Stern	0 46.4	+59	.236	2.98	i	12.36	DG	14.23	0.00017
Wolf <b>424</b> A	12 30.9	+ 9 18	.228	1.78	- 5	12.7	dM7e	14.5	0.00014
Wolf <b>424</b> B				}		12.7	dM7e	14.5	0.00014
$+50^{\circ}\ 1725$	10 8.3	$+49 \ 42$	.222	1.45	-27	6.59	dM0	8.32	0.041
$-37^{\circ}\ 15492$	0 2.5	$-37\ 36$	.219	6.11	+24	8.59	dM3	10.3	0.0066
$+20^{\circ}\ 2465$	10 16.9	+20 7	.213	0.49	+10	9.43	M4.5Ve	11.07	0.0032
$-46^{\circ} 11540$	17 24.9	$-46\ 51$	.213	1.06		9.34	M4	10.98	0.0035
$-44^{\circ}$ 11909	17 33.5	<b>-44</b> 17	.209	1.15		11.2	M5	12.8	0.0007
$-49^{\circ}\ 13515$	21 30.2	$-49 \ 13$	.209	0.81	+18	8.9	M3	10.5	0.0055
$-15^{\circ} 6290$	22 50.6	$-14\ 31$	.206	1.12	+ 9	10.17	dM5	11.47	0.0017

Stern	195 α	0 <b>.</b> 0 δ	π	μ	$oxed{v}$	$m_v$	Spek- trum	$M_v$	$J_v \ (J_\odot=1)$
•	h min	o ,	"	"	km/s	m		м	
$+68^{\circ} 946$	17 36.7	$+68\ 23$	.205	1.31	-17	9.15	M3.5V	10.71	0.0045
L 145-141	11 <b>43.</b> 0	$-64 \ 34$	.203	2.68		11.47	DC	13.01	0.00054
$o^{2}~{ m Eri}~{ m A}$	4 13.0	-744	.202	4.08	-42	4.48	KlV	6.01	0.34
${f B}$				l.	-42	9.50	DA	11.03	0.0033
$\mathbf{C}$					-45	11.1	dM4e	12.6	0.0008
$+15^{\circ}\ 2620$	13 43.2	$+15\ 10$	.202	2.30	+15	8.47	M4V	10.00	0.0087
Atair	19 48.3	+844	.198	0.66	-26	0.80	A7V	2.28	11
$+43^{\circ} \ 4305$	22 44.7	+44   5	.197	0.83	-2	10.05	dM5e	11.52	0.0021
$AC + 79^{\circ}$									
<b>3</b> 888	11 44.6	$+78\ 58$	.196	0.87	-119	10.9	sdM4	12.4	0.0010

Sternbezeichnungen mit + oder - geben die Nummer der Bonner (BD, bis herab zu  $-23^{\circ}$ ) und Cordobaer (CoD, südlich von  $-23^{\circ}$ ) Durchmusterung.  $\pi=P$  arallaxe,  $1/\pi=E$ ntfernung in Parsek,  $3.26/\pi=E$ ntfernung in Lichtjahren;  $\mu=E$ igenbewegung pro Jahr; v=Radialgeschwindigkeit; in der Spalte "Spektrum" bedeuten V=Hauptreihenstern, d (dwarf =Zwerg) hat bei M die gleiche Bedeutung wie V, D=Weißer Zwerg;  $M_v=$  absolute visuelle Größe,  $J_v=$  wahre visuelle Intensität.

3.3.13. Doppelsterne innerhalb 5 Parsek (16 Lichtjahre)

System	Distanz (astron. Einh.)	Umlauf- zeit (Jahre)	Masse (in Sonnen- massen)
α Cen/Proxima	100001)	1061)	2.0 0.05
$\alpha \operatorname{Cen} A/B$	23.4	80.0	1.1 0.9
Barnards Stern	4.4	24	$0.15  0.0015^2$
$\mathrm{BD} + 36^{\circ}2147$	(2.8)	8	$0.33  0.01^2$
Sirius A/B	20.3	50.0	$2.3   1.1^3$
L 726-8 A/B	6.4	55	0.046 0.040
61 Cyg A/B	84	720	0.58 0.54
61 Cyg A/a	2.4	5	$0.01^2$ )
Prokyon A/B	15.9	40.7	$1.74  0.63^3$ )
$BD + 43^{\circ} 44 A/B$	160	3000	0.31 0.13
$BD + 59^{\circ} 1915 A/B$	<b>42</b>	346	0.32 0.31
Krüger 60 A/B	9.5	45	0.27 0.16
Ross 614 A/B	4.0	16.5	0.14 0.08
Wolf 424 A/B	(3)	(16)	0.07 - 0.07
${ m BD} + 20^{\circ}  2465$	` <b>3</b> ´	9	0.35 0.02
o² Eri A/BC	$400^{1}$ )	7 0001)	0.89 0.63
$o_2$ Eri B/C	34	252	$0.43^{3}) \ 0.20$

Die beiden Sterne BD + 43° 44 A und BD – 12° 4523 sind spektroskopische Doppelsterne. Bahndaten liegen noch nicht vor.

<sup>&</sup>lt;sup>1)</sup> Bahn noch nicht bekannt. Umlaufzeit geschätzt, projizierte Distanz (die übrigen Distanzen sind mittlere Entfernungen in der Bahn); <sup>2)</sup> planetarischer Begleiter, Jupitermasse (zum Vergleich) = 0.001; <sup>3)</sup> Weißer Zwerg

#### 3.3.14. Lokale Gruppe

Unter "Lokaler Gruppe" versteht man eine Gruppe von Galaxien, deren Hauptglieder das Milchstraßensystem, der Andromedanebel (M 31), der Triangelnebel (M 33) und die beiden Magellanschen Wolken sind. M 31 gehört zu den hellsten Spiralnebeln überhaupt, während die schwächsten Galaxien der Gruppe nur noch die absolute Helligkeit von Kugelsternhaufen zeigen, nur daß sie viel lockerer aufgebaut sind. – Das Milchstraßensystem mit den Magellanschen Wolken einerseits und die Andromedagruppe mit dem Triangelnebel andererseits liegen in den entgegengesetzten Randgebieten der Gruppe, die einen Durchmesser von etwa 700 Kiloparsek (2.3 Millionen Lichtjahre) besitzt.

Nome	NGC	198	50.0	Photog	r. Größe	A4	Ent-	Durch-
Name	NGC	RA	Dekl.	scheinb.	absolut	Art	fernung	messer
		h min	o ,	m	м		106 Lj.	10³ Lj.
M 31	224	0 40.0	+41 0	4.33	-20.4	SbI-II	2.25	110
Milchstraße						Sb	$0.033^2$ )	100
M 33	598	1 31.1	+30 24	6.19	-18.2	ScII-III	2.35	45
Gr. Magellan-			}					
$\mathbf{wolke}$		5 26	-69	0.86	-17.8	$\mathbf{SBeIII}$	0.16	20
Kl. Magellan-								
wolke		0 50	-73	2.86	-16.2	Ir IV	0.16	1.0
	205	0 37.6	+41 27	8.89	-15.9	E6p	2.25	8
						_		
M 32	221	0 40.0	$+40 \ 36$	9.06	-15.7	$\mathbf{E2}$	2.25	2.3
	6822	19 42.1	-14 53	9.21	-14.9	Ir IV	1.55	7.5
	185	0 36.1	+48   4	10.29	-14.5	$\mathbf{E0}$	2.25	3.3
IC 1613		1 0.7	- 1 39	10.00	-14.3	$\mathbf{Ir} \ \mathbf{V}$	2.25	9.8
	147	0 30.4	+48 14	10.57	-14.2	$dE4^{1}$ )	2.25	4.5
Fornax		2 35.6	-34 53	(9.1)	(-11.3)	$d\mathbf{E}$	0.36	5.2
Leo I		10 5.8	$+12 \ 33$	11.27	-11.1	$d\mathbf{E}$	0.85	2.0
Sculptor		0 55.4	-34 14	(8.8)	(-9.8)	$d\mathbf{E}$	0.16	2.3
Leo II		11 10.8	$+22\ 26$	12.85	- 8.7	$d\mathbf{E}$	0.59	1.0
$\mathbf{Draco}$		17 19.4	+57 58		(-8)	$d\mathbf{E}$	0.23	1.0
Ursa Minor		15 8.2	+67 18				0.16	1.0

<sup>&</sup>lt;sup>1</sup>) dE = elliptische Zwerggalaxis; <sup>2</sup>) Milchstraßenzentrum. 1971 wurden in der Nähe von M 31 weitere 3 sehr schwache Zwerggalaxien gefunden (s. Kal. f. Stfr. 1974, S. 152).

#### 3.3.15. Doppelsterne (Statistik)

1. Visuelle Doppelsterne. Die Komponenten sind im Fernrohr getrennt sichtbar oder interferometrisch nachweisbar.

Die Trennbarkeit eines Doppelsterns hängt von der Öffnung des Fernrohrs ab. Für annähernd gleichhelle Komponenten ist die Grenze im visuellen Spektralbereich durch die folgende Formel gegeben ( $\varrho''$  = kleinste Distanz in Bogensekunden – die Beugungsscheibehen berühren sich –, D = Durchmesser des Objektivs in mm):

$$\varrho'' = \frac{116''}{D}$$

Für kleine Instrumente siehe 2.3., für größere Refraktoren ergibt die Formel:

D	$200 \mathrm{\ mm}$	$300~\mathrm{mm}$	$500 \; \mathrm{mm}$	$650 \text{ mm}^{1}$ )	$910 \text{ mm}^2$ )	$1020 \text{ mm}^3$ )
o"	0".58	0".39	0 <b>".23</b>	0".18	0".13	0".11

Wann gelten zwei benachbarte Sterne noch als Doppelsterne? Aus leicht erkennbaren Gründen werden bei hellen Sternen größere Distanzen zugelassen als bei schwachen. Im Doppelsternkatalog von AITKEN wird dafür folgende Regel gegeben:

$$\log \rho'' = 2.8 - 0.2 \cdot m$$
 (m = scheinbare Größe)

Danach sind die oberen Grenzen:

$\operatorname{Gr.} \varrho$	$\operatorname{Gr}.arrho$	$\operatorname{Gr} olimits_{\mathcal{Q}}$		
m "	m "	m "		
3 160	7 25	11 4		
4 100	8 16	12 2.5		
5 $63$	9 10	13 1.6		
<b>6 4</b> 0	10 6	14 1.0		

Anzahl der visuellen Doppelsterne. Die Bonner Durchmusterung (BD) enthält auf der Nordhalbkugel 100979 Sterne gleich oder heller als  $9^{m}$ .0. Durch eine systematische Durchmusterung auf der Licksternwarte wurden im gleichen Bereich 5400 Doppelsterne gefunden. Sie verteilen sich auf die einzelnen Helligkeitsgruppen wie folgt (N = Sternzahl);

m	$N_{ m BD}$	$N_{ m Dpl}$	%
m			
bis 6.5	4120	458	11.1
6.6 - 7.0	3887	306	7.9
7.1 - 7.5	6054	438	7.2
7.6 - 8.0	11168	758	6.8
8.1 - 8.5	22898	1251	5.5
8.6-9.0	52852	2189	4.1

Die Abnahme des prozentualen Anteils mit abnehmender Helligkeit ist ein sog. Auswahleffekt. Im Mittel sind die Sterne um so weiter von uns entfernt, je schwächer sie erscheinen. Mit wachsender Entfernung rücken aber auch die Komponenten scheinbar enger zusammen, so daß der Anteil der wegen zu kleiner Distanz ( $<0^{m}.13$ ) nicht mehr auflösbaren Doppelsterne zunimmt. Der wahre prozentuale Anteil ist für alle Größengruppen gleich oder größer als 11%.

2. Spektroskopische Doppelsterne. Diese Sterne sind in keinem Fernrohr visuell trennbar. Sie werden dadurch erkannt, daß die Linien ihrer Spektra periodisch veränderliche Dopplerverschiebungen zeigen; die Periode ist gleich der Umlaufperiode um den Massenschwerpunkt des Systems. Ist der Helligkeitsunterschied der Komponenten gleich oder kleiner als 1 Größenklasse, sind die Linien beider Komponenten sichtbar; bei größeren Helligkeitsunterschieden sind nur die Linien der helleren Komponente erkennbar.

Der Anteil der spektroskopischen Doppelsterne beträgt etwa 20%.

Zusammen mit den visuellen Paaren sind also rund ein Drittel aller Sterne Doppelsterne.

<sup>1)</sup> Berlin-Babelsberg; 2) Lickrefraktor; 3) Yerkesrefraktor

## 3.3.16. Verteilung und Gesamtzahl der Fixsterne

Zahl der Sterne pro Quadratgrad bis zu den Grenzgrößen der 1. Spalte in den galaktischen Breiten der 1. Zeile, gemittelt über alle galaktischen Längen

Galakt. Br. → m phg.  ↓	0°	5°	10°	<b>2</b> 0°	<b>3</b> 0°	50°	70°	90°
m								
4.0	0.016	0.015	0.013	0.010	0.007	0.006	0.005	0.005
<b>5.</b> 0	0.045	0.042	0.038	0.028	0.021	0.016	0.014	0.013
6.0	0.128	0.121	0.107	0.080	0.061	0.045	0.040	0.037
7.0	0.361	0.341	0.301	0.224	0.173	0.127	0.112	0.103
8.0	1.01	0.951	0.834	0.617	0.482	0.351	0.303	0.278
9.0	2.81	2.61	2.28	1.67	1.31	0.951	0.798	0.723
10.0	7.71	7.11	6.14	4.43	3.49	2.48	2.02	1.81
11.0	20.0	19.1	16.3	11.6	9.06	6.24	4.90	4.33
12.0	55.6	50.4	43.5	29.7	22.6	15.1	11.3	9.89
13.0	146	131	108	73.8	54.4	34.5	24.8	21.4
14.0	371	330	271	176	$\overline{125}$	75.2	51.9	44.3
15.0	910	813	659	400	272	155	103	87.1
16.0	2140	1930	1550	873	561	299	194	163
17.0	4780	4360	3500	1820	1090	546	345	288
18.0	10200	9310	7480	3 620	1990	944	588	482
21.0	73600	65300	52100	21 200	8690	2510	2120	1670

Geschätzte Gesamtzahlen der Sterne bis zu den photographischen Grenzgrößen (1. Spalte) an der ganzen Sphäre (N)

Gr.	N	Gr.	N	Gr.	N
m 6.0 7.0 8.0 9.0 10.0	$egin{array}{c} 3 \cdot 10^3 \\ 10 \cdot 10^3 \\ 32 \cdot 10^3 \\ 97 \cdot 10^3 \\ 270 \cdot 10^3 \end{array}$	m 11.0 12.0 13.0 14.0 15.0	$0.7 \cdot 10^{6}$ $1.8 \cdot 10^{6}$ $5.1 \cdot 10^{6}$ $12 \cdot 10^{6}$ $27 \cdot 10^{6}$	m 16.0 17.0 18.0 19.0 20.0 21.0	$55 \cdot 10^{6}$ $120 \cdot 10^{6}$ $240 \cdot 10^{6}$ $510 \cdot 10^{6}$ $945 \cdot 10^{6}$ $1890 \cdot 10^{6}$

#### 3.3.17. Eigennamen von 180 helleren Fixsternen

Einige der hellsten Fixsterne haben bereits im griechisch-römischen Altertum Eigennamen bekommen, die auch heute noch im Gebrauch sind (Sirius, Capella usw.). Die Araber haben später noch eine große Anzahl von Sternen benannt, die ihnen durch ihre Helligkeit oder ihre Stellung bemerkenswert erschienen. Von diesen Namen sind nur noch wenige im Gebrauch (Algol, Mizar, Rigel u.a.), doch wird es manchen Sternfreund interessieren, die oft seltsam und geheimnisvoll klingenden Bezeichnungen kennenzulernen. Es zeugt von der großen Vertrautheit der arabischen Astronomen mit dem Fixsternhimmel, daß sie so vielen Sternen wie guten Freunden Eigennamen gaben.

Stern	Name	Größe	Stern	Name	Größe
	·	m			m
α And	Sirrah, Alpheratz	2.15	ζCMa	Furud	3.10
β	Mirach	2.37	η	Aludra	2.43
γ	Alamak	2.13	] '		
′			α CMi	Prokyon, Elgomaisa	0.37
α Aqr	$\mathbf{Sadalmelek}$	3.19	β	Gomeisa	3.09
β	Sadalsud	3.07	'		
γ	Sadachbia	3.97	α CVn	Cor Caroli, Chara	2.90
δ	$\mathbf{Skat}$	3.51		, ,	
ε	Albali	3.83	α Cap	Giedi	3.35
			β	Dabih	3.25
α Aql	Atair	0.80	γ	Nashira	3.80
β	Alshain	3.90	$\delta$	Deneb Algiedi	2.98
γ	Tarazed	2.80			
δ	Deneb Okab	3.44	α Car	Canopus	-0.86
α Ari	Hamal	2.00			
$\beta$	Sheratan	2.75	α Cas	${f Schedar}$	2.3v
	Mesarthim	4.00	$oldsymbol{eta}{oldsymbol{\delta}}$	Caph	2.42
γ	Mesai umm	<b>4.</b> 00	δ	$\mathbf{K}\mathbf{sora}$	2.80
α Aur	Capella, Alhajoth	0.09	$oldsymbol{arepsilon}$	Segin	3.44
	Menkalinan	1.90	$\eta$	Achird	3.64
β ζ	Hoedus I	3.94			
$\tilde{\eta}$	Hoedus II	3.28	α Cen	Toliman	0.06
΄,	Hassaleh	2.90			
	1145541011	2.00	α Cep	Alderamin	2.60
α Βοο	Arkturus	-0.06	β	Alphirk	3.32
β	Meres, Nekkar	3.63	γ	Alrai	3.42
γ	Haris	3.00			1
ε	Izar, Mirak, Pulcherrima	2.59	α Cet	Menkar, Mekab	2.82
$\eta$	Mufrid	2.80	β	Deneb Kaitos, Diphda	2.24
-,	<del></del>		γ	Kaffaljidhma	3.58
α Cnc	Acubens, Sertan	4.27	ζ	Baten Kaitos	3.92
γ	Asellus Borealis	4.73	o	Mira	2-10
$\delta$	Asellus Australis	4.17			
			αCol	Phakt	2.75
α CMa	Sirius, Canicula	-1.43			
β	Mirzam	1.97	α Com	Diadem	4.47
γ	Muliphein	4.07			
$\delta$	Wezen	1.84	$lpha\mathrm{Cr}\mathrm{B}$	Gemma, Alphecca	2.31
ε	Adara	1.78	β	Nusakan	3.72

Eigennamen von 180 helleren Fixsternen (Fortsetzung)

Stern	Name	Größe	Stern	Name	Größe
		m			m
α Crv	Alchibah	4.18	α Leo	Regulus	1.36
β	Kraz	2.84	β	Denebola	2.23
$\delta$	Algorab	3.11	γ	Algeiba	2.06
ε	Minkar	3.21	δ	Zosma	2.58
C	1/111111111	0.21	$\epsilon$	Ras Elased Australis	3.12
0-4	A 11	4.00	ζ	Adhafera	3.65
α Crt	Alkes	4.20	$\mathbf{\hat{\vartheta}}$	Coxa	3.41
-			μ	Ras Elased Borealis	4.10
α Cyg	Deneb, Arided	1.26	"	Itas Elasca Dorcans	4.10
β	Albireo	3.10	<sub>**</sub> T on	Amak	0.60
γ	Sador	2.32	α Lep	Arneb	2.69
ε	Giehna	2.64	β	Nihal	2.96
$\alpha$ Del	Svalocin	3.86	α Lib	Zuben el Dschenubi	2.90
β	Rotanev	3.72	β	Zuben el Schemali	2.74
P	200001101	0.,2	γ	Zuben el Akrab	4.02
α Dra	Thuban	9.64	δ	Zuben el Akribi	4.8v
	Alwaid	3.64			
β		2.99	α Lyr	Wega	0.04
$rac{\gamma}{\delta}$	Etamin, Rastaban	2.42	β	Scheliak	3.8v
	Nodus II, Aldib	3.24	γ	Sulaphat	3.30
ε ⊱	Tyl Nodus I	3.90		_	
ζ λ		3.22	α Oph	Ras Alhague	2.14
	Gianfar	4.06	β	Kelb al Rai	2.94
v E	Kuma	4.20	δ	Yed Prior	3.03
ξ	Grumium	3.90	ε	Yed Posterior	3.34
			$\eta$	Sabik	2.63
α Equ	Kitalfar	4.14	· '		2.00
α Eri	Achernar	0.60	α Ori	Beteigeuze	0.6v
β	Cursa	2.92	β	Rigel	0.15
γ	Zaurak	3.19	γ	Bellatrix	1.64
δ	Rana	3.72	δ	Mintaka	2.46
$v^2$	Theemin	3.88	ε	Alnilam	1.70
V	Theenin	0.00	ζ	Alnitak	1.78
a			ι	Hatysa	3.87
$\alpha \text{ Gem}$	Castor	1.59	×	Saiph	2.20
β	Pollux	1.16	λ	Heka	3.49
γ	Alhena	1.93			
δ	Wasat	3.51	α Peg	Markab	2.57
ε	Mebsuta	3.18	β	Scheat	2.61
ζ	Mekbuda	3.9v	γ	Algenib	2.87
$\eta$	Tejat Prior	3.5v	ε	Enif	2.54
$\mu$	Tejat Posterior	3.19	ζ	Homam	3.61
			$  \tilde{\eta}  $	Matar	3.10
lpha Gru	Alnair	1.05	"		""
. ***	70 41 43		α Per	Algenib	1.80
α Her	Ras Algethi	3.5v	β	Algol	2.2v
$oldsymbol{eta}$	Rutilicus, Kornephoros	2.81	γ	Mirfak	3.08
ð	Sarin	3.16	ζ	Menkhib	2.91
			η	Miram	3.93
α Hya	Alfard, Cor Hydrae	1.98	×	Misam	4.00

<sup>10</sup> Ahnert Prakt. Astronomie

Eigennamen von 180 helleren Fixsternen (Fortsetzung)

Stern	Name	Größe	Stern	Name	Größe
		m			m
$\alpha$ Psc	Al Rischa, Kaitain, Okda	3.94	arepsilon Tau	Ain	3.65
			$\eta$	Alcyone	2.96
$\alpha \text{ PsA}$	Fomalhaut	1.16	α Tri	Metallah	3.58
% TD	NT .				0.00
ζPup	Naos	0.45	α UMa	Dubhe	1.80
ξ	Azmidiske	<b>3.4</b> 7	β	Merak	2.44
а	NT . I.	9.05	$\delta$	Phekda, Alula Borealis	2.54
$\gamma \operatorname{Sgr}$	Nash	3.07	δ	Megrez	3.44
$\boldsymbol{\delta}$	Kaus Medius	2.84	ε	${f Alioth}$	1.78
8	Kaus Australis	1.82	ζ	Mizar (Begl. g = Alkor)	2.17
ε ζ λ	Ascella	2.71	η	Benetnasch, Alkaid	1.87
	Kaus Borealis	2.94	T73.51	<b>.</b>	2.0
σ	Nunki	3.08	α UMi	Polaris, Kynosura Alruccaba	2.0v
α Sco	Antares, Vespertilio	0.98	β	Kochab	2.02
	El Akrab	2.76	γ .	${f Pherkad}$	3.14
$oldsymbol{eta}$	Dschubba	$\bf 2.54$	δ	Pherkard	4.44
λ	Shaula	1.62			
			α Vir	Spica, Azimech	1.00
$\alpha$ Ser	Unuk Elhaia, Cor Ser-	2.75	β	Zavijah	3.80
	pentis		γ	Porrima, Arich	2.90
	] -		δ	Auva	3.66
$\alpha$ Tau	Aldebaran, Palilicium	0.85	ε	Vindemiatrix	2.95
β	Nath	1.65	ζ	$\mathbf{Heze}$	3.44

Ein v hinter der Größenangabe bedeutet veränderliche Helligkeit

#### 3.3.18. Mondkarte (s. Abb. 43, S. 140)

#### 3.3.19. Sternkarten (s. Abb. 44-51, S. 142-149)

#### 3.3.20. Nomogramm der Zenitdistanzen (Gestirnshöhen) (Abb. 52, s. S. 150)

Mit dem hier veröffentlichten Nomogramm lassen sich auf die einfachste Weise die Zenitdistanz bzw. die Höhe eines Sterns von bekannter Deklination bei einem bestimmten Stundenwinkel ermitteln. Die linke gerade Leiter (t) enthält den Stundenwinkel, d.i. den zeitlichen Abstand von der oberen Kulmination. Er ist hier von  $0^{\rm h}$  (obere Kulmination) über  $6^{\rm h}$  bis  $12^{\rm h}$  (untere Kulmination) aufgetragen und dann weitergezählt über  $18^{\rm h}$  bis wieder zur oberen Kulmination  $24^{\rm h}=0^{\rm h}$ . Die mittlere gekrümmte Leiter zeigt die Deklination von  $+90^{\circ}$  bis  $-40^{\circ}$ . Legt man eine Gerade (ein Lineal) so durch die beiden Leitern, daß sie sie bei dem angenommenen Stundenwinkel und der Deklination des Sterns schneidet, so gibt der Schnittpunkt ihrer Verlängerung auf der rechten geraden Leiter (z,h) die Zenitdistanz bzw. Höhe des Sterns für den angenommenen Stundenwinkel.

Das Nomogramm ist für die geographische Breite  $= \varphi = 50^{\circ}.0$  entworfen, was etwa der mittleren Breite des deutschen Sprachgebiets entspricht (Rostock  $+54^{\circ}$ , Graz  $+47^{\circ}$ ). Es kann zwischen  $49^{\circ}$  und  $51^{\circ}$  ohne Bedenken benützt werden, mit einiger Toleranz auch zwischen  $48^{\circ}$  und  $52^{\circ}$ . Für stärker abweichende Breiten empfiehlt es sich, ein speziell für diese Breiten gerechnetes Nomogramm zu zeichnen. Ich gebe die dafür notwendigen Formeln, wie sie vor mehr als 50 Jahren von P. Luckey in der 1926 eingegangenen Zeitschrift "Sirius" (Jahrg. 1922) veröffentlicht wurden.

t-Leiter (links): 
$$x_t = 0$$
,  $y_t = -b \cos t$   
z-Leiter (rechts):  $x_i = a$ ,  $y_z = b (2 \cos z - 1)$ 

Wird die z-Leiter nach unten für  $z > 90^{\circ}$  verlängert, kann man auch die für Dämmerungsbeobachtungen wichtige Sonnendepression (Tiefe der Sonne unter dem Horizont) bestimmen.

 $\delta$ -Leiter (mittlere Kurve):

$$x_\delta = rac{oldsymbol{a}}{1+2\cosoldsymbol{arphi}\cos\delta}\,, \qquad y_\delta = b\cdotrac{2\sinarphi\cdot\sin\delta-1}{1+2\cosarphi\cos\delta}$$

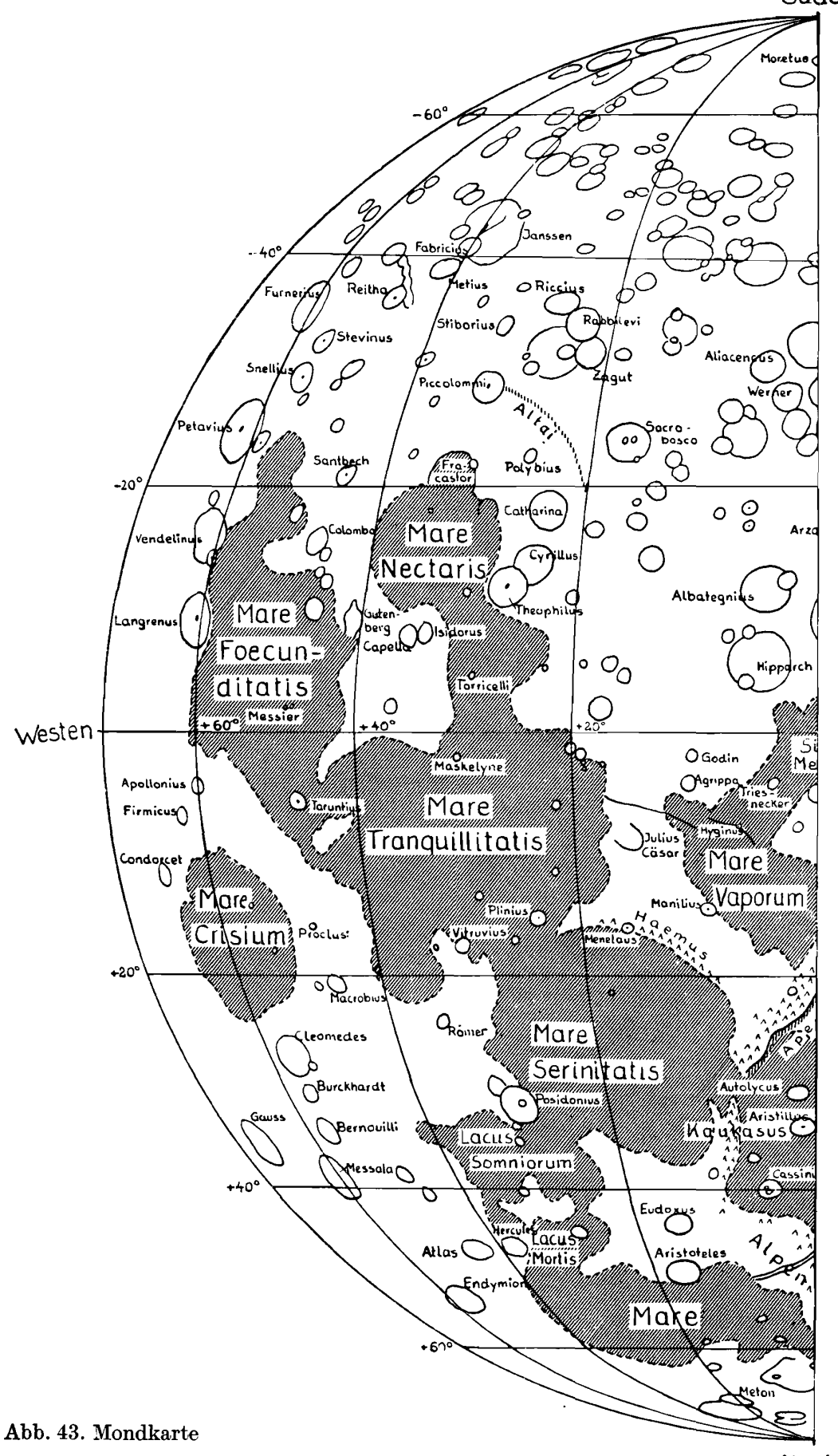
t ist der Stundenwinkel, den man statt wie hier auch von  $0^{\rm h}$  bis  $+12^{\rm h}$  für westlich vom Meridian befindliche Gestirne und von  $-12^{\rm h}$  bis  $0^{\rm h}$  für östlich davon stehende Gestirne angeben kann. Die Beschriftung erfolgt dann von unten mit  $0^{\rm h}$  und geht nach oben über  $\pm 1^{\rm h}$ ,  $\pm 2^{\rm h}$  usw. bis oben  $\pm 12^{\rm h}$ .  $\pm 12^{\rm h}$  bedeutet die untere Kulmination (im Norden), +-Werte gelten nach, --Werte vor der oberen Kulmination.

Zur Berechnung sind die Stundenwerte in Bogengrade zu verwandeln:  $1^{\rm h}=15^{\rm o}$ . Als Zwischenwerte kann man  $10^{\rm min}=2^{\rm o}.5$  graphisch interpolieren oder zur Sicherheit auch noch die halbstündigen Werte rechnen. Für die  $\delta$ -Leiter genügt eine Rechnung von  $10^{\rm o}$  zu  $10^{\rm o}$ , für die Zenitdistanzen geht man zweckmäßig von  $5^{\rm o}$  zu  $5^{\rm o}$ . Die gerechneten Punkte werden auf das Millimeterpapier übertragen und bei der  $\delta$ -Leiter mit Hilfe eines Kurvenlineals verbunden.

Zu beachten: Aus der Formel für  $y_t$  geht hervor, daß  $y_t = 0$  bei  $\pm 6^h = 18^h = 90^\circ$  liegt, nicht bei  $0^h = 0^\circ$ !  $\cos 0^\circ = +1$ , multipliziert mit -b wird  $y_{0h} = -b$ .  $\cos 180^\circ = 12^h = -1$ ,  $y_{12h}$  wird daher +b. Ähnlich liegt der Nullpunkt der Zenitdistanzleiter bei  $60^\circ$ , nicht bei  $0^\circ$  oder  $90^\circ$ .

Für a= Abstand der beiden senkrechten Leitern wählt man für Millimeterpapier im Format A4 160 mm, für b (halbe Länge der beiden senkrechten Leitern) 120 mm. Hat man größere Formate zur Verfügung, kann man a und b größer nehmen, doch sollte das Verhältnis der Konstanten a: b nahe bei 4: 3 liegen.





Norden

141 Beobachtungsobjekte am Fixsternhimmel Süden montanus 400 O O Mare Humdrum' 209 Mare Alpe Fragion Vu Dium 0 0 OBilly Augericke 0 oppland Euclid Bulling Riphaen Flamsteed -40° Landsberg Osten Oceanus 1641 Keplei Sinus Marius Aestuum Eralo Sthenes Procellarum Kurpathen +20° Pytheas O Euler Aristord punitellini Diophante: Timocharis Delisle: Archimedes Mafe lmbr/ium Piton 5inus Iridum Plate

Norden

Frigoris

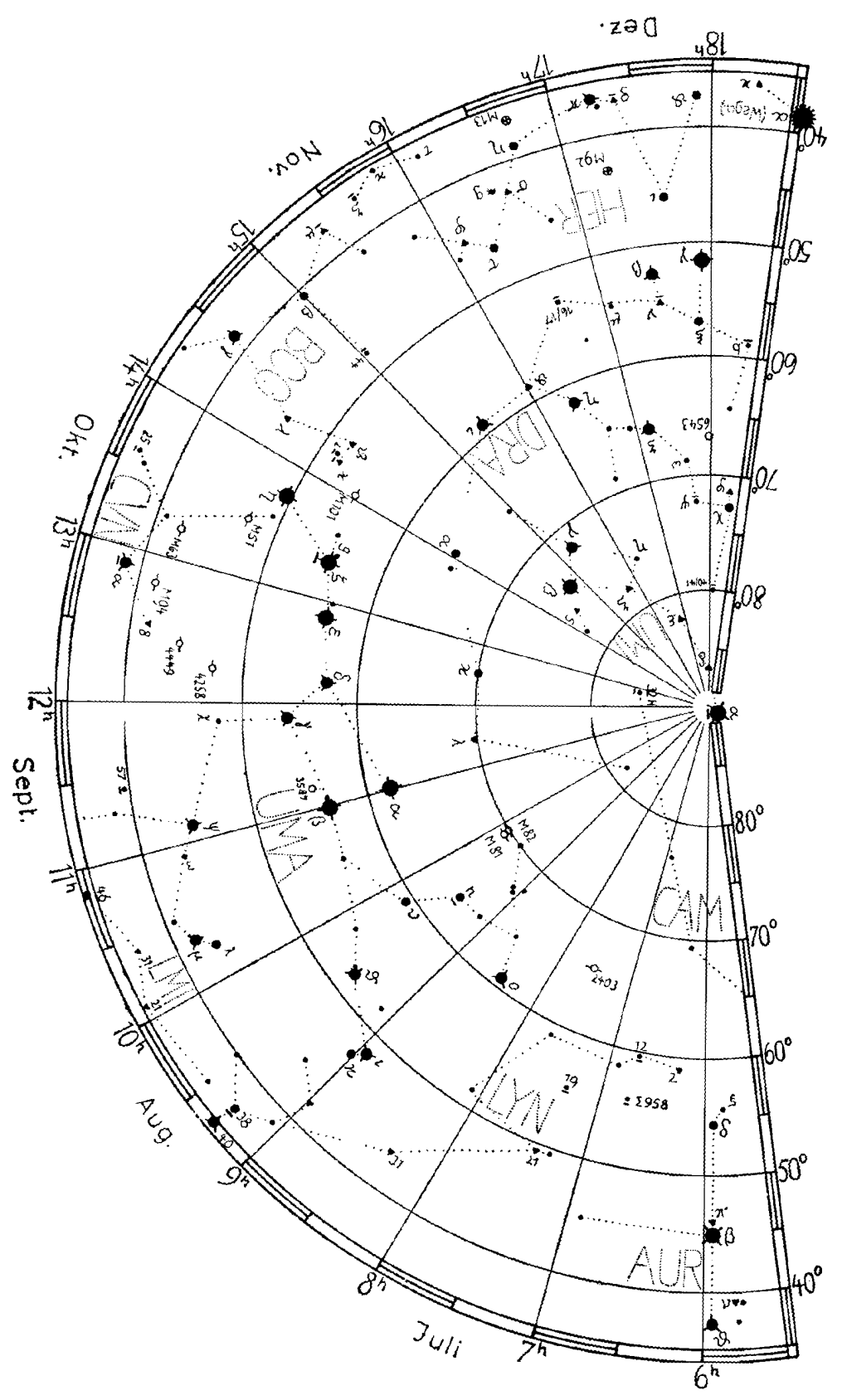


Abb. 44. Sternkarte 1

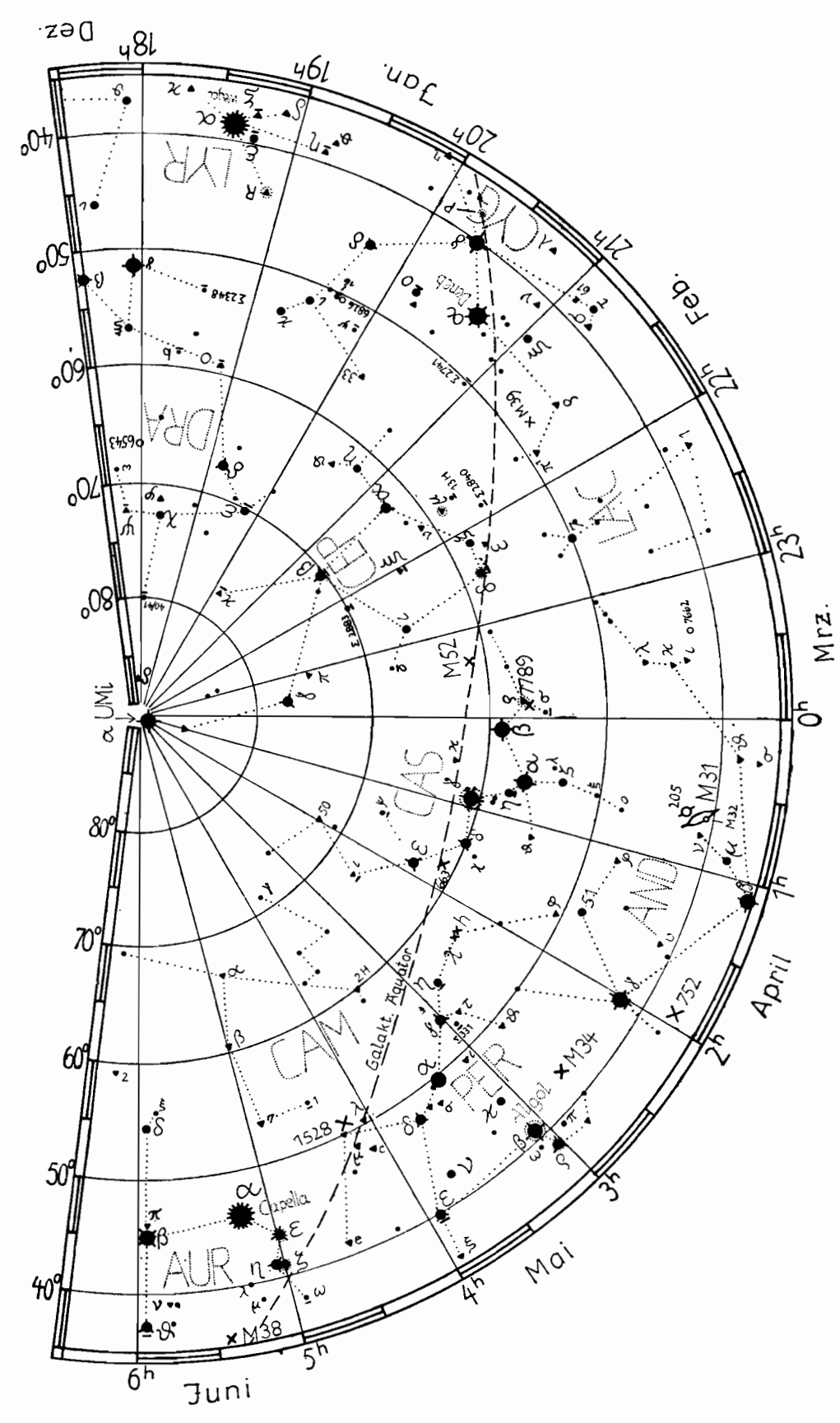


Abb. 45. Sternkarte 2

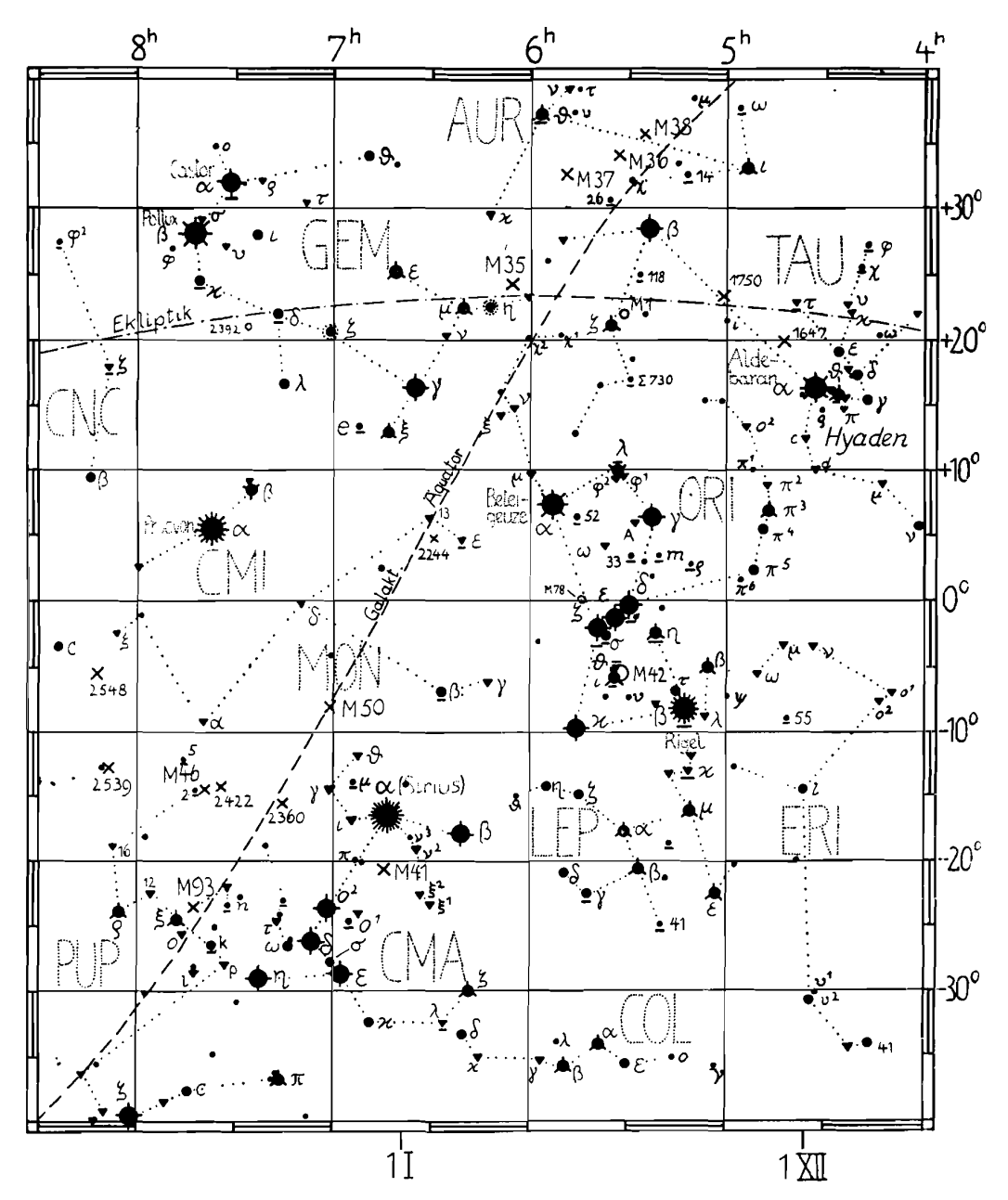
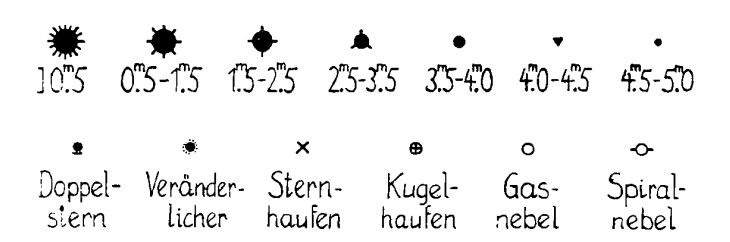


Abb. 46. Sternkarte 3



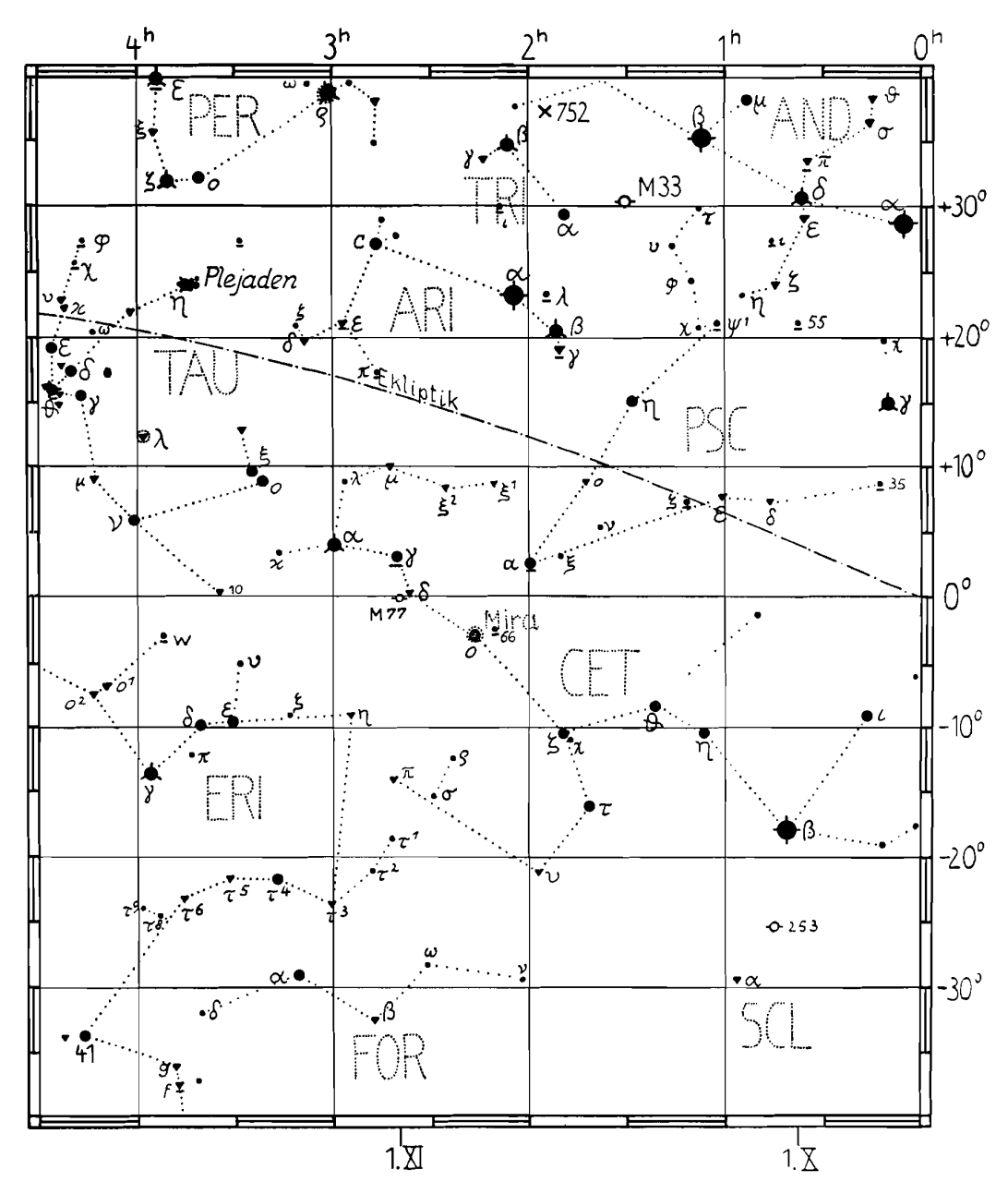
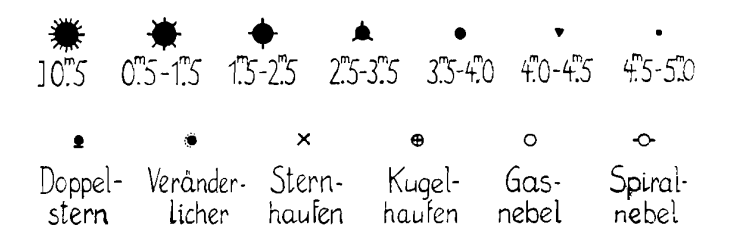


Abb. 47. Sternkarte 4



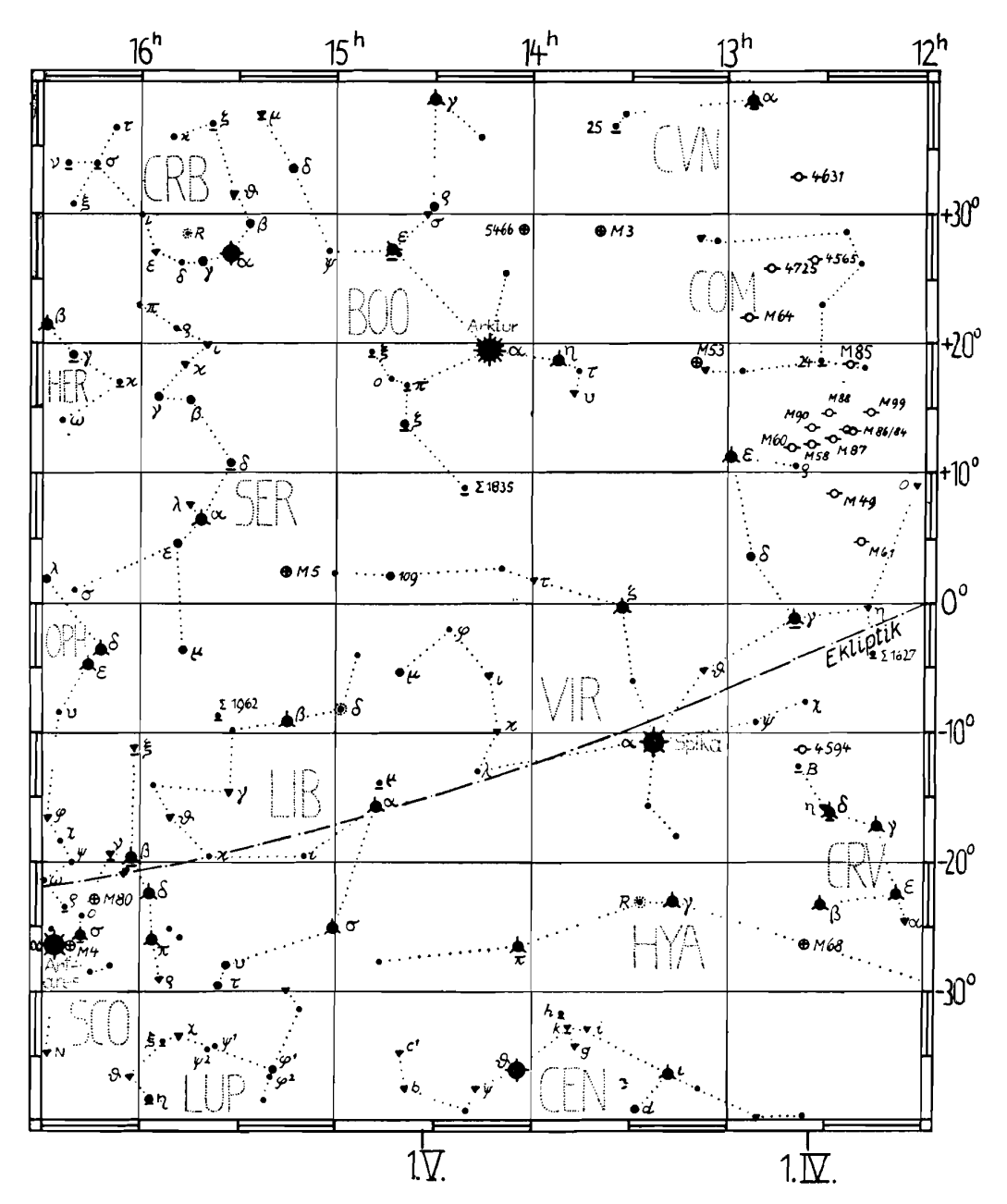
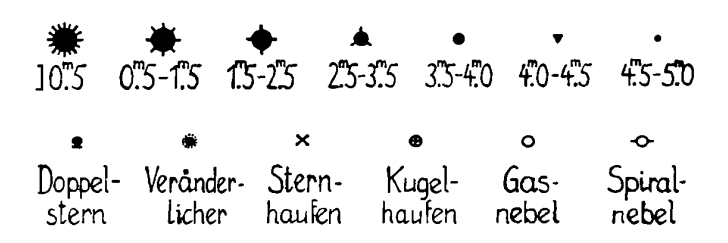


Abb. 48. Sternkarte 5



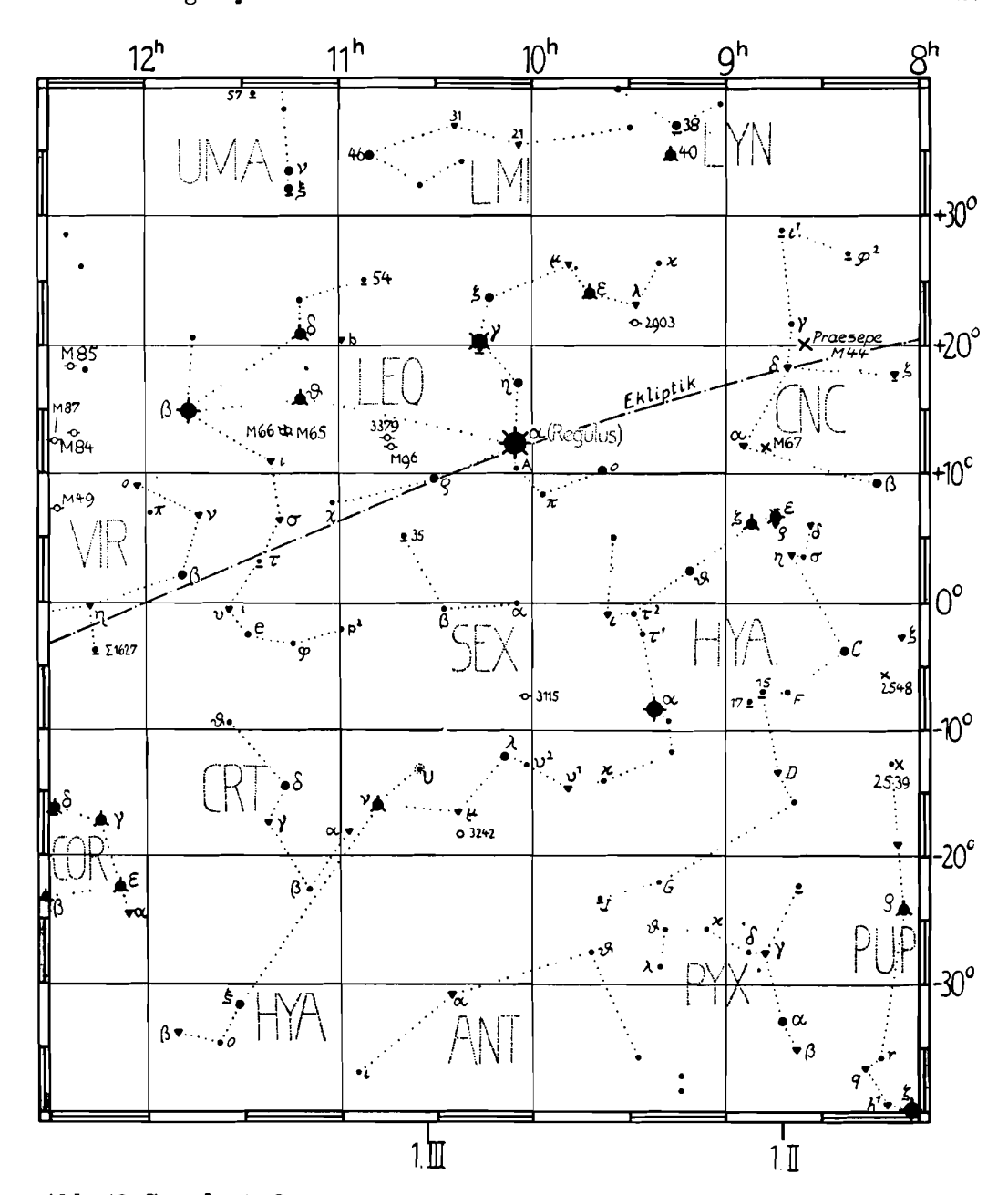
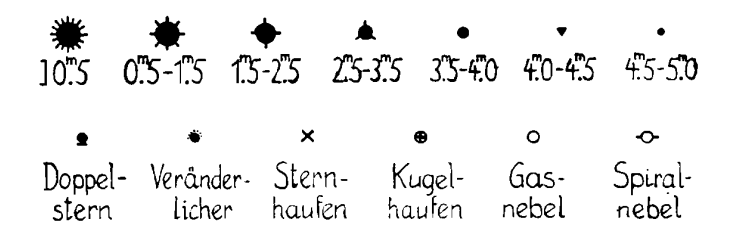


Abb. 49. Sternkarte 6



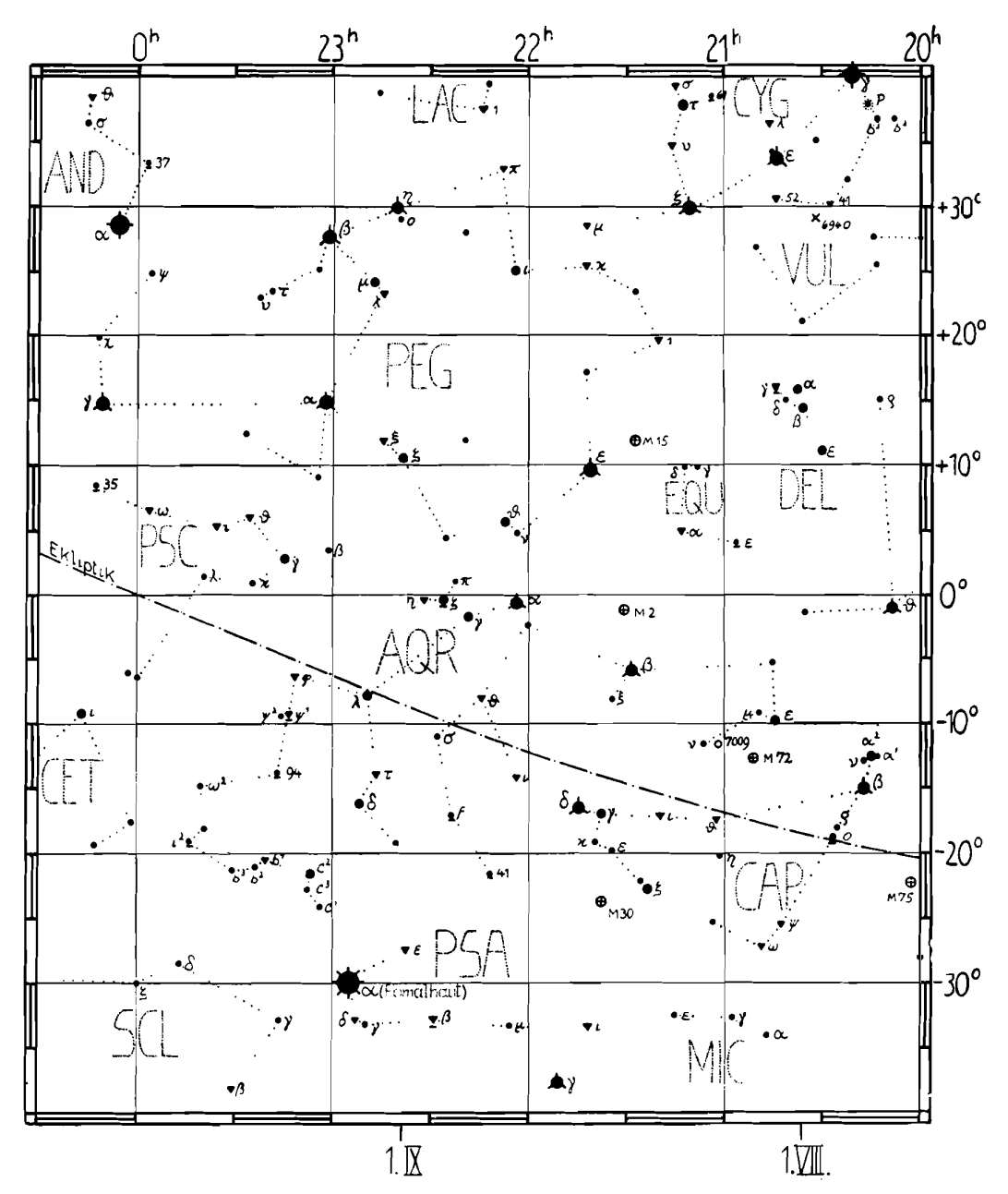
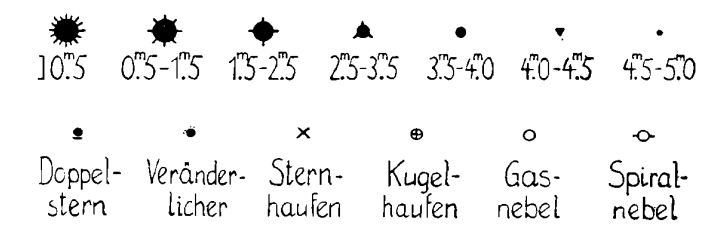


Abb. 50. Sternkarte 7



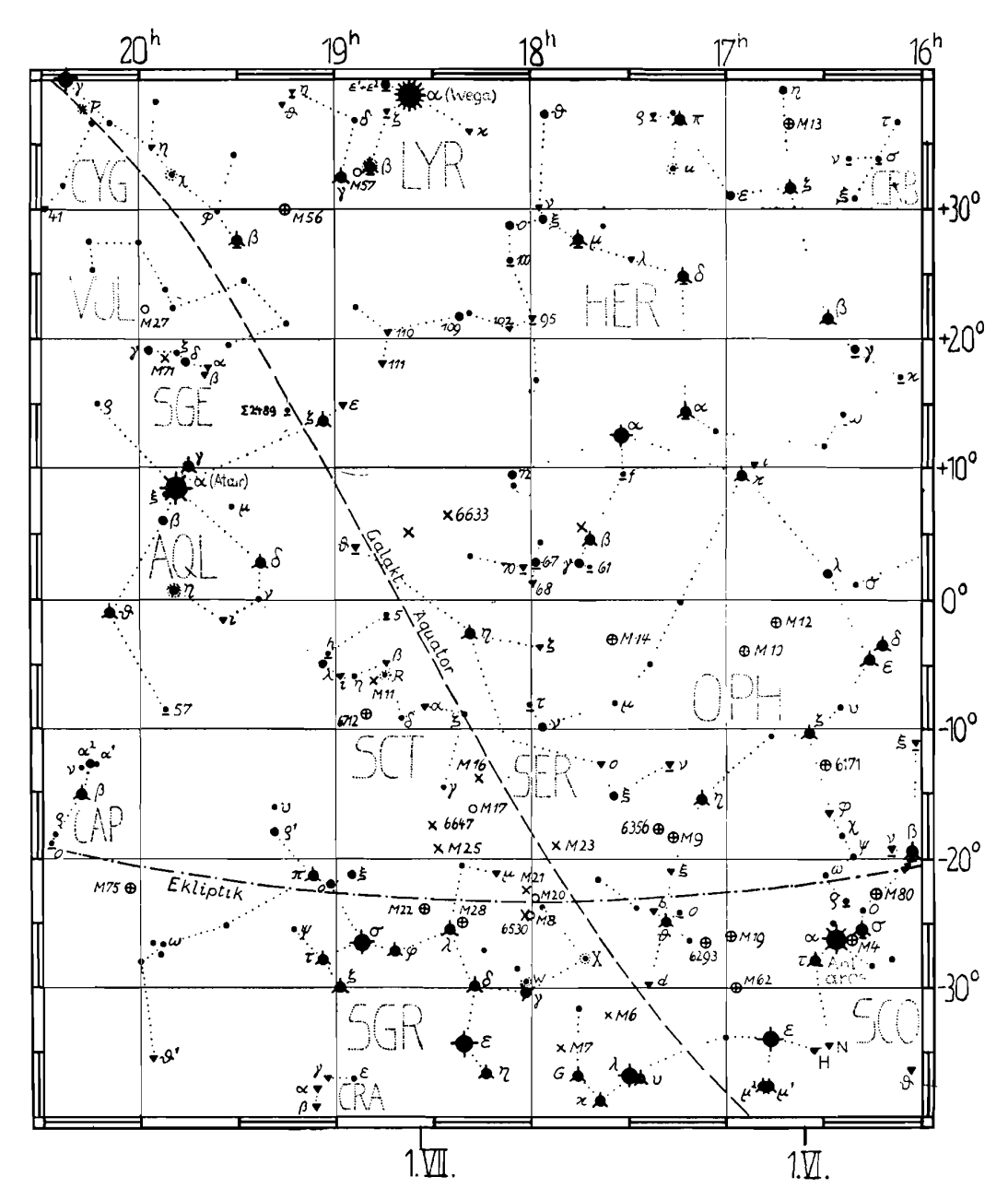
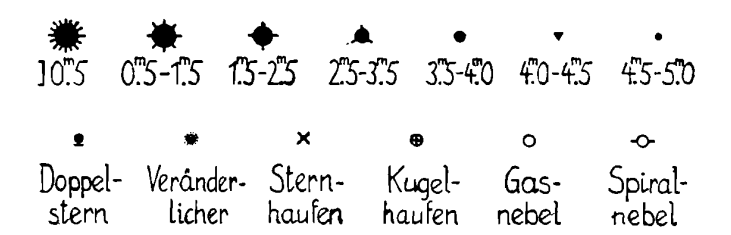


Abb. 51. Sternkarte 8



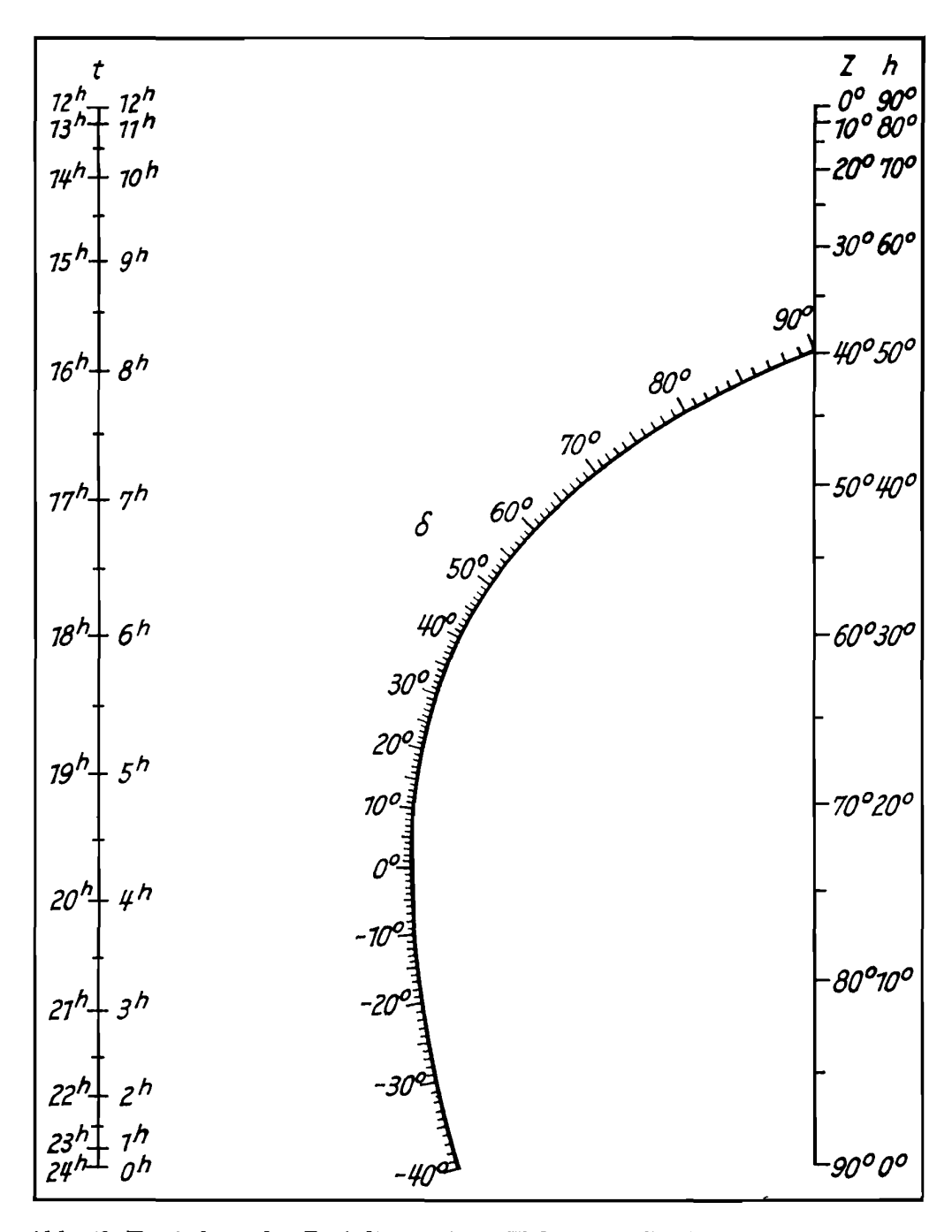


Abb. 52. Ermittlung der Zenitdistanz bzw. Höhe eines Gestirns. Man legt ein Lineal so auf die Zeichnung, daß der Stundenwinkel  $\tau$  und die Deklination  $\delta$  verbunden sind, und liest rechts unter Z die Zenitdistanz (oder die Höhe h) ab. Genau für 50° Breite

## Anhang

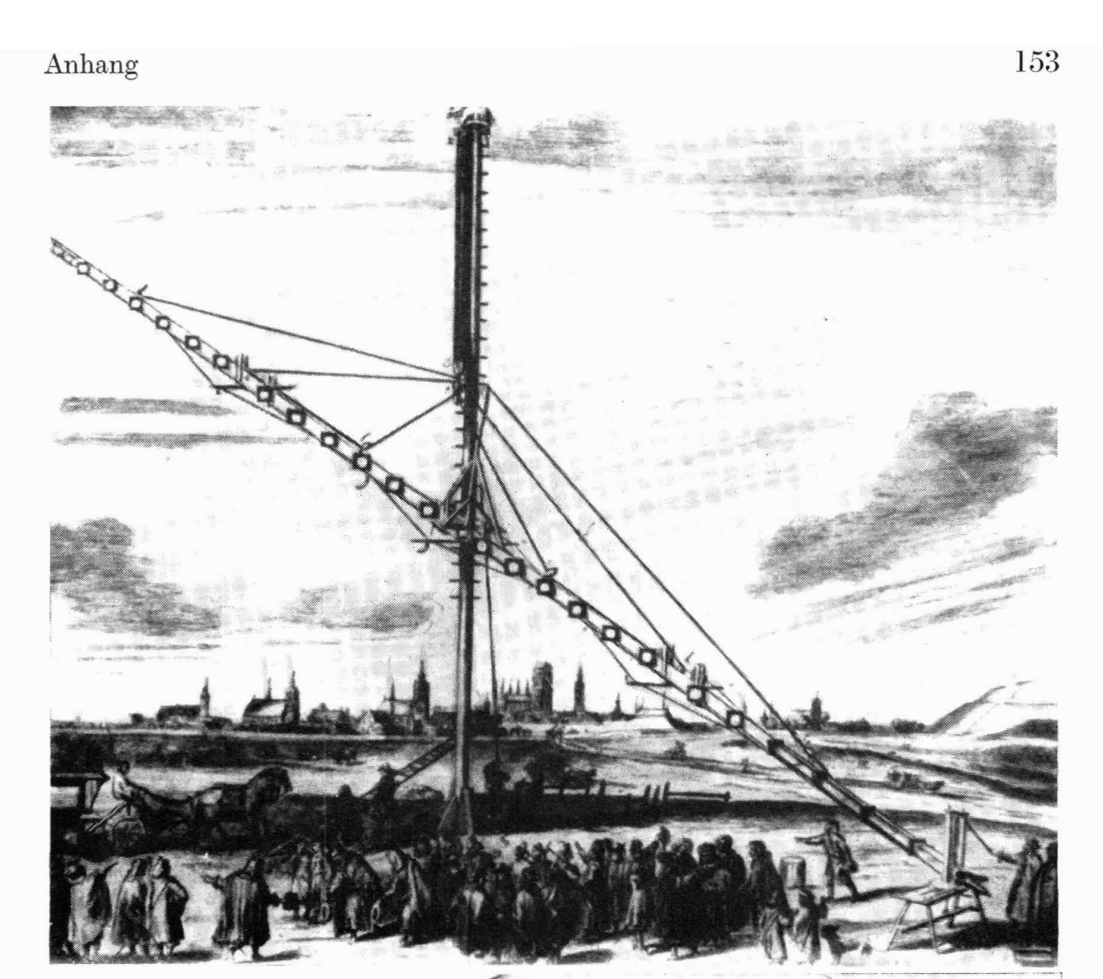


Abb. 1. Großes Fernrohr von Johann Hevel, um 1675 (aus J. Hevelius, Machina coelestis)

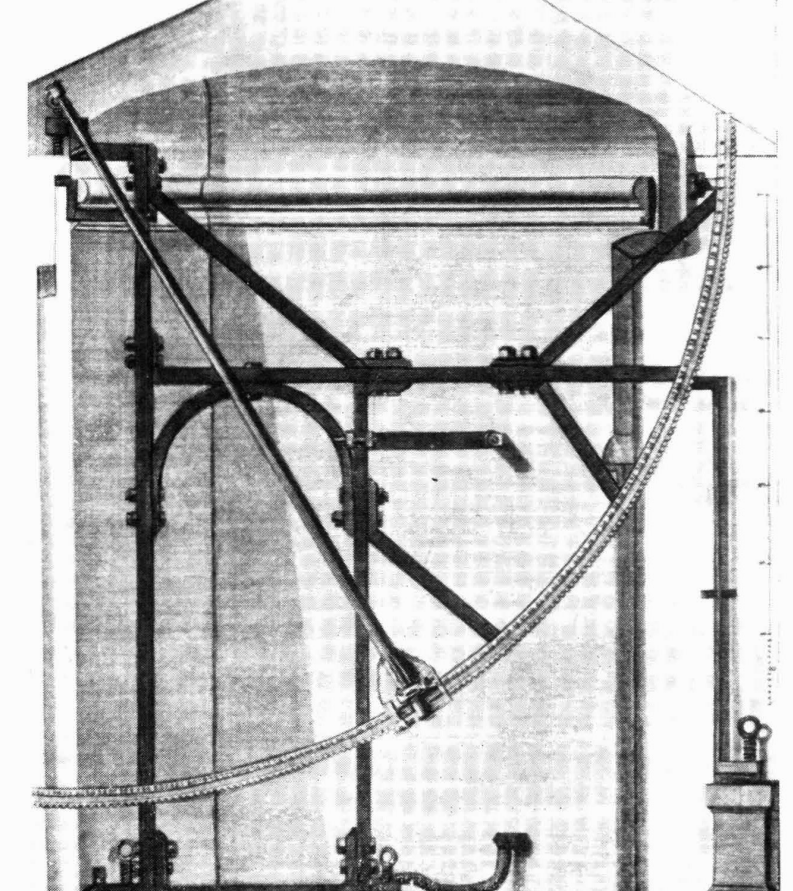
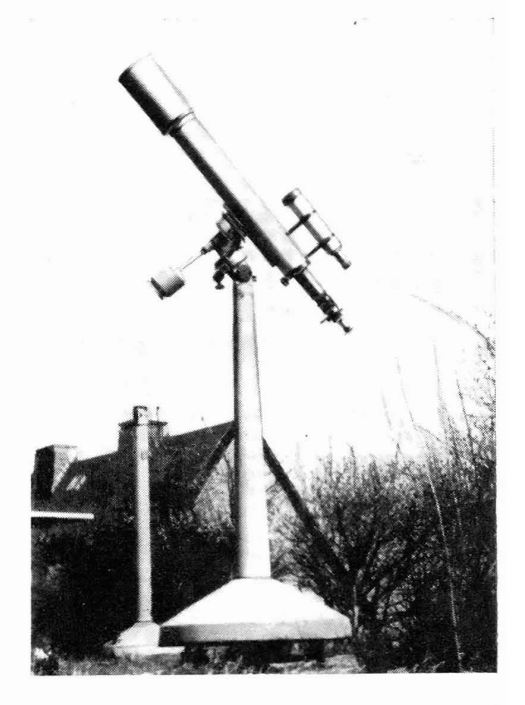


Abb. 2. Marinonis Mauerquadrant um 1740 (aus Joh. A. Repsold, Geschichte der astronomischen Meßwerkzeuge)



Abb. 7. Schulfernrohr "Telementor" des VEB Carl Zeiss, Jena



 ${\bf Abb.\,8.\,100/1000\text{-}mm\text{-}AS\text{-}Fernrohr\ auf}$   ${\bf Zeiss\text{-}I\text{-}Montierung}$ 

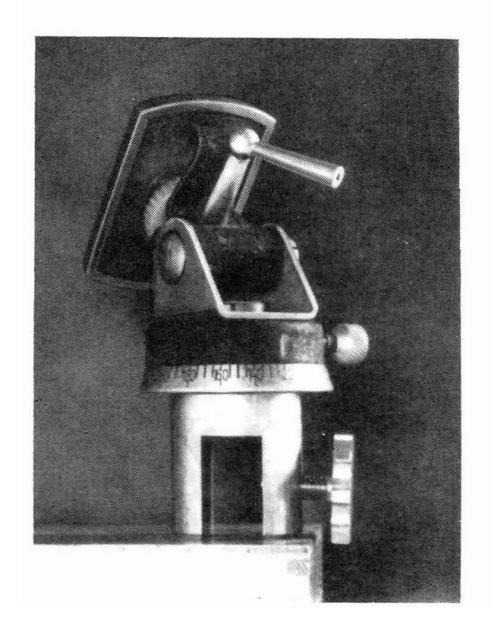


Abb. 9. Haltevorrichtung für Kleinbildkamera

Anhang 155



Abb. 10. Befestigung der Haltevorrichtung auf der Deklinationsachse der Zeiss-I-Montierung

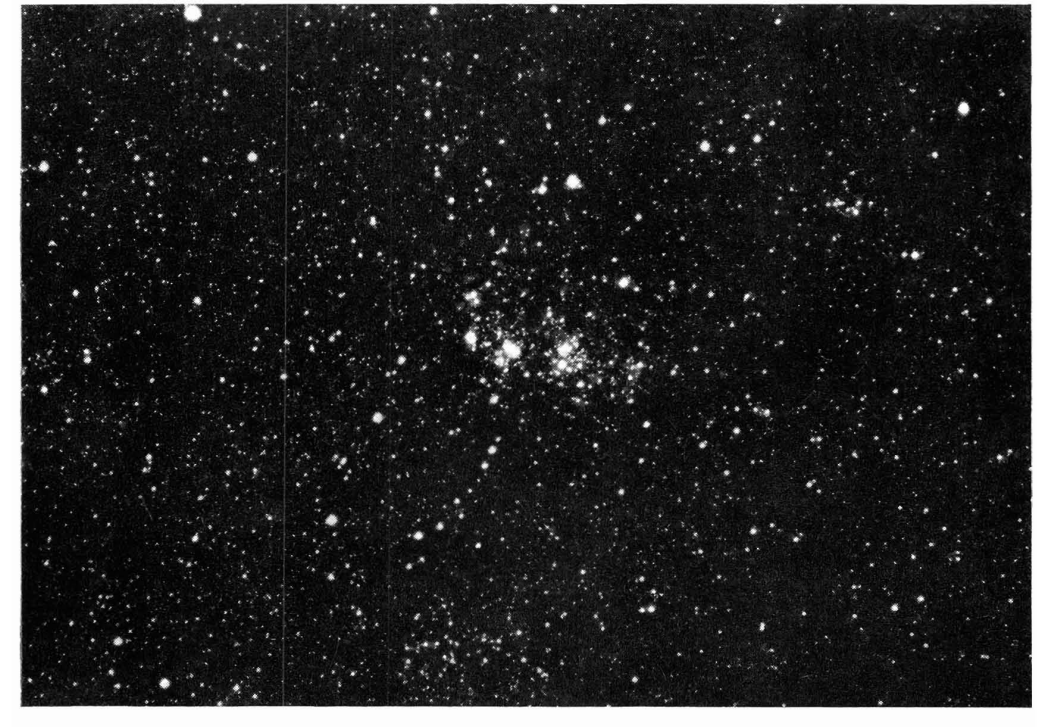


Abb. 11. Sternhaufen h<br/> und  $\chi$  Persei, aufgenommen mit Zeiss-Astrokamer<br/>a 56/250 mm (1 : 4,5). Aufn. A. Ansorge

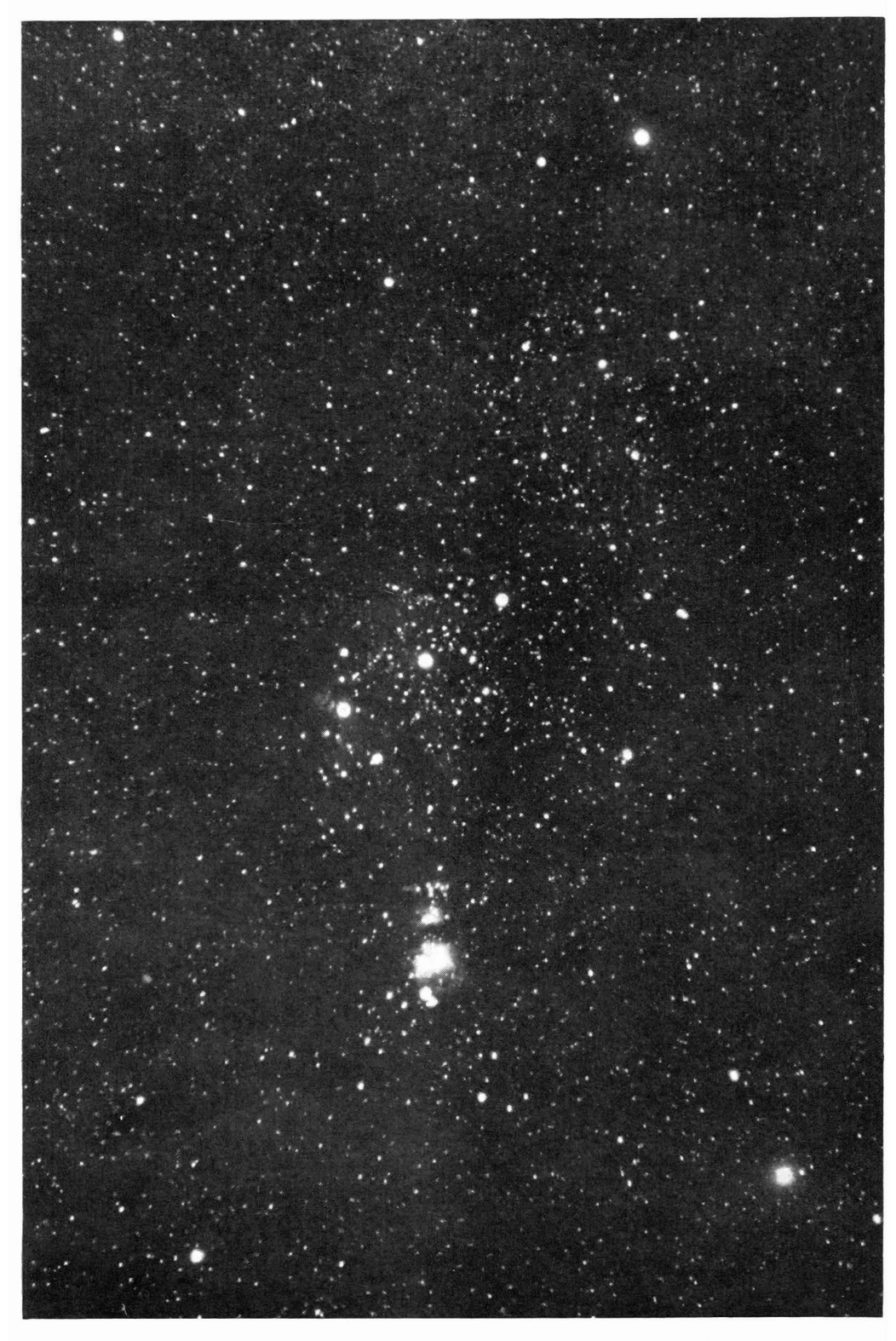


Abb. 12. Orion, aufgenommen mit Tessar $43/150\;\mathrm{mm}$  (1 : 3,5). Aufn. A. Ansorge

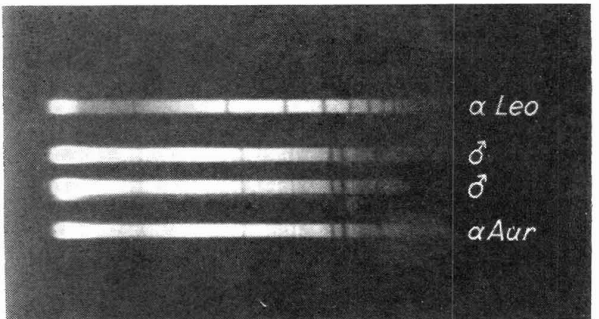


Abb. 14. Objektiv<br/>prismenspektren, von oben nach unten:  $\alpha$  Leo B 8,<br/> ~2x $_{\circlearrowleft}$ G 2,  $~\alpha$  Aur G 1

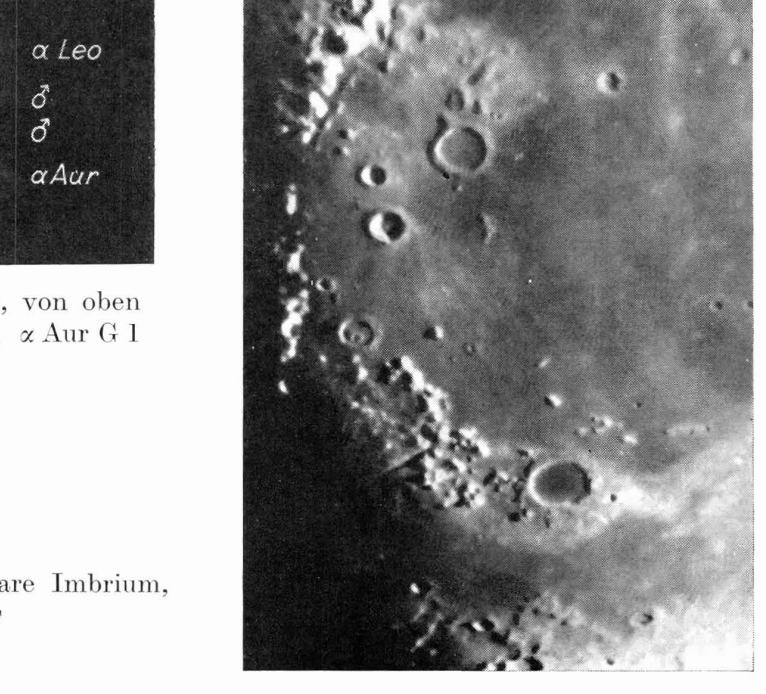


Abb. 15. Westliche Bucht des Mare Imbrium, 100/1000 mm AS. Aufn. P. Ahnert

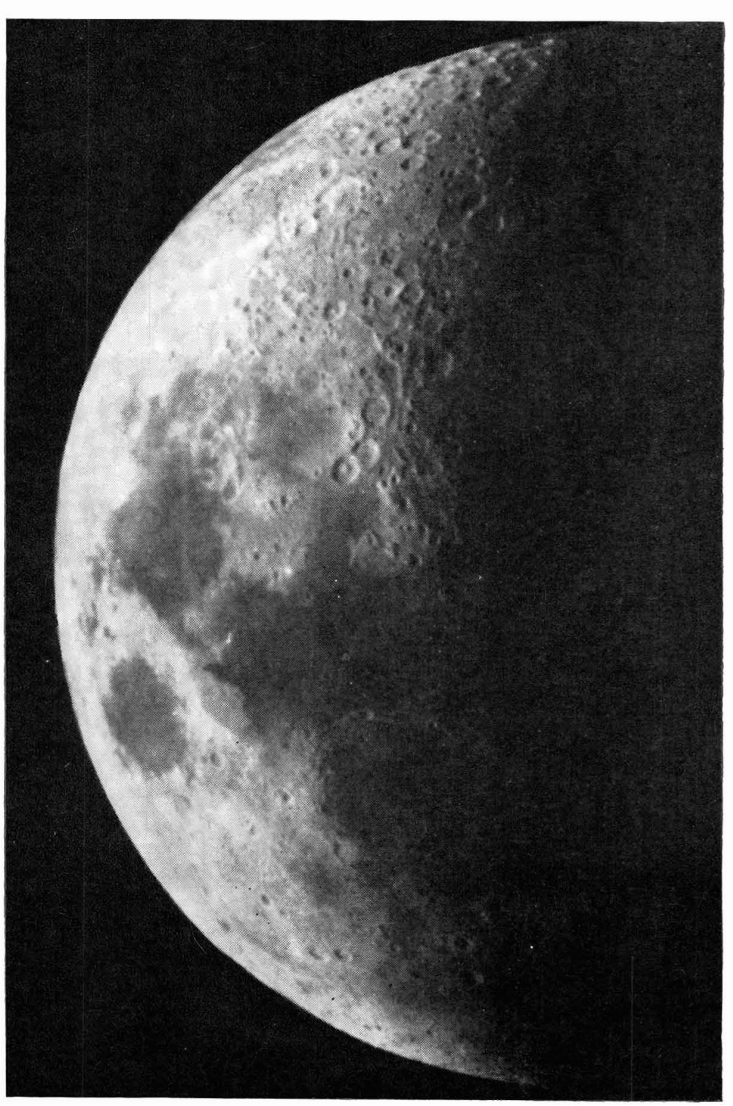


Abb. 16. Zunehmender Mond am 13. 7. 1967, 50/540 mm Bastelobjektiv. Aufn. P. Ahnert

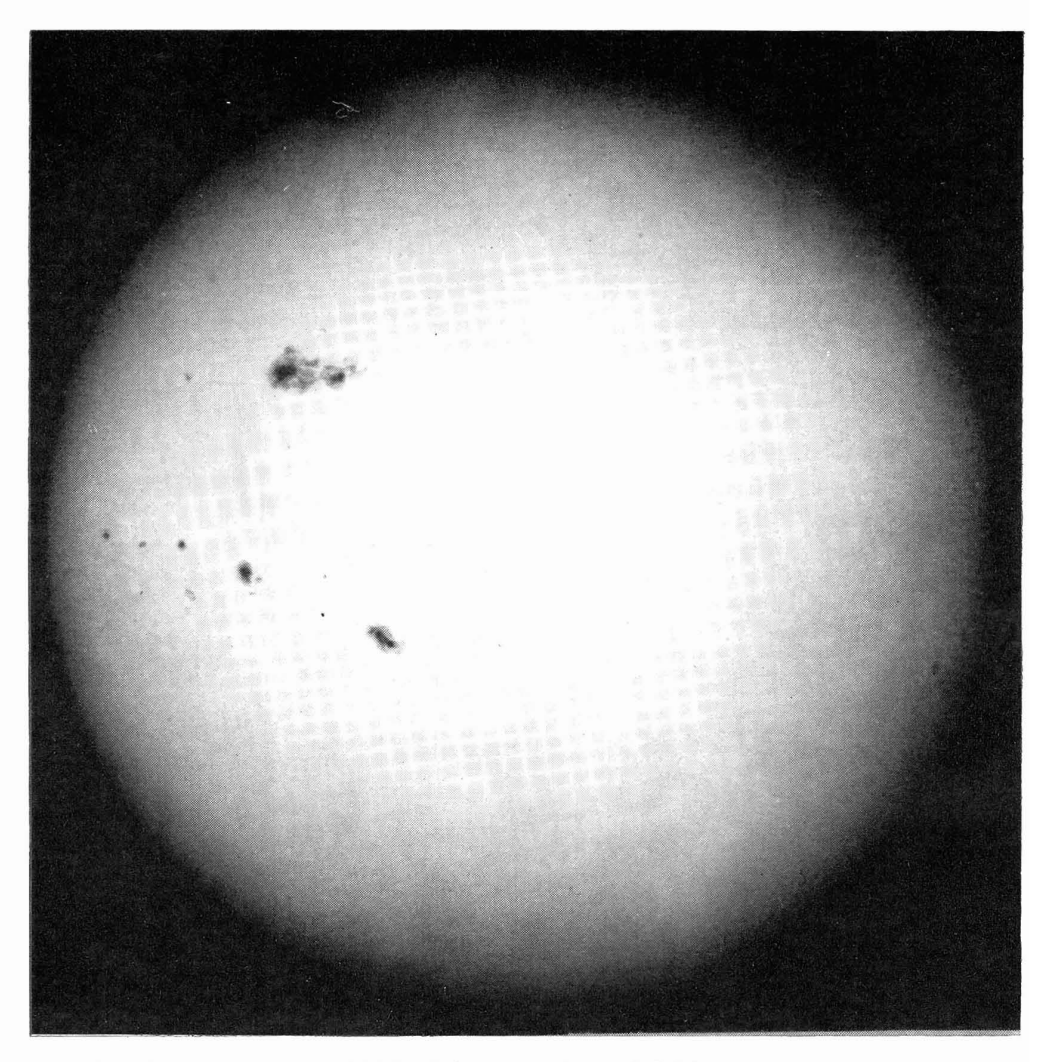


Abb. 17. Sonne am 12. 6. 1969, 50/540 mm Bastelobjektiv. Aufn. P. Ahnert

Anhang 159

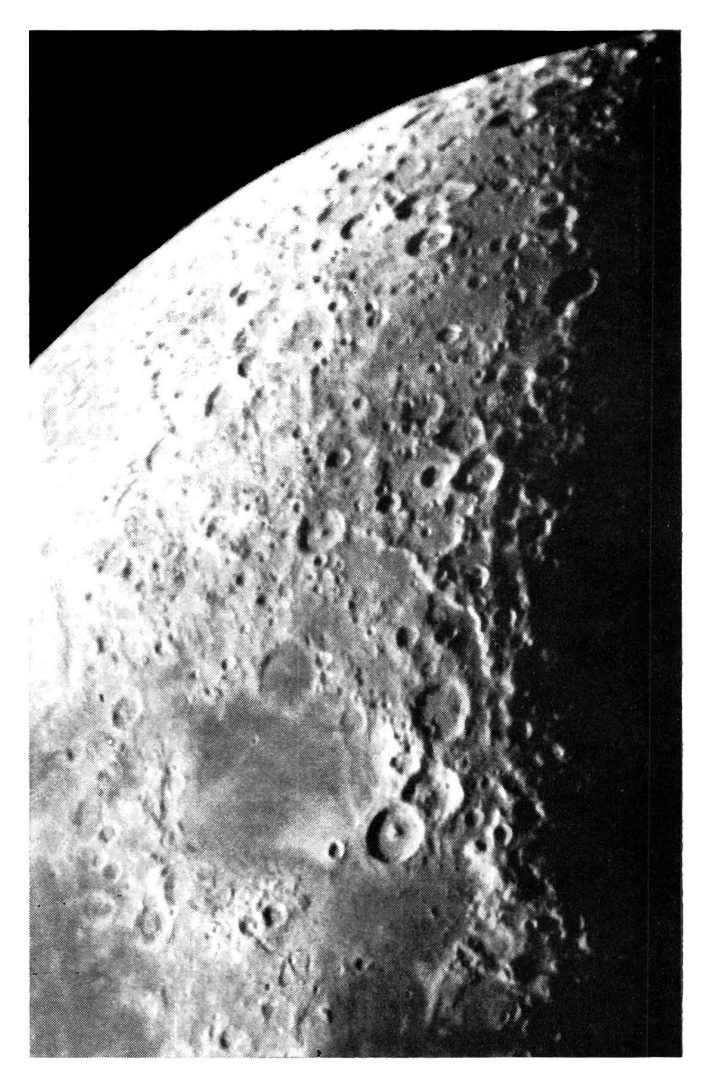


Abb. 18. Mond am 1. 3. 1963, 63/840 mm AS, Aufn. A. Ansorge



Abb. 19. Mond am 2. 2. 1971, 80/1200 mm AS, Aufn. A. Ansorge